



ระบบแสดงคลื่นไฟฟ้าหัวใจบนไมโครคอมพิวเตอร์
(Micro Computer Based EKG Monitor)

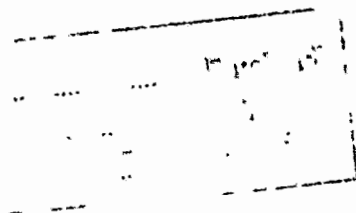
โดย

นายพิรพงษ์	วัฒนเกษมธรรม	35103194
นายสมคิด	ฤทธิคง	35103206
นายสฤษฏี	วงศ์เรืองการ	35103211

บริษัทยาพันธ์นี้เป็นส่วนหนึ่งของการศึกษาตามหลักสูตรปริญญาวิศวกรรมศาสตรบัณฑิต
สาขา วิศวกรรมอิเล็กทรอนิกส์

สถาบันเทคโนโลยีพระจอมเกล้า เจ้าคุณทหารลาดกระบัง

ปีการศึกษา 2537



ปริญญาโทปีการศึกษา 2537

ภาควิชา อิเล็กทรอนิกส์

คณะวิศวกรรมศาสตร์ สถาบันเทคโนโลยีพระจอมเกล้า เจ้าคุณทหารลาดกระบัง

เรื่อง ระบบแสดงคลื่นไฟฟ้าหัวใจบนไมโครคอมพิวเตอร์

(Micro Computer Based EKG Monitor)

คณะผู้จัดทำ

1. นายพิรพงษ์ วัฒนเกษมธรรม 35103194
2. นายสมคิด ฤทธิ์คง 35103206
3. นายสฤทธิ วงศ์ว่องการ 35103211

อาจารย์ที่ปรึกษา



(ดร. กิติพล บิตสกุล)

เอกสารนี้เป็นเอกสารที่สงวนไว้สำหรับการใช้งานเพื่อการศึกษาเท่านั้น ไม่อนุญาตให้นำไปใช้ประโยชน์ด้านการค้า
ไม่ว่ากรณีใดๆทั้งสิ้น อีกทั้งห้ามมิให้ตัดแปลงเนื้อหา และต้องอ้างอิงถึงเจ้าของเอกสารทุกครั้งที่มีการนำไปใช้

ระบบแสดงคลื่นไฟฟ้าหัวใจบนไมโครคอมพิวเตอร์

คณะผู้จัดทำ

นาย พีระพงษ์ วัฒนเกษมธรรม

นาย สมคิด ฤทธิคง

นาย สฤชฎี วงศ์ว่องการ

อาจารย์ที่ปรึกษา

ดร. กิตติพล ชิตสกุล

บทคัดย่อ

ในปริิญาโทนี้ เสนอแนะการออกแบบระบบแสดงคลื่นไฟฟ้าหัวใจ บนไมโครคอมพิวเตอร์ โดยพิจารณาว่าสัญญาณคลื่นไฟฟ้าหัวใจผ่านการขยายโดยวงจร Conditioning Amp มีขนาดพอเหมาะกับการแสดงผล และแปลงสัญญาณคลื่นไฟฟ้าหัวใจ โดยวงจรเปลี่ยนสัญญาณอนาล็อกเป็นดิจิทัล 8 บิต และ ส่งข้อมูลแบบอนุกรม โดยใช้ไมโครโปรเซสเซอร์ 8031 ส่งข้อมูลตามมาตรฐาน RS232 และศึกษาการรับ และแสดงผลกราฟฟิคบนจอมอนิเตอร์ ซึ่งเป็นการศึกษาความเป็นไปได้ในการรับ-ส่งข้อมูลที่เป็นคลื่นไฟฟ้าหัวใจ และนำไปพัฒนาในการใช้งานจริงต่อไป

Micro Computer Based EKG Monitor

Student Name

1. Mr. Pheerapong Wattanagasemkit
2. Mr. Somkid Litkong
3. Mr. Sitsadee Wongwongkran

Advisor

Dr. Kittipol Chitsakul

Abstract

THE CONTENT OF THIS THESIS WE PRESENT THE ANALYSIS AND DESIGN OF THE MICROPROCESSOR BASED EKG SIGNAL MONITOR.

WE FIRST DESCRIBE THE CIRCUIT OF THE CONDITIONING AMPLIFIER WHICH PROVIDE APPROPRIATE SIGNAL CHARACTERISTIC, THEN WE DEFINED THE COMPONENTS OF 8 BIT ANALOG TO DIGITAL CONVERTER AND ALSO COVER SOME DETAILS OF RS 232 SERIAL INTERFACE AND THE IMPORTANT PART IS THE CONCEPT OF (CPU 8031) MICROPROCESSOR LATER THE GRAPHIC OUTPUT OF THE EKG SIGNAL ARE DISPLAYED ON THE MONITOR BEING GENERATED BY THE PROGRAMS PROVIDED IN THE APPENDIX.

กิติกรรมประกาศ

ในการสร้างโครงการปริชานิพนธ์เล่มนี้ ทางคณะผู้จัดทำได้รับความอนุเคราะห์ช่วยเหลือจากคณาจารย์ และแนะนำแนวทางในการดำเนินงานจากท่านอาจารย์ดังนี้ คือ

ดร. กิติพล ชิตสกุล อาจารย์ที่ปรึกษาโครงการ

ทางคณะผู้จัดทำโครงการจึงขอขอบพระคุณท่านมา ณ. โอกาสนี้ ด้วย



สารบัญ

	<u>หน้า</u>
บทคัดย่อ	I
Abstract	II
กิตติกรรมประกาศ	III
<u>บทที่ 1</u> บทนำ	1
<u>บทที่ 2</u> ทฤษฎีของสัญญาณคลื่นไฟฟ้าหัวใจ	3
<u>บทที่ 3</u> ทฤษฎีไมโครคอนโทรลเลอร์ 8031	35
<u>บทที่ 4</u> ทฤษฎีการแปลงสัญญาณอนาลอกเป็นดิจิทัล	68
<u>บทที่ 5</u> การรับ-ส่ง ข้อมูลแบบอนุกรม RS232C	92
<u>บทที่ 6</u> โครงการระบบแสดงคลื่นไฟฟ้าหัวใจบนไมโครคอมพิวเตอร์	102
<u>บทที่ 7</u> บทสรุป และ วิจารณ์ผลการทำงาน	119
บรรณานุกรม	
ภาคผนวกโปรแกรม	

เอกสารนี้เป็นเอกสารที่สงวนไว้สำหรับการใช้งานเพื่อการศึกษาเท่านั้น ไม่อนุญาตให้นำไปใช้ประโยชน์ด้านการค้า
ไม่ว่ากรณีใดๆทั้งสิ้น อีกทั้งห้ามมิให้ตัดแปลงเนื้อหา และต้องอ้างอิงถึงเจ้าของเอกสารทุกครั้งที่มีการนำไปใช้

บทที่ 1

บทนำ (Introduction)

จุดประสงค์และแนวคิดของโครงการ

แนวคิด

จากสัญญาณ ECG (Electro Cardiogram) ซึ่งเป็นสัญญาณที่อยู่ในรูปฟังก์ชันของแรงดัน time domain ดังนั้นก่อนที่จะประมวลผลข้อมูล เราจะต้องทำการแปลงแรงดันให้เป็นข้อมูลทาง digital ก่อนด้วย A/D หลังจากนั้นจะส่งเข้าประมวลผลใน Computer โดยผ่าน Serial port ของ Computer จึงต้องมีการคำนวณหาอัตราส่งข้อมูลสูงสุด - Baud rate เป็นอัตราความเร็วในการ interface รับ-ส่ง ข้อมูลกับ Computer โดยมีความเร็วเป็น bits/sec

เพราะฉะนั้นการเลือก Baud rate = 9,600 bits/sec

ซึ่งข้อมูล 1 ตัว จะต้องใช้จำนวนบิตทั้งหมดค่าสุด 11 บิต คือ

8 Bit data , 1 bit stop , 2 bit start , No parity

จะได้ความเร็ว = $\frac{9,600}{11} = 872.72$ characters/sec

ซึ่งเป็นความเร็วสูงสุดแต่ในการใช้งานเราจะใช้ที่ความเร็วนี้ไม่ได้ เพราะความเร็ว หมายถึงว่า เราไม่ได้ใช้เวลาในการ Intial port เตรียมข้อมูลและจัดเก็บข้อมูลเลย ดังนั้นจึงต้องลดลงมาซึ่งความเร็วสูงสุดจะเป็นเท่าไรขึ้นอยู่กับความเร็วของเครื่องคอมพิวเตอร์ที่ใช้ ซึ่งในโครงการนี้เราเลือกใช้ที่ 400 char/sec ซึ่งหากคลื่นหัวใจที่วัดอยู่ในช่วง 10-100 ครั้ง/นาที จึงเท่ากับ

400 char/sec = 24,000 char/minute (Sampling rate = 300 ครั้ง/sec)

ที่ 10 ครั้ง/minute = 2,400 char/cycle (การ Sampling)

ที่ 100 ครั้ง/minute = 240 ครั้ง/cycle

ซึ่งที่ 400 ครั้ง/sec เราจะได้ $T = 2.5$ msec หมายความว่าทางทฤษฎีเราสามารถเลือกการเปลี่ยนแปลงของแรงดันที่มีความถี่ $2T$ ได้ ซึ่งเป็นช่วงที่สัญญาณ ECG มีการเปลี่ยนแปลงในช่วงสั้น

เอกสารนี้เป็นเอกสารที่สงวนไว้สำหรับการใช้งานเพื่อการศึกษาเท่านั้น ไม่อนุญาตให้นำไปใช้ประโยชน์ด้านการค้า

ในการรับข้อมูล 1 ครั้ง เราจะใช้เวลา 6 sec ซึ่งทั้งนี้ขึ้นอยู่กับอัตราการเต้นของหัวใจต่ำสุดที่เครื่องสามารถวัดได้ โดยในที่นี้เราตั้งไว้ที่ 20 cycle/minute

ถ้าเต้น 20 cycle/minute หมายความว่า 1 cycle ในเวลา 3 sec คือ การที่เราจะรับข้อมูลของสัญญาณได้ครบ 2 cycle เราจะต้องใช้เวลา 6 sec

ส่วนอัตราการเต้นสูงสุด ซึ่งจะมี Error มากมายเราวัดที่

$$\frac{f_s}{2} \text{ คือ } \frac{300 \text{ ครั้ง/วินาที}}{2} = 150 \text{ ครั้ง/วินาที}$$

หรือ 150 Hz ซึ่งเท่ากับ 3,000 ครั้ง/minute ซึ่งไม่มีมนุษย์คนใดสามารถทำได้อยู่แล้ว แต่เราจะมาพิจารณาในช่วงแรงดัน ECG ที่มีการเปลี่ยนแปลงในเวลาสั้นๆ แทนจึงกลายเป็นค่า Band width ของเครื่องวัดได้ คือมี Band width = 150 Hz



รูปที่ 1.1 แสดงค่าเวลาการเปลี่ยนแปลงของแรงดันในช่วงสั้นๆ (t)

การเปลี่ยนแปลงของแรงดันในช่วงสั้นๆ ซึ่งเวลาต่ำสุดที่สามารถวัดได้ $1/150 = 6.66 \text{ msec}$
 ส่วน Bandd width ของสัญญาณคลื่นไฟฟ้าหัวใจ $f_{\max} = \frac{1}{2t}$

โดยทั่วไปค่า t มีค่า 0.08 - 0.1 วินาที เพราะฉะนั้น f_{\max} มีค่า 6.25 - 5Hz

แสดงว่า Band width สัญญาณคลื่นไฟฟ้าหัวใจ น้อยกว่า Band width ของเครื่องวัด

เอกสารนี้เป็นเอกสารที่สงวนลิขสิทธิ์ไว้สำหรับใช้ในวงจำกัดเท่านั้น ไม่อนุญาตให้นำไปใช้ประโยชน์ด้านการค้า

ไม่ว่ากรณีใดๆทั้งสิ้น อีกทั้งห้ามมิให้คัดลอกเนื้อหา และต้องอ้างอิงถึงเจ้าของเอกสารทุกครั้งที่มีการนำไปใช้

บทที่ 2

คลื่นไฟฟ้าหัวใจและความผิดปกติของจังหวะการเต้นของหัวใจ

(Electrocardiogram and Arrhythmias)

ในบทนี้เป็นการศึกษาความเป็นมาของคลื่นไฟฟ้าหัวใจและ ความผิดปกติของจังหวะการเต้นของหัวใจ โดยในส่วนของคลื่นไฟฟ้าหัวใจจะกล่าวถึงการเกิดปรากฏการณ์ไฟฟ้าภายในเซลล์ การทำงานของหัวใจ การนำไฟฟ้าภายในหัวใจและลักษณะของสัญญาณคลื่นไฟฟ้าหัวใจที่บันทึกได้ ตลอดจนแนวทางการพิจารณาและวิเคราะห์คลื่นไฟฟ้าหัวใจ

2.1 ปรากฏการณ์ไฟฟ้าของเซลล์

การทำงานของอวัยวะต่างๆ ในร่างกายของมนุษย์อยู่ภายใต้การควบคุมของระบบประสาท โดยคำสั่งจากระบบประสาทจะถูกส่งไปตามเส้นประสาทต่างๆ เข้าสู่เซลล์ของกล้ามเนื้อหรือจากอวัยวะรับความรู้สึก ซึ่งถูกกระตุ้นจากภายนอกผ่านเส้นประสาทกลับเข้าสู่ระบบประสาท การส่งข้อมูลของคำสั่งจากระบบประสาทไปยังกล้ามเนื้อ หรือจากอวัยวะรับความรู้สึกกลับเข้าสู่ระบบประสาทนี้ เป็นการส่งในรูปของสัญญาณไฟฟ้าและเคมี โดยข้อมูลที่ส่งผ่านเซลล์จะเป็นการส่งผ่านด้วยไฟฟ้าและจุดต่อระหว่างเซลล์จะเป็นการส่งผ่านแบบเคมี สัญญาณไฟฟ้าในการส่งผ่านข้อมูลนี้ เกิดจากการเปลี่ยนแปลงศักดาไฟฟ้าภายในเซลล์ ดังนั้นศักดาไฟฟ้าของสิ่งมีชีวิต (Bioelectric Potentials) จึงถือกำเนิดมาจากเซลล์หรืออาจกล่าวได้ว่า เซลล์เป็นเสมือนจุดกำเนิดของศักดาไฟฟ้าทั้งหมดภายในร่างกาย

การเกิดศักดาไฟฟ้าขึ้นภายในเซลล์เนื่องจากบริเวณรอบๆ เซลล์ประกอบด้วยของเหลวซึ่งมีไอออนต่างๆ ปะปนอยู่ ไอออนที่มีบทบาทสำคัญต่อกลไกการเกิดศักดาไฟฟ้าภายในเซลล์ก็คือ โซเดียมไอออน (Na^+) โพแทสเซียมไอออน (K^+) และคลอไรด์ไอออน (Cl^-) โดยแต่ละเซลล์จะมีผนังเซลล์หรือเซลล์เมมเบรน (Cell Membrane) ซึ่งมีคุณสมบัติต่อไอออนเป็นแบบ Semipermeable คือ จะยอมให้ไอออนหรือไอออนบางชนิดผ่านผนังเซลล์ได้ ในขณะที่ไอออนอีกส่วนหนึ่งไม่สามารถผ่านไปได้ โดยปกติแล้วผนังเซลล์จะยอมให้เฉพาะโพแทสเซียมไอออนและคลอไรด์ไอออนผ่านไปได้ ส่วนโซเดียมไอออนจะไม่สามารถผ่านผนังเซลล์ได้

เมื่อความเข้มข้นของไอออนที่รอยต่อของผนังเซลล์เกิดความลาดเอียง ของความเข้มข้น (Concentration gradient) คือ ไอออนบริเวณด้านใดด้านหนึ่งของผนังเซลล์มีความเข้มข้นมากกว่าอีกด้านหนึ่ง ก็จะมีการแพร่ของไอออนจากด้านที่มีความเข้มข้นมากกว่า ไปยังด้านที่มี

ความเข้มข้นน้อยกว่า เมื่อไอออนผ่านผนังเซลล์แล้ว ก็จะทำให้เกิดความไม่สมดุลของประจุไฟฟ้า เป็นผลให้เกิดสนามไฟฟ้าต้านการแพร่ของไอออน ทำให้ไอออนเคลื่อนผ่านผนังเซลล์ลดลงจนกระทั่งถึงสภาวะสมดุล (Equilibrium) เมื่อแรงต้านการเคลื่อนที่ของไอออน เนื่องจากสนามไฟฟ้าและแรงที่เกิดจากความแตกต่างของปริมาณความเข้มข้นของไอออนมีค่าเท่ากัน ก็จะทำให้ ไอออนหยุดการแพร่ผ่านผนังเซลล์

ในเซลล์ของสัตว์เลี้ยงลูกด้วยนม นั้น ปริมาณความเข้มข้นของโพตัสเซียมไอออนภายในเซลล์จะมีค่ามากกว่าความเข้มข้นของไอออนภายนอกเซลล์อยู่ประมาณ 30 เท่า ไอออนและเข้มข้นของโซเดียมไอออนภายนอกเซลล์ จะมีค่ามากกว่าความเข้มข้นภายในเซลล์อยู่ ประมาณ 10 เท่า เนื่องจากคุณสมบัติของผนังเซลล์ที่ยอมให้โพตัสเซียมไอออนผ่านไปได้ จึงทำให้เกิดการแพร่ของโพตัสเซียมไอออนจากภายในออกสู่ภายนอกเซลล์ ส่วนคลอไรด์ไอออนจะมีอัตราการแพร่ น้อยกว่าโพตัสเซียมไอออน เนื่องจากแรงดึงดูดของประจุไฟฟ้าภายในเซลล์ทำให้เกิดการสูญเสียประจุไฟฟ้าบวกขึ้นภายในเซลล์ เป็นผลให้ศักดาไฟฟ้าภายในเซลล์มีค่าเป็นลบเมื่อเทียบกับภายนอกเซลล์ เมื่อสภาวะสมดุลมาถึงความต่างศักย์ระหว่างภายในเซลล์กับภายนอกเซลล์มีค่า ระหว่าง -50 มิลลิโวลต์ ถึง -100 มิลลิโวลต์ โดยขึ้นอยู่กับชนิดของเซลล์ ค่าของความต่างศักย์นี้ เรียกว่า ศักดาไฟฟ้าขณะอยู่นิ่ง (Resting Potential) ซึ่งศักดาไฟฟ้านี้จะมีค่าคงที่อยู่เสมอ ตราบที่เซลล์นั้นยังไม่ถูกกระตุ้น เซลล์ที่อยู่ในสภาวะนี้ เรียกว่า เซลล์อยู่ในสภาวะโพลาไรซ์ (PPolarized) และการสูญเสียสภาวะของศักดาไฟฟ้าขณะอยู่นิ่ง ซึ่งเรียกปรากฏการณ์นี้ว่า ดีโพลาไรเซชัน (Depolarization) ที่สภาวะสมดุลนี้ ค่าของศักดาไฟฟ้าขณะอยู่นิ่งนั้น สามารถประมาณค่าได้ตามสมการของเนิสต์ (Nemst Equation) ซึ่งเป็นฟังก์ชันของความเข้มข้นของไอออน ในแต่ละด้านของเซลล์ได้ดังนี้

$$E = \frac{RT}{ZF} \ln \left(\frac{C_0}{C_1} \right)$$

โดยที่ E คือ ค่าความต่างศักย์ของเซลล์ (หน่วยเป็นโวลต์)

R คือ ค่าคงที่ของก๊าซ (เท่ากับ 8.314 จูล/โมล-เคลวิน)

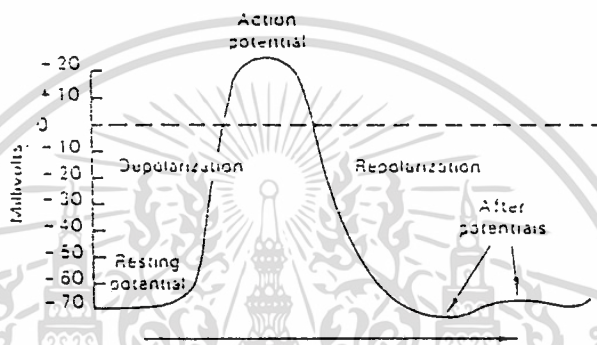
T คือ ค่าของอุณหภูมิสัมบูรณ์ (หน่วยเป็นองศาเคลวิน)

Z คือ ค่าวาเลนซ์ของไอออน

F คือ ค่าคงที่ของฟาราเดย์ (เท่ากับ 1 ฟาราเดย์ หรือ 96,500 คูลอมป์/โมล)

C_0 , C_1 คือ ค่าความเข้มข้นของไอออนภายนอกและภายในเซลล์ตามลำดับ (หน่วยเป็นโมล)

เซลล์ที่อยู่ในสภาวะโพลาไรซ์ สามารถถูกกระตุ้นด้วยสิ่งเร้าหลายประเภทขึ้นอยู่กับชนิดของเซลล์นั้น เช่น ความร้อน แสง และรูปแบบอื่นๆ ซึ่งการกระตุ้นของสิ่งเร้าอย่างน้อยต้องมีแรงกระตุ้นเพียงพอ ที่จะทำให้เกิดการเปลี่ยนแปลงศักย์ไฟฟ้าภายในของเซลล์ โดยไม่คำนึงถึงระยะเวลาของการกระตุ้นว่านานเพียงใด คุณสมบัติของเซลล์ในลักษณะนี้ เป็นไปตามกฎการเกิดขึ้นหรือไม่เกิดขึ้น (All-or-Nothing Law) ค่าของแรงกระตุ้นน้อยที่สุด ที่ทำให้เกิดการเปลี่ยนแปลงภายในเซลล์ เรียกว่า ค่าวิกฤตของการกระตุ้น (Threshold Value)

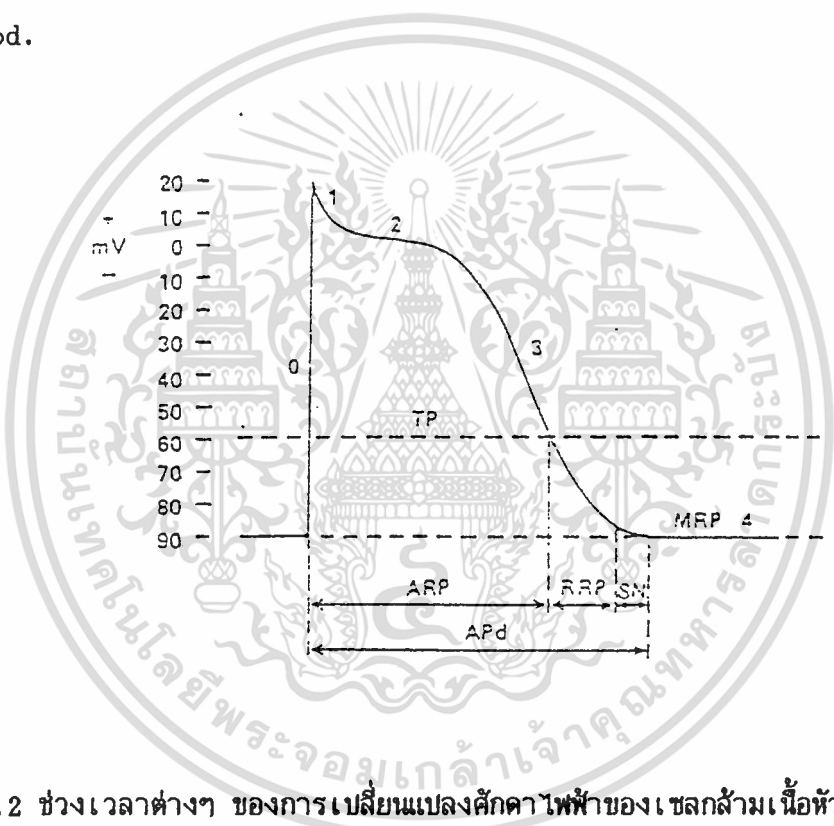


รูป 2.1 ศักย์ไฟฟ้าทำงาน

เมื่อเซลล์ถูกกระตุ้น คุณสมบัติของผนังเซลล์จะเปลี่ยนแปลงไปชั่วขณะ โดยจะยอมให้โซเดียมไอออนผ่านเข้าภายในเซลล์อย่างรวดเร็ว ทำให้ความต่างศักย์ระหว่างภายในเซลล์กับภายนอกเซลล์มีค่าเพิ่มขึ้นจนถึงประมาณบวก 20 มิลลิโวลต์ ศักย์ไฟฟ้าขณะนี้เรียกว่าศักย์ไฟฟ้าทำงาน (Action Potential) และจะกลับคืนสู่ศักย์ไฟฟ้าขณะอยู่นิ่ง ดังรูป 2.1 ขณะที่เกิดศักย์ไฟฟ้าทำงานนี้ เซลล์จะอยู่ในสภาวะดีโพลาไรซ์ (Depolarized) และการเปลี่ยนแปลงของศักย์ไฟฟ้าจากศักย์ไฟฟ้าขณะอยู่นิ่ง ไปเป็นศักย์ไฟฟ้าทำงาน เรียกว่า ดีโพลาไรเซชัน (Depolarization) หลังจากนั้นคุณสมบัติของผนังเซลล์จะกลับคืนสู่สภาวะเดิม คือยอมให้โปตัสเซียมไอออนผ่านผนังเซลล์ไปได้ส่วนโซเดียมไอออนก็จะถูกขบวนการที่เรียกว่า โซเดียมปั๊ม (Sodium Pump) นำออกจากเซลล์อย่างช้าๆ ซึ่งขบวนการนี้จะใช้พลังงานจากการสันดาบของเซลล์ Metabolism) เพื่อนำโซเดียมไอออนออกจากเซลล์ ศักย์ไฟฟ้าของเซลล์ก็จะคืนสู่ศักย์ไฟฟ้าขณะอยู่นิ่งตามเดิมซึ่งเรียกปรากฏการณ์นี้ว่า รีโพลาไรเซชัน (Repolarization) เซลล์ก็จะกลับสู่สภาวะปกติ จนกว่าจะมีการกระตุ้นใหม่ ช่วงเวลาที่ศักย์ไฟฟ้าของเซลล์เปลี่ยนจากศักย์

เอกสารนี้เป็นเอกสารที่สงวนไว้สำหรับการใช้งานเพื่อการศึกษาเท่านั้น ไม่อนุญาตให้นำไปใช้ประโยชน์ด้านการค้า

คาไฟฟ้าขณะอยู่นิ่ง ไปเป็นศักดาไฟฟ้าทำงาน แล้วกลับมาสู่ศักดาไฟฟ้าขณะอยู่นิ่งตามเดิมนั้นจะมีระยะเวลาแตกต่างกันขึ้นอยู่กับชนิดของเซลล์ ดังรูป 2.2 แสดงช่วงเวลาต่างๆ ของการเปลี่ยนแปลงศักดาไฟฟ้าของเซลล์กล้ามเนื้อหัวใจเมื่อถูกกระตุ้น โดยที่แนวแกนตั้งเป็นขนาดของศักดาไฟฟ้าและแนวแกนนอนเป็นเวลาตัวอักษรย่อต่างๆ ข้ออธิบายการเปลี่ยนแปลงของศักดาไฟฟ้าที่เกิดขึ้นดังนี้ คือ 0 = Depolarization; 1,2,3 = Phases of Repolarization; 4 = Diastolic Phases = MRP; MRP = Membrane Resting Potential; DAP = Duration of Action Potential; TP = Threshold Potential; ARP = Absolute Refractory Period; RRP = Relative Refractory Period; SN = Supernormal Period.



รูป 2.2 ช่วงเวลาต่างๆ ของการเปลี่ยนแปลงศักดาไฟฟ้าของเซลล์กล้ามเนื้อหัวใจเมื่อถูกกระตุ้น

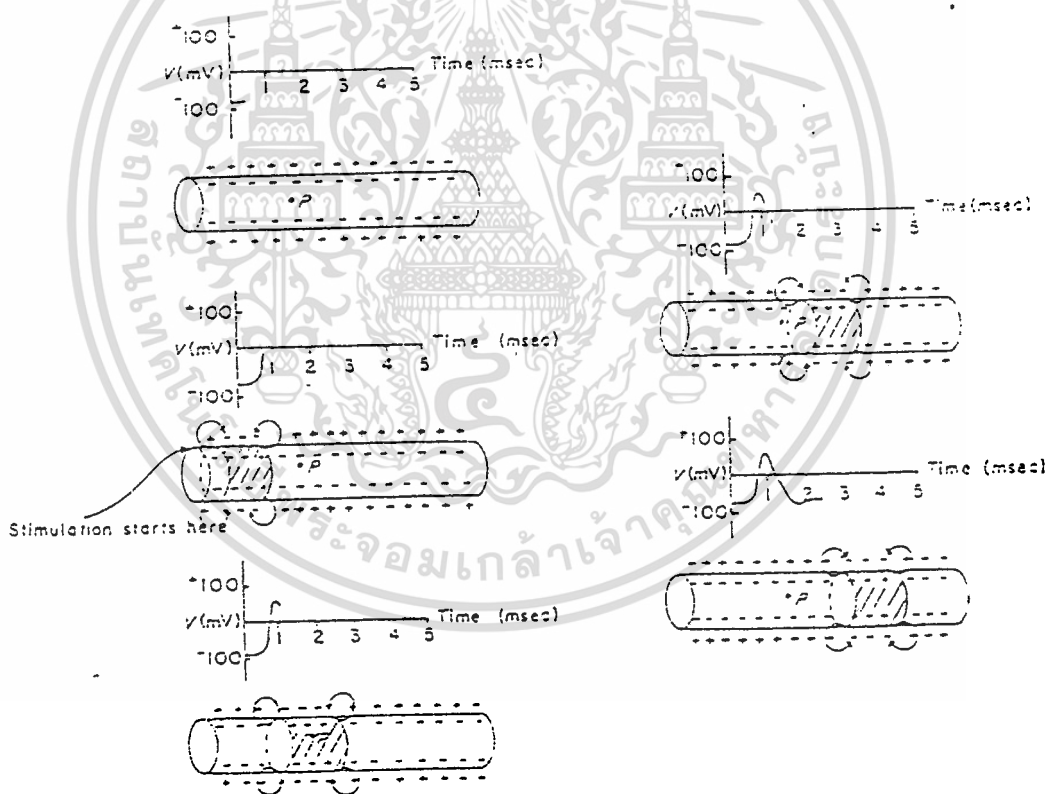
ศักดาไฟฟ้าทำงานของเซลล์ที่ถูกกระตุ้น ทำให้เกิดความลาดเอียงของศักย์ไฟฟ้า (Potential gradient) เป็นผลให้เกิดกระแสไหลไปกระตุ้นเซลล์อื่นๆ ที่อยู่ใกล้เคียง ซึ่งถ้าการกระตุ้นเป็นไปตามกฎการเกิดขึ้นและไม่เกิดขึ้นของเซลล์ ก็จะทำให้เกิดศักดาไฟฟ้าทำงานต่อกันไปเรื่อยๆ ลักษณะเช่นนี้เป็นการณ์นำไฟฟ้าของศักดาไฟฟ้าทำงาน ดังรูป 2.3 ซึ่งแสดงการนำไฟฟ้าภายในเซลล์ประสาทและกราฟของศักดาไฟฟ้าที่จุด P ตามเวลาที่เกิดขึ้น ถ้าการณ์นำไฟฟ้านี้เกิดขึ้นที่เซลล์ประสาท ศักดาไฟฟ้าทำงานของเซลล์ประสาทก็คือคำสั่งของระบบประสาทต่อเซลล์กล้ามเนื้อ

ซึ่งศักดาไฟฟ้าทำงานนี้จะส่งจากเซลล์ประสาทเซลล์หนึ่งไปยังเซลล์ที่อยู่ถัดไปเรื่อยๆ เอกสารนี้เป็นเอกสารที่สงวนไว้สำหรับการใช้งานเพื่อการศึกษาเท่านั้น เมื่ออนุญาตเห็นไปใช้ประโยชน์ใดนการการค้า

ตามเส้นประสาท จนถึงเซลล์กล้ามเนื้อ ซึ่งจะทำให้เกิดการหดตัวของกล้ามเนื้อและเกิดศักดาไฟฟ้าทำงานขึ้นด้วย ในทางตรงข้าม เมื่อเซลล์ของอวัยวะรับรู้ความรู้สึกถูกกระตุ้นจากพลังงานภายนอกจะเกิดศักดาไฟฟ้าทำงานขึ้น แล้วส่งผ่านเส้นประสาทกลับไปยังระบบประสาท

2.2 การทำงานของหัวใจ

หัวใจทำหน้าที่เสมือนลูกสูบจ่ายโลหิตไปเลี้ยงเซลล์ต่างๆ ในร่างกายรวมทั้งเซลล์ของกล้ามเนื้อหัวใจเอง หัวใจตั้งอยู่ในทรวงอกเหนือกระบังลมค่อนมาทางด้านซ้าย ภายในหัวใจแบ่งออกเป็น 4 ห้องมีผนังกันระหว่างซีกซ้ายและซีกขวา เรียกว่า เซปตัม (Septum) โดยห้องหัวใจที่อยู่ทางด้านขวาทำหน้าที่รับโลหิตจากส่วนต่างๆ ของร่างกายการบีบตัวของกล้ามเนื้อหัวใจเพื่อส่งโลหิตออกไป จะกระทำพร้อมกันทั้งทางซีกขวาและซีกซ้าย ห้องหัวใจที่อยู่ด้านบน



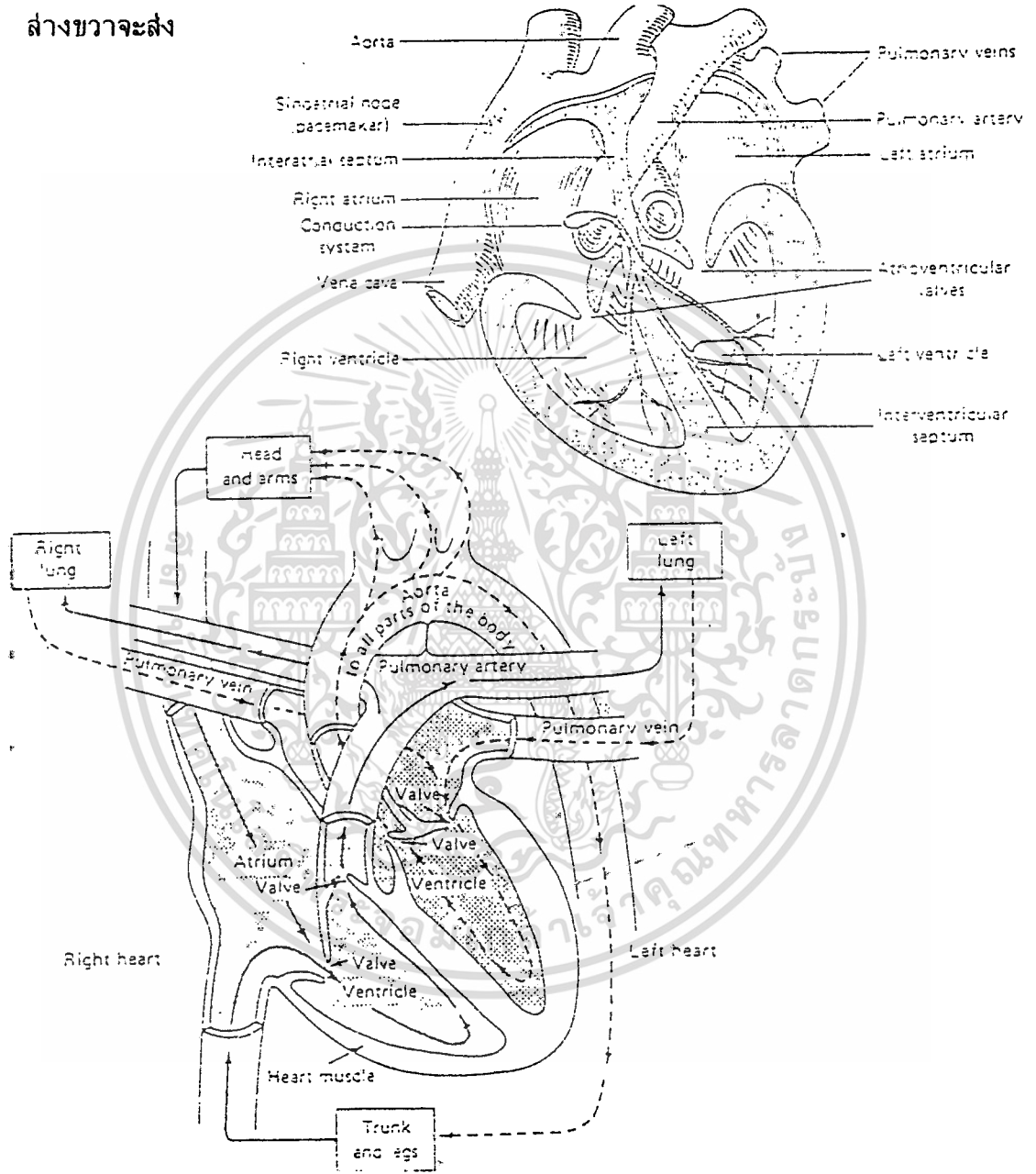
รูป 2.3 การนำไฟฟ้าของศักดาไฟฟ้าทำงานภายในเซลล์

เรียกว่า หัวใจห้องบน (Atrium) และ ห้องหัวใจที่อยู่ด้านล่างเรียกว่า หัวใจห้องล่าง (Ventricle) โลหิตจากร่างกายจะไหลกลับเข้าสู่หัวใจทางหลอดเลือดใหญ่ที่เรียกว่-

นาคาวา (Superior vena cava) และ อินฟีเรียเวนาคาวา (Inferior vena cava)

ไม่ว่ากรณีใดๆทั้งสิ้น อีกทั้งห้ามมิให้ตัดแปลงเนื้อหา และต้องอ้างอิงถึงเจ้าของเอกสารทุกครั้งที่มีการนำไปใช้

เข้าสู่ห้องหัวใจบนขวาโลหิตแดงที่ได้รับออกซิเจนจากปอดจะเข้าสู่หัวใจทางหลอดเลือดแดงพัลโมนารีเวน (Pulmonary veins) เข้าสู่ห้องหัวใจบนซ้ายหัวใจห้องบนทั้งขวาและซ้ายจะบีบตัวส่งโลหิตไปยังหัวใจห้องล่างซึ่งมีลิ้นหัวใจกั้นอยู่ หลังจากหัวใจห้องบนหดตัวส่งโลหิตมายังหัวใจห้องล่างซ้าย หัวใจห้องล่างจะหดตัวส่งโลหิตออกไปพร้อมกันทั้งซ้ายและขวา หัวใจห้องล่างขวาจะส่ง



รูป 2.4 แผนผังของหัวใจและระบบการสูบน้ำโลหิตของหัวใจ

โลหิตคาไปยังปอดเพื่อรับออกซิเจน โดยผ่านหลอดเลือดดำใหญ่พัลโมนารีอาเตอรี (Pulmonary Artery) และห้องล่างซ้ายจะส่งโลหิตไปเลี้ยงร่างกาย โดยผ่านหลอดเลือดแดงใหญ่เออร์ตา (Aorta) ซึ่งการทำงานทั้งหมดที่ได้กล่าวมาในแสดงในรูป 2.4

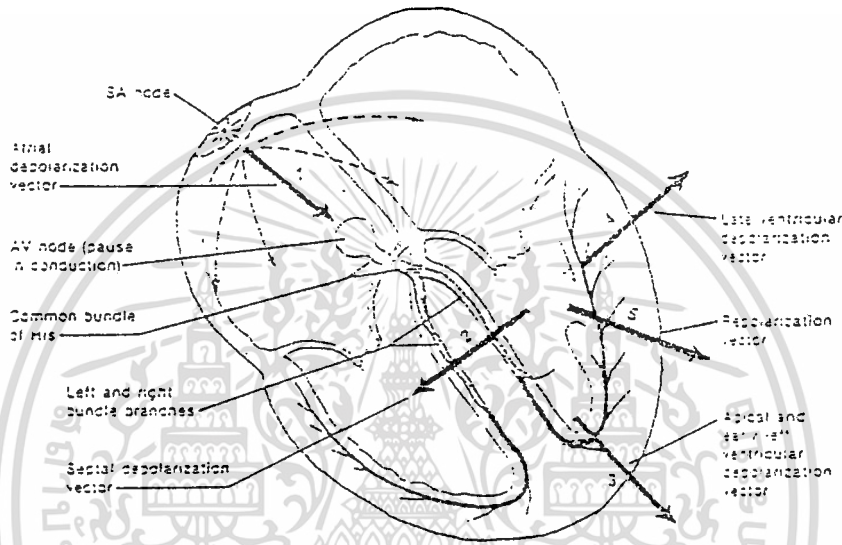
เอกสารนี้เป็นเอกสารที่สงวนไว้สำหรับการใช้งานเพื่อการศึกษาเท่านั้น เมื่อผู้ดูแลเห็นนำไปใช้ประโยชน์ด้านการค้า

ไม่ว่ากรณีใดๆทั้งสิ้น อีกทั้งห้ามมิให้ตัดแปลงเนื้อหา และต้องอ้างอิงถึงเจ้าของเอกสารทุกครั้งที่มีการนำไปใช้



2.3 ระบบนำไฟฟ้าของหัวใจ

การทำงานของกล้ามเนื้อหัวใจก็จะเป็นไปในลักษณะเดียวกันกับกล้ามเนื้ออื่นๆ กล่าวคือ จะถูกกระตุ้นด้วยศักยะไฟฟ้าทำงาน แต่การกระตุ้นนี้ไม่ได้มาจากระบบประสาทส่วนกลางหรือสมอง เป็นการกระตุ้นต่อเซลล์กล้ามเนื้อหัวใจที่เกิดขึ้นจากภายในตัวหัวใจเอง โดยประกอบด้วยกลุ่มเซลล์กลุ่มหนึ่งที่ทำหน้าที่ผลิตพัลส์ทำหน้าที่คล้ายกับเส้นประสาท โดยระบบนำไฟฟ้านี้จะนำพัลส์ไฟฟ้าไปกระตุ้นต่อเซลล์กล้ามเนื้อหัวใจ ดังรูป 2.5



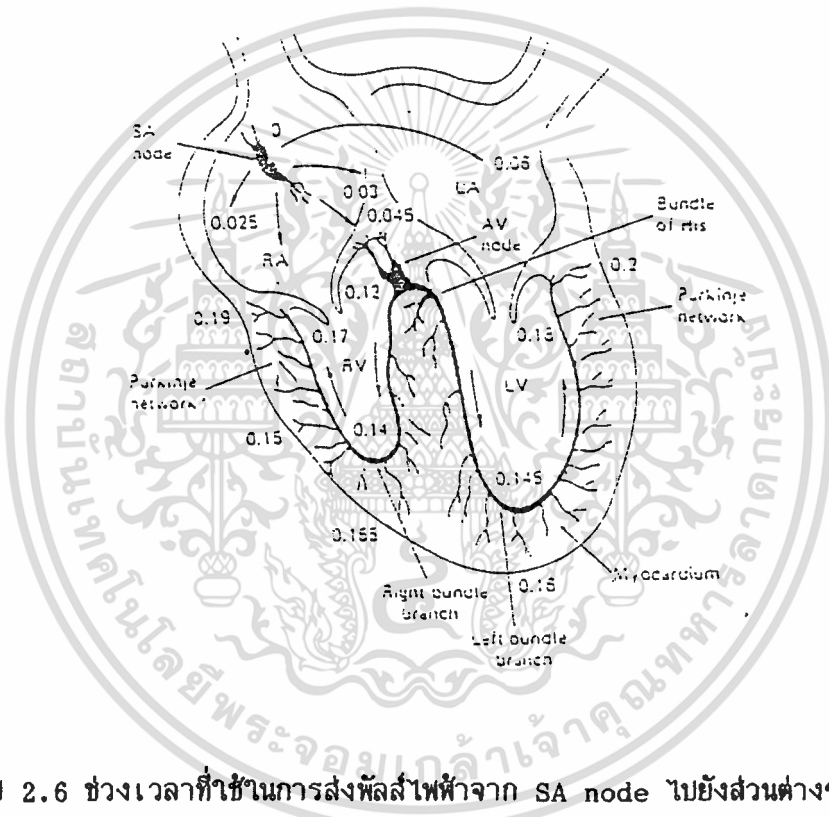
รูป 2.5 การนำไฟฟ้าภายในหัวใจ

บริเวณผนังด้านในของหัวใจระหว่างหลอดเลือดใหญ่ซูปพีเรียเวนาคาวาและอินฟีเรียเวนาคาวาจะมีเซลล์กลุ่มหนึ่งที่มีคุณสมบัติพิเศษ เซลล์กลุ่มนี้จะสร้างพัลส์ไฟฟ้าเพื่อกระตุ้นเซลล์กล้ามเนื้อหัวใจซึ่งเซลล์กลุ่มนี้ เรียกว่า SA node (Sinoatrial node) หรือไซนัส โหนด (Sinus node) หรือเพสเมคเกอร์ (Pacemaker) โดยความถี่ของพัลส์ที่ SA node สร้างขึ้นจะมีอิทธิพลในการกำหนดอัตราการเต้นของหัวใจ ซึ่งโดยปกติแล้วค่าของอัตราการเต้นของหัวใจจะเท่ากับ ความถี่ของพัลส์ที่ SA node นี้ปล่อยออกมา พัลส์ไฟฟ้านี้จะแผ่กระจายออกจาก SA node ผ่านหัวใจห้องบนทั้งซ้ายและขวา ไปสู่ AV node (Atrioventricular node) โดยที่ AV node นี้จะอยู่ที่ผนังกั้นหัวใจทางด้านขวา ระหว่างห้องบนขวาและห้องล่างขวา พัลส์ไฟฟ้าที่ผ่านหัวใจห้องบนจะทำให้หัวใจห้องบนหดตัวบีบโลหิตมายังห้องล่าง เส้นทางนำไฟฟ้า จาก SA-node ไปสู่ AV node ดังรูป 2.5 ที่ AV node นี้ประกอบด้วยเซลล์ประสาทที่ทำหน้าที่หน่วง

เวลาประมาณ 70 ms เพื่อให้การทำงานของหัวใจห้องบนและห้องล่างสัมพันธ์กันจาก AV node

เอกสารนี้เป็นเอกสารที่สงวนไว้สำหรับการใช้งานเพื่อการศึกษาเท่านั้น ไม่อนุญาตให้นำไปใช้ประโยชน์ด้านการค้า

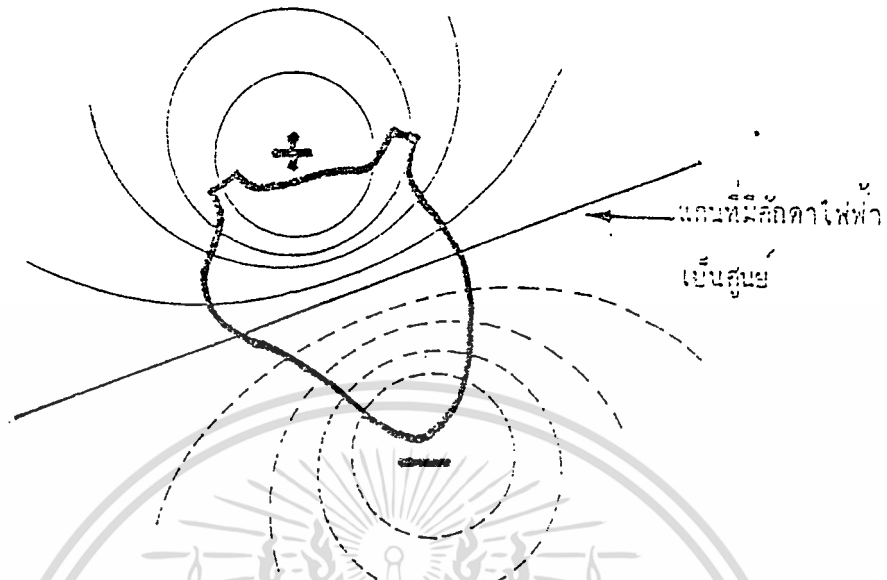
จะมีระบบนำไฟฟ้าในการนำพัลส์ไฟฟ้าไปสู่กล้ามเนื้อหัวใจส่วนของบันเดิลออฟฮิส (Bundle of His) ซึ่งแยกออกเป็น 3 เส้นทาง โดยจะไปสู่ห้องล่างซ้ายสองสาขาและห้องล่างขวาอีกหนึ่งสาขา แต่ละสาขาก็จะนำพัลส์ไฟฟ้าไปกระตุ้นเซลล์กล้ามเนื้อหัวใจห้องล่าง โดยผ่านกล้ามเนื้อหัวใจส่วนของเพอร์กินเจไฟเบอร์ (Purkinje fibers) รูป 2.6 แสดงให้เห็นถึงช่วงเวลาที่ใช้ในการส่งพัลส์ไฟฟ้าขึ้นมาเช่นเดียวกับ SA node ไปยังส่วนต่างๆของหัวใจ ซึ่งที่ AV node นี้มีการผลิตพัลส์ไฟฟ้าขึ้นมาเช่นเดียวกับที่ SA node แต่สำหรับคนปกติแล้วความถี่ของพัลส์ไฟฟ้าที่ AV node ผลิตขึ้นจะมีอัตราต่ำกว่าของ SA node



รูป 2.6 ช่วงเวลาที่ใช้ในการส่งพัลส์ไฟฟ้าจาก SA node ไปยังส่วนต่างๆ ของหัวใจ

AV node จะถูกกระตุ้นด้วยพัลส์จาก SA node ทำให้อัตราการเต้นของหัวใจมีค่าเท่ากับความเร็วของ SA node แต่ถ้าเส้นทางนำไฟฟ้าจาก SA node ไปสู่ AV node ผิดปกติหรือถูกสกัดกั้น (AV Block) หัวใจก็จะเต้นด้วยพัลส์ที่ AV node สร้างขึ้น ซึ่งจะมีค่าประมาณ 40-45 ครั้งต่อนาที

2.4 คลื่นไฟฟ้าหัวใจ (Electrocardiogram : ECG)



รูป 2.7 การกระจายของศักดาไฟฟ้าบนผิวหนังมีลักษณะเสมือนเป็นอีเล็กทริคไดโพล

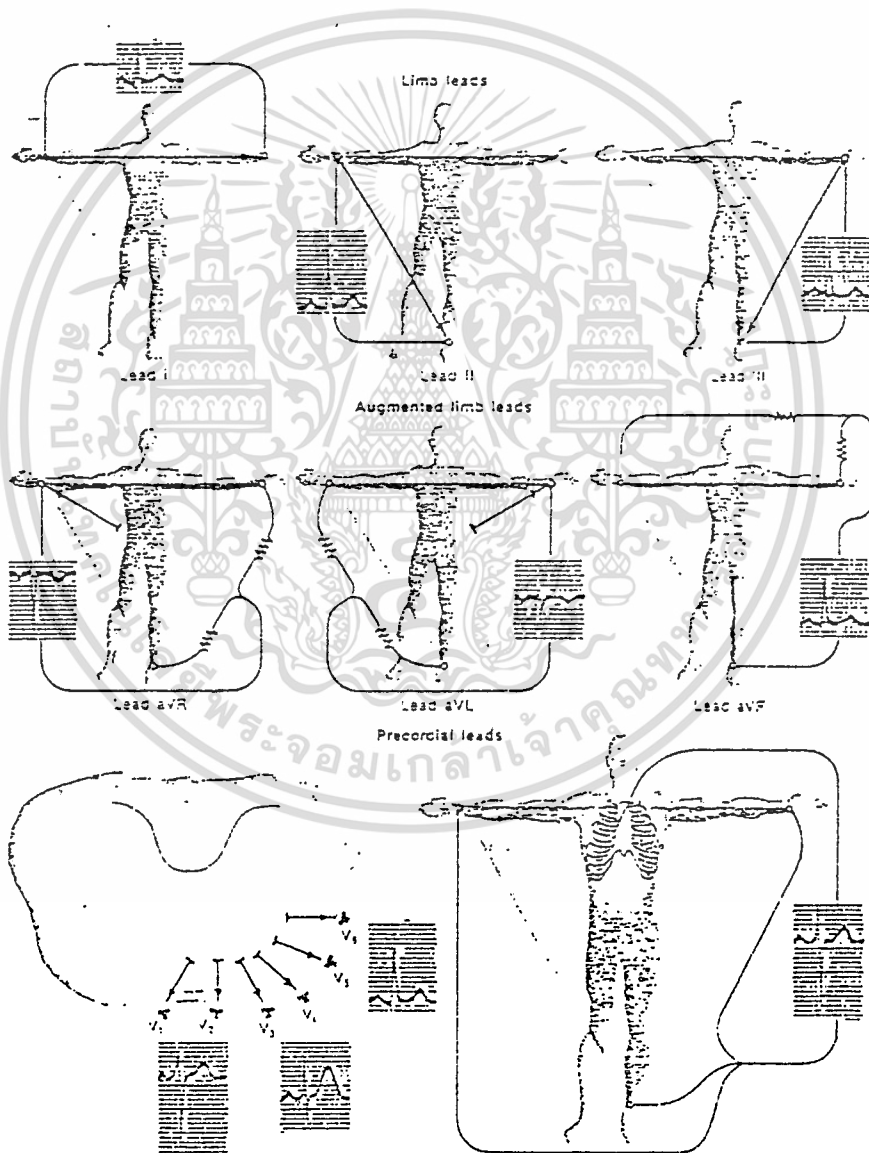
จากที่ได้กล่าวมาแล้วในหัวข้อที่ผ่านมา การทำงานของกล้ามเนื้อเกิดจากการที่พัลส์ไฟฟ้ามากระตุ้นทำให้กล้ามเนื้อเกิดการหดตัวและเกิดศักดาไฟฟ้าทำงานขึ้นด้วย ซึ่งกล้ามเนื้อหัวใจก็เป็นเช่นเดียวกันการเคลื่อนที่ของไอออนภายในเซลล์กล้ามเนื้อ ทำให้เกิดศักดาไฟฟ้าทำงานและทำให้หัวใจเต้น การเคลื่อนที่ของไอออนภายในเซลล์กล้ามเนื้อหัวใจ จะรวมตัวเป็นการไหลของกระแสไฟฟ้า และเป็นผลทำให้เกิดความต่างศักดาไฟฟ้าภายนอกเนื้อเยื่อและที่บริเวณผิวหนังของร่างกาย การไหลของกระแสจะเกิดขึ้นเฉพาะเวลาที่เกิดการกระจายของศักดาไฟฟ้าที่ทำงานเท่านั้น ดังนั้นเราอาจจะพิจารณาได้ว่าหัวใจเป็นเสมือนแหล่งกำเนิดไฟฟ้า ซึ่งบรรจุอยู่ภายในก้อนตัวนำร่างกาย ศักดาไฟฟ้าที่เกิดขึ้นจะมีการกระจายออกจากขั้วบวกและขั้วลบไปตามส่วนต่างๆ ของร่างกาย เหมือนกับเป็นอีเล็กทริคไดโพล (Electric dipole) ดังแสดงในรูป 2.7 และสามารถวัดศักดาไฟฟ้าตกรวมระหว่างจุดใดๆ ที่อยู่บนผิวหนังของร่างกายได้ ซึ่งศักดาไฟฟ้าที่วัดได้นี้เรียกว่า สัญญาณคลื่นไฟฟ้าหัวใจ (Electrocardiogram) เรียกย่อๆ ว่า ECG โดยคลื่นไฟฟ้าหัวใจที่วัดได้ระหว่างจุดต่างๆ จะไม่เหมือนกันขึ้นอยู่กับมุมและระยะทางของตามแหน่งที่วัดกระทำต่อแกนหัวใจ (Heart axis) ดังรูป 2.8 สัญญาณคลื่นไฟฟ้าหัวใจที่วัดได้จากคนปกติจะเป็น ดังในรูป 2.9 แต่ละช่วงของสัญญาณจะมีชื่อ เรียกแทนตัวอักษร

P, Q, R, S, T, U ซึ่งจะมีความสัมพันธ์กับการทำงานของหัวใจในช่วงต่างๆ ภายในหนึ่งรอบของ

การเต้นของหัวใจ แต่ละช่วงของสัญญาณจะมีความหมายดังต่อไปนี้

- สัญญาณ P เกิดจากการทำงานของหัวใจห้องบน จะมีคาบเวลาประมาณ 80-120 ms
- สัญญาณรวม QRS เกิดจากการทำงานของหัวใจห้องล่าง จะมีคาบเวลาประมาณ 80-100 ms และสัญญาณ R จะมีขนาดสูงที่สุด เนื่องจากหัวใจห้องล่างจะต้องบีบไล่เลือดส่งยังทุกส่วนของร่างกายผ่านผนังของหัวใจห้องล่างจึงมีความหนาแน่นมากกว่าส่วนอื่นๆ

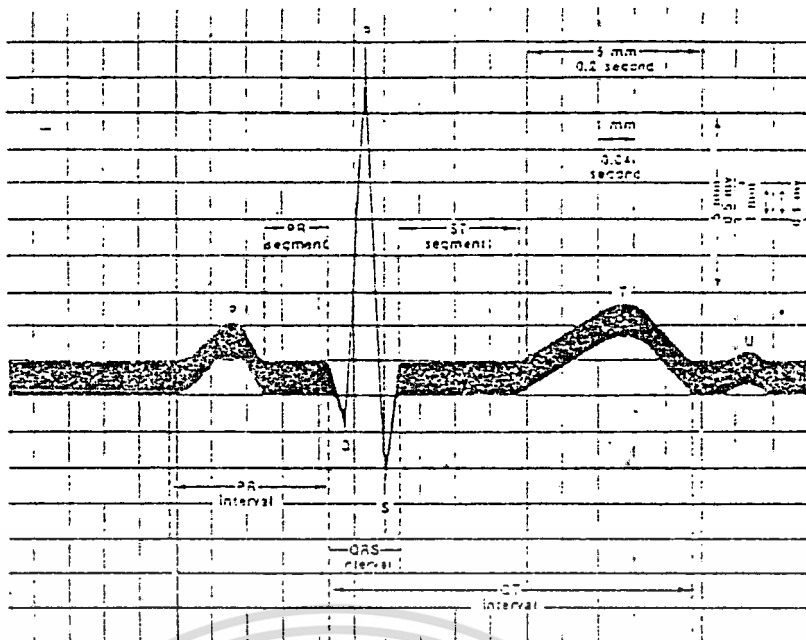
โดยการนำขั้วไฟฟ้าไปติดที่แขนขวาและแขนซ้ายหรือที่เรียกว่าลีด 1 (Lead 1) การที่สัญญาณ R มีขนาดสูงเป็นเพราะผลรวมของศักดาไฟฟ้าทำงานของเซลล์เป็นจำนวนมาก



รูป 2.8 แสดงตำแหน่งการวัดคลื่นไฟฟ้าหัวใจทั้ง 12 ลีดมาตรฐาน

เอกสารนี้เป็นเอกสารที่สงวนไว้สำหรับการใช้งานเพื่อการศึกษเท่านั้น เมื่อผู้เช่าได้เห็นใบโฆษณาหรือเห็นการดำเนินการค้า

ไม่ว่ากรณีใดๆทั้งสิ้น อีกทั้งห้ามมิให้ตัดแปลงเนื้อหา และต้องอ้างอิงถึงเจ้าของเอกสารทุกครั้งที่มีการนำไปใช้



รูป 2.9 องค์ประกอบต่างๆ ของคลื่นไฟฟ้าหัวใจ (ลีด 1)

- สัณฐาน T เกิดจากการคลายตัวของกล้ามเนื้อห้องล่าง มีความยาวประมาณ 200 ms และมีขนาดประมาณ 30% ของสัณฐาน R
- สัณฐาน U ยังไม่ทราบสาเหตุแน่นอน แต่สันนิษฐานกันว่าเกิดจากการกลับคืนสู่ระดับศักดาไฟฟ้าขณะอยู่ในอย่างช้าๆ ของเซลล์กล้ามเนื้อหัวใจห้องล่างหรือที่เรียกว่า ศักดาไฟฟ้าตามหลัง (After potential)

ช่วงเวลาดังกล่าว ของ	ช่วงเวลาปกติ (วินาที)	
	ค่าเฉลี่ย	ช่วงเวลา
คลื่นไฟฟ้าหัวใจ		
ช่วงเวลาของ PR*	0.18	0.12 - 0.20
ช่วงเวลาของ QR	0.08	ถึง 0.10
ช่วงเวลาของ QT	0.40	ถึง 0.43
ช่วงเวลาของ ST (คือ QT - QRS)	0.32	-----

เอกสารนี้เป็นเอกสารที่สงวนไว้สำหรับใช้ในการเรียนการสอนเท่านั้น ไม่อนุญาตให้นำไปใช้ประโยชน์ด้านการค้า

ไม่ว่ากรณีใดๆทั้งสิ้น อีกทั้งห้ามมิให้คัดลอกเนื้อหา และอ้างอิงถึงเจ้าของเอกสารทุกครั้งที่มีการนำไปใช้

หมายเหตุ * ช่วงเวลาของ PR วัดได้จากเวลาของสัญญาณ P ถึงเวลาเริ่มของ
สัญญาณรวม QRS

ตาราง 2.1 ช่วงเวลาต่างๆ ของคลื่นไฟฟ้าหัวใจ

เวลาในแต่ละช่วงของคลื่นไฟฟ้าหัวใจ แสดงถึงการส่งสัญญาณไฟฟ้าไปยัง เนื้อเยื่อของ
กล้ามเนื้อหัวใจที่จุดต่างๆ ซึ่งเวลาในแต่ละช่วงของสัญญาณปกติสรุปไว้ในตาราง 2.1

2.5 การวิเคราะห์คลื่นไฟฟ้าหัวใจ

คลื่นไฟฟ้าหัวใจเป็นการบันทึกสภาพการทำงานของหัวใจ ที่วัดได้บนผิวหนังของร่างกาย
ด้วยเครื่องวัดและแสดงสัญญาณไฟฟ้าหัวใจ (Electrocardiograph) จึงถือได้ว่าคลื่นไฟฟ้า
หัวใจเป็นพารามิเตอร์ของร่างกาย (Physiological parameter) ที่นำมาใช้ประโยชน์ใน
การวินิจฉัยอาการ ความผิดปกติและประเมินสภาวะของหัวใจได้เป็นอย่างดี การวิเคราะห์และ
แปลผลคลื่นไฟฟ้าหัวใจที่บันทึกได้จึงเป็นข้อมูลที่สำคัญในการประกอบการรักษาโรคต่างๆ ของผู้
ป่วย โดยเฉพาะเกี่ยวกับหัวใจและหลอดเลือด การวิเคราะห์คลื่นไฟฟ้าหัวใจจะทำการบันทึก
คลื่นไฟฟ้าหัวใจลงบนกระดาษกราฟ ซึ่งมีแกนนอนเป็นฐานเวลา (หน่วยเป็นวินาที) ส่วนแกนตั้ง
เป็นความสูงของคลื่น (หน่วยเป็นมิลลิโวลต์) แล้วอาศัยแพทย์หรือผู้เชี่ยวชาญในการแปลผลมา
ทำการอ่านและวัดพารามิเตอร์ต่างๆ เช่น รูปคลื่นความสูงของคลื่น ระยะเวลาในช่องต่างๆ
ระดับของเส้นสันฐาน เป็นต้น แล้วทำการสรุปรวบรวมวิเคราะห์ และคาดคะเนว่าผู้ป่วยมีสภาวะ
ของหัวใจเป็นเช่นใด โดยอาจทำการวิเคราะห์ทั้ง 12 ลีด มาตรฐาน หรือเพียงลีดใดลีดหนึ่ง
ขึ้นอยู่กับความสามารถและความชำนาญในการวิเคราะห์ผลของผู้เชี่ยวชาญนั้น ข้อจำกัดของวิธี
การแบบนี้ อยู่ที่เวลาที่ใช้ในการวิเคราะห์ผล เนื่องจากภาระกิจประจำของแพทย์หรือผู้เชี่ยวชาญ
ทำให้การทราบผลที่วิเคราะห์ไม่ทันต่อการดูแลรักษาผู้ป่วย ดังนั้นในปัจจุบัน ด้วยความเจริญก้าวหน้า
ทางเทคโนโลยี ทำให้สามารถนำคอมพิวเตอร์เข้ามาช่วยในการวิเคราะห์ คลื่นไฟฟ้าหัวใจ
แทนคน โดยการแปลงสัญญาณไฟฟ้าหัวใจให้อยู่ในรูปของข้อมูลดิจิทัล แล้วส่งไปยังคอมพิวเตอร์
ซึ่งมีโปรแกรมที่ทำหน้าที่วิเคราะห์ข้อมูลดิจิทัลของสัญญาณไฟฟ้าหัวใจที่เข้ามา เพื่อทำการแปล
ผลและรายงานผลให้ทราบ ซึ่งวิธีนี้เป็นที่แก้ปัญหาบางส่วนของวิธีการวิเคราะห์ในแบบเดิมได้
เช่น กรณีไม่มีแพทย์หรือผู้เชี่ยวชาญภาระกิจที่ไม่สามารถทำการวิเคราะห์ผลได้ ทั้งยังให้ผล
ลัพท์ที่รวดเร็ว แม่นยำและถูกต้อง ทันต่อการรักษาอาการของผู้ป่วย ดังนั้นคอมพิวเตอร์จึงมี

เอกสารนี้เป็นเอกสารที่...
บทบาทสำคัญที่เข้ามาช่วยลดภาระของบุคลากร หรือทดแทนการขาดบุคลากร โดยที่ผลการ
ไม่ว่ากรณีใดๆทั้งสิ้น อีกทั้งห้ามมิให้ตัดแปลงเนื้อหา และต้องอ้างอิงถึงเจ้าของเอกสารทุกครั้งที่มีการนำไปใช้

วิเคราะห์ยังคงความเชื่อถือได้อยู่ การวิเคราะห์คลื่นไฟฟ้าหัวใจสามารถพิจารณาได้ 5 หัวข้อ

[1][2] คือ .

2.5.1 อัตราการเต้นของหัวใจ (Rate)

2.5.2 จังหวะการเต้นของหัวใจ (Rhythm)

2.5.3 แนวแกนของหัวใจ (Axis)

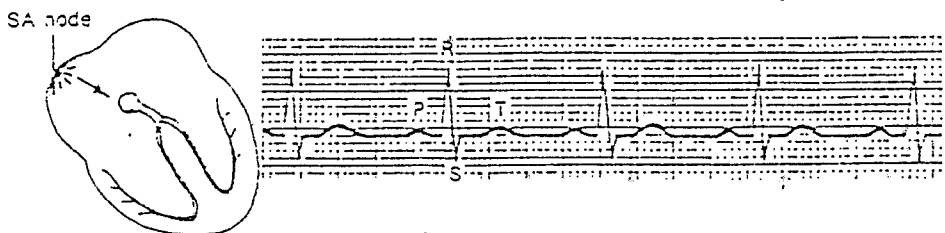
2.5.4 กล้ามเนื้อหัวใจพองโต (Hypertrophy)

2.5.5 กล้ามเนื้อหัวใจตาย (Infarction)

การวิเคราะห์ทั้ง 5 หัวข้อนี้ เป็นการพิจารณาความผิดปกติที่เกิดขึ้นกับหัวใจ โดยสามารถสังเกตได้จากคลื่นไฟฟ้าหัวใจ โดยแต่ละหัวข้อจะมีวิธีการสังเกตที่แตกต่างกันไป ซึ่งสามารถศึกษาวิธีการต่างๆ นี้จากเอกสารอ้างอิง [1][3]

2.6 ความผิดปกติของจังหวะการเต้นของหัวใจ (Arrhythmia)

จังหวะการเต้น (Rhythm) เป็นคุณสมบัติสำคัญอย่างหนึ่งของหัวใจที่แสดงถึงความสามารถในการทำงานของหัวใจอย่างสม่ำเสมอตลอดเวลา ซึ่งคุณสมบัตินี้เองจะเป็นสิ่งที่แสดงความเป็นปกติของหัวใจโดยจะสามารถทราบได้จากการบันทึกสัญญาณไฟฟ้าหัวใจ (หรือคลื่นไฟฟ้าหัวใจนั่นเอง) จังหวะการเต้นของหัวใจปกติเป็นไปอย่างสม่ำเสมอแน่นอน ตามความถี่ของ SA node ที่กระตุ้นเซลล์ของหัวใจ เพราะว่าทุกๆ ส่วนของกล้ามเนื้อหัวใจ และระบบนำไฟฟ้าทำงานอย่างเป็นปกติ ดังรูป 2.10 แต่เมื่อบางส่วนหัวใจเกิดการกระตุ้นที่ผิดปกติขึ้นในบางสถานการณ์ ก็จะทำให้จังหวะการเต้นผิดแปลกไปจากจังหวะปกติ ซึ่งผลของความผิดปกตินี้ก็จะสะท้อนออกมาทางคลื่นไฟฟ้าหัวใจให้เห็นได้ ความผิดปกติของจังหวะการเต้น มีศัพท์ทางการแพทย์ เรียกกันว่า "Arrhythmia" โดยความหมายของศัพท์คำนี้ แปลว่าไม่มีจังหวะ แต่ที่ใช้กันอยู่นี้ หมายถึง ความผิดปกติของจังหวะ (abnormal rhythm) ซึ่งมีศัพท์ที่มีความหมายในทางองเดียวกันนี้ที่พบบ่อยๆ เช่น rhythm disturbance และ dysrhythmia



รูป 2.10 สัญญาณไฟฟ้าหัวใจที่มีลักษณะรูปร่างและจังหวะการเต้นเป็นปกติ

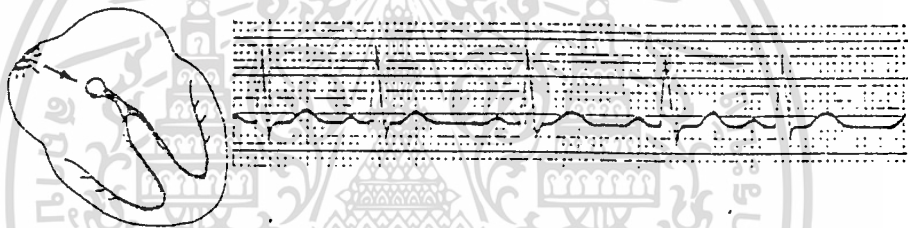
เอกสารนี้เป็นเอกสารที่สงวนไว้สำหรับใช้เพื่อการศึกษานาน เมื่ออนุญาตให้เห็นไปใช้ประโยชน์ด้านการค้า

ไม่ว่ากรณีใดๆทั้งสิ้น อีกทั้งห้ามมิให้ตัดแปลงเนื้อหา และต้องอ้างอิงถึงเจ้าของเอกสารทุกครั้งที่มีการนำไปใช้

ความผิดปกติของจังหวะการเต้นของหัวใจอาจจะแบ่งเป็น 4 กลุ่มใหญ่ๆ ทำให้สามารถจำแนกลักษณะอาการและเข้าใจกลไกของความผิดปกติที่เกิดขึ้นได้ง่ายและรวดเร็วขึ้น. ดังต่อไปนี้

2.6.1 Varying Rythm เป็นลักษณะความผิดปกติของจังหวะการเต้นของหัวใจกลุ่มหนึ่ง ซึ่งมีลำดับของสัญญาณ คือ P-QRS-T เป็นปกติธรรมดา แต่จังหวะการเต้น (คือช่วงเวลาระหว่างสัญญาณ P-QRS-T ในแต่ละรอบ) นั้นเกิดการเปลี่ยนแปลงอย่างต่อเนื่องไม่สม่ำเสมอ ลักษณะอาการที่จัดอยู่ในกลุ่มดังกล่าวนี้ ได้แก่

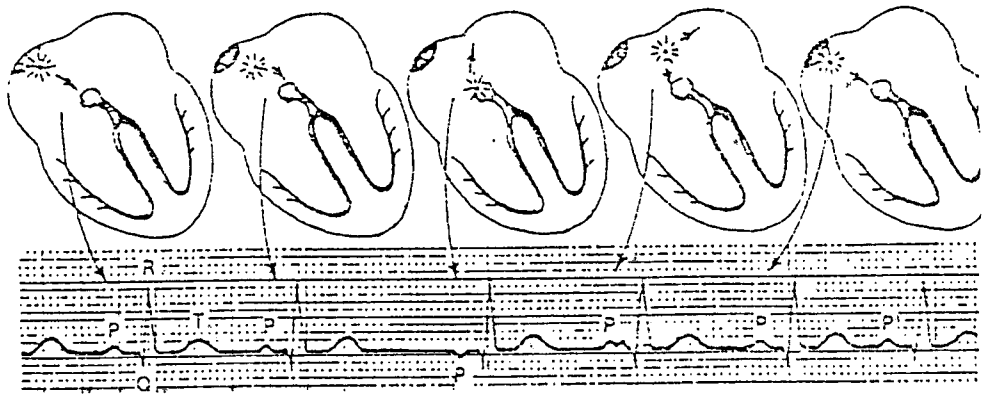
2.6.1.1 Sinus Arrhythmia เป็นลักษณะความผิดปกติของจังหวะการเต้นที่จัดอยู่ในกลุ่มของ Vary Rhythm ซึ่งบ่อยครั้งที่สาเหตุมาจากโรคหัวใจ Sick Sa Node disease ลักษณะความผิดปกติของคลื่นไฟฟ้าหัวใจในประเภทนี้ จะมีข้อมูลสังเกตได้ คือสัญญาณ P-QRS-T



รูปที่ 2.11 Sinus Arrhythmia

มีลักษณะเป็นปกติทั้งขนาดและรูปร่าง แต่ช่วงเวลาระหว่างแต่ละรอบของสัญญาณเหล่านี้จะไม่สม่ำเสมอ ซึ่งเป็นลักษณะที่ผิดปกติไปจากธรรมดา ดังรูป 2.11 เนื่องจากการกระตุ้น (pacemaker) ทุกครั้งจะเกิดขึ้นที่บริเวณ SA node (สังเกตได้จากสัญญาณ P) แต่การกระตุ้นที่เกิดขึ้นจะไม่สม่ำเสมอ ทำให้สัญญาณที่ส่งออกไปกระตุ้นเซลล์อื่นคลาดเคลื่อนจากช่วงเวลาปกติ เป็นผลให้จังหวะการเต้นของหัวใจไม่สม่ำเสมอเหมือนปกติ

2.6.2 Wandering Pacemaker เป็นลักษณะความผิดปกติของจังหวะการเต้นประเภทหนึ่งในกลุ่มของ Vary Rhythm ที่มีสาเหตุมาจากการเปลี่ยนตำแหน่งของการกระตุ้นภายในหัวใจ ซึ่งสามารถสังเกตได้จากการเปลี่ยนแปลงรูปร่างของสัญญาณ P การเปลี่ยนตำแหน่งของการกระตุ้นนี้ส่งผลให้ผลรวมของจังหวะการเต้นของหัวใจผิดปกติไป ดังรูป 2.12 เนื่องจกตำแหน่งของการกระตุ้นเปลี่ยนจากจุดหนึ่งไปยังอีกจุดหนึ่งในบริเวณหัวใจห้องบน

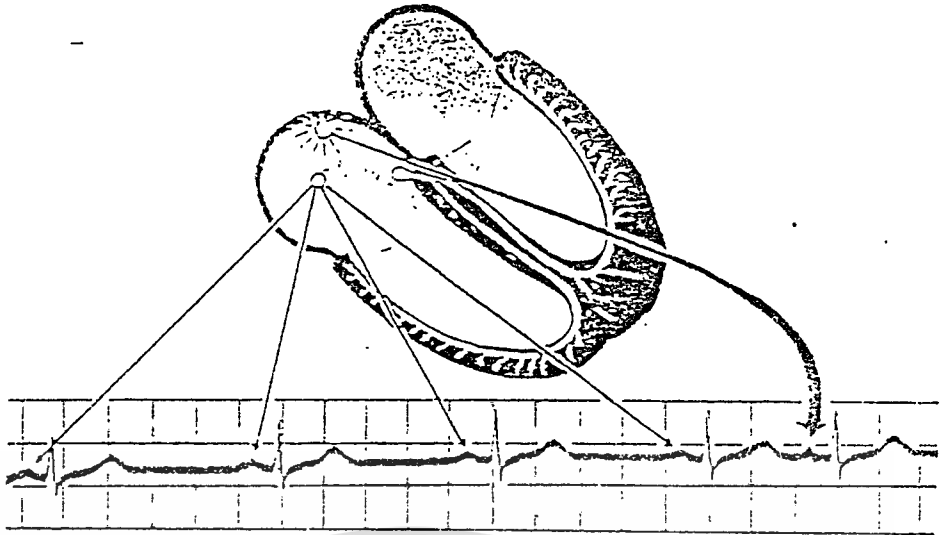


รูป 2.12 Wandering Pacemaker

2.6.2 Extra Beats and Skips เป็นลักษณะความผิดปกติของจังหวะการเต้นของหัวใจกลุ่มหนึ่งที่สามารถจำแนกลักษณะความผิดปกตินี้ด้วยสายตาได้โดยง่าย ศัพท์คำว่า "Extra Beats" หมายถึง สัญญาณไฟฟ้าหัวใจที่เกิดขึ้นก่อนกำหนดที่คาดไว้ ส่วนศัพท์คำว่า "Skips" หมายถึงสัญญาณไฟฟ้าหัวใจที่ขาดหายไปจากเวลาที่คาดว่าจะพบสัญญาณนี้ ทำให้เกิดพื้นที่ของ baseline ที่ว่างไว้ การจำแนกความผิดปกติในลักษณะนี้ สามารถสังเกตความแตกต่างระหว่างสัญญาณไฟฟ้าหัวใจปกติได้จากสัญญาณรวม QRS และช่วงเวลาระหว่างสัญญาณไฟฟ้าหัวใจลูกหนึ่งไปอีกลูกหนึ่ง (pause)

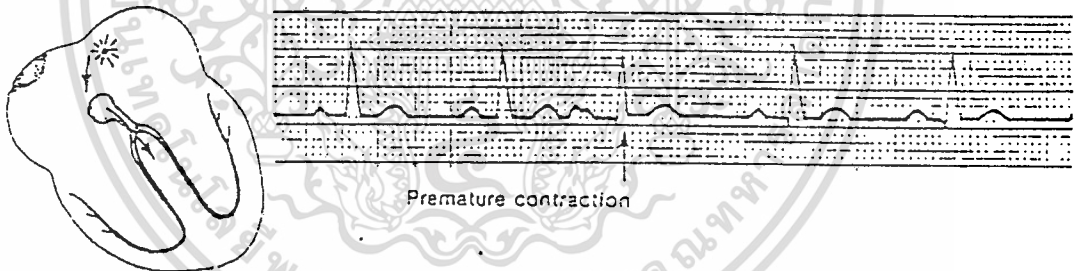
2.6.2.1 Premature Beats เป็นผลเนื่องจากการเกิดสัญญาณกระตุ้นก่อนที่จะถึงรอบการทำงานของหัวใจ ทำให้เกิดสัญญาณไฟฟ้าหัวใจปรากฏขึ้นก่อนเวลาปกติ ในแต่ละรอบการทำงานดังรูป 2.13 ซึ่งความผิดปกติในลักษณะนี้ สัญญาณไฟฟ้าหัวใจอาจดูเหมือนสัญญาณปกติหรือมีรูปแบบที่ผิดปกติแตกต่างออกไป แต่สัญญาณที่ผิดปกตินี้จะเกิดก่อนเวลาในแต่ละรอบการทำงานของหัวใจ โดยความผิดปกติในลักษณะนี้สามารถจำแนกย่อยตามบริเวณที่เกิดการกระตุ้นได้ ดังนี้

- Atrial Premature เป็นลักษณะความผิดปกติของจังหวะการเต้นของหัวใจที่เกิดขึ้นบริเวณหัวใจห้องบน เนื่องจากเกิดการกระตุ้นก่อนกำหนดในบริเวณนี้ ทำให้เกิดสัญญาณ P ก่อนเวลา



รูป 2.13 สัญญาณไฟฟ้าหัวใจที่มี premature beat เกิดขึ้น

ปกติและสัญญาณ P นี้จะมีรูปร่างผิดปกติไปไม่เหมือนสัญญาณ P ที่วัดได้ด้วยสัปดาห์เดียวกัน เนื่องจากสัญญาณกระตุ้นไม่ได้เกิดจากบริเวณ SA node แต่ก็เกิดการนำไฟฟ้าภายในหัวใจ เช่นเดียวกับการกระตุ้นที่บริเวณ SA node ปกติ ดังรูป 2.14



รูป 2.14 Atrial Premature Contractions

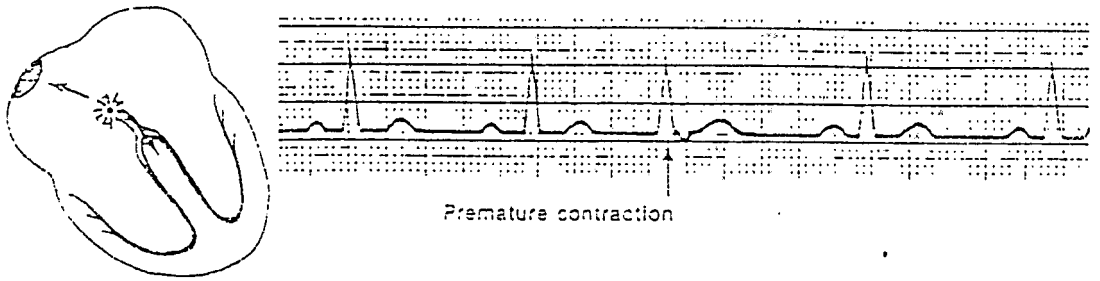
- AV Nodal Premature เป็นลักษณะความผิดปกติของจังหวะการเต้น เนื่องจากเกิดการกระตุ้นที่ผิดปกติบริเวณ AV node ก่อนที่จะเริ่มรอบการทำงานของหัวใจ ลักษณะเช่นนี้ทำให้เกิดสัญญาณรวม QRS ขึ้นก่อน โดยไม่มีสัญญาณ P ปรากฏขึ้นก่อน หรืออาจจะเกิดหลังจากสัญญาณรวม QRS เนื่องจากเกิดการกระตุ้นย้อนกลับไปยังบริเวณหัวใจห้องบนได้ดังรูป 2.15

- Premature Ventricular Contractions (ใช้ชื่อย่อว่า PVCs หรือ PVC) เป็น

ลักษณะความผิดปกติของจังหวะการเต้น เนื่องจากเกิดการกระตุ้นที่ผิดปกติบริเวณหัวใจห้องบน

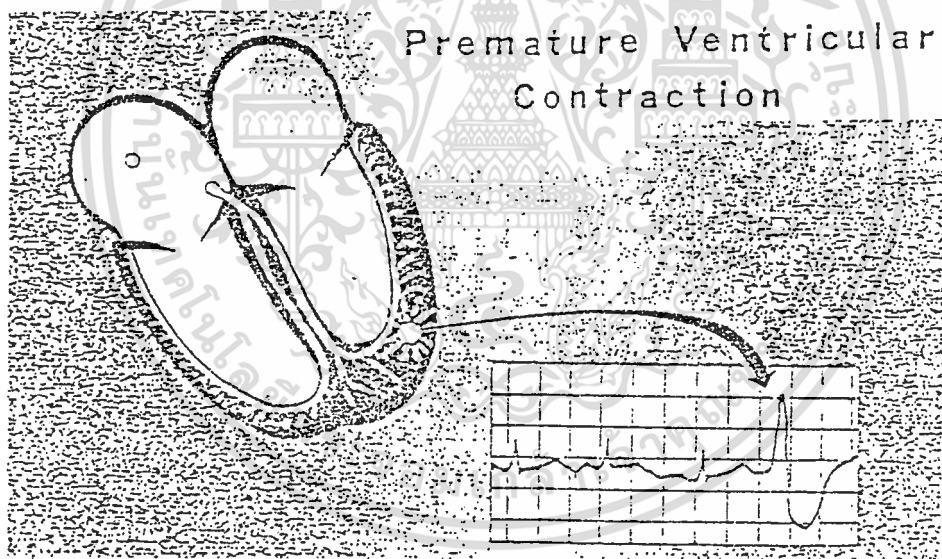
เอกสารนี้เป็นเอกสารที่สงวนไว้สำหรับการใช้งานเพื่อการศึกษาค้นคว้าเท่านั้น เมื่อผู้ใดเห็นใบเซอร์เวอแลนซ์นี้ กรุณา

ไม่ว่ากรณีใดๆทั้งสิ้น อีกทั้งห้ามมิให้ตัดแปลงเนื้อหา และต้องอ้างอิงถึงเจ้าของเอกสารทุกครั้งที่มีการนำไปใช้



รูป 2.15 AV Nodal Premature Contractions

ของหัวใจห้องล่าง ซึ่งลักษณะการเกิดสัญญาผิดปกติก็จะเกิดก่อนกำหนดของรอบการทำงาน
 ของหัวใจที่คาดไว้ โดยจะสังเกตจากคลื่นไฟฟ้าหัวใจได้โดยง่าย ที่บริเวณสัญญาณรวม QRS
 ดังรูป 2.16



รูป 2.16 Premature Ventricular Contractions

ซึ่งลักษณะแตกต่างจากสัญญาณไฟฟ้าหัวใจปกติอย่างเห็นได้ชัด เนื่องจากการกระตุ้นก่อน
 กำหนดของ PVC ทำให้การนำไฟฟ้าต่อไปยังระบบนำไฟฟ้าของ Bundle Branch ช้าลงเป็น
 ผลให้ช่วงกว้างของสัญญาณรวม QRS เพิ่มมากขึ้น ดังรูป 2.17 ในระหว่างการนำไฟฟ้าปกติ
 บริเวณหัวใจห้องล่างนั้น จะเกิดการ Depolarization ทั้งที่ทั้งด้านซ้ายและด้านขวา โดยมี
 ทิศทางพุ่งออกตามทิศทางของด้านนั้นหรือตามทิศทางของลูกศร ดังรูป 2.17 (ก). เป็นผลให้
 ช่วงกว้างของสัญญาณรวม QRS แคบมาก



Normal



(ก)

P. V. C.

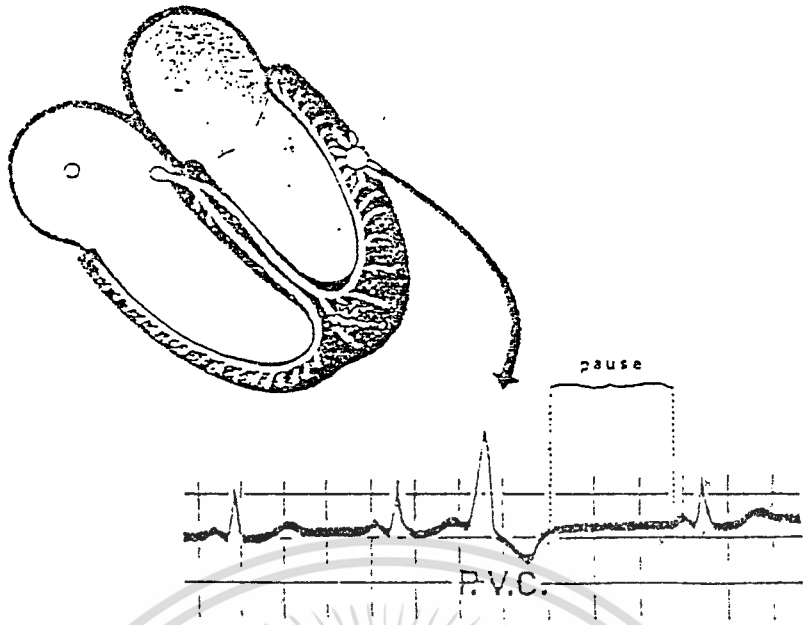


รูป 2.17 เปรียบเทียบสัญญาณ QRS ของสัญญาณไฟฟ้าหัวใจกับสัญญาณที่เกิด PVC

(ก) สัญญาณไฟฟ้าหัวใจปกติ

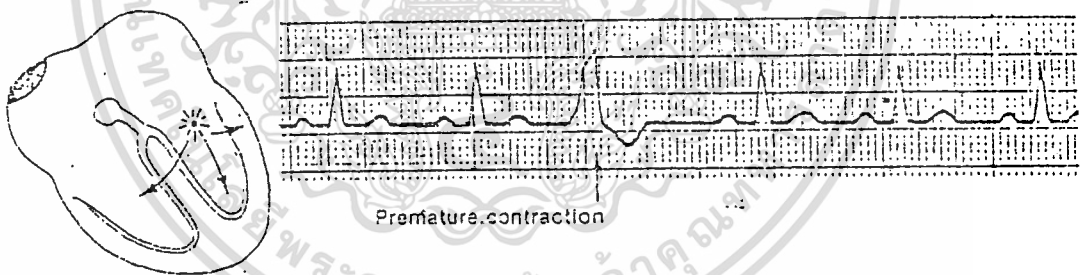
(ข) สัญญาณที่เกิด PVC

แต่ถ้าเกิด PVC ขึ้นบริเวณด้านหนึ่งด้านใดของหัวใจห้องล่างจะทำให้เกิด Depolarization ก่อนอีกด้านหนึ่ง เป็นผลให้สัญญาณรวม QRS มีขนาดใหญ่และกว้างมากขึ้น ดังรูป 2.17 (ข). หลังจากเกิด PVC ขึ้นแล้วจะมีช่วงเวลาหนึ่งที่หัวใจจะหยุดการนำไฟฟ้าชั่วขณะหนึ่ง เรียกว่า Compensatory Pause ดังรูป 2.18



รูป 2.18 ลักษณะของ Compensatory pause หลังจากเกิด PVC

ลักษณะของ PVC ที่เกิดขึ้นนั้นมีหลายรูปแบบ ซึ่งแต่ละรูปแบบก็จะมีศัพท์ทางการแพทย์ที่ใช้เรียกแตกต่างกันไปตามรูปแบบนั้นๆ ที่เกิดขึ้นได้แก่



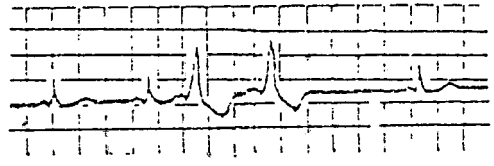
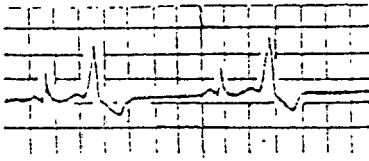
รูป 2.9 Interpolated PVCs

- Interpolated PVCs เป็น PVC ประเภทหนึ่งที่เกิดควบคู่กับสัญญาณไฟฟ้าหัวใจปกติ แต่ลักษณะของ PVC นี้จะไม่มี Compensatory pause เกิดขึ้น และไม่รบกวนจังหวะการเต้นของหัวใจปกติอีกด้วย ดังรูป 2.19

Bigeminy เป็น PVC ประเภทหนึ่งที่เกิดสัญญาณไฟฟ้าหัวใจปกติหนึ่งลูก ควบคู่กับสัญญาณ Premature Beat หนึ่งลูก และเกิดลักษณะเช่นนี้ซ้ำๆ กันขึ้น ดังรูป 2.20 (ก)

Trigeminy เป็น PVC ประเภทหนึ่งที่เกิดสัญญาณไฟฟ้าหัวใจปกติหนึ่งลูก ควบคู่กับสัญญาณ Premature Beats สองลูกติดกัน และเกิดลักษณะเช่นนี้ซ้ำๆ กันขึ้น ดังรูป 2.20 (ข)

เอกสารนี้จัดทำขึ้นเพื่อแจกจ่ายฟรีโดยไม่คิดมูลค่า หากมีข้อผิดพลาดประการใดขออภัยเป็นอย่างสูง



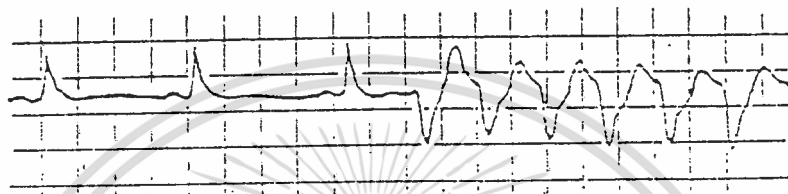
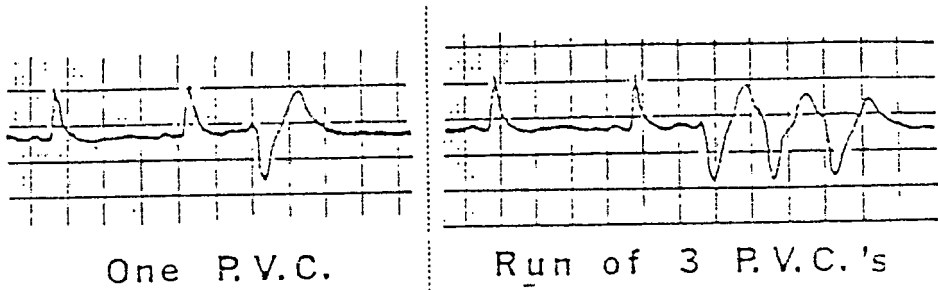
รูป 2.20 (ก) Bigeminy

(ข) Trigeminy

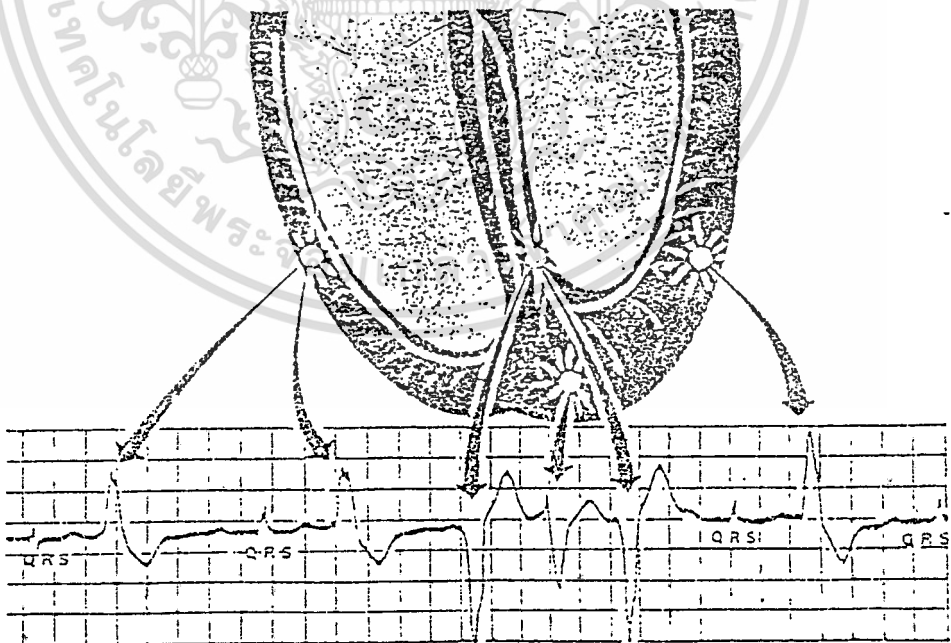
Run of n. PVCs เป็น PVC ประเภทหนึ่งที่เกิดจากการกระตุ้นก่อนกำหนด หนึ่งครั้งเป็นผลให้การกระตุ้นตามมามากหลายครั้ง (n = จำนวนครั้งที่เกิดความผิดปกติ) ดังรูป 2.21

Multifocal PVCs เป็น PVC ประเภทหนึ่งที่เกิดจากการกระตุ้นก่อนกำหนดที่บริเวณหัวใจห้องล่างหลายๆ จุด เป็นผลให้เกิดการกระตุ้นลุกลามต่อไปจนถึงชั้น Ventricular Tachycardia หรือ Ventricular Fibrillation ดังรูป 2.22

R-on-T Phenomenon เป็น PVC ประเภทหนึ่งที่เกิดขึ้นในช่วงเวลาที่เกิดสัญญาณ T ซึ่งเป็นช่วงเวลาที่หัวใจเกิด R-polarization ดังรูป 2.23 ซึ่งถือได้ว่าเป็นลักษณะความผิดปกติที่รุนแรงอีกประเภทหนึ่ง

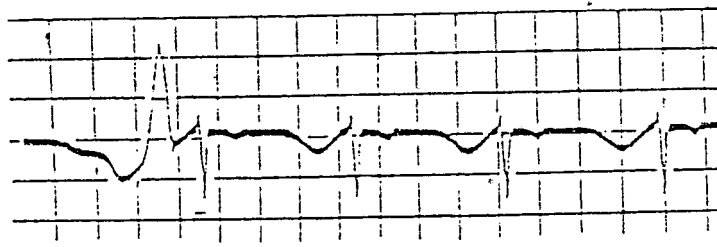


รูป 2.21 Run of n. PVCs



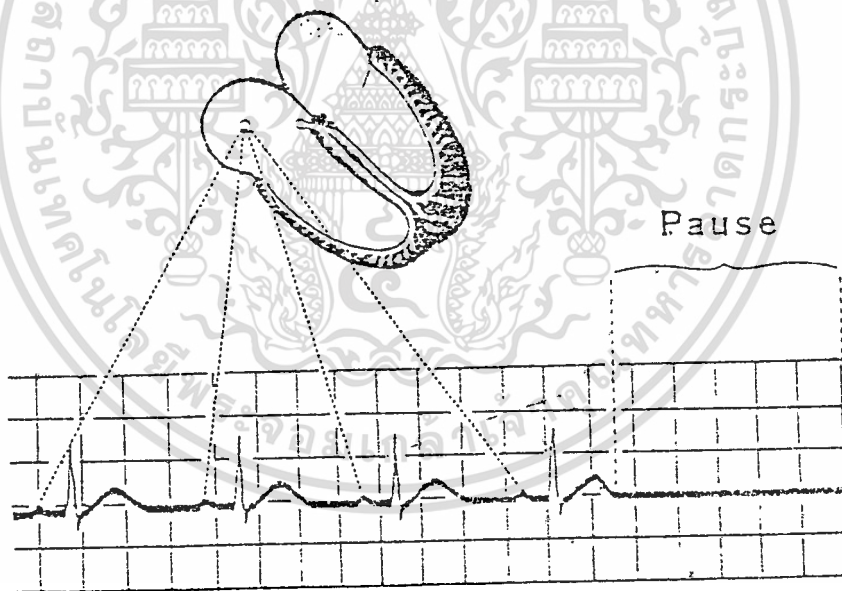
รูป 2.22 Multifocal PVCs

เอกสารนี้เป็นเอกสารที่สงวนไว้สำหรับการใช้งานเพื่อการศึกษาเท่านั้น ไม่อนุญาตให้นำไปใช้ประโยชน์ด้านการค้า
ไม่ว่ากรณีใดๆทั้งสิ้น อีกทั้งห้ามมิให้ดัดแปลงเนื้อหา-23-ห้องอ้างอิงถึงเจ้าของเอกสารทุกครั้งที่มีการนำไปใช้



รูป 2.23 R-on-T Phenomenono

2.6.2.2 Escape Beats เกิดขึ้นเมื่อการกระตุ้นปกติล้มเหลว ทำให้การกระตุ้นหยุดคาบหนึ่งหรือมากกว่าหนึ่งรอบการทำงาน เป็นผลให้เกิดการขาดช่วงของสัญญาณไป ดังรูป 2.24 ความผิดปกติในลักษณะนี้สามารถจำแนกตามบริเวณที่เกิดความผิดปกติได้ดังนี้

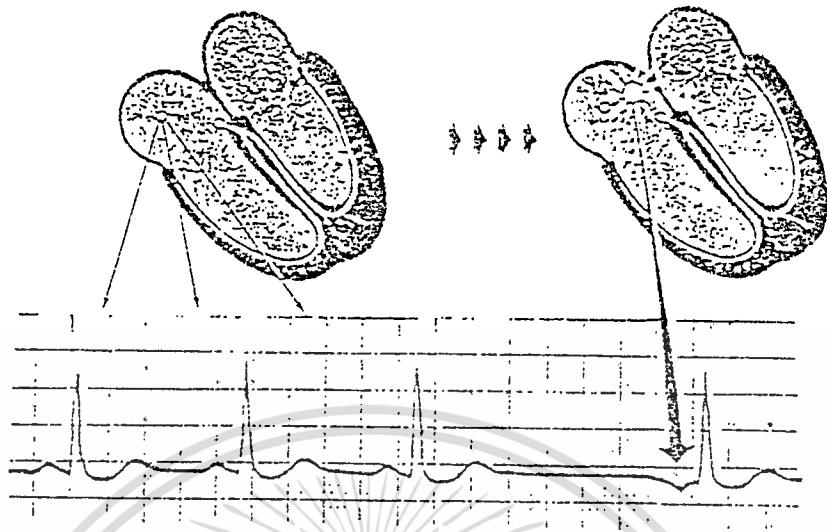


รูป 2.24 สัญญาณไฟฟ้าหัวใจที่เกิด Escape Beat ขึ้น

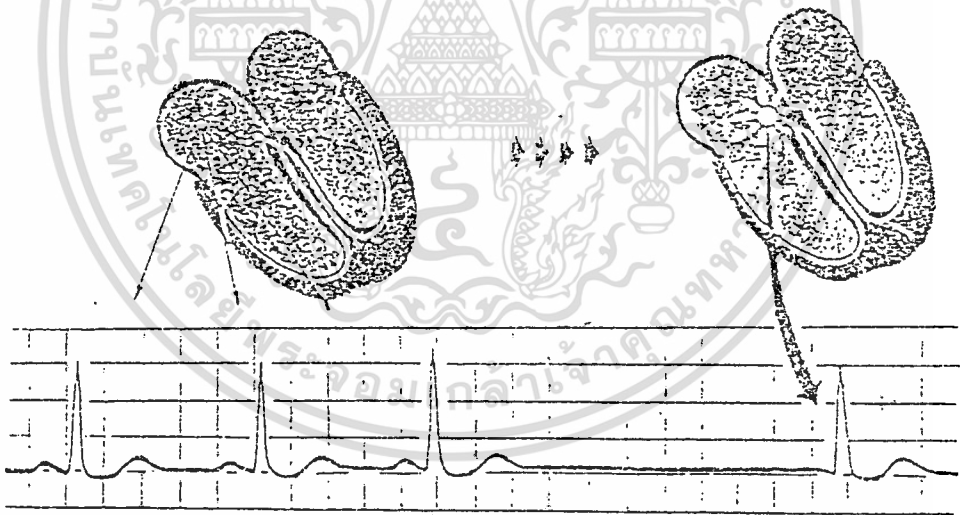
- Atrial Escape เป็นความผิดปกติที่มีลักษณะเหมือนกับ Atrial Premature แต่เกิดขึ้นหลังจากการขาดช่วงสัญญาณ (pause) มาแล้ว ดังรูป 2.25

- AV Nodal Escape เป็นความผิดปกติที่มีลักษณะเหมือนกับ AV Nodal Premature

เอกสารนี้แต่เกิดขึ้นหลังจากการขาดช่วงสัญญาณ (pause) มาแล้วดังรูป 2.26



รูป 2.25 Atrial Escape

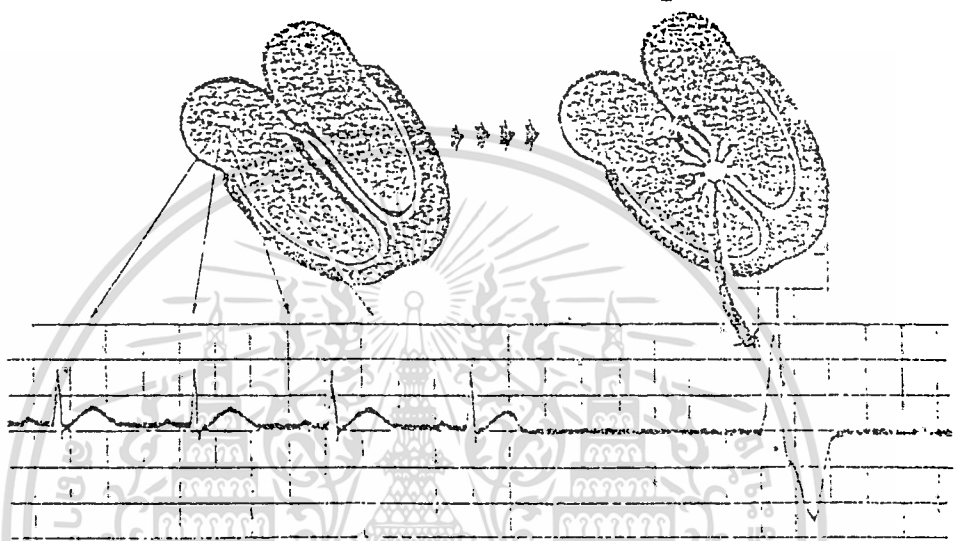


รูป 2.26 AV Nodal Escape

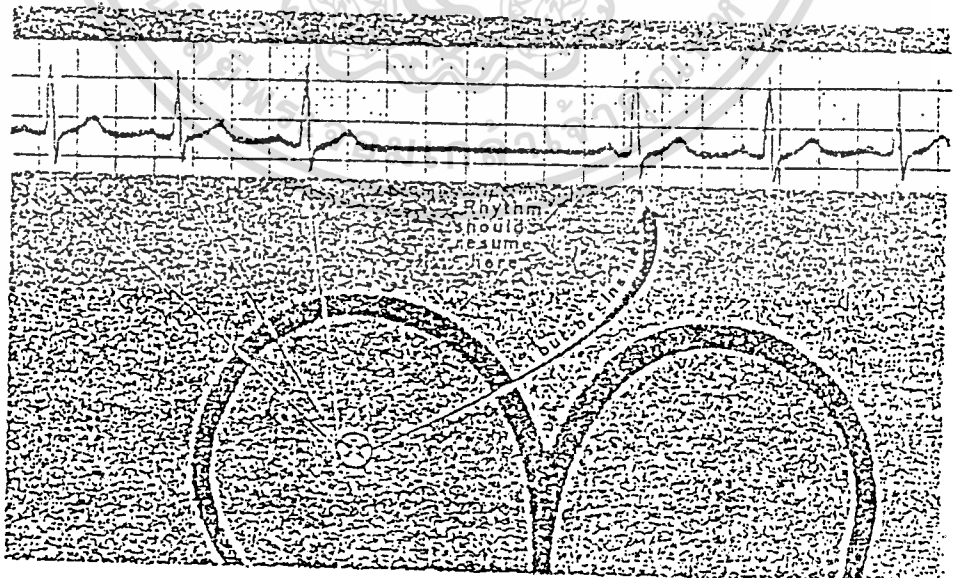
- Ventricular Escape เป็นความผิดปกติที่มีลักษณะเหมือนกับ Premature Ventricular Contractions แต่เกิดขึ้นหลังจากการขาดช่วงสัญญาณ (pause) มาแล้ว

ดังรูป 2.27

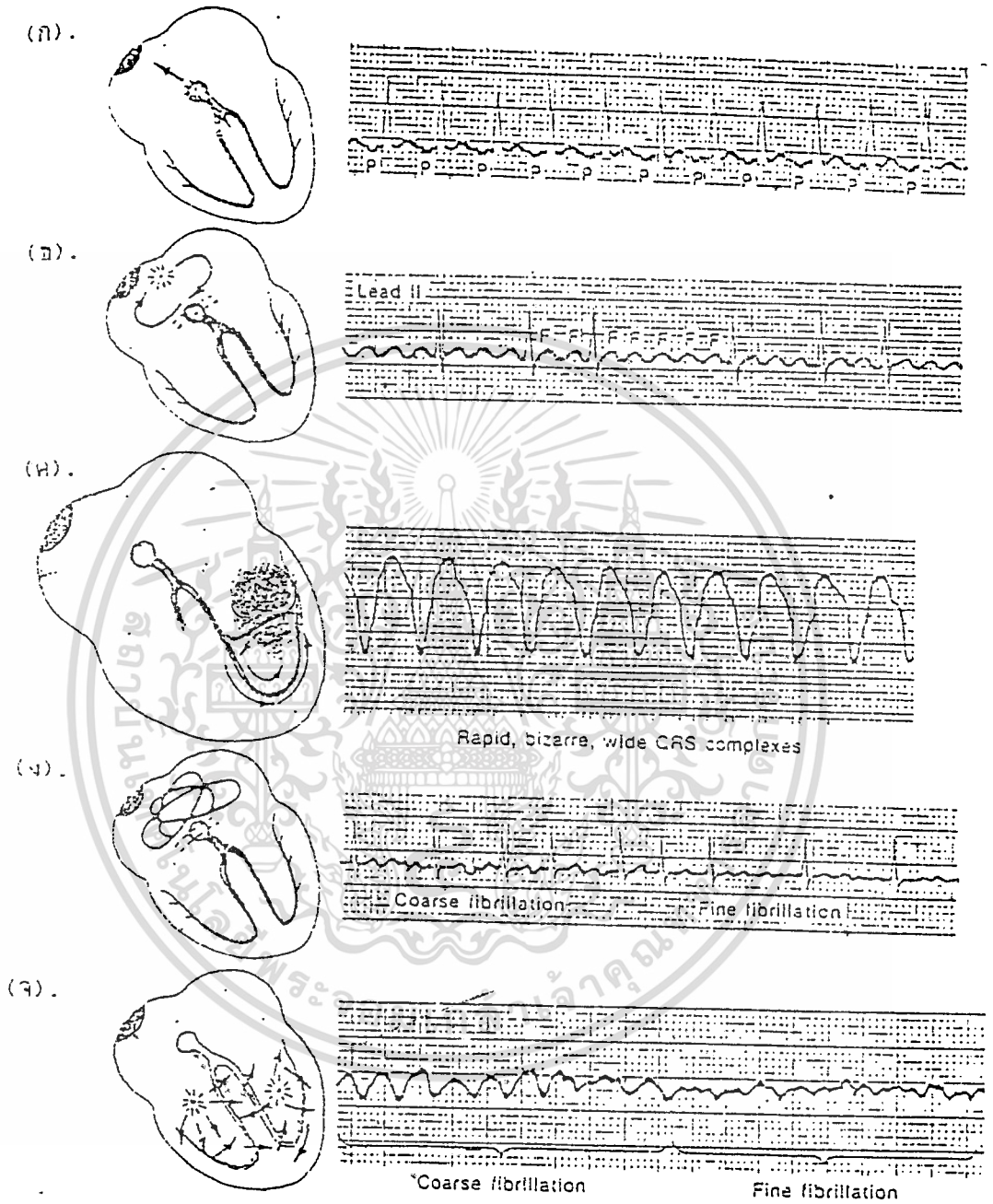
2.6.2.3 Sinus Arrest เกิดขึ้นเมื่อบริเวณกระตุ้นของ SA node หยุดการทำงานไปชั่วขณะหนึ่ง ทำให้ไม่สามารถส่งสัญญาณกระตุ้นออกมาได้ หลังจากการขาดช่วงของการกระตุ้นนี้ก็จะเกิดการกระตุ้นของบริเวณ SA node ใหม่ทำให้เกิดการเต้นของหัวใจด้วยอัตราการเต้นของหัวใจใหม่ ดังรูป 2.28



รูป 2.27 Ventricular Escape



เอกสารนี้เป็นเอกสารที่สงวนไว้สำหรับการใช้งานรูป 2.28 Sinus Arrest กดให้นำไปใช้ประโยชน์ด้านการค้า
ไม่ว่ากรณีใดๆทั้งสิ้น อีกทั้งห้ามมิให้ตัดแปลงเนื้อหา -26- ต้องอ้างอิงถึงเจ้าของเอกสารทุกครั้งที่มีการนำไปใช้



รูป 2.29 Rapid Rhythm

(ก). Paroxysmal Tachycardia

(ข). Atrial Flutter

(ค). Ventricular Flutter

(ง). Atrial Fibrillation

เอกสารนี้เป็นเอกสาร (จ). Ventricular Fibrillation เท่านั้น ไม่อนุญาตให้นำไปใช้ประโยชน์ด้านการค้า

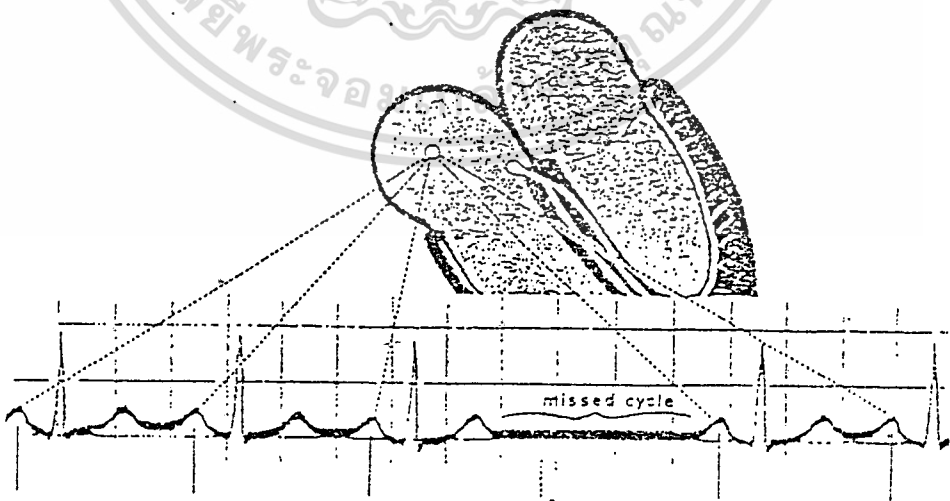
ไม่ว่ากรณีใดๆทั้งสิ้น อีกทั้งห้ามมิให้ตัดแปลงเนื้อหา... ต้องอ้างอิงถึงเจ้าของเอกสารทุกครั้งที่มีการนำไปใช้

- 2.6.3.1 Paroxysmal (Sudden) Tachycardia
- 2.6.3.2 Atrial Flutter
- 2.6.3.3 Ventricular Flutter
- 2.6.3.4 Atrial Fibrillation
- 2.6.3.5 Ventricular Fibrillation

2.6.3 Rapid Rhythm เป็นลักษณะความผิดปกติที่มีสาเหตุจากการมีอัตราการเต้นของหัวใจเร็วมาก โดยที่รูปร่างและลักษณะของสัญญาณไฟฟ้าหัวใจอาจจะผิดปกติหรือไม่ขึ้นอยู่กับบริเวณที่เกิดความผิดปกตินั้น ซึ่งลักษณะความผิดปกติประเภทนี้มีความแตกต่างกันในเรื่องของรูปร่างของสัญญาณ เนื่องจากบริเวณที่เกิดความผิดปกติต่างกัน แต่ข้อสังเกตหลักอยู่ที่การมีอัตราการเต้นของหัวใจที่เร็วมาก ดังนั้นจึงจะขอขยายความในบางหัวข้อเท่านั้น ซึ่งลักษณะความผิดปกติในแต่ละประเภทสามารถจำแนกได้จากรูป 2.29 โดยมีหัวข้อย่อต่อไปนี้

2.6.4 Heart Blocks เป็นการปิดกั้นการนำไฟฟ้าภายในหัวใจซึ่งพื้นที่ภายในหัวใจที่จะเกิด การปิดกั้นของสัญญาณกระตุ้นได้มีด้วยกัน 3 บริเวณคือ SA node , AV node และ Bundle Branch

2.6.4.1 SA Block มีสาเหตุมากจากการที่ SA node หยุดการกระตุ้นชั่วคราว เป็นเวลาอย่างน้อยหนึ่งรอบการทำงานของหัวใจ แล้วกลับมาทำงานเป็นปกติเหมือนเดิม ดังรูป 2.30



รูป 2.30 SA Block

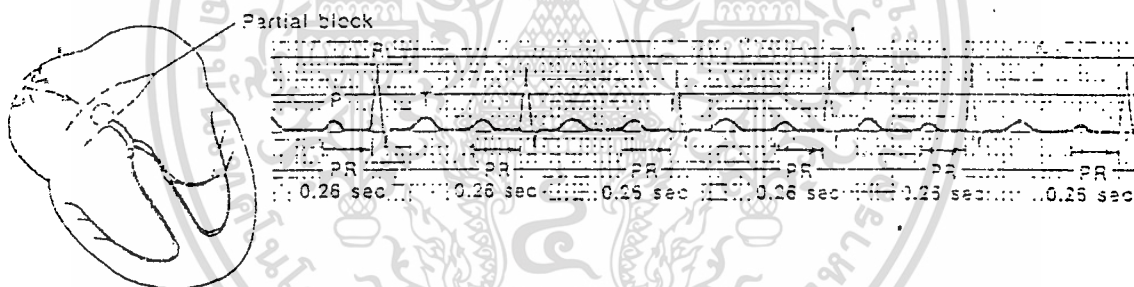
เอกสารนี้เป็นเอกสารที่สงวนไว้สำหรับการใช้งานเพื่อการศึกษาเท่านั้น ไม่อนุญาตให้นำไปใช้ประโยชน์ด้านการค้า

ไม่ว่ากรณีใดๆทั้งสิ้น อีกทั้งห้ามมิให้ตัดแปลงเนื้อหา -28- ต้องอ้างอิงถึงเจ้าของเอกสารทุกครั้งที่มีการนำไปใช้

ซึ่งจะเห็นได้ว่าสัญญาณไฟฟ้าหัวใจเกิดขาดช่วงขึ้น โดยจะปรากฏให้เห็นเพียง Baseline เท่านั้น

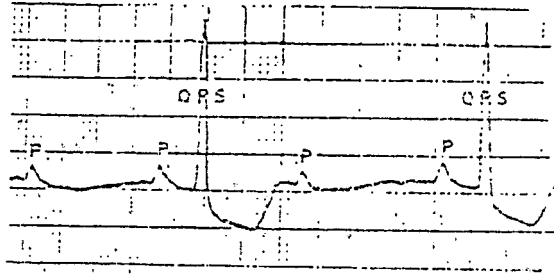
2.6.4.2 AV Block เป็นความผิดปกติของจังหวะการเต้น ที่จะทำให้เกิดการหน่วงเวลาของสัญญาณกระตุ้นจากหัวใจห้องบนที่บริเวณ AV node ให้นานยิ่งขึ้น ก่อนที่จะส่งต่อไปยังหัวใจห้องล่าง เวลาที่หน่วงนี้สามารถสังเกตได้จากสัญญาณไฟฟ้าหัวใจในช่วงเวลา PR ซึ่งเป็นเวลาตั้งแต่เริ่มต้นของสัญญาณ P (เริ่มเกิดจากการกระตุ้นบริเวณ SA node) จนกระทั่งถึงเวลาเริ่มต้นของสัญญาณรวม QRS (สัญญาณถึงหัวใจห้องล่าง) โดยมีค่าเฉลี่ยอยู่ระหว่าง 0.12-0.20 วินาที ถ้าช่วงเวลา PR มากกว่า 0.20 วินาทีแล้ว ก็สามารถสันนิษฐานได้ว่าเกิด AV Block ขึ้นอย่างแน่นอน ลักษณะของ AV Block สามารถจำแนกได้ 3 ลักษณะดังนี้ คือ

- First degree AV Block มีลักษณะความผิดปกติที่สังเกตได้จากสัญญาณไฟฟ้าหัวใจ คือ ช่วงเวลา PR มากกว่า 0.20 วินาที ดังรูป 2.31

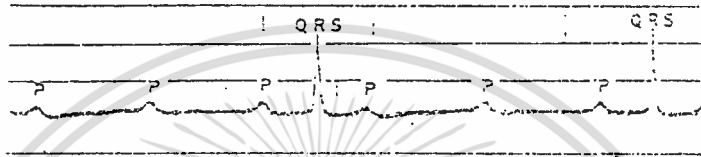


รูป 2.31 First degree AV Block

- Second degree AV Block มีลักษณะความผิดปกติที่สังเกตได้จากสัญญาณไฟฟ้าหัวใจ คือ จะเกิดสัญญาณ P หนึ่งหรือสองครั้งก่อนที่จะมีสัญญาณรวม QRS เพียงครั้งเดียว (2:1 หรือ 3:1 AV Block) ดังรูป 2.32 ซึ่งมีลักษณะความผิดปกติ 2 อาการที่สำคัญคือ Wenckebach Phenomenon (หรือ Mobitz 1) เกิดขึ้นเมื่อช่วงเวลา PR มีความกว้างเพิ่มมากขึ้นจนกระทั่ง AV node ไม่เกิดการกระตุ้นขึ้น ซึ่งทำให้ไม่เกิดสัญญาณรวม QRS ดังรูป 2.33 และ Mobitz II เกิดขึ้นเมื่อสัญญาณไฟฟ้าหัวใจเกิดการขาดหาย (Dropped Beat) ไปของสัญญาณรวม QRS โดยที่ช่วงเวลา PR ยังคงมีความกว้างเป็นปกติอยู่ ดังรูป 2.34

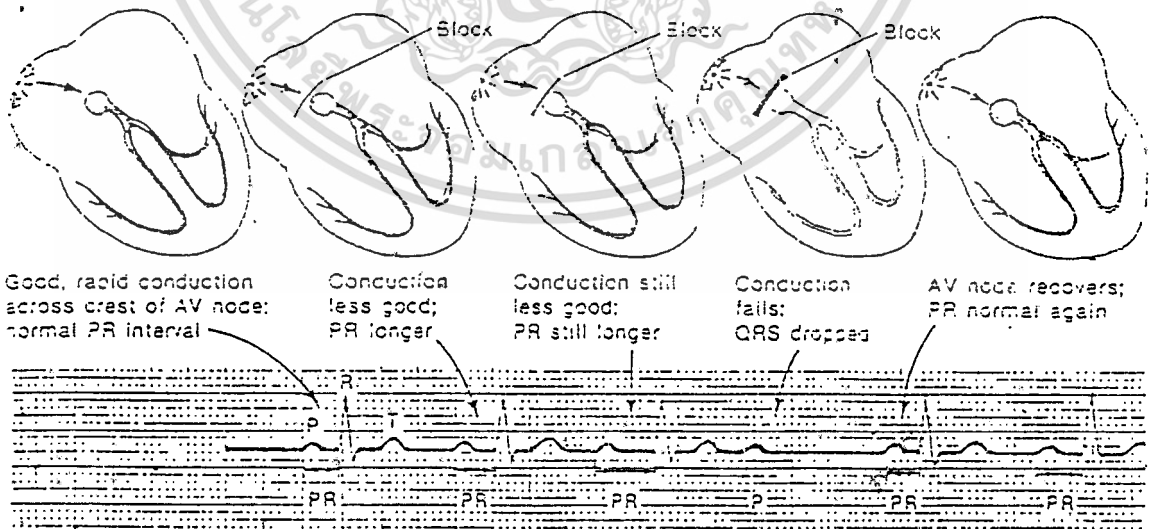


2:1 AV Block



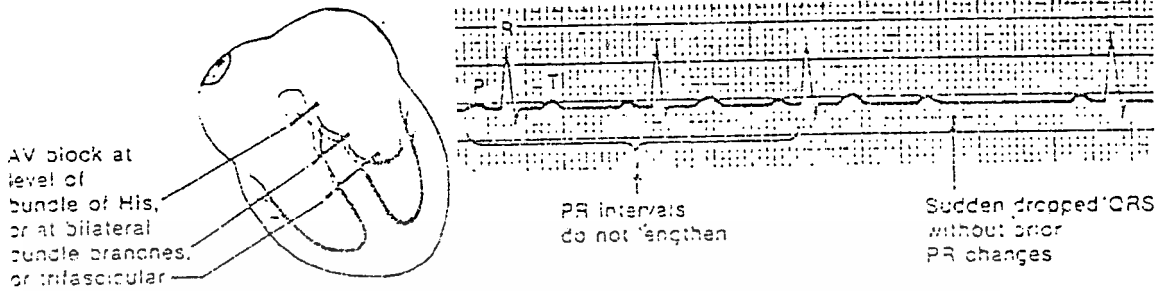
3:1 AV Block

รูป 2.32 2:1 และ 3:1 AV Block



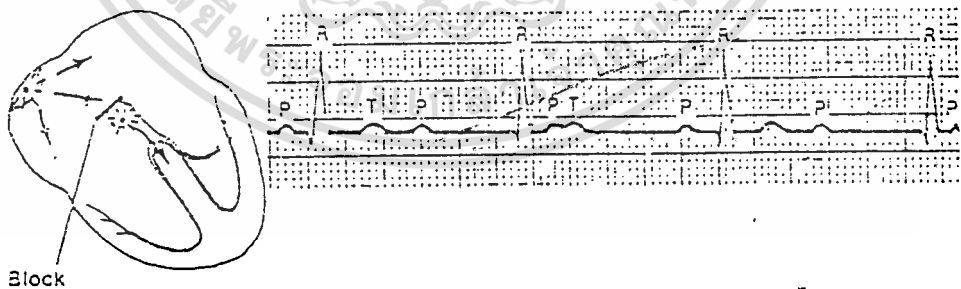
รูป 2.33 Wenckebach Phenomenon (Mobitz 1)

เอกสารนี้เป็นเอกสารที่สงวนไว้สำหรับการใช้งานเพื่อการศึกษาเท่านั้น ไม่นอญูยาดเินหาไปใช้ประโยชน์ด้านการค้า
ไม่ว่ากรณีใดๆทั้งสิ้น อีกทั้งห้ามมิให้ดัดแปลงเนื้อหา และต้องอ้างอิงถึงเจ้าของเอกสารทุกครั้งที่มีการนำไปใช้



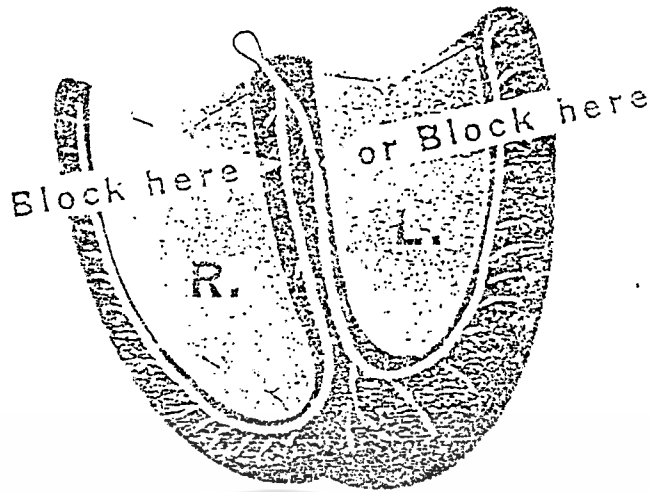
รูป 2.34 Mobitz II

- Third degree AV Block (Complete AV Block) เกิดขึ้นเมื่อไม่มีสัญญาณกระตุ้นจากหัวใจห้องบนมายัง AV node ทำให้ไม่เกิดการตอบสนองของหัวใจห้องล่างและบริเวณหัวใจห้องล่างจะเกิดการกระตุ้นขึ้นเองอย่างอิสระ ดังรูป 2.35 ซึ่งมีข้อสังเกตได้ว่า ความถี่ของหัวใจห้องบน (สัญญาณ P) มีค่าค่อนข้างแน่นอน และความถี่ของหัวใจห้องล่าง (สัญญาณรวม QRS) เป็นไปอย่างอิสระและมีค่าช้าลงไ้มาก

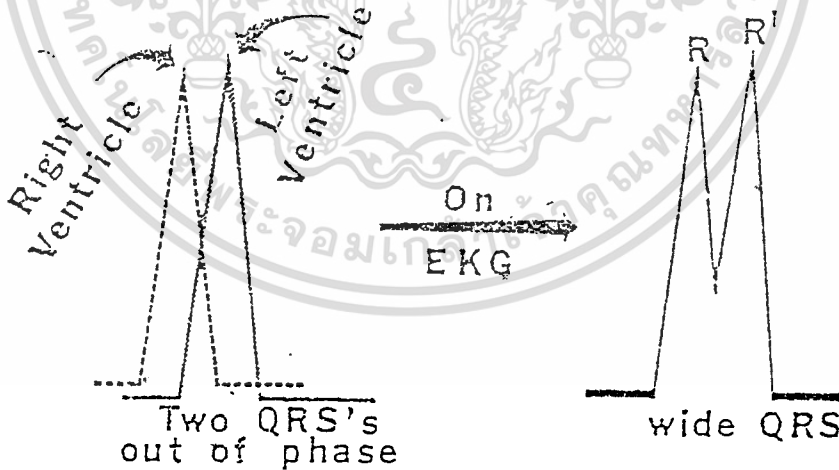


รูป 2.35 Third degree AV Block (Complete AV Block)

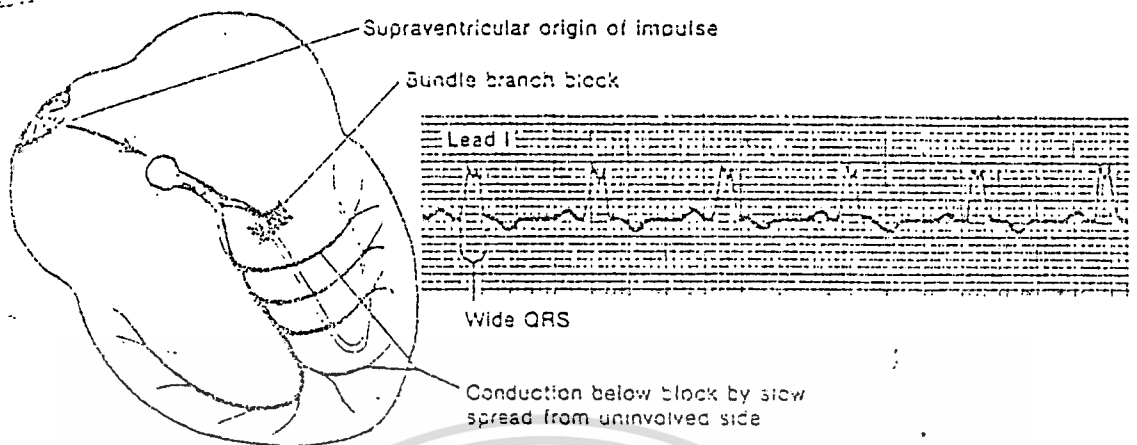
2.6.4.3 Bundle Branch Block มีสาเหตุมาจากการปิดกั้นการนำไฟฟ้าบริเวณด้านซ้ายและด้านขวาของ Bundle Branch ดังรูป 2.36 โดยปกติแล้ว การนำไฟฟ้าไปยังกล้ามเนื้อหัวใจห้องล่างทั้งด้านซ้ายและด้านขวา โดยผ่าน Bundle Branch จะใช้เวลาเท่าๆ



รูป 2.36 ลักษณะการปิดกั้นการนำไฟฟ้า (Block) บริเวณ Bundle Branch ถ้าเกิดการปิดกั้นการนำไฟฟ้าขึ้นด้านใดด้านหนึ่ง ก็จะทำให้เกิดการหน่วงเวลาของสัญญาณด้านนั้นออกไป เป็นผลให้สัญญาณ QRS รวมแตกออกเป็น 2 ส่วนดังรูป 2.37 โดยให้สัญลักษณ์เป็น R และ R แทนจุดสูงสุดของสัญญาณ QRS ที่เกิดจากการนำไฟฟ้าของหัวใจห้องล่างแต่ละด้าน



รูป 2.37 ลักษณะของสัญญาณ QRS รวมที่เกิด Bundle Branch ที่แยกเป็น 2 ส่วน ซึ่งผลรวมของสัญญาณ QRS นี้จะทำให้ความกว้างของสัญญาณ QRS รวมกว้างมากขึ้น (widened QRS) รูป 2.38 แสดงลักษณะของสัญญาณไฟฟ้าหัวใจที่เกิด Bundle Branch



รูป 2.38 ลักษณะของสัญญาณไฟฟ้าหัวใจที่เกิด Bundle Branch Block

Asystole และ Ventricular Fibrillation

มีลักษณะของสัญญาณไฟฟ้าหัวใจที่เกิดการขาดหายของสัญญาณเป็นระยะเวลาสั้นๆ กรณีของ Asystole ส่วน Ventricular Fibrillation มีลักษณะ สัญญาณที่มีรูปร่างไม่แน่นอน ซึ่งทั้งสองนี้ไม่สามารถที่จะตรวจสอบสัญญาณ R ได้

Bradycardia มีลักษณะของสัญญาณไฟฟ้าหัวใจ ที่มีอัตราการเต้นของหัวใจ ช้ากว่าค่าปกติมาตรฐาน

Tachycardia มีลักษณะของสัญญาณไฟฟ้าหัวใจ ที่มีอัตราการเต้นของหัวใจ เร็วกว่าค่าปกติมาตรฐาน

Dropped Beat มีลักษณะของสัญญาณไฟฟ้าหัวใจ ที่เกิดการขาดช่วงของสัญญาณไป ซึ่งช่วงเวลาไม่เกิดค่าปกติของ Asystole และไม่เกิด Premature Beat ตามมา

Premature Ventricular Contractions (PVCs) เป็นลักษณะของสัญญาณไฟฟ้าหัวใจ ที่เกิดก่อนกำหนดเวลาที่คาดไว้และตาม Compensatory Pause

R-on-T Phenomenon เป็นลักษณะของ PVCs ที่เกิดขึ้นในช่วงเวลาที่เกิดสัญญาณ T

- Bigeminy เป็นลักษณะของ PVCs ที่เกิดสัญญาณไฟฟ้าหัวใจปกติหนึ่งลูกควบคู่กับ Premature Beat หนึ่งลูก

- Trigeminy เป็นลักษณะของ PVC ที่เกิดสัญญาณไฟฟ้าหัวใจปกติหนึ่งลูกควบคู่กับ

Premature Beat 2 ลูกติดกัน

Interpolated PVCs เป็นลักษณะของ PVCs ที่ไม่ได้ตามด้วย Compensatory Pause

Atrial Premature Beats (APBs) เป็นลักษณะของสัญญาณไฟฟ้าหัวใจที่มี Premature Beat เป็นสัญญาณ P ดังนั้นการตรวจสอบ ในลักษณะของช่วงเวลา R-R จึงเป็นการตรวจสอบ ช่วงเวลาของ Compensatory Pause ซึ่งจะมีค่าอยู่ระหว่าง Compensatory Pause ของ PVCs กับของ Interpolated PVCs



บทที่ 3

ทฤษฎีไมโครคอนโทรลเลอร์ 8031

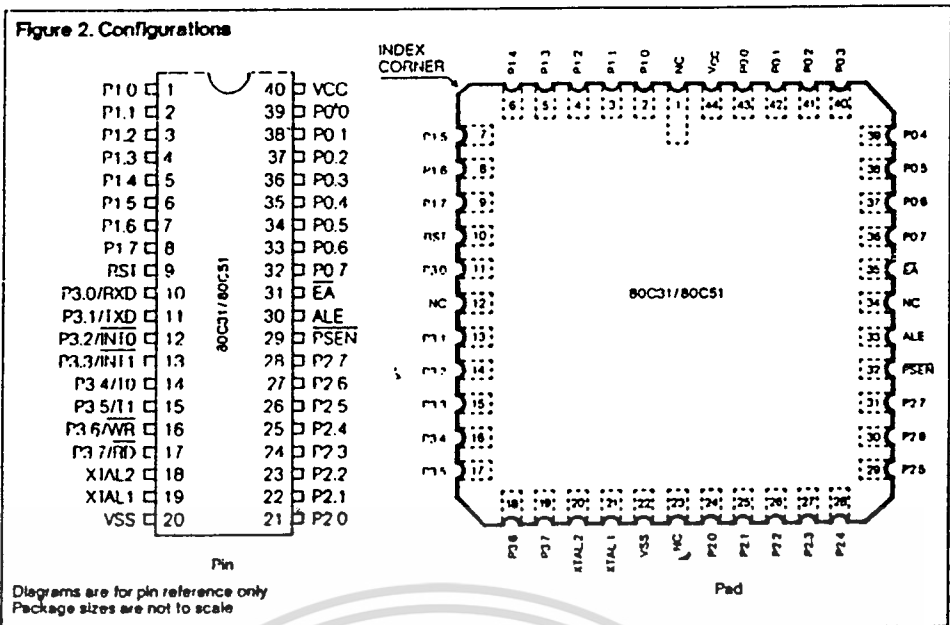
8031 เป็นไมโครคอนโทรลเลอร์แบบชิพเดี่ยว ซึ่งอยู่ในตระกูล MCS-51 ลักษณะโครงสร้างของ 8031 แสดงอยู่ในรูปที่ 3.1 ซึ่งสถาปัตยกรรมของ 8031 สร้างขึ้นด้วย HMOS

ลักษณะของ 8031

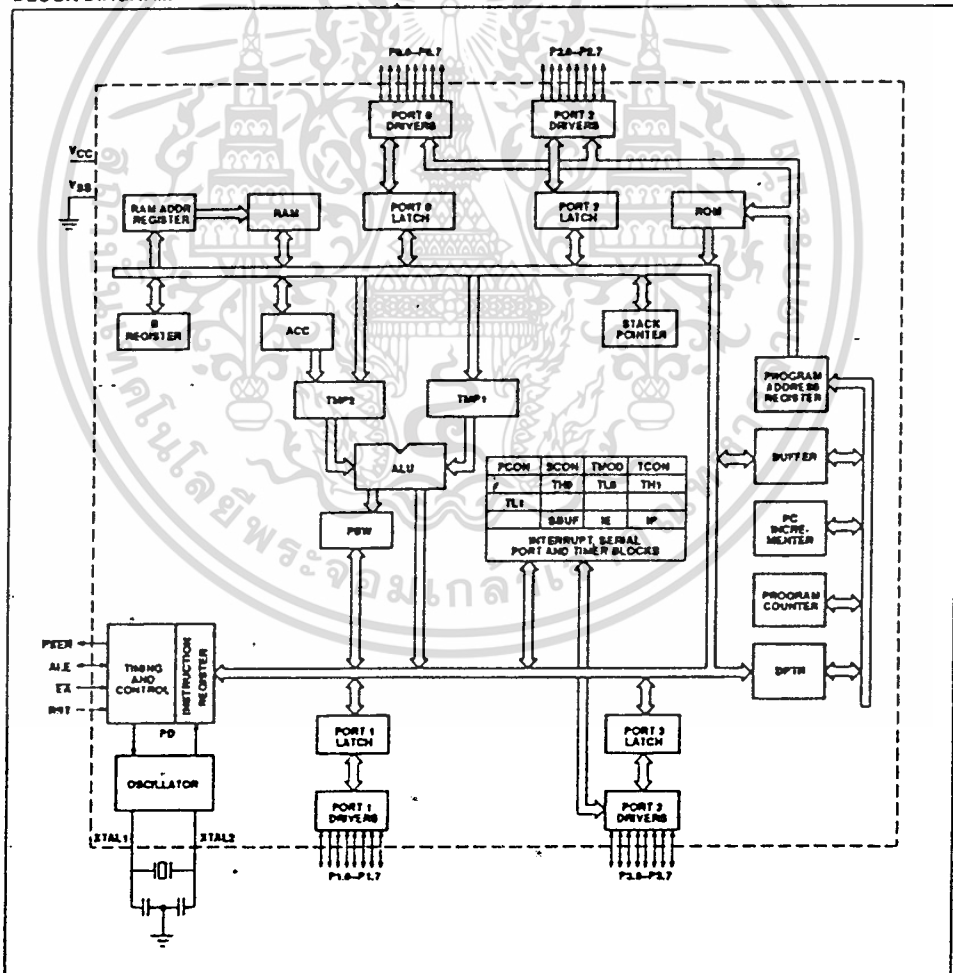
- เป็น CPU แบบ 8 บิต
- มีวงจรรอสซิลเลเตอร์และ CLOCK อยู่ในตัว
- มีขาสัญญาณเข้าและออก (I/O) 32 ขา
- แยกหน่วยความจำของข้อมูลได้ 64K และหน่วยความจำของโปรแกรมอีก 64K
- มี TIMER และ COUNTER แบบ 16 บิต ถึง 2 ตัว
- สัญญาณอินเทอร์รัพท์ 6 แหล่ง 5 VECTOR ซึ่งแบ่งลำดับความสำคัญออกเป็น 2 ระดับ

การจัดหน่วยความจำของ 8031

8031 แบ่งหน่วยความจำสำหรับโปรแกรมและข้อมูลอย่างละ 64 K และยังมีหน่วยความจำประเภทแรมอีก 128 ไบท์ ซึ่งอยู่ในตัวของ 8031 และบน 8031 ยังประกอบด้วย รีจิสเตอร์ ที่ทำหน้าที่พิเศษ "SFRs" (SPECIAL FUNCTION REGISTER) ซึ่งแสดงในตารางที่ 1



BLOCK DIAGRAM



รูปที่ 3.1 โครงสร้างของ 8031

* ตารางที่ 1.

SYMBOL	NAME	ADDRESS
* ACC	ACCUMULATOR	0E0H
* B	B REGISTER	0F0H
* PSW	PROGRAM STATUS WORD	0D0H
SP	STACK POINTER	81H
DPTR	DATA POINTER (CONSIST OF DPH,PPL)	83H
DPL		82H
* P0	PORT 0	80H
* P1	PORT 1	90H
* P2	PORT 2	0A0H
* P3	PORT 3	0B0H
* 1P	INTERUPT PRIORITY CONTROL	0B8H
* 1E	INTERUPT ENABLE CONTROL	0A8H
TMOD	TIMER/COUNTER MODE CONTROL	89H
+*T2CON	TIMER/COUNTER CONTROL	0C8H
TCON	TIMER/COUNTER 2 CONTROL	88H
TH0	TIMER0 (HIGH BYTE)	8CH
TL0	TIMER0 (LOW BYTE)	8AH
TH1	TIMER1 (HIGH BYTE)	8DH
TL1	TIMER1 (LOW BYTE)	8BH
+ TH2	TIMER2 (HIGH BYTE)	0CDH
+ TL2	TIMER2 (LOW BYTE)	0CCH
+ RCAP2H	TIMER/COUNTER2 CAPTURE (HI)	0CBH
+ RCAP2L	TIMER/COUNTER2 CAPTURE REG (LO)	0CAH
* SCON	SERIAL CONTROL	98H
SBUF	SERIAL DATA BUFER	99H
PCON	POWER CONTROL	87H

หมายเหตุ *SFRs ที่มีเครื่องหมายดอกจันอยู่ข้างหน้า หมายความว่า สามารถเข้าถึงได้ โดยการอ่าน แอดเดรสแบบไบท์ และแบบบิท คือ สามารถจะเข้าถึงบิตใดบิตหนึ่งใน SFRs ได้โดยตรง

+ SFRs ที่มีเครื่องหมายบวกแสดงว่ามีอยู่ใน 8032/8052 เท่านั้น

เอกสารนี้เป็นเอกสารที่สงวนไว้สำหรับการใช้งานเพื่อการศึกษาเท่านั้น เมื่ออนุญาตเห็นไปใช้ประโยชน์ด้านการค้า

ไม่ว่ากรณีใดๆทั้งสิ้น อีกทั้งห้ามมิให้ตัดแปลงเนื้อหา และต้องอ้างอิงถึงเจ้าของเอกสารทุกครั้งที่มีการนำไปใช้

รายละเอียดของรีจิสเตอร์ที่กำหนดพิเศษ

ACCUMULATOR

ACC เป็นแอดดีทิวมูลเตอร์หรือรีจิสเตอร์ A

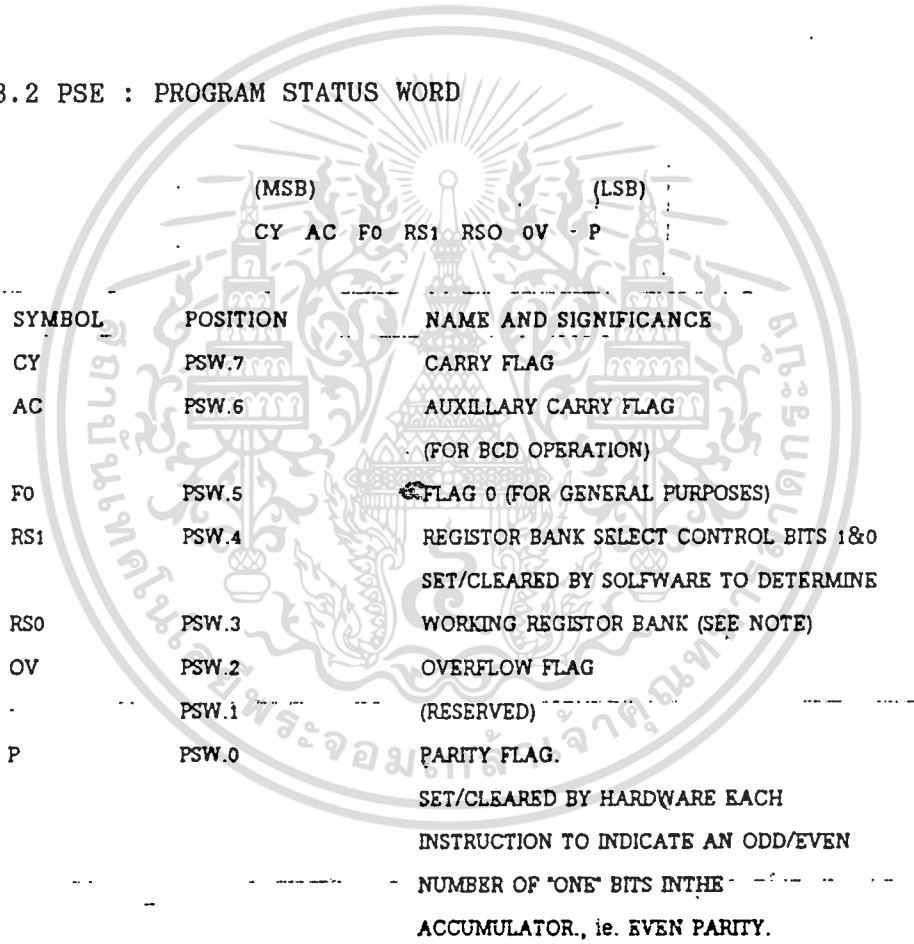
B REGISTER

รีจิสเตอร์ B ใช้ในคำสั่งคูณและหาร ส่วนในคำสั่งอื่นสามารถใช้เหมือนกับรีจิสเตอร์ทั่วๆ ไป ในการพักข้อมูล

PROGRAM STATUS WORD

PSW ประกอบด้วยรายละเอียดดังในรูปที่ 3.2

รูปที่ 3.2 PSE : PROGRAM STATUS WORD



NOTE - THE CONSISTS OF (RS1, RS0) ENABLE THE WORKING REGISTOR BANKS AS FOLLOWS.

(0.0) - BANK 0	(00H-07H)
(0.1) - BANK 1	(08H-0FH)
(1.0) - BANK 2	(10H-17H)
(1.1) - BANK 3	(18H-1FH)

STACK POINTER

SP เป็นรีจิสเตอร์ขนาด 8 บิต เมื่อใช้คำสั่ง PUSH และ CALL SP จะเพิ่มขึ้นก่อนที่จะเก็บข้อมูลหรือแอดเดรส ซึ่ง STACK จะอยู่ที่ไหนก็ได้ในหน่วยความจำ (RAM) บน 8031 ภายหลังการ RESET แสตคจะมาอยู่ที่ 07H นั่นคือ แสตคจะเริ่มที่ 80H

DATA POINTER

DPTR ประกอบด้วย DPH และ DPL ซึ่งจะรวมกันเป็นรีจิสเตอร์ขนาด 16 บิต การเข้าถึง DPTR สามารถทำได้ทั้งแบบ 16 บิต และ แบบ 8 บิต หน้าที่ของ DPTR ถ้าใช้แบบ 16 บิต จะทำหน้าที่เป็นตัวชี้ข้อมูลที่อยู่ในหน่วยความจำภายนอก

PORT 0-3

พอร์ต 0, พอร์ต 1, พอร์ต 2, และพอร์ต 3 เป็น SFR ตัวหนึ่งที่สามารถแลตซ์ข้อมูลได้สามารถใช้เป็นอินพุตพอร์ต และเอาต์พุตพอร์ตได้ทั้ง 3 พอร์ต

SERIAL DATA BUFFER

แบ่งเป็นรีจิสเตอร์บัฟเฟอร์ในทางส่งและบัฟเฟอร์ในทางรับ เมื่อมีการส่งข้อมูลภายในให้ SBUF ข้อมูลจะถูกส่งไปที่ บัฟเฟอร์ในทางส่ง ที่ซึ่งจะใช้ทำการส่งข้อมูลออกมา การส่งข้อมูลให้ SBUF จะเป็นการเริ่มต้นการส่งด้วย และถ้าอ่านข้อมูลจาก SBUF ข้อมูลจะถูกอ่านจาก บัฟเฟอร์ในทางรับ

TIMER REGISTERS

รีจิสเตอร์คู่ (TH0, TL0) และ (TH1, TL1) เป็นตัวจับเวลาและตัวนับขนาด 16 บิต จะกล่าวรายละเอียดในภายหลัง

CONTROL REGISTERS

รีจิสเตอร์หน้าที่พิเศษ IP, IE, TMOD, TCON, T2CON, SCON และ PCON ประกอบด้วยบิตควบคุมและบิตสถานะสำหรับระบบการอินเตอร์รัพท์

โครงสร้างและการทำงานของพอร์ต

8031 มี I/O พอร์ต อยู่ 4 พอร์ต โดยแต่ละพอร์ตจะเป็นพอร์ตแบบ 2 ทิศทาง มีการแลตซ์ข้อมูลได้ (SFR.P0-P3) รวมทั้งมีวงจรขับทางด้านเอาต์พุต และบัฟเฟอร์ทางด้านอินพุต พอร์ต 0 และ พอร์ต 2 ใช้สำหรับติดต่อกับหน่วยความจำภายนอก ในการใช้ 8031 ติดต่อกับหน่วยความจำภายนอก

พอร์ต 0 จะให้เอาต์พุตเป็น LOW BYTE ของแอดเดรสของหน่วยความจำภายนอก และ จะทำการ MULTIPLEX กับข้อมูลที่จะเขียนหรืออ่าน สรุปคือ P0 จะเป็นทั้ง ADDRESS และ

DATA ส่วนพอร์ต 2 จะให้แอดเดรสไบต์สูง (MSB) ของหน่วยความจำภายนอก

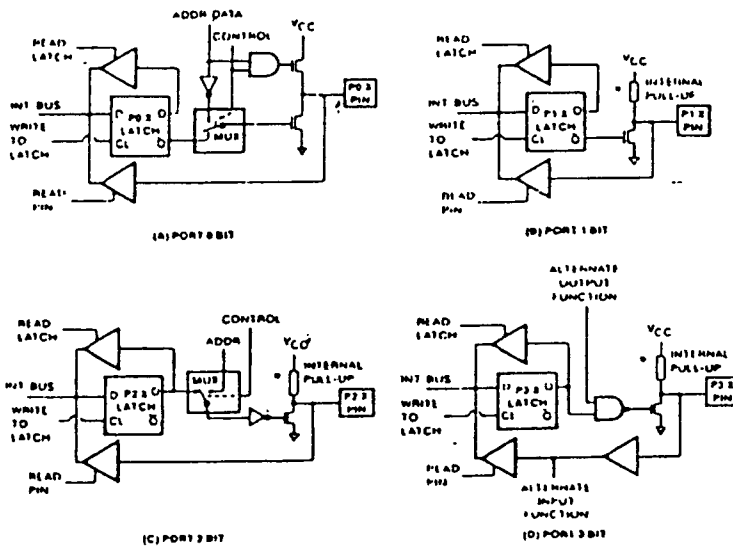
ขาของพอร์ต 3 ทั้งหมดกับอีก 2 บิต ของพอร์ต 1 (8052) จะทำงานหลายหน้าที่ ดังรายละเอียดในรูปที่ 3.3

• P1.0	T2 (TIMER/COUNTER 2 EXTERNAL INPUT)
• P1.1	T2EX (TIMER/COUNTER 2 CAPTURE/RELOAD TRIGGER)
P3.0	RXD (SERIAL INPUT PORT)
P3.1	TXD (SERIAL OUTPUT PORT)
P3.2	INT0 (EXTERNAL INTERRUPT)
P3.3	INT1 (EXTERNAL INTERRUPT)
P3.4	T0 (TIMER/COUNTER 0 EXTERNAL INPUT)
P3.5	T1 (TIMER/COUNTER 1 EXTERNAL INPUT)
P3.6	WR (EXTERNAL DATA MEMORY WRITE STROBE)
P3.7	RD (EXTERNAL DATA MEMORY READ STROBE)

หมายเหตุ* P1.0 และ P1.1 สงวนไว้สำหรับ 8052

โครงสร้างของพอร์ต

ในรูปที่ 3.3 แสดงโครงสร้างของ I/O ของแต่ละพอร์ต โดยแสดงเพียงพอร์ตละบิต ส่วนของพอร์ตแลตช์ใช้ D-FLIP FLOP ซึ่งจะรับข้อมูลมาจากพัลสภายในโดยสัญญาณ "WRITE TO LATCH" ของ CPU ขา Q ของ D-FLIP FLOP จะถูกบ้อนกลับไปที่บัสภายในเพื่อตอบสนองต่อสัญญาณ "READ LATCH" จาก CPU เมื่อ CPU ต้องการอ่านพอร์ต ส่วนสัญญาณที่ภายนอกของพอร์ตจะถูกต่อเข้ากับข้อมูลภายในและขาพอร์ตภายนอกนี้จะถูกอ่านโดยตอบสนองต่อสัญญาณ "READ PIN" (ดูรูป 3.3 ประกอบ) ส่วนคำสั่งอื่นๆ จะอ่านใช้สัญญาณ "READ PIN" ดูรายละเอียดคำสั่งที่อ่านข้อมูลจาก READ LATCH ในรูปที่ 3.4



- ANL (LOGIC AND, e.g., ANL P1, A)
- ORL (LOGIC OR, e.g., ORL P2, A)
- XRL (LOGIC EX-OR e.g., XRL P3, A)
- JBC (JUMP IF BIT = 1 AND CLEAR BIT, e.g., JBC P1.1, LABEL)
- CPL (COMPLEMENT BIT, e.g., CPL P3.0)
- INC (INCREMENT, e.g., INC P2)
- DEC (DECREMENT, e.g., DEC P2)
- DJNZ (DECREMENT AND JUMP IF NOT ZERO, e.g., DJNZ P3, LABEL)
- MOV PX.Y,C (MOVE CARRY BIT TO BIT Y OF PORT X)
- CLR PX.Y (CLEAR BIT Y OF PORT X)
- SET PX.Y (SET BIT Y OF PORT X)

รูปที่ 3.4 คำสั่งอ่านจาก READ PIN

เหตุที่บางคำสั่งต้องอ่านพอร์ตจาก "READ LATCH" เพราะในบางกรณี CPU อาจเข้าใจสัญญาณที่ขาของพอร์ตผิดพลาด ตัวอย่างเช่น PORT 1 ขาที่ 1 ถูกต่ออยู่กับขา BASE ของ TRANSISTOR และให้สัญญาณทางออกเป็น HIGH แก่ขา BASE ของทรานซิสเตอร์ ในขณะที่ทรานซิสเตอร์นำกระแสจะทำให้แรงดันที่ขา BASE เหลือโดยประมาณ 0.6 โวลต์ ซึ่งขา BASE ถูกต่ออยู่กับพอร์ต เมื่อ CPU ทำการอ่านพอร์ต จะทำให้เข้าใจสัญญาณที่ขาของพอร์ตผิดพลาดไปทั้งๆ ที่ขณะนั้นขาของพอร์ตเป็น HIGH อยู่

จากรูป 3.3 จะเห็นว่าพอร์ต 0 นอกจากจะเป็น I/O พอร์ตแล้วยังเป็นได้ทั้งแอดเดรสบัสและบัสข้อมูล ส่วนพอร์ต 2 เป็นทั้ง I/O พอร์ตและแอดเดรส ซึ่งควบคุมโดยสัญญาณนาฬิกา ในขณะที่ทำการติดต่อกับหน่วยความจำภายนอก SFR ของพอร์ต 2 จะไม่เปลี่ยนค่า หลังจากให้แอดเดรสแล้ว แต่ SFR ของพอร์ต 0 จะเปลี่ยนเป็น HIGH ทั้ง 8 บิต เพื่อที่จะรับข้อมูลที่ส่งมาจากบัสข้อมูลของหน่วยความจำ (เนื่องจาก SFR สามารถแลกรับข้อมูลได้ถ้าไม่ทำให้เป็น HIGH อาจเกิดการผิดพลาดในการอ่านข้อมูลจากหน่วยความจำภายนอก)

ไม่ว่ากรณีใดๆทั้งสิ้น อีกทั้งห้ามมิให้ตัดแปลงเนื้อหา และต้องอ้างอิงถึงเจ้าของเอกสารทุกครั้งที่มีการนำไปใช้

พอร์ต 1, พอร์ต 2 และ พอร์ต 3 จะมีการพูลอัปภายใน ส่วนในพอร์ต 0 จะเป็นแบบ OPEN DRAIN OUTPUT แต่ในกรณีที่ใช้พอร์ต 1,2,3 เป็นอินพุท จะต้องทำให้แต่ละบิตเป็น HIGH ก่อนเพื่อทำให้ FET ที่อยู่ทางด้านทางออกหยุดนำกระแสและรักษาระดับสัญญาณเป็น HIGH จากความต้านทานพูลอัปภายใน (ดูรูป 3.3 ประกอบ)

ข้อแตกต่างของพอร์ต 0 ก็คือ ไม่มีการพูลอัปภายใน (ดูรูป (3A) ประกอบ) FET ตัวที่ ทำหน้าที่พูลอัป (ตัวบน) จะใช้เพียงทำให้ไฟที่พุดเป็น 1 ในขณะที่ติดต่อกับหน่วยความจำภายนอก ในกรณีอื่นๆ FET ตัวนี้จะถูกทำให้ คัทออฟ ฉะนั้นพอร์ต 0 ที่ใช้เป็นเข้าที่พุดพอร์ตจะเป็น OPENDRAIN

การเขียน 1 (FFH) ไปที่พอร์ต 0 จะทำให้ FET ทั้ง 2 ตัวหยุดทำงานผลคือทำให้ขา พอร์ต 0 ลอยและสามารถใช้เป็นขาอินพุทแบบความต้านทานสูง (HI-Z INPUT) การรีเซ็ต 8031 จะทำให้ทุกพอร์ตมีระดับสัญญาณเป็น HIGH

การติดต่อกับหน่วยความจำภายนอก

การติดต่อกับหน่วยความจำภายนอกกระทำได้ 2 แบบ คือ ติดต่อกับไบรแกรมภายนอก กับติดต่อกับหน่วยความจำภายนอกที่เก็บข้อมูล การติดต่อกับไบรแกรมภายนอกจะใช้สัญญาณ PSEN (PROGRAM STORE ENABLE) เป็นสัญญาณอ่านไบรแกรมภายนอก ส่วนการติดต่อกับหน่วยความ จำภายนอกที่เก็บข้อมูลจะใช้ RD(P3.7) และ WR(P3.6) เหมือนกับ PCU ทั่วๆ ไป

การติดต่อกับข้อมูลภายนอกจะใช้ได้ทั้ง 16 บิต (MOVX @DPTR) หรือ เป็นแบบ 8 บิต (MOVX @RI) เมื่อไรก็ตามที่ต้องใช้แอดเดรสขนาด 16 บิต แอดเดรสไบท์สูง (A8-A15) จะ ออกทางพอร์ต 2

เมื่อติดต่อกับหน่วยความจำของข้อมูลภายนอกแบบ 8 บิต (MOVX A,@RI) จะไม่มีผล กระทบกับ SFR ของพอร์ต 2 คือ SFR ของพอร์ต 2 จะยังคงแลตซ์ข้อมูลเดิมเอาไว้ประโยชน์ คือ สามารถใช้พอร์ต 2 กำหนดหน้า (PAGE) ของหน่วยความจำ

การที่จะติดต่อกับหน่วยความจำภายนอกได้ขึ้นอยู่กับสภาวะอยู่ 2 ประการคือ

1. เมื่อต่อขา EA ของ 8031 ลงกราวด์
2. เมื่อไรก็ตามที่ไบรแกรมเคิร์ฟเตอร์ (PC) มีค่ามากกว่า 0FFFH

สัญญาณ PSEN

เมื่อมีการเพชคำสั่งจากไบรแกรมภายนอก สัญญาณ PSEN จะแอกทีฟ 2 ครั้ง ทุกๆ 1

เอกสารนี้แม่ชีนาโซเคลัส (ยกเว้นคำสั่ง MOVX) เพื่อการศึกษาเท่านั้น ไม่อนุญาตให้นำไปใช้ประโยชน์ด้านการค้า ไม่ว่ากรณีใดๆทั้งสิ้น อีกทั้งห้ามมิให้ดัดแปลงเนื้อหา 442-อ้างอิงถึงเจ้าของเอกสารทุกครั้งที่มีการนำไปใช้

สัญญาณ ALE

จะเป็นขาสไตรปในการแลตซ์แอสเซมบลีที่ต่ำ เมื่อทำการติดต่อกับหน่วยความจำภายนอก ALE จะแอกทีฟ 2 ครั้งทุกๆ แมกซ์ไซเคิล ยกเว้นขณะที่คำสั่งที่ติดต่อกับข้อมูลในหน่วยความจำภายนอก (MOVX) จะเน้นในกรณีที่เราไม่ได้ใช้หน่วยความจำภายนอก (MOVX) การแอกทีฟของ ALE จะคงที่ในอัตรา 1/6 ของความถี่ออสซิลเลเตอร์ เพื่อใช้เป็น CLOCK ให้กับวงจรมานอกได้ การใช้งานบางกรณีต้องการที่จะใช้ทั้งโปรแกรมและข้อมูลอยู่ในเพจเดียวกัน (64K) เราสามารถทำได้โดยการรวมสัญญาณ PSEN และ RD โดยใช้ AND GATE

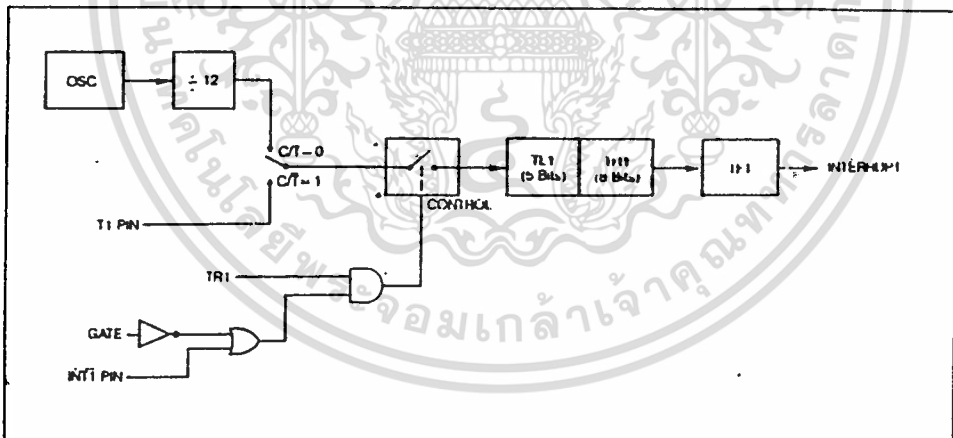
TIMER/COUNTER

8031 มี TIMER/COUNTER อยู่ 2 ตัว คือ T0 และ T1 สัญญาณ INPUT ที่จะป้อนให้ COUNTER นั้นทำงานที่ขอบขาลง (1 TO 0) คือ ต้องเป็นพัลส์ HIGH 1 แมกซ์ไซเคิลและเป็น LOW 1 แมกซ์ไซเคิล จะเห็นความถี่สูงสุด COUNTER จะนับได้นั้นประมาณ 1/24 ของความถี่ออสซิลเลเตอร์ การทำงานของ TIMER/COUNTER แบ่งเป็น 3 โหมด ดังกล่าวต่อไปนี้

โหมด 0

การทำงานในโหมดนี้รีจิสเตอร์ถูกกำหนดให้เป็นแบบ 13 บิต โดยการนับจากค่าที่ทุกบิตเป็น HIGH ไปจนทุกบิตเป็น 0 เกิด OVERFLOW และจะทำให้สัญญาณอินเตอร์รัพท์ โดยเซ็ทแฟล็ก TFO หรือ TF1 การที่จะให้ TIMER/COUNTER ตัวใดอยู่ในโหมดใดนั้นกำหนดได้จากรีจิสเตอร์ TMOD (รูปที่ 3.5)

COUNTER จะทำงานได้ก็ต่อเมื่อ $TR1 = 1$ และ $GATE=0$ หรือ $INT1 = 1$ (ถ้าเซ็ท $GATE = 1$ TIMER/COUNTER) จะถูกควบคุมด้วยสัญญาณ $INT1$ จากภายนอก ประโยชน์ในการทำงานแบบนี้ คือ ใช้วัดความกว้างของพัลส์จากอินพุตภายนอก $TR1$ เป็นบิตควบคุมอยู่ใน $TCON$ ดังในรูปที่ 3.7



รูปที่ 3.6 TIMER/COUNTER 1 MODE 0 : 13 BIT COUNTER

(MSB)				(LSB)			
TF1	TR1	TO	TR0	IF1	IF0	IF1	IF0
Symbol	Position	Name and Significance	Symbol	Position	Name and Significance	Symbol	Position
TF1	ICON 7	Timer 1 overflow flag. Set by hardware on timer/counter overflow. Cleared by hardware when processor vectors to interrupt routine.	IF1	ICON 3	Interrupt 1 edge flag. Set by hardware when external interrupt edge detected. Cleared when interrupt processed.	IF1	ICON 2
TR1	ICON 6	Timer 1 Run control bit. Set/cleared by software to turn timer/counter on/off.	IF0	ICON 1	Interrupt 0 edge flag. Set by hardware when external interrupt edge detected. Cleared when interrupt processed.	IF0	ICON 1
TF0	ICON 5	Timer 0 overflow flag. Set by hardware on timer/counter overflow. Cleared by hardware when processor vectors to interrupt routine.	TR0	ICON 4	Interrupt 0 type control bit. Set/cleared by software to specify falling edge/low level triggered external interrupts.		
TR0	ICON 4	Timer 0 Run control bit. Set/cleared by software to turn timer/counter on/off.					

รูปที่ 3.7 TCON : TIMER/COUNTER CONTROL REGISTER

ในโหมด 0 ที่จะแบ่ง TH1 เป็น 8 บิต กับ TL1 อีก 5 บิตโดยที่เหลืออีก 3 บิต นั้นไม่ได้ใช้ แลการใช้งานจะเหมือนกันทั้ง TIMER1 และ TIMERO

โหมด 1

การใช้งานเหมือนกับโหมด 0 ยกเว้น รีจิสเตอร์ที่ใช้จะเป็นแบบ 16 บิต

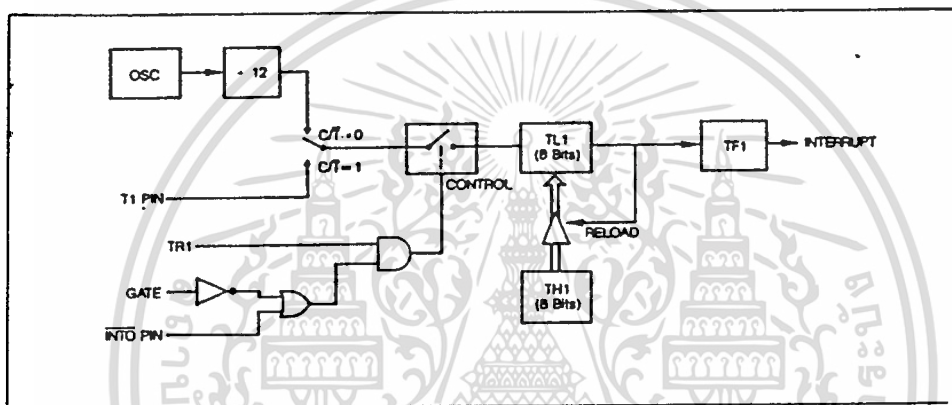
โหมด 2

ในโหมด 2 รีจิสเตอร์จะเป็นแบบ 8 บิต โดยที่ TL1 จะสามารถโหลดข้อมูลจาก TH1 ได้ใหม่ (AUTO-RELOAD) เมื่อเกิดโอเวอร์ฟลวจาก TL1 (ดูรูปที่ 3.8) โดยที่ค่าใน TH1

จะไม่ถูกเปลี่ยนการทำงานอื่น ๆ จะเหมือนกับโหมด 0

เอกสารนี้เป็นเอกสารที่สงวนไว้สำหรับการใช้งานเพื่อการศึกษาเท่านั้น ไม่อนุญาตให้นำไปใช้ประโยชน์ด้านการค้า

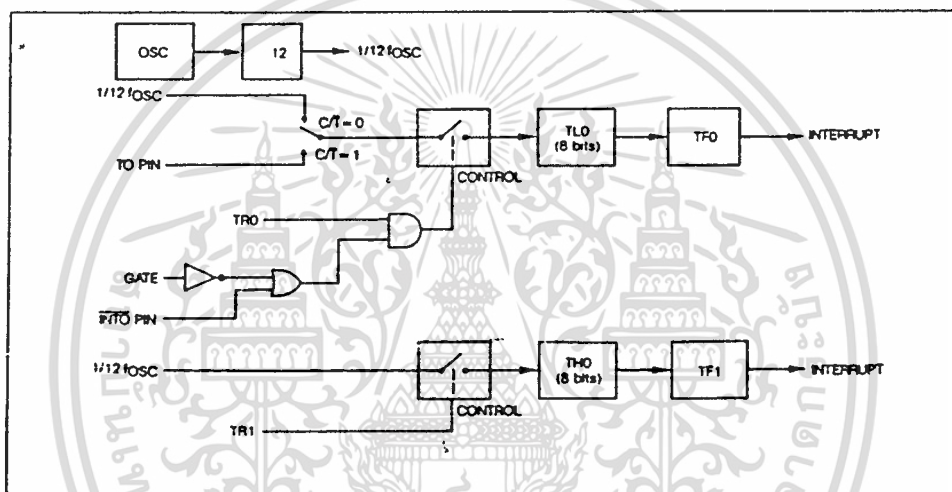
ไม่ว่ากรณีใดๆทั้งสิ้น อีกทั้งห้ามมิให้ตัดแปลงเนื้อหา และต้องอ้างอิงถึงเจ้าของเอกสารทุกครั้งที่มีการนำไปใช้



รูปที่ 3.8 TIMER/COUNTER 1 MODE 2 : 8 BIT AUTO-RELOAD

โหมด 3

ในโหมด 3 นี้จะแยก TLO และ THO ของ TIMER 0 ใช้โดยอิสระ (ดังรูปที่ 3.9) TLO จะใช้บิตควบคุมคือ GATE, TRO, INTO และ THO ถูกใช้เป็น TIMER (นับแมกซ์ไซเคิล และรับช่วงการใช้ TR1 และ TF1 ของ TIMER1 ฉะนั้นในโหมด 3 นี้ THO จะควบคุมการอินเตอร์รัพท์ของ TIMER1 (TF1) เมื่อใช้ TIMER 0 ในโหมด 3 แล้ว TIMER 1 สามารถจะสลับใช้ระหว่างโหมด 3 และโหมดอื่นได้หรือใช้เป็น BAUD RATE GENERATER



รูปที่ 3.9 TUNER/COUNTER 0 MODE 3 : TWO 8 BIT COUNTERS

พอร์ตอนุกรม

พอร์ตอนุกรมนี้เป็น FULL DUPLEX ที่สามารถรับข้อมูลใน BYTE ที่สองได้ โดย BYTE แรกยังไม่ถูกอ่านออกไปจาก BUFFER แต่อย่างไรก็ตามข้อมูล BYTE แรกจะต้องถูกอ่านไปก่อน ที่การรับข้อมูลใน BYTE ที่สองจะเสร็จสมบูรณ์จะนั้นข้อมูล BYTE แรกสูญเสียบ (ถูกทับ ด้วยข้อมูลที่ตามมา) ข้อมูลที่จะใช้ในการ ส่งและรับจะถูกพักไว้ ณ ที่เดียวกันคือ SBUF

การเขียนข้อมูลไปที่ SBUF จะเป็นการโหลดข้อมูลให้กับ TRANSMIT REGISTOR และการอ่าน SBUF จะเป็นการอ่านข้อมูลจาก RECEIVER REGISTOR พอร์ตอนุกรมแบ่งการทำงานออกเป็น 4 โหมด

- โหมด 0 : ข้อมูลจะเข้ามาทาง RXD ส่วนข้อมูลทางออกจะออกทาง TXD ความเร็วในการส่ง (BAUD RATE) จะถูกกำหนดตายตัวเป็น 1/12 ของ ความถี่ออสซิลเลเตอร์ของระบบ ในโหมด 0 จะเป็นการส่งข้อมูล ขนาด 8 บิต (โดย LSB ออกไปก่อน)
- โหมด 1 : ส่งและรับข้อมูลขนาด 10 บิต ซึ่งประกอบด้วย START BIT (0), ข้อมูล 8 บิต (LSB ออกก่อน), STOP BIT ในขณะที่รับข้อมูล STOP BIT จะถูกส่งให้ RB8 ในรีจิสเตอร์หน้าที่พิเศษ SCON ความเร็วในการส่งไม่กำหนดตายตัว (ดูการหา BAUD RATE)
- โหมด 2 : ส่งและรับข้อมูลขนาด 11 บิต ประกอบด้วย START BIT (0), ข้อมูล 8 บิต (LSB ก่อน), ข้อมูลบิตที่ 9 ที่สามารถโปรแกรมได้ และอีก 1 STOP BIT บิตที่ 9 ของข้อมูลสามารถ SET เป็น 0 หรือ 1 ก็ได้ ประโยชน์อาจใช้เป็นตัวส่งพาริตีบิต โดยนำค่าของแฟล็ก P ใน PSW มาไว้ใน TB8 และในขณะที่ทำการรับข้อมูลบิตที่ 9 ของข้อมูลจะถูกโหลด เข้าไปที่ RB8 ของ SCON ความเร็วในการส่งจะถูกโปรแกรมเป็น 1/32 หรือ 1/64 ของออสซิลเลเตอร์

การทำงานทั้ง 4 โหมด ทางด้านส่งจะเริ่มการส่งขึ้นก็ต่อเมื่อ SBUF ถูกใช้เป็นปลายทางของคำสั่งต่างๆ เช่น MOV SBUF,A ในทางด้านรับการรับจะเริ่มก็ต่อเมื่อ RI=0 และ REN=1 ในโหมด 0 ส่วนโหมดอื่นๆ การรับข้อมูลจะเริ่มขึ้นเมื่อมี START BIT เข้ามา และ REN=1

MULTIPROCESSOR COMMUNICATIONS

ในโหมด 2 และ 3 มีเงื่อนไขพิเศษสำหรับการติดต่อระหว่างหน่วยประมวลผลหลายตัว ในโหมดนี้ข้อมูลในบิตที่ 9 จะถูกโหลดเข้าไปใน RB8 ต่อจากนั้นจึงจะรับ STOP BIT อินเตอร์รัพท์แฟล็กของพอร์ตอนุกรมแอดที่พิกัดเมื่อ RB8=1 การจะใช้ลักษณะพิเศษนี้ต้องเซ็ท SM2 ใน SCON

เมื่อตัวประมวลผลตัวแม่ต้องการจะส่งข้อมูลเป็นบล็อกให้กับตัวลูก ซึ่งมีอยู่หลายตัว ฉะนั้น BYTE แรกที่จะต้องส่งคือ ตัวกำหนดว่าจะให้ตัวใดเป็นตัวรับ (การกำหนด ADDRESS) โดยที่ BYTE ที่เป็น ADDRESS จะต้องแตกต่างจาก BYTE ข้อมูลซึ่งเราทำได้โดยให้ บิตที่ 9 ของ

ข้อมูลเป็น 1 ใน BYTE ที่กำหนดให้เป็น ADDRESS ของตัวลูก (SLAVE) ส่วนในตัวลูกทุกตัว ต้องเซ็ท SM2=1 เมื่อทำดังนี้หน่วยประมวลผลที่เป็นตัวลูกทุกตัวจะไม่ถูก อินเตอร์รัพท์ที่เกิดจากการส่งข้อมูลอนุกรมถ้าข้อมูลที่ส่งนั้นบิตที่ 9 ไม่ถูกเซ็ท ฉะนั้นหน่วยประมวลผลตัวลูกทุกตัวจะรับการส่งที่กำหนดให้เป็น ADDRESS แต่จะมีเพียงตัวเดียวที่ตรวจสอบแล้วว่าถูกกำหนดให้เป็นปลายทางในการส่งข้อมูลจึงเตรียมการรับบล็อกของข้อมูลและเคลียร์ SM2 ด้วย ส่วนตัวอื่นอาจปล่อยให้ SM2 เซ็ทอยู่อย่างเดิมและทำงานตามปกติต่อไป

SM2 นี้จะไม่มีผลในการทำงานในโหมด 0 ส่วนในโหมด 1 จะใช้สำหรับตรวจสอบความถูกต้องของ STOP BIT ในโหมด 1 เมื่อเซ็ท SM2=1 แล้ว RI (RECEIVE INTERRUPT) จะไม่ถูก SET ถ้าไม่ได้รับ STOP BIT ที่ถูกต้อง

SERIAL PORT CONTROL REGISTER

ในรูปที่ 3.8 เป็นรายละเอียดของ SFR ทาหน้าที่ควบคุมพอร์ตอนุกรม (SCON) ภายใน SCON ไม่เพียงแต่มีการเลือกโหมดเท่านั้นแต่ยังรวมทั้งบิตที่ 9 ของข้อมูล (TB8, RB8) และ SERIAL PORT INTERRUPT (TI และ RI)

		(MSB)	7	6	5	4	3	2	1	0	(LSB)
		SM0	SM1	SM2	REN	TB8	RB8	TI	RI		
Where SM0, SM1 specify the serial port mode, as follows :											
SM0	SM1	Mode	Description	Baud Rate							
0	0	0	shift register	$f_{osc}/12$	• TB8 is the 9th data bit that will be transmitted in Modes 2 and 3. Set or clear by software as desired.						
0	1	1	8-bit UART	variable	• RB8 in Modes 2 and 3, is the 9th data bit that was received in Mode 1. If SM2 = 0, RB8 is the stop bit that was received. In Mode 0, RB8 is not used.						
1	0	2	9-bit UART	$f_{osc}/64$ or $f_{osc}/32$	• TI is transmit interrupt flag. Set by hardware at the end of the 8th bit time in Mode 0, or at the beginning of the stop bit in the other modes, in any serial transmission. Must be cleared by software.						
1	1	3	9-bit UART	variable	• RI is receive interrupt flag. Set by hardware at the end of the 8th bit time in Mode 0, or halfway through the stop bit time in the other modes, in any serial reception (except see SM2). Must be cleared by software.						
		• SM2	enables the multiprocessor communication feature in Modes 2 and 3. In Mode 2 or 3, if SM2 is set to 1 then RI will not be activated if the received 9th data bit (RB8) is 0. In Mode 1, if SM2 = 1 then RI will not be activated if a valid stop bit was not received. In Mode 0, SM2 should be 0.								
		• REN	enables serial reception. Set by software to enable reception. Clear by software to disable reception.								

รูปที่ 3.8 SCON : SERIAL PORT CONTROL REGISTER

อัตราความเร็วในการส่ง (BAUD RATES)

ในโหมด 0 ความเร็วในการส่งกำหนดไว้แน่นอนคือ

$$\text{MODE 0 BAUD RATE} = \frac{\text{OSCILLATOR FREQUENCY}}{12}$$

12

ในโหมด 2 ความเร็วในการส่งขึ้นอยู่กับ SMOD ซึ่งอยู่ใน PCON ถ้า SMOD = 0 ความเร็วจะเท่ากับ 1/64 ของความถี่ออสซิลเลเตอร์ ถ้า SMOD = 1 ความเร็วจะเป็น 1/32 ของความถี่ออสซิลเลเตอร์

ความเร็วในการส่งในโหมด 2 คำนวณได้จากสูตรดังนี้

$$\text{MODE2 BAUD RATE} = \frac{2^{\text{SMOD}} \times (\text{OSCILLATOR FREQUENCY})}{64}$$

โหมด 1 และโหมด 3 ความเร็วในการส่งถูกกำหนดโดยอัตราของ OVERFLOW ของ TIMER 1

การใช้ TIMER1 ในการกำเนิด BAUD RATE

เมื่อใช้ TIMER1 เป็นตัวกำเนิด BAUD RATE ความเร็วจะขึ้นอยู่กับ OVERFLOW RATE และค่าที่อยู่ใน SMOD ความเร็วคำนวณได้จากสูตร

$$\text{MODE 1,3 BAUD RATE} = \frac{2^{\text{SMOD}} \times (\text{TIMER1 OVERFLOW RATE})}{32}$$

32

ในการใช้ TIMER1 เป็นตัวกำเนิดความเร็วในการส่งข้อมูลนี้ จะต้องไม่ยอมให้มีการอินเตอร์รัพท์ของ TIMER1 วิธีการใช้ TIMER1 เป็นตัวกำเนิดความเร็วนี้ โดยทั่วไปเราจะใช้ทำให้ TIMER1/COUNTER เป็น TIMER และอยู่ในโหมด 2 ซึ่ง TIMER ในโหมด 2 นี้ทำ AUTO-RELOAD ได้ (เซ็ทไบท์สูงของ TMOD=0010B) ในกรณีนี้ความเร็วจะคำนวณได้จากสูตร

$$\text{MODE 1,3 BAUD RATE} = \frac{2^{\text{SMOD}} \times \text{OSCILLATOR FREQUENCY}}{32 \times 12 \times [256 - (\text{th1})]}$$

32

12 X [256-(th1)]

โดยที่ค่า TH1 จะเป็นค่าในช่อง RELOAD ของตารางที่ 2

BAUD RATE	fOSC	SMOD		TIMER 1		
		C/T	MODE	RELOAD VALUE		
MODE 0 MAX : 1MHz	12MHz	X	X	X	X	
MODE 2 MAX : 375K	12MHz	1	X	X	X	
MODE 1,3 : 62.5K 19.2K 9.6K	12MHz	1	0	2	FFH	
	11.059MHz	1	0	2	FDH	
	11.059MHz	0	0	2	FDH	
4.8K	11.059MHz	0	0	2	FAH	
2.4K	11.059MHz	0	0	2	F4H	
1.2K	11.059MHz	0	0	2	E8H	
137.5	11.059MHz	0	0	2	1DH	
110	6MHz	0	0	2	72H	
110	12MHz	0	0	1	FE8BH	

เอกสารนี้เป็นเอกสารที่... ตารางที่ 2 TIMER1 GENERATED COMMONLY USED BAUD RATES

ไม่ว่ากรณีใดๆทั้งสิ้น อีกทั้งห้ามมิให้ตัดแปลงเนื้อหา และต้องอ้างอิงถึงเจ้าของเอกสารทุกครั้งที่มีการนำไปใช้

รายละเอียดเพิ่มเติมเกี่ยวกับ MODE

ข้อมูลอนุกรมจะผ่านเข้าออกทางขา RXD ส่วนขา TXD นั้นจะกำเนิดสัญญาณนาฬิกา ข้อมูลที่ใช้ในการส่งและรับมีขนาด 8 บิต และ อัตราการส่งกำหนดตายตัวที่ 1/12 ของความถี่ ออสซิลเลเตอร์

รูปที่ 3.9.1 แสดงแผนภาพเวลา (TIMING DIAGRAM) และการทำงานอย่างง่ายของ พอร์ตอนุกรมในโหมด 0 การส่งจะเริ่มเมื่อมีการเขียนข้อมูลมาที่รีจิสเตอร์ SBUF สัญญาณ "WRITE TO SBUF" ที่ S6P2 จะทำให้ค่า 1 แก่บิตที่ 9 ของรีจิสเตอร์เลื่อนข้อมูลส่ง (TRANSMIT SHIFT REGISTER) และบอกส่วนควบคุมทางการส่ง ให้เริ่มต้นการส่ง ระยะเวลาตั้งแต่เกิด สัญญาณ "WRITE TO SBUF" จนกระทั่งสัญญาณ SEND เริ่มทำงานจะใช้เวลาทั้งสิ้น 1 แมกซ์- ไชเคิล

สัญญาณ SEND ทำให้ข้อมูล ของรีจิสเตอร์เลื่อนข้อมูล (SHIFT REGISTER) ถูกส่งมา ยังขา "ALTERNATE OUTPUT FUNCTION" ของ P3.0 (ดูรูปโครงสร้างพอร์ต 3) และยัง ทำให้ SHIFT CLOCK มายังขา "ALTERNATE OUTPUT FUNCTION" ของ P3.1(TXD) ซึ่ง จะเป็น LOW ในระหว่างเวลาของ S3,S4 และ S5 ของทุกๆ แมกซ์ไชเคิล และเป็น HI ระหว่าง S6,S1 และ S2 ที่เวลา S6P2 ของทุกๆ แมกซ์ไชเคิลที่สัญญาณ SEND แอคทีฟข้อมูล ใน SHIFT REGISTER จะถูกเลื่อนไปทางขวา 1 บิต

ในขณะที่ข้อมูลถูกเลื่อนไปทางขวา 1 บิต ข้อมูล 0 จะถูกเลื่อนเข้ามา ทางซ้าย 1 บิต และเมื่อข้อมูลบิตสำคัญสูงสุด (MSB) ของ SHIFT REGISTER มาถึงยังตำแหน่ง OUTPUT ของ SHIFT REGISTER แล้ว สัญญาณ 1 ที่ถูกไหลคมายังบิตที่ 9 ของ SHIFT REGISTER ในตอนแรก จะเข้ามาทางซ้ายของบิต MSB และข้อมูลทางซ้ายทั้งหมดของบิตที่เข้ามาต่อท้ายบิต MSB จะเป็น 0 ทั้งหมด สภาวะเช่นนี้จะทำให้หน่วยควบคุมการส่ง (TX CONTROL BLOCK) จะ ทำการเลื่อนข้อมูลอีก 1 ครั้งเป็นครั้งสุดท้ายก่อนที่จะยกเลิก สัญญาณ SEND และ เช็ทบิต TI การกระทำทั้ง 2 อย่างนี้ จะเกิดขึ้นที่ S1P1 ของแมกซ์ไชเคิลที่ 10 หลังจากเกิดสัญญาณ "WRITE TO SUBF"

ทางด้านรับจะเริ่มค้นเมื่อ REN=1 และ RI=0 ที่ S6P2 ของแมกซ์ไชเคิลต่อไป หน่วย ควบคุมการรับ (RX CONTROL UNIT) เขียนข้อมูล 1111110 ไปที่รีจิสเตอร์เลื่อนข้อมูลทาง ด้านรับ (RECIIVE SHIFT REGISTER) และสัญญาณนาฬิกาเฟสถัดไปจะทำให้ขา RECIVE ทำ

งาน(ดูรูป 3.9.1) ข้อมูลที่อยู่ในตัวเลื่อนข้อมูลด้านรับจะถูกเลื่อนมาทางด้าน ซ้าย 1 ตำแหน่ง

ไม่ว่ากรณีใดๆทั้งสิ้น อีกทั้งห้ามมิให้ตัดแปลงเนื้อหา-53-ต้องอ้างอิงถึงเจ้าของเอกสารทุกครั้งที่มีการนำไปใช้

ข้อมูลที่เข้ามาทางขา คือข้อมูลที่ถูกล้อมตัวอย่างทางขา P3.0 ที่เวลา S5P2 ของแมชีนไซเคิล เดียวกัน (S5P2)

ในขณะที่ข้อมูลเข้ามาทางขา บิต 1 จะถูกดันเข้ามาทางซ้าย และเมื่อบิตที่เป็น 0 ซึ่ง ถูกไหลค้ำไว้ในตอนเริ่มต้น (1111110) มาถึงทางด้านซ้ายมือสุดของตัวเลื่อนข้อมูล เป็นเหตุให้ RX CONTROL BLOCK จะทำการเลื่อนข้อมูลอีกครั้งซึ่งเป็นครั้งสุดท้าย แล้วทำการไหลค้ำข้อมูลที่ได้รับเข้ามาให้กับ SBUF สัญญาณ RECEIVE จะถูกเคลียร์ RI จะถูกเซ็ทที่ S1P1 ของแมชีน-ไซเคิลที่ 10 หลังจากบิต RI ถูกเคลียร์ในตอนเริ่มต้น

รายละเอียดเพิ่มเติมเกี่ยวกับ MODE1 (ดูรูป 3.10)

โหมด 1 จะเป็นการส่งรับข้อมูลขนาด 10 บิต โดยมี 1 START BIT (0), 8 บิตข้อมูลและ 1 STOP BIT (1) การส่งจะเริ่มต้นเมื่อมีการใช้คำสั่งที่ต้องใช้ SBUF เป็นปลายทาง เช่น MOV SBUF, A ในขณะที่เขียนข้อมูลไปที่ SBUF บิตที่ 9 ของ TX SHIFT REGISTER จะถูกไหลค้ำด้วย 1 ในทางส่งจะมีการทำงานเหมือนกับโหมด 0 ดังที่ได้อธิบายมาข้างต้น ส่วนทางด้านรับจะเริ่มตั้งแต่ตรวจพบขอบขาลง (1 TO 0) ของ RXD เมื่อตรวจพบขอบขาลงของสัญญาณทางขา RXD ข้อมูล 1FFH จะถูกไหลค้ำให้ INPUT SHIFT REGISTER ข้อมูลจะถูกล้อมตัวอย่าง 3 ครั้ง และข้อมูลที่ได้อีกคือ ข้อมูลจากตัวอย่าง 2 ใน 3 ที่ล้อมมาได้ เหตุที่ทําอย่างนี้เพื่อป้องกันสัญญาณรบกวนที่อาจเกิดขึ้นได้ ในระหว่างบิตแรก (START BIT) ถ้าตัวอย่างที่ล้อมมาได้ไม่ใช่ 0 วงจรส่วนรับข้อมูล จะถูกรีเซ็ทและจะกลับไปรอรับการเกิด START BIT อีกครั้ง ในกรณีที่ START BIT เกิดขึ้นถูกต้องข้อมูลจะถูก SHIFT เข้าไปใน INPUT SHIFT REGISTER และจะรับข้อมูลส่วนที่เหลือต่อไป ในขณะที่บิตของข้อมูลถูกเลื่อนเข้ามาทางขา "1" จะถูกเลื่อนออกทางซ้าย เมื่อ START BIT มาถึงตำแหน่งซ้ายสุดของ SHIFT REGISTER จะทำให้ RX CONTROL BLOCK ทําการเลื่อนอีกครั้งพร้อมทั้งไหลค้ำ SBUF และ RB8 และเซ็ทแฟล็ก RI สัญญาณที่ไหลค้ำ SBUF, RB8 และเซ็ท RI จะเกิดขึ้นได้ก็ต่อเมื่อสภาวะเกิดขึ้นเมื่อในช่วงเวลาการเลื่อนข้อมูลครั้งสุดท้ายจากสภาวะต่อไปนี้

1. RI = 0
2. SM2 = 0 หรือ THE RECEIVED STOP BIT = 1

ถ้าไม่พบสภาวะทั้งสองอย่างนี้การรับข้อมูลนั้นถือว่าล้มเหลว ถ้าสภาวะทั้งสองเกิดขึ้นถูกต้อง STOP BIT จะเข้าไปที่ RB8 ข้อมูล 8 บิต จะเข้าไปที่ SBUF และ RI จะถูกกระตุ้นเมื่อถึงขั้นตอนนี้ ไม่ว่าสภาวะทั้งสองจะเกิดขึ้นหรือไม่ระบบจะกลับเข้าสู่การคอย START BIT

ต่อไป

รายละเอียดเกี่ยวกับโหมด 2 และ 3

เป็นการรับส่งข้อมูล 11 บิต ผ่านทาง RXD และ TXD โดยมีรูปแบบการส่งดังนี้ START BIT(0), 8 DATA BIT(LSB ออกก่อน) บิตที่ 9 ซึ่งโปรแกรมได้ และ STOP BIT (1) ในการส่งข้อมูลบิตที่ 9 (TD8 ใน SCON) สามารถที่จะกำหนดให้เป็น 0 หรือ 1 ได้ ส่วนทางด้านรับข้อมูลบิตที่ 9 จะเข้าไปที่ RB8 (ในรีจิสเตอร์ SCON) ในโหมด 2 ความเร็วในการส่งสามารถโปรแกรมให้เป็น 1/32 หรือ 1/64 ของความถี่ออสซิลเลเตอร์ได้ด้วยบิต SMOD ในรีจิสเตอร์ PCON ส่วนโหมด 3 ความเร็วในการส่งถูกกำหนด โดย TIMER0 หรือ TIMER1 ขึ้นอยู่กับ TCLK และ RCLK

รูปที่ 3.10.1 และ 3.10.2 แสดงแผนภาพเวลา และการทำงานอย่างง่ายของพอร์ตอนุกรม โหมด 2 และ 3 ตามลำดับการทำงานของภาครับจะเหมือนกับโหมด 1 ทุกประการยกเว้นภาคส่งที่มีส่วนแตกต่างกับโหมด 1 คือมีส่วนของบิตที่ 9 ของ TRANSMIT SHIFT REGISTER

เมื่อสัญญาณการส่งเริ่มขึ้น สัญญาณนาฬิกาที่ใช้ในการเลื่อนข้อมูล จะให้ข้อมูลบิต 1 กับ บิตที่ 9 ของ SHIFT REGISTER (เพื่อเป็น STOP BIT) หลังจากนั้นข้อมูล 0 จะถูกเลื่อนเข้ามา จากทางซ้าย (บิตข้อมูลจะเลื่อนออกทางขวา) เมื่อบิต TB8 มาถึงตำแหน่ง OUTPUT ของ SHIFT REGISTER บิตหยุด (STOP BIT) จะเข้ามาต่อท้ายบิต TB8 และขณะนี้ข้อมูลทางซ้าย จะเป็น 0 ทั้งหมด ในสภาวะนี้ TX CONTROL UNIT จะทำการเลื่อนข้อมูลอีก 1 ครั้ง เป็น ครั้งสุดท้าย

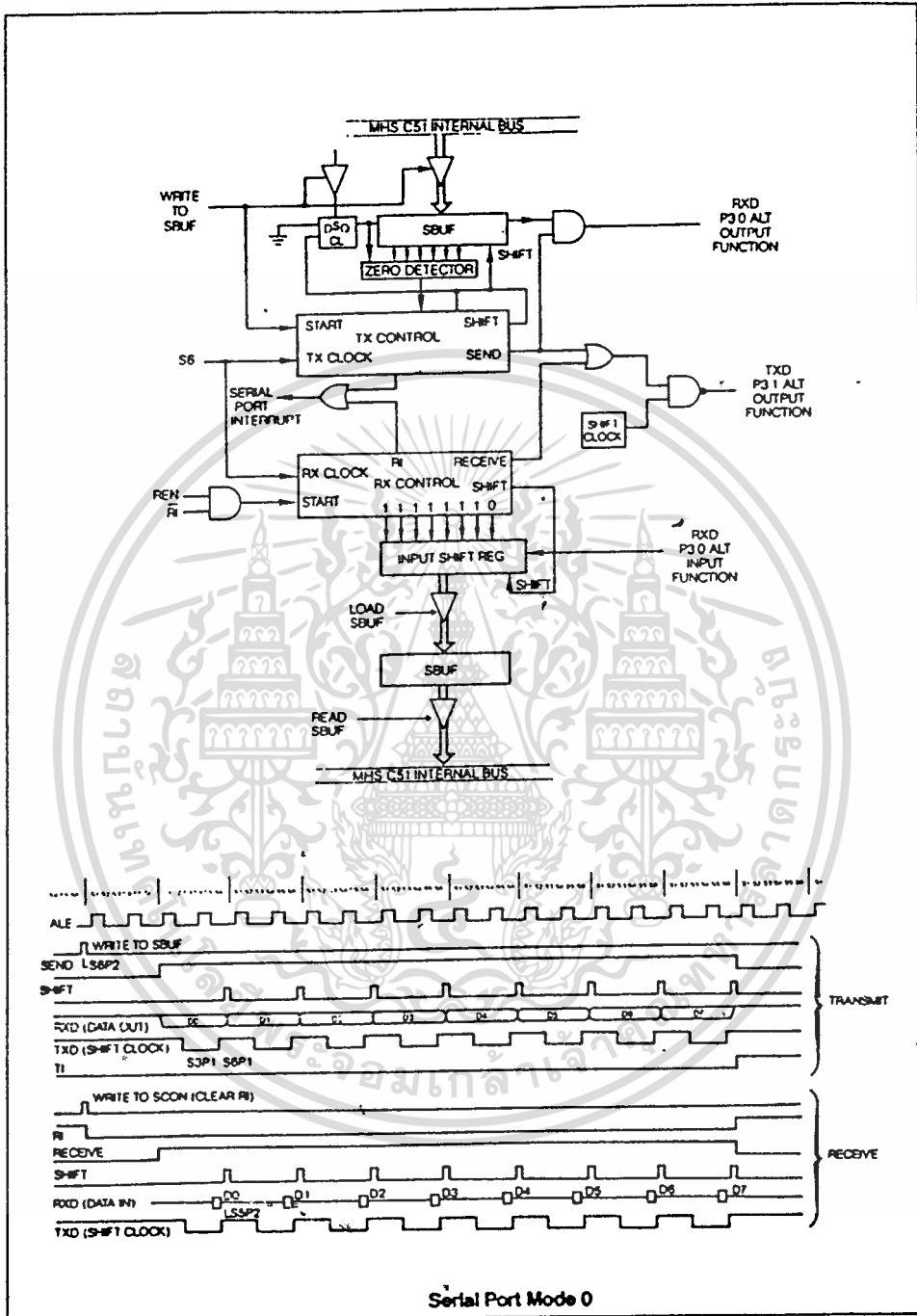
ทางด้านรับ เมื่อ START BIT ถูกเลื่อนเข้ามาถึง OUTPUT ของ SHIFT REGISTER (ในโหมด 2 และ 3) จะทำให้ ข้อมูลถูกเลื่อนอีก 1 ครั้ง ซึ่งเป็นครั้งสุดท้าย ต่อจากนั้น จะไหลลงข้อมูลให้ SBUF และ RB8 ต่อจากนั้นจะทำการเช็บบิต RI ขบวนการเหล่านี้จะเกิด ก็ ต่อเมื่อ

1. RI = 0
2. SM2 = 0 หรือ ข้อมูลบิตที่ 9=1

สรุป ข้อมูลจะเข้ามาที่ SBUF และ แพลก RI จะเช็ทก็ต่อเมื่อ RI สภาวะเดิม ต้อง เป็น 0 อยู่ และอีกสภาวะคือ SM2 ต้องเป็น 0 หรือไม่เช่นนั้นข้อมูลบิตที่ 9 ต้องเป็น 1

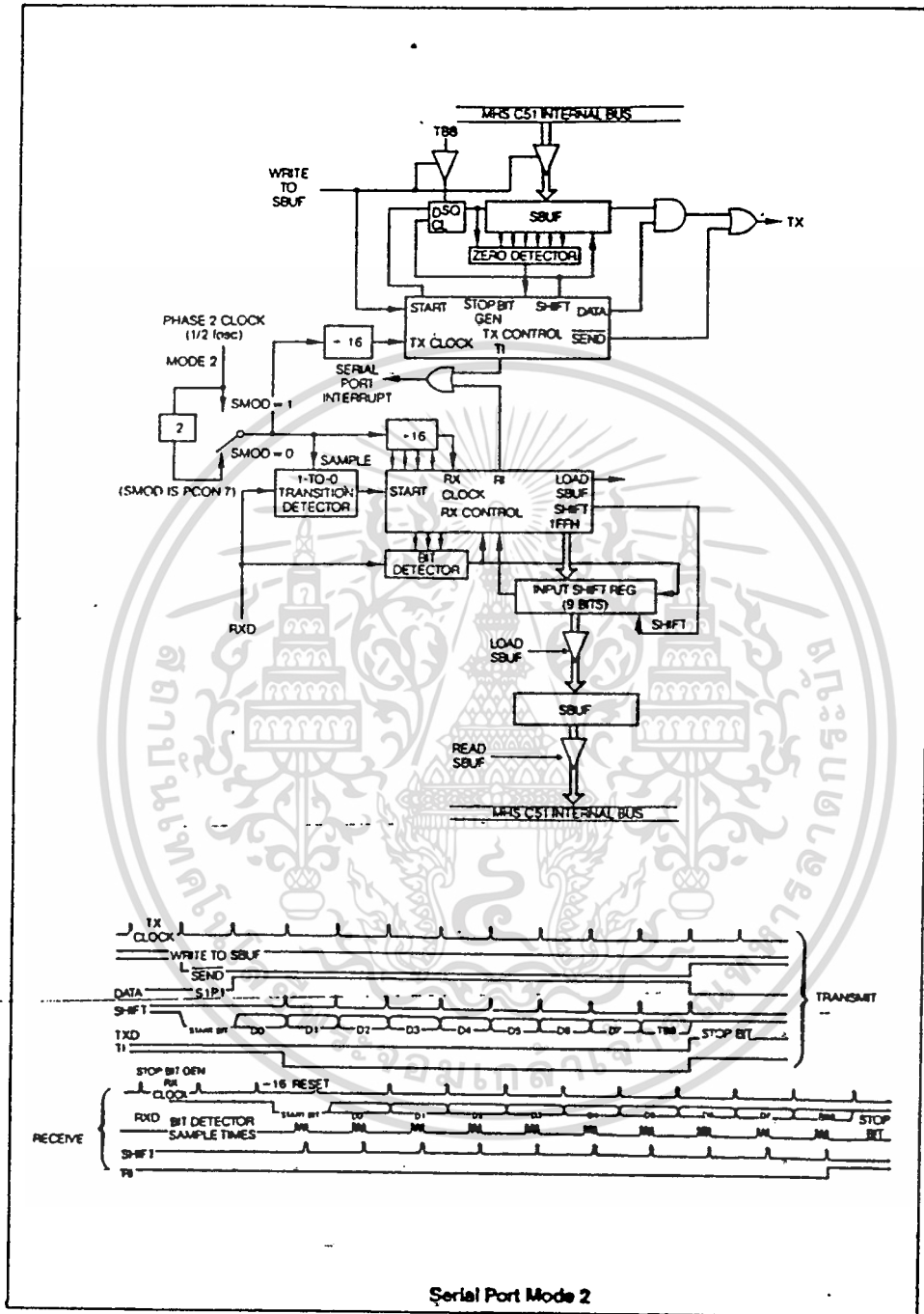
ข้อสังเกต คือ เมื่อ RI ให้สัญญาณอินเตอร์รัพท์แล้ว ในส่วนของโปรแกรมต้องเคลียร์ RI ให้ด้วยส่วนในโหมด 2 และ 3 ต้องรีเช็ทข้อมูลในบิตที่ 9 ต้องเป็น 1 ยกเว้นการใช้งาน

รูปที่ 3.9.1 SERIAL PORT MODE 0



Serial Port Mode 0

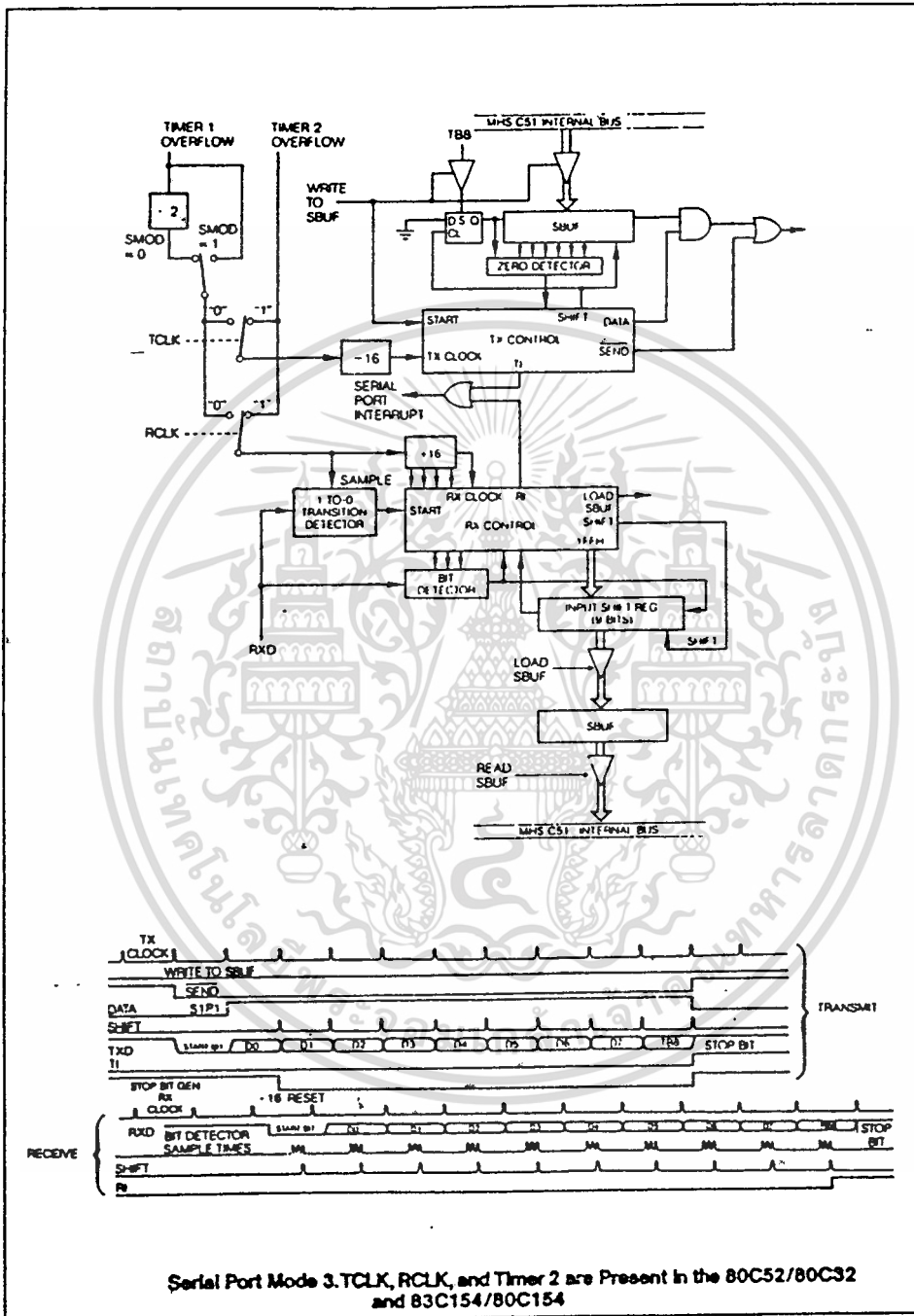
รูปที่ 3.9.2 SERIAL PORT MODE 2



Serial Port Mode 2

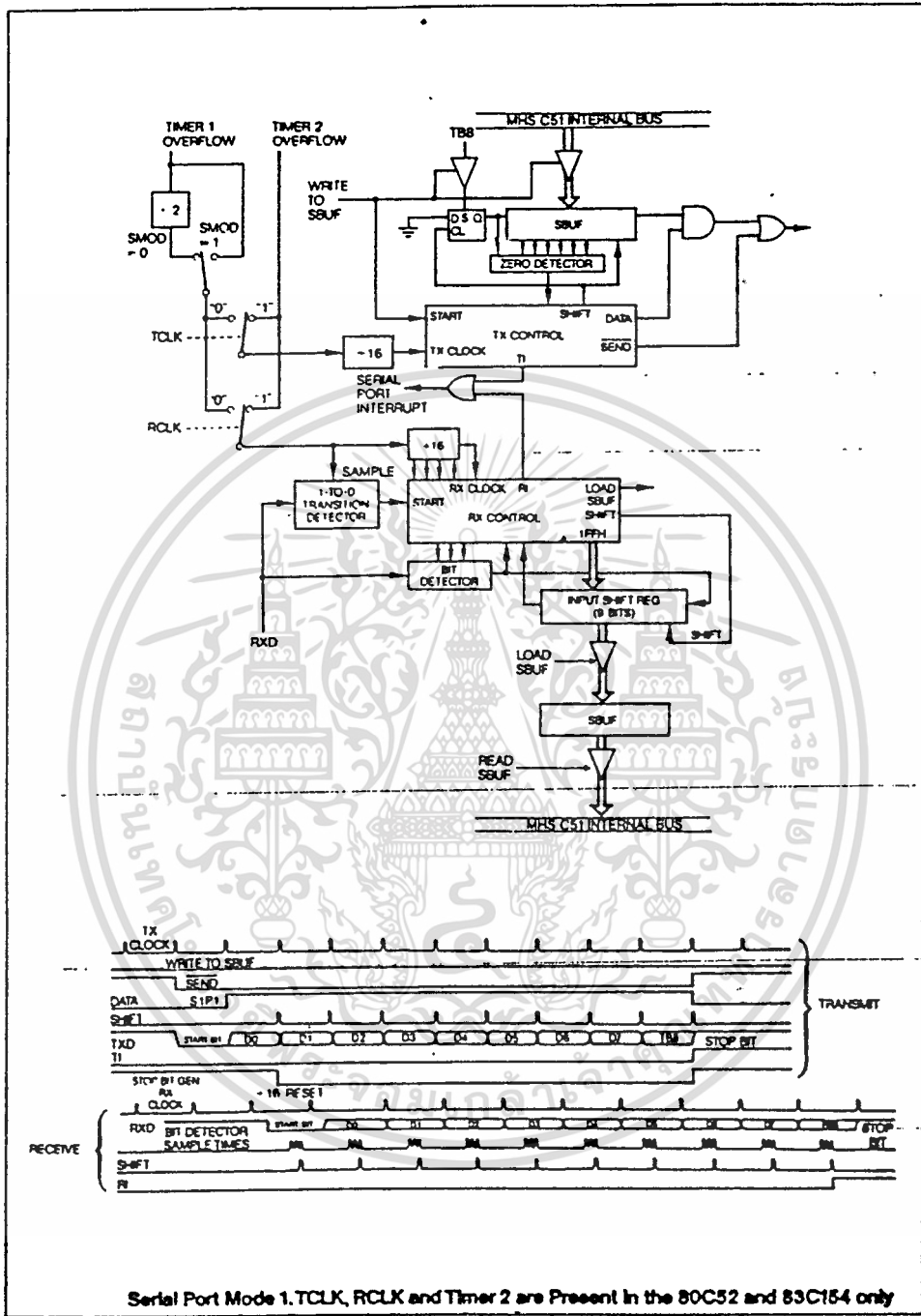
เอกสารนี้เป็นเอกสารที่สงวนไว้สำหรับการใช้งานเพื่อการศึกษาเท่านั้น ไม่อนุญาตให้นำไปใช้ประโยชน์ด้านการค้า
ไม่ว่ากรณีใดๆทั้งสิ้น อีกทั้งห้ามมิให้ดัดแปลงเนื้อหา -57- ต้องอ้างอิงถึงเจ้าของเอกสารทุกครั้งที่มีการนำไปใช้

รูปที่ 3.9.3 SERIAL PORT MODE 3



เอกสารนี้เป็นเอกสารที่สงวนไว้สำหรับการใช้งานเพื่อการศึกษาเท่านั้น ไม่อนุญาตให้นำไปใช้ประโยชน์ด้านการค้า
ไม่ว่ากรณีใดๆทั้งสิ้น อีกทั้งห้ามมิให้ดัดแปลงเนื้อหา -58- ต้องอ้างอิงถึงเจ้าของเอกสารทุกครั้งที่มีการนำไปใช้

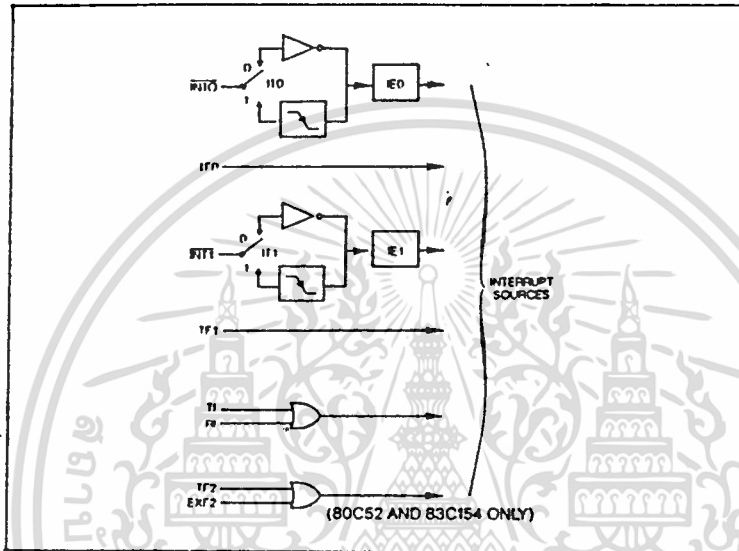
รูปที่ 3.10 SERIAL PORT MODE 1



เอกสารนี้เป็นเอกสารที่สงวนไว้สำหรับการใช้งานเพื่อการศึกษาเท่านั้น ไม่อนุญาตให้นำไปใช้ประโยชน์ด้านการค้า
ไม่ว่ากรณีใดๆทั้งสิ้น อีกทั้งห้ามมิให้ตัดแปลงเนื้อหา -59- หวังอ้างอิงถึงเจ้าของเอกสารทุกครั้งที่มีการนำไปใช้

อินเตอร์รัพท์

8031 จะมีแหล่งกำเนิดสัญญาณอินเตอร์รัพท์ 5 อย่าง ดังในรูปที่ 3.11



รูปที่ 3.11 INTERRUPT SOURCE

ขาอินเตอร์รัพท์ภายนอกมีเพียง 2 ขา คือ INT0 และ INT1 ซึ่งสามารถโปรแกรมมาให้เป็นแบบกระตุ้นด้วยระดับสัญญาณ (LEVEL ACTIVATED) หรือการกระตุ้นด้วยขอบของสัญญาณ (TRANSITION ACTIVATED) ขึ้นอยู่กับบิต ITO และ IT1 ในรีจิสเตอร์ TCON แพลกที่กำเนิดสัญญาณอินเตอร์รัพท์ที่แท้จริงคือ IE0 และ IE1 ใน TCON

เมื่อมีสัญญาณอินเตอร์รัพท์จากภายนอกแพลกที่กำเนิดสัญญาณอินเตอร์รัพท์จะถูกเซ็ทเคลียร์โดยฮาร์ดแวร์ (ภายใน 8031) ขณะที่ CPU กระโดดไปทำงานอินเตอร์รัพท์รูทีน โดยที่ต้องโปรแกรมมาให้การอินเตอร์รัพท์แบบขอบของสัญญาณ ถ้าชนิดของอินเตอร์รัพท์ถูกเซ็ทให้เป็นการอินเตอร์รัพท์โดยระดับของสัญญาณ แพลกอินเตอร์รัพท์ต้อง CLEAR ด้วยซอฟต์แวร์ ภายในซีพียู-

เอกสารนี้เป็นของอินเตอร์รัพท์สำหรับการใช้งานเพื่อการศึกษาเท่านั้น ไม่อนุญาตให้นำไปใช้ประโยชน์ด้านการค้าไม่ว่ากรณีใดๆทั้งสิ้น อีกทั้งห้ามมิให้ตัดแปลงเนื้อหา และต้องอ้างอิงถึงเจ้าของเอกสารทุกครั้งที่มีการนำไปใช้

อินเตอร์รัพท์ของ TIMER 0 และ TIMER 1 เกิดขึ้นโดยการแฟล็ก TFO และ TF1 เมื่อเกิดอินเตอร์รัพท์ขึ้นแฟล็กจะถูกเคลียร์โดยฮาร์ดแวร์เมื่อกระโดดไปทำงานที่ SERVICE-ROUTINE

อินเตอร์รัพท์ของพอร์ตอนุกรม เกิดขึ้นจากทางรับ หรือทางส่งข้อมูลโดยที่โปรแกรมต้องตรวจสอบว่าเป็นอินเตอร์รัพท์จากด้านรับ (RI) หรือทางด้านส่ง (TI) และจะต้องทำการเคลียร์แฟล็ก อินเตอร์รัพท์ด้วยซอฟต์แวร์

บิตที่กำเนิดสัญญาณอินเตอร์รัพท์สามารถเช็ทหรือเคลียร์ได้โดยซอฟต์แวร์ โดยจะให้ผลเหมือนกับสัญญาณที่กระทำโดยฮาร์ดแวร์นั้น หมายความว่าสัญญาณอินเตอร์รัพท์สามารถจะเกิดขึ้นหรืออินเตอร์รัพท์ที่ค้างอยู่สามารถยกเลิกได้โดยซอฟต์แวร์

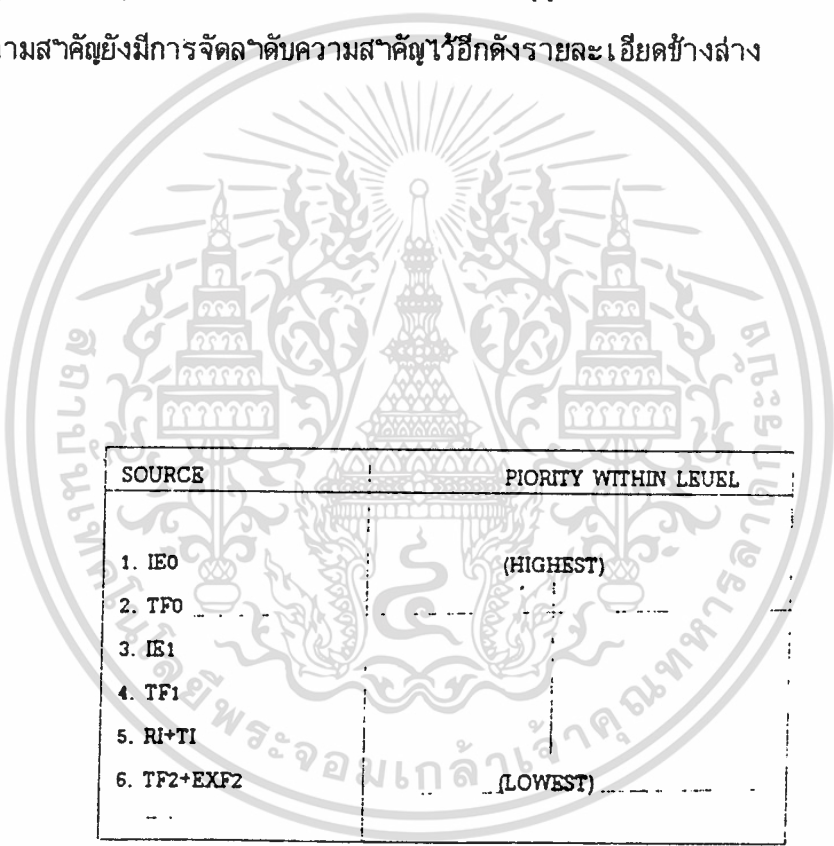
แหล่งกำเนิดของสัญญาณอินเตอร์รัพท์แต่ละตัว สามารถจะ ENABLE หรือ DISABLE โดยการเช็ทหรือเคลียร์บิตที่อยู่ในรีจิสเตอร์ IE บิตที่ 7 คือ EA จะเป็นตัวควบคุมการ ENABLE หรือ DISABLE ของสัญญาณอินเตอร์รัพท์ทุกสัญญาณ ฉะนั้นเมื่อต้องการใช้อินเตอร์รัพท์ต้องไม่ลืมที่จะเช็ทบิต EA ด้วย หลังจากนั้นจึงทำการ ENABLE สัญญาณอินเตอร์รัพท์ที่ต้องการ

		(MSB)							(LSB)
		EA	X	ET2	ES	ET1	EX1	ET0	EX0
Symbol	Position	Function							
EA	IE.7	disables all interrupts #EA=0, no interrupt will be acknowledged #EA=1 each interrupt source is individually enabled or disabled by setting or clearing its enable bit.							
—	IE.6	reserved							
ET2	IE.5	enables or disables the Timer 2 Overflow or capture interrupt. #ET2=0, the Timer 2 interrupt is disabled.							
ES	IE.4	enables or disables the Serial Port interrupt. #ES=0, the Serial Port interrupt is disabled.							
ET1	IE.3	enables or disables the Timer 1 Overflow interrupt. #ET1=0, the Timer 1 interrupt is disabled.							
EX1	IE.2	enables or disables External Interrupt 1. #EX1=0, External Interrupt 1 is disabled.							
ET0	IE.1	enables or disables the Timer 0 Overflow interrupt. #ET0=0, the Timer 0 interrupt is disabled.							
EX0	IE.0	enables or disables External Interrupt 0. #EX0=0, External Interrupt 0 is disabled.							

ลำดับความสำคัญของการอินเตอร์รัพท์

แหล่งสัญญาณอินเตอร์รัพท์แต่ละสัญญาณสามารถโปรแกรมได้ว่าเป็นลำดับความสำคัญสูงหรือลำดับความสำคัญต่ำ โดยที่ลำดับความสำคัญต่ำจะถูกอินเตอร์รัพท์ด้วยสัญญาณอินเตอร์รัพท์ที่มีความสำคัญสูงกว่าและลำดับความสำคัญสูงจะไม่ถูกอินเตอร์รัพท์โดยสัญญาณอินเตอร์รัพท์ที่มีความสำคัญต่ำกว่า

ถ้ามีการอินเตอร์รัพท์ด้วยลำดับความสำคัญเท่ากันมากกว่า 1 สัญญาณ CPU จะทำการตรวจ (POLLING) และตัดสินใจว่าจะให้บริการกับสัญญาณอินเตอร์รัพท์ตัวใด ฉะนั้นในแต่ละลำดับความสำคัญยังมีการจัดลำดับความสำคัญไว้อีกดังรายละเอียดข้างล่าง



SOURCE	PIORITY WITHIN LEVEL
1. IEO	(HIGHEST)
2. TFO	
3. IE1	
4. TF1	
5. RI+TI	
6. TF2+EXF2	(LOWEST)
...	

หมายเหตุ ลำดับความสำคัญนี้ใช้เฉพาะเมื่อมีสัญญาณอินเตอร์รัพท์ในลำดับ

เอกสารนี้เป็นเอกสารที่สงวนไว้สำหรับความสำคัญเท่ากันมากกว่า 1 สัญญาณอนุญาตให้นำไปใช้ประโยชน์ด้านการค้าไม่ว่ากรณีใดๆทั้งสิ้น อีกทั้งห้ามมิให้ตัดแปลงเนื้อหา-62-ต้องอ้างอิงถึงเจ้าของเอกสารทุกครั้งที่มีการนำไปใช้

การทำงานของสัญญาณอินเตอร์รัฟท์

แฟลชของสัญญาณอินเตอร์รัฟท์จะถูกสุ่มตัวอย่างในแอสตท 5 เฟสที่ 2 ของทุกๆ แมซีน-ไซเคิลและจะทำการตรวจ (POLLING) การอินเตอร์รัฟท์จาก 5 แหล่งสัญญาณแมซีนไซเคิล ต่อมาถ้าผลของการสุ่มตัวอย่างพบว่า แฟลชอินเตอร์รัฟท์ถูกเขียนแอสตทที่ 5 เฟสที่ 2 ของแมซีนไซเคิลที่ผ่านมาแล้ว จะมีการเรียกไปยังส่วนของโปรแกรมบริการ อินเตอร์รัฟท์ หากว่าไม่ถูกขัดขวางด้วยสภาวะใดสภาวะหนึ่งดังต่อไปนี้

1. กำลังทำคำสั่งอยู่ในโปรแกรมบริการอินเตอร์รัฟท์ที่มีความสำคัญ เท่ากันหรือสูงกว่า
2. ไม่ใช้ไซเคิลสุดท้ายของคำสั่งที่กำลังปฏิบัติอยู่
3. คำสั่งที่ปฏิบัติอยู่นั้นคือ RETI หรือ คำสั่งที่ติดต่อกับรีจิสเตอร์ IE หรือ IP

ในสภาวะตามข้อ 2 เพื่อเป็นการประกันว่าคำสั่งที่ปฏิบัติถึงไซเคิลสุดท้ายแล้ว จะไม่ถูกอินเตอร์รัฟท์จนกว่าจะปฏิบัติคำสั่งนั้นจนจบเสียก่อน

ตามข้อ 3. นั้นในกรณีที่ CPU กำลังทำคำสั่ง RETI หรือคำสั่งติดต่อกับ IE หรือ IP ตัวใดตัวหนึ่งอยู่แล้ว เกิดอินเตอร์รัฟท์ขึ้น CPU จะยอมให้มีการอินเตอร์รัฟท์แต่ต้องปฏิบัติอย่างน้อยอีก 1 คำสั่ง หลังจากทำคำสั่ง IE, EP หรือ RETI ตัวอย่างเช่น ถูกอินเตอร์รัฟท์ในขณะที่กำลังทำคำสั่ง RETI หน่วยประมวลผลจะสั่งแอดเดรสคืนให้ PC หลังจากคำสั่ง RETI และปฏิบัติอีก 1 คำสั่งในโปรแกรมหลักต่อจากนั้นจึงจะตอบสนองการอินเตอร์รัฟท์ CPU รับรู้การอินเตอร์รัฟท์โดยกระโดดไปทำโปรแกรมบริการอินเตอร์รัฟท์ ในบางกรณีจะไม่เคลียร์แฟลชที่กำเนิดสัญญาณอินเตอร์รัฟท์นั้น กรณีที่ไม่เคลียร์แฟลชส่วนของโปรแกรมของผู้ใช้จะต้องมีคำสั่งเคลียร์แฟลชเอง เช่น การอินเตอร์รัฟท์ที่เกิดจากพอร์ตอนุกรม ส่วนสัญญาณอินเตอร์รัฟท์จากภายนอก แฟลชจะถูกเคลียร์ให้ถ้าเป็นการโปรแกรมมารับการอินเตอร์รัฟท์แบบการเปลี่ยนแปลงขอบของสัญญาณ การตอบสนองสัญญาณอินเตอร์รัฟท์ CPU จะกระโดดไปที่ตำแหน่งของโปรแกรมบริการอินเตอร์รัฟท์ตามชนิดของอินเตอร์รัฟท์ ดังนี้

SOURCE	VECTOR ADDRESS
IE0	0003H
TF0	000BH
IE1	0013H
TF1	001BH
R1+T1	0023H
TF2+EXF2	002BH (8032/52)

การอินเตอร์รัพท์จากภายนอก

การอินเตอร์รัพท์จากภายนอกกระทำได้ 2 อินพุตคือ INTO และ INT1 โดยสามารถโปรแกรมมาให้เป็นแบบการเปลี่ยนแปลงขอบสัญญาณหรือเป็นแบบระดับสัญญาณก็ได้ โดยเซ็ทหรือเคลียร์บิต IT1 หรือ ITO ในรีจิสเตอร์ TCON ถ้า $IT_x = 0$ จะเป็นการอินเตอร์รัพท์แบบระดับสัญญาณ (LOW) ถ้า $IT_x = 1$ จะเป็นการรับอินเตอร์รัพท์แบบการเปลี่ยนแปลงขอบของสัญญาณและในกรณีนี้ที่ขา INT_x จะต้องได้รับสัญญาณ HIGH 1 ไชเคิล และ LOW ในไชเคิลต่อไป ส่วนของอินเตอร์รัพท์จะเซ็ท IE_x ใน TCON ฉะนั้นสัญญาณที่เป็น HIGH และ LOW ที่กล่าวมาจะต้องมีค่าอย่างน้อย 12 คาบเวลาของความถี่ออสซิลเลเตอร์ และ IE_x จะถูกเคลียร์เมื่อโปรแกรมกระโดดไปทำงานในส่วนของเซอร์วิสรูทีนโดยอัตโนมัติ ถ้าสัญญาณอินเตอร์รัพท์จากภายนอกเป็นการอินเตอร์รัพท์แบบระดับสัญญาณ (LOW) วงจรอินเตอร์รัพท์ภายนอกต้องรักษาระดับสัญญาณ 0 จนกว่าส่วนบริการอินเตอร์รัพท์จะทำงานและต้องถอนตัวจากการอินเตอร์รัพท์ก่อนที่ CPU จะเสร็จสิ้นโปรแกรมบริการอินเตอร์รัพท์

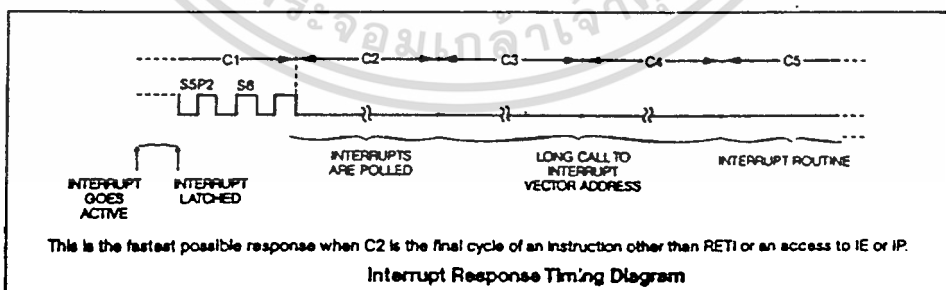
เวลาในการตอบสนองการอินเตอร์รัพท์

ถ้าการอินเตอร์รัพท์จากภายนอกเกิดขึ้นในภาวะปกติ CPU จะใช้เวลาตั้งแต่เซ็ท

อินเตอร์รัพท์แฟล็ก ตรวจสอบ (POLLING) ไปจนถึงกระโดดไปทำคำสั่งของซับรูทีนอย่างน้อย

ที่สุด 3 แมกซ์ไซเคิล ในบางสภาวะจะใช้เวลามากกว่า 3 แมกซ์ไซเคิลถ้าผลของอินเตอร์รัพท์ ถูกขัดขวางด้วยสภาวะใดสภาวะหนึ่งใน 3 ข้อ จากที่กล่าวมาแล้วข้างต้น เช่น ถ้าผลของการ อินเตอร์รัพท์ในขณะที่ CPU ทำคำสั่งอยู่ชั้นรูทีนของอินเตอร์รัพท์ที่ลำดับความสำคัญเท่ากัน หรือ สูงกว่าเวลาจะมากหรือน้อยขึ้นอยู่กับโปรแกรมในชั้นรูทีนของอินเตอร์รัพท์ที่กำลังทำอยู่ ถ้าคำสั่งที่กำลังดำเนินการนั้นไม่ใช่แมกซ์ไซเคิลสุดท้าย เวลาในการตอบสนองการอินเตอร์รัพท์จะ มากขึ้นแต่จะไม่เกิน 3 แมกซ์ไซเคิล เพราะว่าคำสั่งที่ยาวที่สุด (ดูและหาร) จะยาวเพียง 4 แมกซ์ไซเคิล และถ้าคำสั่งที่กำลังดำเนินการอยู่เป็นคำสั่ง RETI หรือคำสั่งติดต่อกับรีจิสเตอร์ IE หรือ IP เวลาในการตอบสนองการอินเตอร์รัพท์จะเพิ่มขึ้นแต่ไม่มากกว่า 5 แมกซ์ไซเคิล (จะต้องทำอย่างมากที่สุดอีก 1 แมกซ์ไซเคิลสำหรับทำให้คำสั่ง (RETI) จบสมบูรณ์ และกับอีก 4 แมกซ์ไซเคิลสำหรับคำสั่งที่ยาวที่สุด อีก 1 คำสั่ง)

สรุป สัญญาณอินเตอร์รัพท์เดี่ยว (โดยไม่ซ้อนกับอินเตอร์รัพท์อื่น) จะใช้เวลาในการตอบสนองมากกว่า 3 แมกซ์ไซเคิล และน้อยกว่า 8 แมกซ์ไซเคิล



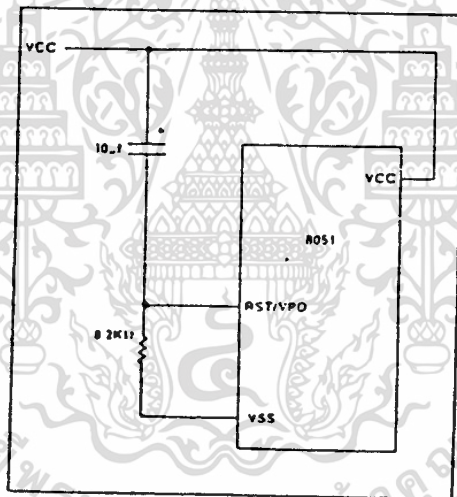
การรีเซ็ต

สัญญาณรีเซ็ตเป็นสัญญาณอินพุตทางขา 9 การรีเซ็ตจะสมบูรณ์จะต้องรักษาระดับ HIGH อย่างน้อยที่สุด 2 แมกซ์ไซเคิล (24 คาบเวลาของออสซิลเลเตอร์) การรีเซ็ตภายในตัว CPU จะเริ่มในระหว่างไซเคิลที่ 2 นับตั้งแต่ขา RST เป็น HIGH ผลของการรีเซ็ตจะมีผลกับ รีจิสเตอร์ ดังต่อไปนี้

REGISTOR	CONTENT
PC	0000H
ACC	00H
B	00H
PSW	00H
SP	07H
DPTR	0000H
P0-P3	FFH
IP	(XX000000)
IE	(0X000000)
TMOD	00H
TCON	00H
TH0	00H
TL0	00H
TH1	00H
TL1	00H
SCON	00H
SBUF	00H
PCON	00H

การรีเซ็ตเมื่อเปิดเครื่อง

เมื่อจ่ายไฟเข้าระบบควรมีการรีเซ็ต CPU ก่อนเพื่อรอให้ทั้งระบบอยู่ในสภาวะพร้อมที่จะทำงาน ซึ่งทำได้โดยต่อ C ขนาด 10 μ F จาก VCC มาที่ขา 9 ต่อ R ขนาด 8.2K ลงกราวด์

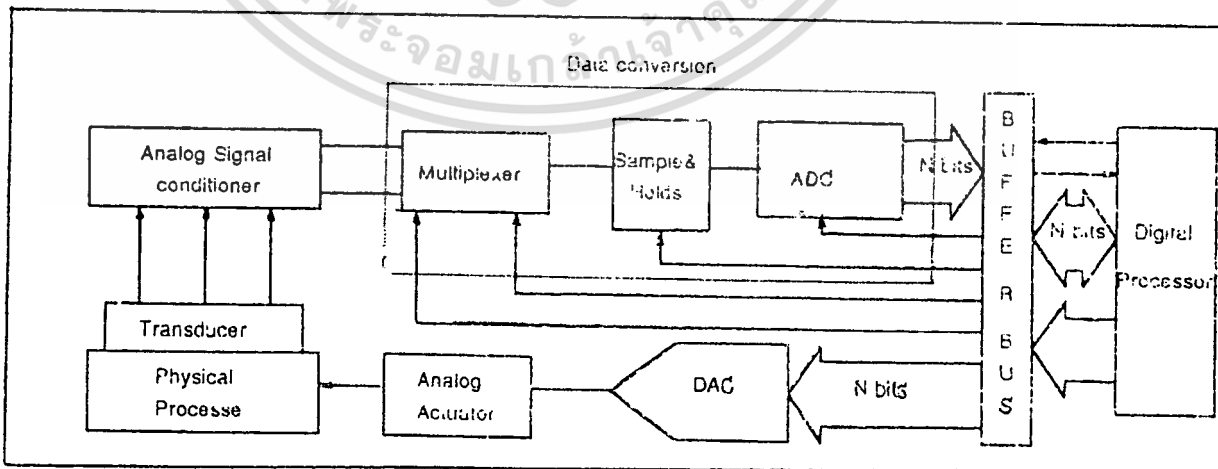


รูปที่ 3.14 POWER ON RESET CIRCUIT

ทฤษฎีการแปลงสัญญาณอนาลอกเป็นดิจิทัล

ทฤษฎีของ Data Acquisition and Conversion

รูปแบบสัญญาณไฟฟ้าที่เราพบเห็นและคุ้นเคยในชีวิตประจำวันจะอยู่ในรูปของสัญญาณที่ต่อเนื่อง เรียกว่าสัญญาณอนาลอก (Analog Signal) ซึ่งแต่เดิมการนำเอาสัญญาณไฟฟ้าดังกล่าวมาประมวล (Process) เพื่อให้มีรูปแบบที่เหมาะสมจะกระทำในแบบอนาลอกนั่นเอง แต่เมื่อเทคนิคและอุปกรณ์การประมวลสัญญาณทางดิจิทัลได้รับการพัฒนาขึ้นมา เนื่องจากพบว่าในรูปแบบของดิจิทัล การประมวล เก็บ สืบสาร และกรรนำเสนอกกระทำได้ง่ายและอย่างมีประสิทธิภาพมากกว่า ดังนั้นการเปลี่ยนรูปสัญญาณ (conversion) จึงได้มีความจำเป็นขึ้นมา ในรูปที่ 4.1 เป็นตัวอย่างแสดงระบบควบคุมที่ใช้การประมวลข้อมูลในระบบดิจิทัล ในระบบที่ยกมาเป็นตัวอย่างนี้การเปลี่ยนแปลงทางกายภาพในลักษณะใดๆ ก็ตาม (physical process) เช่น ความดัน อุณหภูมิ ฯลฯ จะถูกเปลี่ยนให้เป็นสัญญาณไฟฟ้าที่มีความต่อเนื่อง (สัญญาณอนาลอก) โดยทรานสดิวเซอร์ที่คุณสมบัติที่เหมาะสมกับรูปแบบทางกายภาพนั้น สัญญาณไฟฟ้านั้นถูกปรับให้อยู่ในรูปและขนาดที่เหมาะสมก่อนโดย Analog signal conditioner เช่น วงจรขยายหรือ ฟิลเตอร์ เป็นต้น ADC จะทำหน้าที่เปลี่ยนรูปแบบของสัญญาณจากอนาลอกเป็นดิจิทัล ตัวประมวลทางดิจิทัล (Digital processors) เช่นคอมพิวเตอร์ จะจัดการกับข้อมูลเพื่อนำเสนอหรือถูกเปลี่ยนกลับมาอยู่ในรูปแบบอนาลอกโดย DAC เพื่อป้อนกลับไปควบคุม Physical Process.

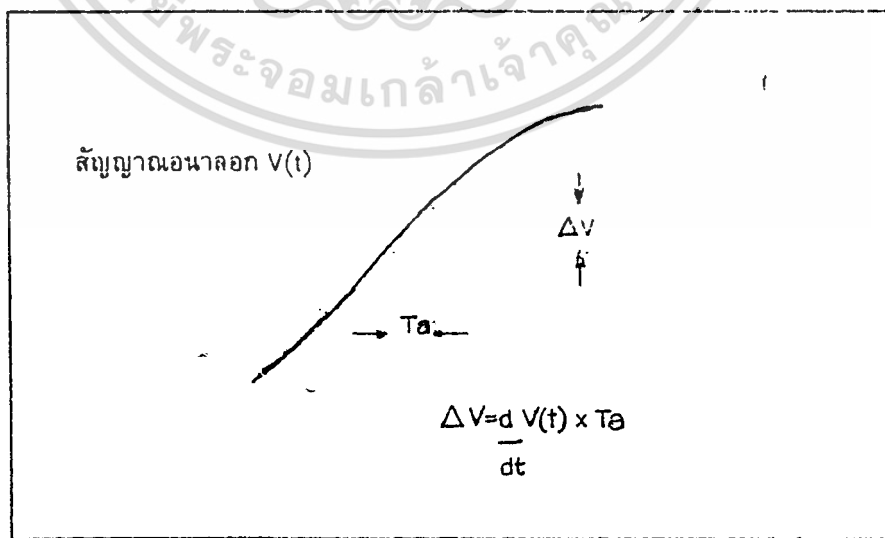


ในระบบที่มีข้อมูลที่ต้องประมวลในเวลาเดียวกันหลายๆ ข้อมูล หาก ADC ทำงานได้เร็วพอจะไม่จำเป็นต้องใช้ ADC หลายๆ ตัวทำงานแยกกันสำหรับข้อมูลแต่ละชุด แต่จะใช้วิธีแบ่งเวลา (timesharing) โดยวิธี multiplexing (รูปที่ 4.1) วงจร sampling and hold (S/H) จะสุ่ม (sample) ขนาดของสัญญาณอนาลอกมาและเก็บ (hold) ไว้ชั่วขณะเพื่อรอให้ ADC รับไปเปลี่ยนให้เป็นสัญญาณดิจิทัลจนเรียบร้อยแล้วค่อยสุ่มสัญญาณใหม่ ทั้งนี้เพื่อที่ไม่จำเป็นต้องใช้ ADC ที่มีความเร็วสูงราคาแพง ข้อมูลดิจิทัลจะถูกส่งต่อไปยัง System bus และถูกประมวลโดย Processor ผลของการประมวลจะถูกส่งกลับออกมา เพื่อเปลี่ยนสัญญาณอนาลอกโดย DAC เพื่อไปควบคุมกิจกรรมทางกายภาพของระบบผ่าน Analog actuator

ทฤษฎีการ Sampling

ในการแปลงสัญญาณอนาลอกเป็นดิจิทัลเป็นรหัสดิจิทัลนั้น ADC ต้องใช้เวลาช่วงหนึ่งในการจัดการ ซึ่งช่วงเวลาดังกล่าวนั้นขึ้นอยู่กับหลายๆ แฟกเตอร์ เช่น ความละเอียดของการเปลี่ยนสัญญาณ (จำนวนดิจิทัลบิต) เทคนิคของการเปลี่ยนแปลงสัญญาณ และความเร็วในการทำงานของอุปกรณ์ร่วมอื่นๆ การกำหนดความเร็วของการแปลงสัญญาณนั้นขึ้นอยู่กับการประยุกต์ใช้งานเฉพาะอย่าง และความแม่นยำที่ต้องการ

ช่วงเวลาในการแปลงสัญญาณบางครั้งอาจเรียกว่า Aperture time ซึ่งความหมายโดยทั่วไปหมายถึงช่วงเวลาที่เกิดความไม่แน่นอนขึ้นในการวัด และผลก็คือเกิดความผิดพลาด (error) ต่อค่าที่วัดได้



รูปที่ 4.2 แสดง error จากการวัดใน Aperture time

ในรูปที่ 4.2 สัญญาณอนาล็อก $V(t)$ มีอัตราการเปลี่ยนแปลง dv/dt ในช่วง Aperture-time t_a ดังนั้นช่วงการเปลี่ยนแปลงอนาล็อกจะเท่ากับ V โดย

$$V = T_a \frac{dV(t)}{dt}$$

ดังนั้นหากเวลาที่ ADC ใช้ในการเปลี่ยนสัญญาณในช่วงเวลา T_a นี้รหัสดิจิทัลที่ได้อาจจะตรงกับขนาดของสัญญาณอนาล็อกค่าใดค่าหนึ่งในช่วงเวลานี้และค้นหาได้ง่ายและราคาถูกกว่าที่เกิดขึ้น ซึ่งแน่นอนว่าบางครั้งเป็นไปได้ที่รหัสดิจิทัลจะตรงกับขนาดของสัญญาณอนาล็อกที่เกิดขึ้น เรียก error ที่เกิดขึ้นนี้ว่า Aperture time error.

ตัวอย่างงานกรณีสัญญาณอินพุตเป็นรูปขายนี้อัตราการเปลี่ยนแปลงบนรูปคลื่นจะเกิดสูงที่สุดตรงบริเวณจุดตัดแกนเวลารอบๆ จุดศูนย์โวลท์ (Zero Crossing) และ Aperture-time error คือ

$$V = T_a \frac{d(A \sin \omega t)}{dt} \Big|_{t=0} = T_a A \omega$$

และ error รวม (E) คิดจากอัตราส่วนของขนาดเต็มสเกล คือ

$$E = \frac{\Delta V}{2A} = \frac{T_a}{\pi}$$

ดังนั้นหากต้องการเปลี่ยนสัญญาณเป็นรูปขายนี้อัตราการเปลี่ยนแปลงที่ 1 กิโลเฮิร์ต ให้เป็นสัญญาณดิจิทัล 10 บิต ซึ่งยอมให้ error ไม่เกินกว่า resolution (จะกล่าวถึงภายหลัง) คือ $1/2^{10}$ LSB หรือ 0.001 ดังนั้นเวลา Aperture time จะต้องอยู่ในช่วง

$$T_a = \frac{E}{\pi f} = \frac{0.001}{3.1444 \times 10^3} = 320 \times 10^{-9}$$

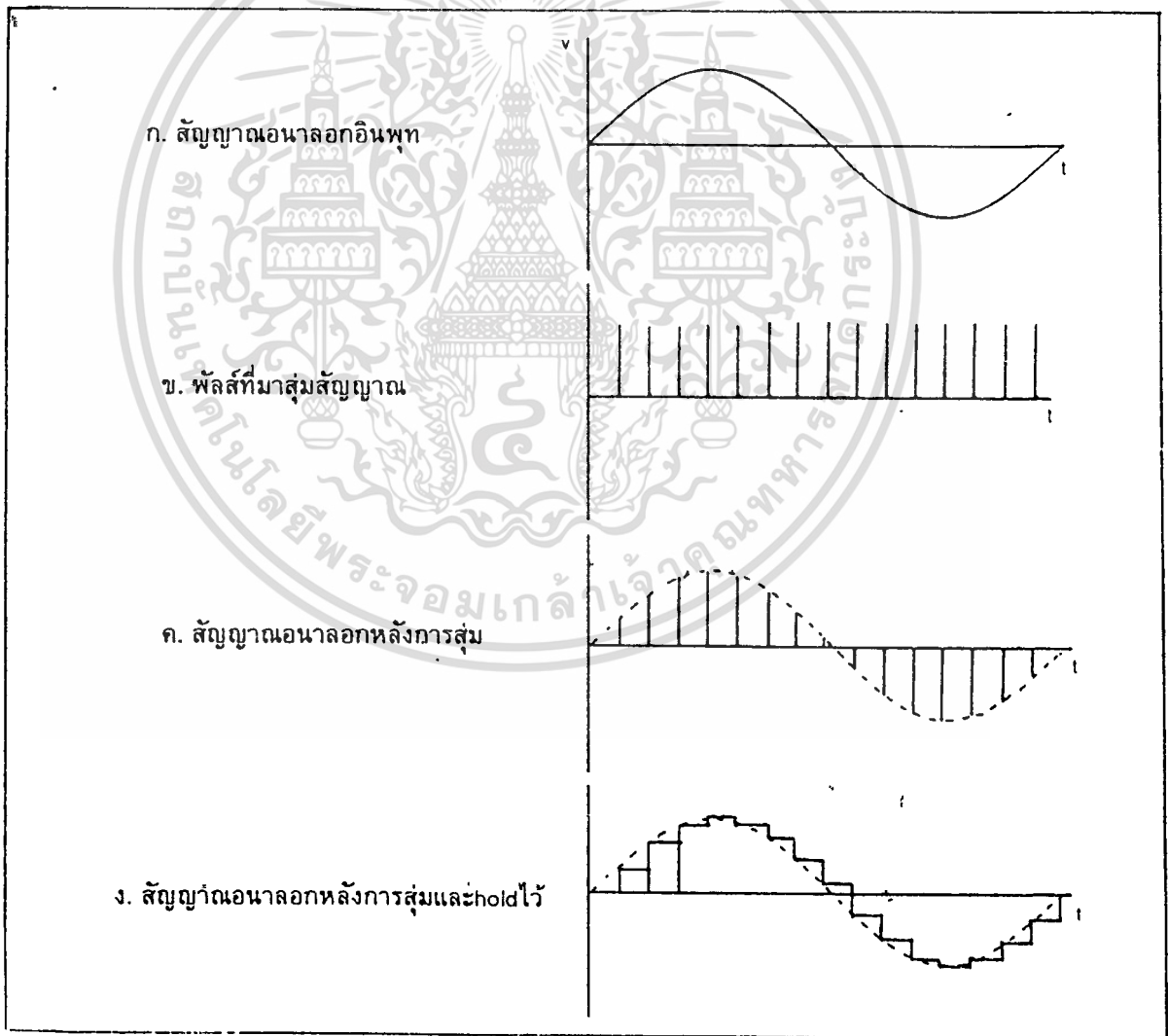
จะเห็นว่าแม้สัญญาณ 1 กิโลเฮิร์ต จะไม่ใช่ความถี่สูงก็จริง แต่ ADC ที่ใช้ต้องการเวลาในการเปลี่ยนในเวลา 320 นาโนวินาที ให้เป็นรหัส 10 บิต วิธีอื่นที่ไม่น่าจะเป็นต้องอาศัย ADC ความเร็วสูงคือการใส่ Sample and Hold ซึ่ง Sample and Hold ที่มี Aperture time น้อยๆ นั้นค้นหาได้ง่ายและราคาถูกกว่า

Sample and Hold และ Aperture error

วงจร Sample and Hold จะทำการสุ่ม (Sampling) สัญญาณอินพุต และนำสัญญาณที่สุ่มนั้นมาเก็บ (hold) ไว้ในช่วงเวลาหนึ่งได้ ซึ่งส่วนใหญ่จะใช้การประจุแรงดันนั้นไว้ในตัวไม่ว่ากรณีใดๆทั้งสิ้น อีกทั้งห้ามมิให้ตัดแปลงเนื้อหา และต้องอ้างอิงถึงเจ้าของเอกสารทุกครั้งที่มีการนำไปใช้

เก็บประจุที่รั่วไหลต่ำ Aperture time ของ Sample & Hold คือเวลาดังแต่เริ่มสุ่มสัญญาณ จนเก็บประจุค่าแรงดันจนถึงค่าสุ่มซึ่งสำหรับ Sample and Hold แล้ว Aperture time ขึ้นอยู่กับแบนด์วิดธ์ และ Switching time ของอุปกรณ์แอกทีฟ (จะกล่าวภายหลัง) ที่ใช้ในวงจร ซึ่งหาและสร้างได้ง่ายและราคาถูกกว่าการสร้าง ADC ความเร็วสูง

ในการสุ่มสัญญาณอนาล็อกจะถูกสุ่มเป็นระยะๆ ดังที่ตามรูป 4.3 การสุ่มจะเป็นการตัดต่อสัญญาณอนาล็อกในช่วงเวลาอันสั้นด้วยสวิตซ์ที่ทำงานด้วยความเร็วสูง ผลของการสุ่มสัญญาณด้วยความเร็วจะเสมือนกับการคูณขบวนสัญญาณพัลส์แคบๆ กับสัญญาณอนาล็อกซึ่งจะได้เป็นสัญญาณที่มองดูแล้วระหว่างขบวนการพัลส์กับสัญญาณอนาล็อก โดยเสมือนว่าสัญญาณอนาล็อกจะมีมาบนขบวนพัลส์ ดังแสดงในรูปถ้าหากสัญญาณอนาล็อกที่ถูกสุ่มถูก Hold จนกว่าสัญญาณค่าใหม่ถูกสุ่มเข้ามาซึ่งจะได้ลักษณะของเอาต์พุตที่ได้แสดงไว้ในรูป ง.



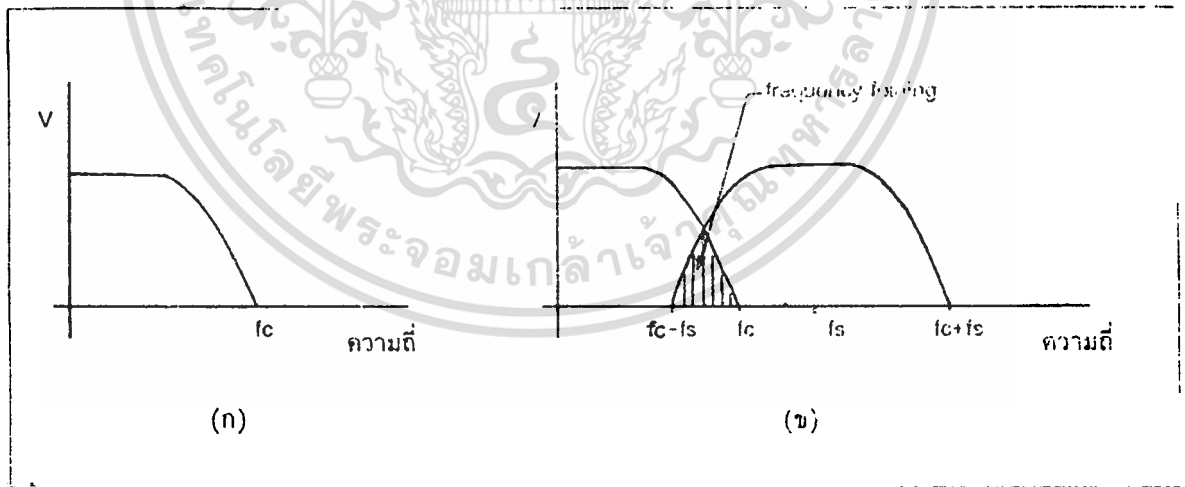
รูปที่ 4.3 การสุ่มสัญญาณ

เอกสารนี้เป็นเอกสารที่สงวนไว้สำหรับการใช้งานเพื่อการศึกษาเท่านั้น ไม่อนุญาตให้นำไปใช้ประโยชน์ด้านการค้า ไม่ว่าจะกรณีใดๆทั้งสิ้น อีกทั้งห้ามมิให้ตัดแปลงเนื้อหา และต้องอ้างอิงถึงเจ้าของเอกสารทุกครั้งที่มีการนำไปใช้

มีปัญหาที่ว่าอัตราการสุ่มสัญญาณนั้นควรมีขนาดเท่าใด จึงจะไม่ทำให้ข้อมูลสูญหายไปเมื่อสัญญาณนั้นถูกเปลี่ยนกลับมาเป็นเช่นเดิม คำตอบก็คือ ขึ้นอยู่กับความถี่ของสัญญาณอนาลอก ทฤษฎีของการสุ่มกล่าวไว้ว่า "ถ้าสัญญาณต่อเนื่องซึ่งมีความถี่และฮาร์โมนิกส์ไม่เกิน f_c ถูกสุ่มด้วยความถี่ f_s ไม่สูงกว่า $2f_c$ แล้วสัญญาณดังกล่าวจะสามารถเปลี่ยนกลับมาได้อย่างเดิมโดยไม่สูญหาย รายละเอียดหรือผิดเพี้ยนไป"

Frequency folding and Aliasing

จากทฤษฎีของการสุ่มสามารถอธิบายด้วยลักษณะรูปสเปกตรัมของสัญญาณในรูปที่ 4.4 รูป (ก) แสดงให้เห็นสเปกตรัมของสัญญาณที่ถูกสุ่มซึ่งแบนด์วิดธ์ไม่เกิน f_c ในขณะที่สัญญาณนี้จะถูกสุ่มด้วยความถี่ f_s ขบวนการมอดูเลชันจะทำให้แถบสเปกตรัมของสัญญาณสุ่มขยายกว้างออกจาก f_s เป็น $2f_s$ $3f_s$... ได้เป็นดังรูป 4.4 (ข) ถ้าความถี่ของสัญญาณสุ่ม f_s ไม่สูงพอหลังจากการสุ่มสเปกตรัมบางส่วนของ f_s จะหาซ้อนกลับสเปกตรัมของสัญญาณที่เรียกว่า frequency folding หากเป็นเช่นนี้ก็จะทำให้เกิดความเพี้ยนแก่สัญญาณอนาลอกจากการซ้อนกันของสเปกตรัมเมื่อสัญญาณถูกเปลี่ยนกลับให้อยู่ในรูปเดิม



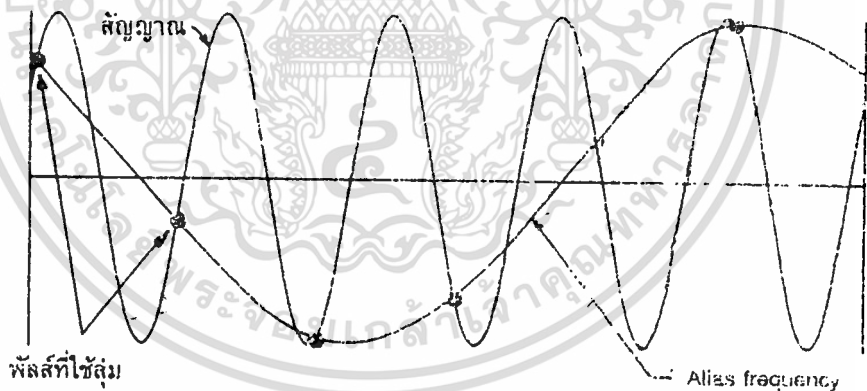
รูป 4.4 (ก) แสดงสเปกตรัมของสัญญาณอนาลอกที่จะถูกสุ่ม

รูป 4.4 (ข) สเปกตรัมหลังจากการสุ่ม เกิด Frequency folding

และถ้าเลื่อนความถี่ของการสุ่มให้สูงขึ้นจนโอกาสการซ้อนของสเปกตรัมหมดไป ($f_s - f_c = f_c$) และการเปลี่ยนแปลงของสัญญาณหลังจากถูกสุ่มก็ยังคงเหมือนเดิมได้

จากที่กล่าวมาแสดงถึงการสนับสนุนทฤษฎีการสุ่มที่ว่าให้ $f_s > 2f_c$ นั่นก็คือการจัดการจัดการซ้อนกันของสเปกตรัมซึ่งทำได้สองวิธี วิธีหนึ่งด้วยการใช้อัตราการสุ่มที่สูงพอและ อีกวิธีหนึ่งคือการทำการฟิลเตอร์ความถี่ของสัญญาณออกก่อนการสุ่ม (Anti alias filters) เพื่อให้แบนด์วิดธ์ไม่เกินไปกว่า $f_s/2$ ในทางปฏิบัติแล้วจะยังคงเกิด frequency folding ได้เสมอจากส่วน ฮาร์โมนิกส์ของสัญญาณรวมทั้งสเปกตรัมของสัญญาณรบกวนที่ยังคงอยู่แม้ว่าทำการฟิลเตอร์ก่อนหน้ามาแล้วก็ตามการจัดการซ้อนกันของสเปกตรัม ดังวิธีนี้ได้ผลอีกก็คือ พยายามให้การสุ่มสัญญาณเป็นไปอย่างรวดเร็วมากที่สุด ซึ่งปกติจะสูงกว่าความถี่ต่ำสุดตามทฤษฎี

Sampling คือ $2f_c$ เสมอ



รูปที่ 4.5 การเกิด Alias frequency จากการสุ่มด้วยความถี่ต่ำกว่า 2 เท่าของความถี่

ผลของการใช้อัตราการสุ่มที่ไม่เหมาะสมจะเกิดเป็นสัญญาณความถี่ต่ำ เรียกว่า Alias Frequency เมื่อสัญญาณถูกเปลี่ยนกลับมาเช่นเดิมหลังจากถูกสุ่มแล้วแสดงใน รูปที่ 4.5 จะเห็นว่าความถี่ alias อาจจะแตกต่างจากความถี่เดิมไปมาก

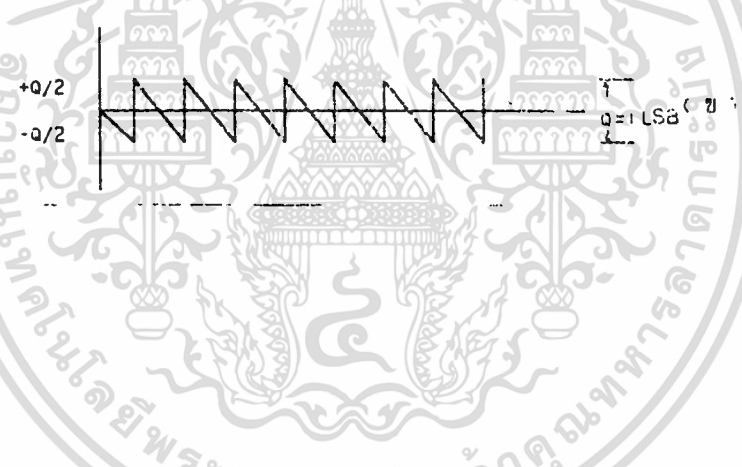
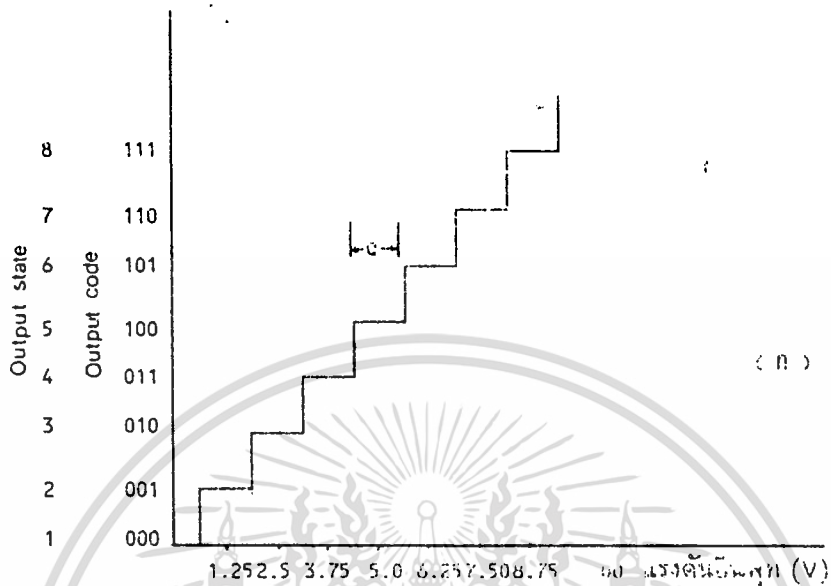
Anti alias filter จะช่วยลดสัญญาณในแถบความถี่ที่ทำให้เกิด alias frequency ในขณะที่ต้องไม่ทำให้เกิดความผิดเพี้ยนของสัญญาณในแบนด์ที่ใช้งานและไม่ลดความแม่นยำในการวัดโดยรวมอีกด้วย ในการใช้ Anti alias filter ปริมาณการจับความถี่สูงนั้นขึ้นอยู่กับ :

- ความถี่สูงสุดที่สนใจ
- อัตราการสุ่ม และ
- ความละเอียดของวงจรแปลงสัญญาณ

ฟิลเตอร์ที่ใช้จึงอาจเป็น พาสซีฟฟิลเตอร์ แอคทีฟฟิลเตอร์ หรือ switched capacitor ฟิลเตอร์

Quantizing theory

Quantizing เป็นขบวนการที่เปลี่ยนสัญญาณอนาลอกเป็นสัญญาณที่ไม่ต่อเนื่อง (discrete signal) หลังการสุ่ม โดยผ่านขบวนการเข้ารหัส (Coding) จัดให้สัญญาณที่ไม่ต่อเนื่องนั้นอยู่ในรูปที่ง่ายต่อการประมวลและเป็นสัดส่วนสัมพันธ์กับสัญญาณอนาลอก เช่น ในรูปของรหัสไบนารี(Binary) เป็นต้น หากนำเอาขนาดของสัญญาณอนาลอกและรหัสดิจิทัลที่ได้จากการ Quantize มาเขียนกราฟก็จะได้กราฟแสดง Quantize transfer function ดังรูปที่ 4.6



รูปที่ 4.6 Transfer function ของ Quantize 3 บิต ตามทฤษฎี

ในรูปกราฟแสดงให้เห็นถึงความสัมพันธ์กัน ระหว่างสัญญาณอนาลอกที่ขนาดอยู่ระหว่าง 0 ถึง +10 โวลต์ ถูก Quantize และ encode เป็นรหัสไบนารี(Binary) 3 บิตได้ 8 ระดับ จาก 0000 ถึง 1111 เนื่องจากในระบบไบนารีรหัสดิจิทัลแต่ละค่าจะแทนขนาดของสัญญาณอนาลอกแต่ละค่าที่เป็นสัดส่วนกับค่าเต็มสเกล โดยค่าสูงสุดของรหัสดิจิทัลคือทุกบิตเป็น 1 จะเท่ากับสัญญาณอนาลอกเต็มสเกลคูณด้วย $(1-2^{-n})$ โดย n เป็นจำนวนบิตของรหัสดิจิทัล และรหัสดิจิทัลแต่ละบิตที่เป็น 1 จะเท่ากับขนาดเต็มสเกลของอนาลอกคูณกับค่า weighting ของรหัสขบิตนั้นหารด้วย 2^n ตัวอย่างเช่น ค่าเต็มสเกลของสัญญาณอนาลอกเป็น 10 โวลต์ รหัส 1011 จะแทนขนาดสัญญาณอนาลอกอินพุต

$$V_{input} = \frac{R_s \{(1x2^3)+(0x2^2)+(1x2^1)+(1x2^0)\}}{2^n}$$

$$= \frac{10}{2^4} \{(1x2^3)+(0x2^2)+(1x2^1)+(1x2^0)\}$$

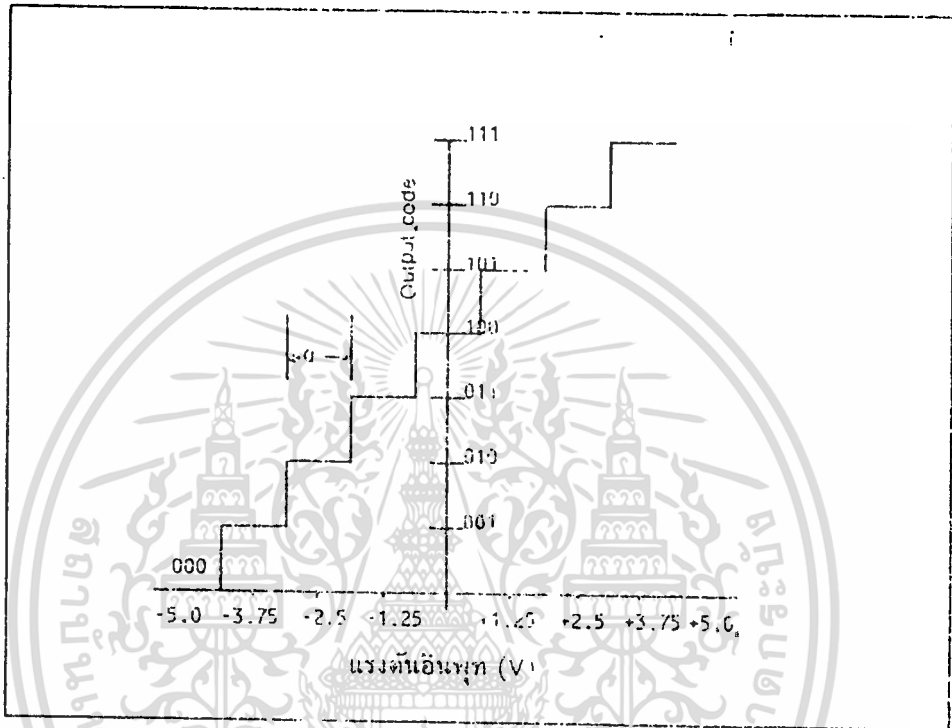
จุดสำคัญที่เกี่ยวข้องกราฟ transfer function ในรูปที่ 4.6 อันแรกได้แก่ ความละเอียด (resolution) ของ quantizer ซึ่งกำหนดได้จากจำนวนบิตของรหัสดิจิทัล หรือจากกราฟคือขนาดกว้างของ ชั้นระดับ(step) ทางแกนอนาลอกอินพุตว่าเป็นสัดส่วนเท่าใดระหว่าง ค่าเต็มสเกลอนาลอกกับค่า 2^n

จำนวนสถานะเข้าที่พูกกำหนดได้จากจำนวนบิตคือเท่ากับ 2^n สถานะ ตัวอย่างกรณี ADC 8 บิต Quantizer จะให้เข้าที่พูก 256 สถานะและ 12 บิตให้ 4096 สถานะต่อค่าเต็มสเกลของอนาลอก ในไดอะแกรมแสดงทรานสเฟอร์ฟังก์ชัน จะเห็นจุดแบ่ง ระดับ(Decision point หรือ Theshold level) สัญญาณอนาลอกจะมีจำนวน $2^n - 1$ จุดที่อยู่ที 0.625, 1.875, 3.125, 4.375, 5.625, 6.875, และ 8.125 โวลต์ ระหว่างจุดดังกล่าวเป็นสัญญาณอนาลอกซึ่งแปลงเป็นรหัสดิจิทัล 1 สถานะ ดังนั้นค่าเหล่านี้จะต้องปรับให้ถูกต้องมากที่สุดเพื่อแปลงขนาดของอนาลอกให้ตรงกับค่าที่ทำการ Quantized แรงดันที่ 1.25, 2.50, 3.75, 5.0, 6.25, 7.2 และ 8.75 โวลต์ เป็นจุดกึ่งกลางในช่วงของสัญญาณอนาลอกที่แสดงสถานะเข้าที่พูกดิจิทัลฟังก์ชันที่มีลักษณะเป็นขั้นบันไดนี้สามารถประมาณเป็นเส้นตรงได้ โดยการโยงเส้นตรงระหว่างจุดเริ่มและจุดปลาย ณ จุดกึ่งกลางของรหัสดิจิทัลสถานะสุดท้าย สังเกตว่าในทางทฤษฎีแล้ว เส้นตรงนี้จะต้องผ่านจุดกึ่งกลางของทุกระดับดิจิทัล

รหัสตัวเลขสำหรับการเปลี่ยนข้อมูล

รหัสตัวเลขที่นิยมนำมาใช้ในระบบเปลี่ยนข้อมูล ได้แก่รหัสไบนารีหรือที่เรียกว่า Straight binary โดยที่รหัสไบนารีสถานะสูงสุดจะแทนสัญญาณอนาลอก $FRS \times (1-2^n)$ โวลต์ ตัวอย่างเช่น หากสัญญาณอนาลอกเต็มสเกล (FRS) เท่ากับ 20 โวลต์ สำหรับ ADC ขนาด 12 บิต รหัส 1111 1111 1111 จะแทนสัญญาณอนาลอกขนาด $20 \times (1-2^{12})$ หรือ 19.9951171 โวลต์ นอกจากรหัสไบนารีธรรมดาดังกล่าวยังมีการใช้ระบบไบนารีแบบอื่นๆ ในระบบการแปลงสัญญาณแก่ ออฟเซ็ทไบนารี, Two's complement, BCD ซึ่งแต่ละชนิดมีข้อดีและความเหมาะสมต่างกัน ตัวอย่างเช่นระบบ BCD เหมาะสำหรับการแสดงตัวเป็นตัวเลขหน้าปัด หรือต่อเข้ากับดิจิทัลมิเตอร์รหัส Two's complement เหมาะสำหรับการคำนวณทางคณิตศาสตร์ลอจิก และสำหรับระบบออฟเซ็ทไบนารีนั้นเหมาะสำหรับการแปลงสัญญาณอินพุตที่ทั้งช่วงบวกและลบ ในรูปที่

นอกจากมาตรฐานของการใช้รหัสตัวเลขแล้วยังมีมาตรฐานของการเลือก ช่วงของขนาด แรงดันอินพุตสำหรับ ADC คือ หากเป็นสัญญาณช่วงบวกหรือลบอย่างเดียวจะใช้ 0-5 โวลต์หรือ 0-10 โวลต์ แต่ถ้าเป็นช่วงลบจะใช้ 2.5 โวลต์, -5 โวลต์และ -10 โวลต์ เป็นมาตรฐาน



รูปที่ 4.7 Transfer function ของ ADC 3 บิตที่ใช้รหัสสองเฟสไบโনারี

Analog to Digital Converter (ADC)

ลักษณะการจัดวงจร ADC มีหลายแบบ แต่ที่นิยมใช้มีเพียงไม่กี่แบบและส่วนใหญ่อะจะอยู่ในรูปของวงจรรวม

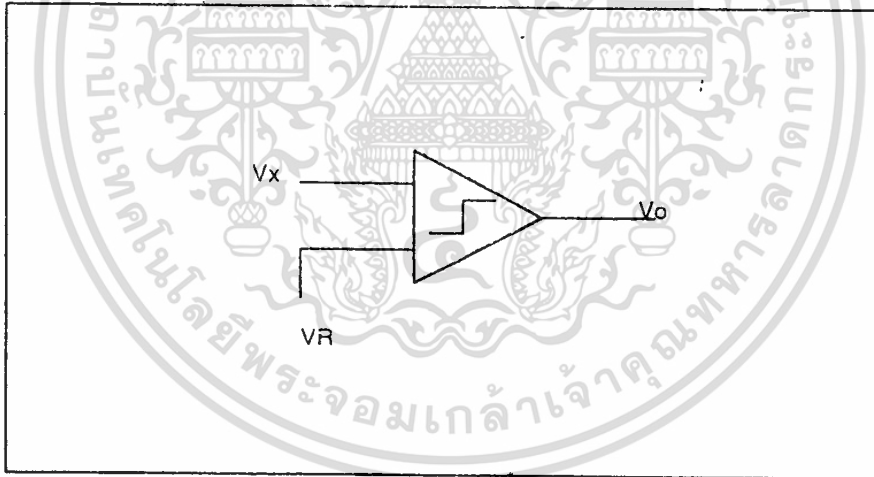
Basic conversion method

วิธีการแปลงสัญญาณอนาลอกเป็นดิจิตอลแบบง่ายๆ แสดงในรูปที่ 4.8 แรงดันอินพุตที่ไม่ทราบค่า V_x จะต่อเข้ากับขาอินพุตขาหนึ่งของอนาลอกคอมพาราเรเตอร์ และแรงดันอ้างอิงที่ขนาดแปรตามเวลา V_R ต่อเข้ากับอินพุตอีกขาหนึ่งของคอมพาราเรเตอร์ ลักษณะของทรานเฟอร์ฟังก์ชัน ของคอมพาราเรเตอร์แสดงในรูปที่ 4.9 ถ้าแรงดันอินพุต V_1 มากกว่า อินพุต V_2 แล้ว

เอกสาร แรงดันเข้าที่ทุกๆจะเป็นลอจิก 1 ถ้าอินพุต V_1 มากกว่า V_2 แล้วเข้าที่ทุกๆจะเป็นศูนย์ขึ้นด้านการค้าไม่ว่ากรณีใดๆทั้งสิ้น อีกทั้งห้ามมิให้ตัดแปลงเนื้อหา-77- ต้องอ้างอิงถึงเจ้าของเอกสารทุกครั้งที่มีการนำไปใช้

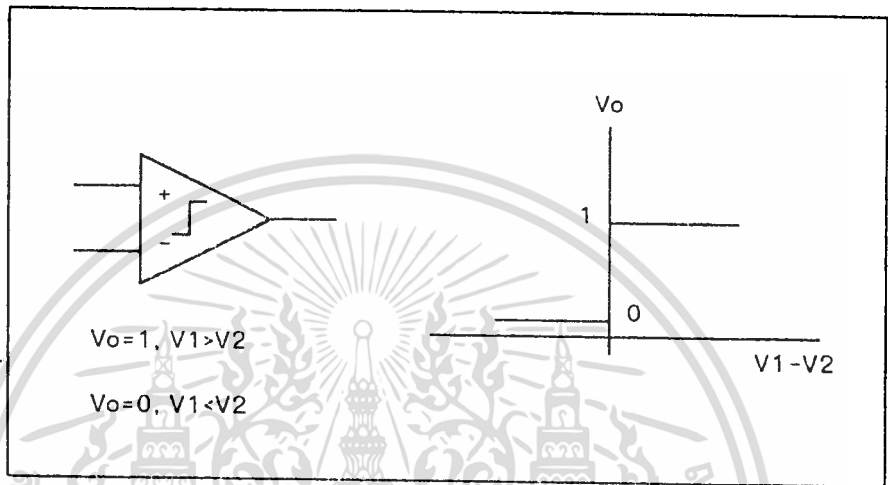
วิธีการแปลงข้อมูลคือ แรงดันอ้างอิงจะถูกแปรค่าจนกระทั่งรู้ค่าแรงดันอินพุตที่ผิดพลาดไม่เกิน Quantization error ของคอนเวอร์เตอร์ ในแนวความคิดแล้วตรรกะของ ADC คือพยายามเลือกกลุ่มของส.ป.ส. ไบนารี a_i เพื่อให้ผลต่างระหว่างแรงดันอินพุต V_x และค่าที่ Quantize ได้ครั้งสุดท้าย น้อยกว่า 0.5 LSB ซึ่งเขียนเป็นสมการได้

$$\left[V_x - V_{FSR} \sum_{i=1}^n a_i 2^i \right] < 0.5 \text{LSB}$$



รูปที่ 4.8 แสดงวิธีการพื้นฐานของ ADC

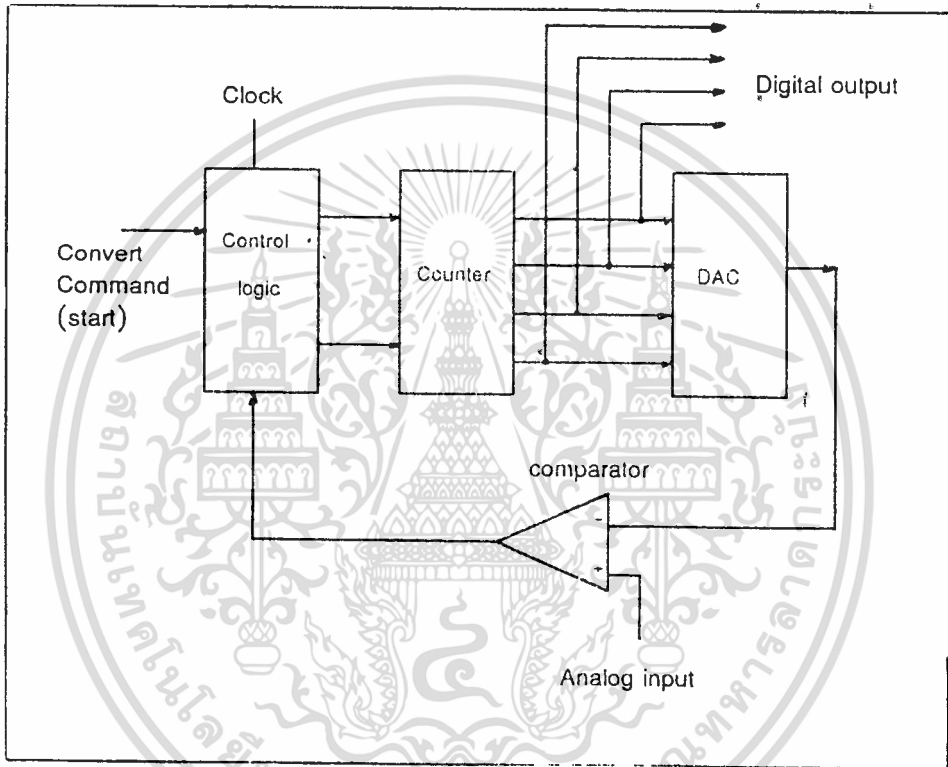
เอกสารนี้เป็นเอกสารที่สงวนไว้สำหรับการใช้งานเพื่อการศึกษาเท่านั้น ไม่อนุญาตให้นำไปใช้ประโยชน์ด้านการค้า ไม่ว่าจะกรณีใดๆทั้งสิ้น อีกทั้งห้ามมิให้ตัดแปลงเนื้อหา และต้องอ้างอิงถึงเจ้าของเอกสารทุกครั้งที่มีการนำไปใช้



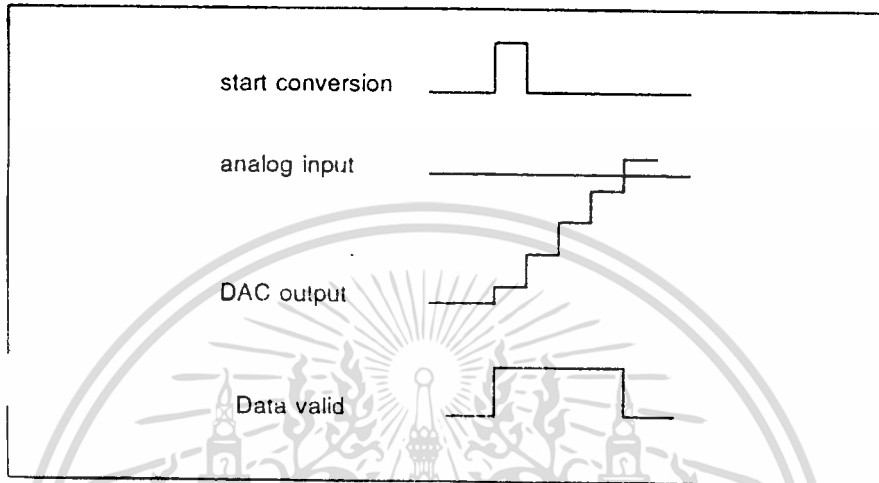
รูปที่ 4.9 แสดงทรานสเฟอร์ฟังก์ชันของคอมพาราเรเตอร์

Counter type ADC

การจับวงจร ADC ลักษณะนี้เป็นแบบที่ง่ายที่สุด หลักการทำงานของวงจรคือ การเปรียบเทียบเทียบขนาดของแรงดันที่เข้าที่พุทของ DAC กับสัญญาณอนาลอกที่ไม่ทราบค่า V_{in} การทำงานจะเริ่มโดยสัญญาณ start conversion ลอจิกคอนโทรลจะรีเซ็ตเคาท์เตอร์ให้เป็นศูนย์แล้วเริ่มนับขึ้นจากศูนย์เข้าที่พุทของเคาท์เตอร์จะบ่อนำให้ DAC เพื่อแปลงเป็นสัญญาณอนาลอกลักษณะเป็นขั้นบันได นำมาเปรียบเทียบกับสัญญาณอนาลอกอินพุทที่คอมพาราเรเตอร์ โดยเคาท์เตอร์จะยังนับจนกระทั่งเข้าที่พุทเท่ากับสัญญาณอนาลอกอินพุทหรือต่างกันไม่เกิน 1 LSB แล้วคอมพาราเรเตอร์จะเปลี่ยนสถานะไปหยุดการนับของเคาท์เตอร์และ latch ค่าจากเคาท์เตอร์เพื่อรอการประมวลต่อไป และรอรับสัญญาณ start ใหม



รูปที่ 4.10 บล็อกไดอะแกรมของ counter type DAC



รูปที่ 4.11 timing diagram counter type DAC

วงจรนี้ไม่มีข้อเสียที่ทำงานได้ช้าเพราะการ Conversion แต่ละครั้งแค่ที่เคาเตอร์จะต้องถูกรีเซ็ตและเริ่มนับจากศูนย์ทุกครั้งดังนั้นในการ conversion เป็นดิจิทัล n บิตจะใช้จำนวน clock ถึง 2^n เพื่อเปลี่ยนให้ได้ค่าสูงสุดเต็มสเกล ส่วนข้อดีคือสร้างได้ง่ายรวดเร็วราคาถูก แต่ความแม่นยำขึ้นอยู่กับ DAC ที่ใช้

Tracking ADC,

Tracking ADC จะปรับปรุงวงจรแบบ counter type ทางด้านความเร็ว โดยใช้เคาเตอร์แบบนับขึ้นลงได้ไม่จำเป็นต้องเริ่มจากการนับจากศูนย์ทุกครั้ง แต่จะเริ่มนับจากค่าที่ได้ Latch ไว้จากการเปลี่ยนสัญญาณครั้งหลังสุด ดังนั้นส่วนควบคุมทางลอจิกจึงซับซ้อนมากกว่า โดยการทำงานจะเป็นดังนี้ ให้นำที่พหุ DAC จะถูกเปรียบเทียบกับสัญญาณอินพุต (V_{in}) หาก V_{in} มากกว่า ลักษณะลอจิกของคอมพารเตอ์จะควบคุมให้เคาเตอร์นับขึ้น แต่ถ้า V_{in} น้อยกว่า เคาน์เตอร์จะนับลงจนกว่าค่าหลังสุดของเคาน์เตอร์จะต่างจากสัญญาณแอนะล็อก อินพุตไม่

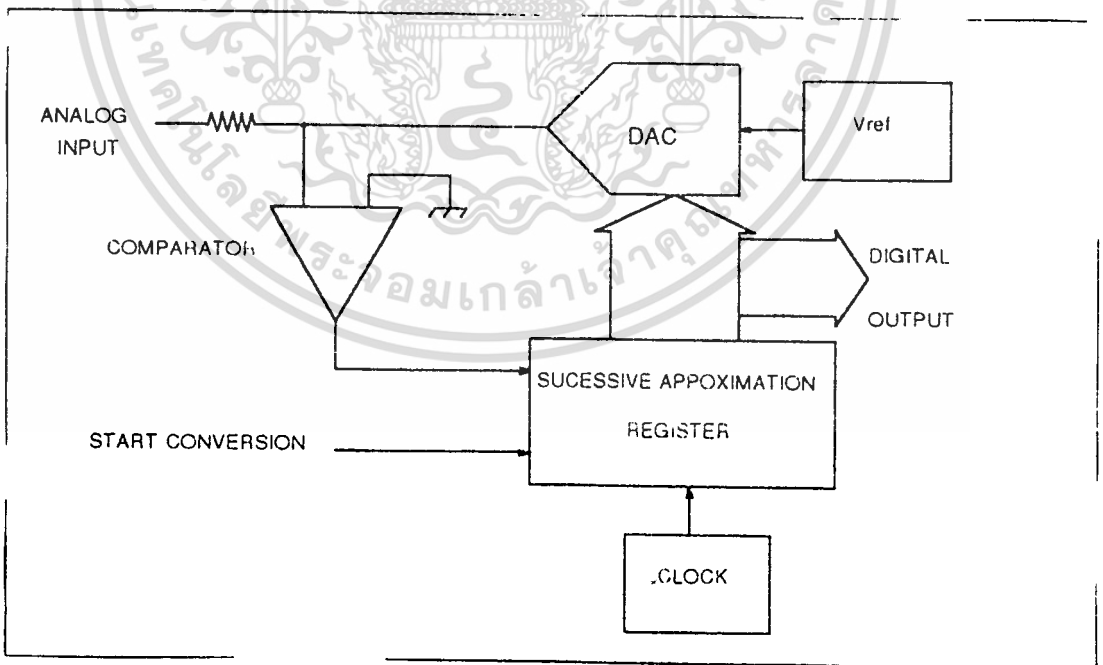
เกิน 1 LSB และค่าของคอน์เตอร์จะถูก latch ไว้จากนั้นคอน์เตอร์จะทำงานแบบติดตาม (track) สัญญาณอินพุตจนได้ค่าเท่ากันอีกก็จะ latch ค่าใหม่ไว้

จากลักษณะการทำงานดังกล่าว V_{in} จะต้องไม่เปลี่ยนแปลงเร็วกว่าการทำงานของคอน์เตอร์ มิฉะนั้นค่าเข้าที่พื้ที่ได้จะไม่สอดคล้องกับสัญญาณอินพุต ตัวอย่าง ในกรณีสัญญาณรูปซายน์ซึ่งเปลี่ยนแปลงขนาดได้มากที่สุดเท่ากับค่าเต็มสเกล อัตราการเปลี่ยนแปลงจะเท่ากับอัตรา การเปลี่ยนแปลงเข้าที่พื้ของคอน์เตอร์ คือ 1 LSB/clock period ดังนั้นถ้าต้องการให้ ADC ตามอินพุตได้จะต้องให้

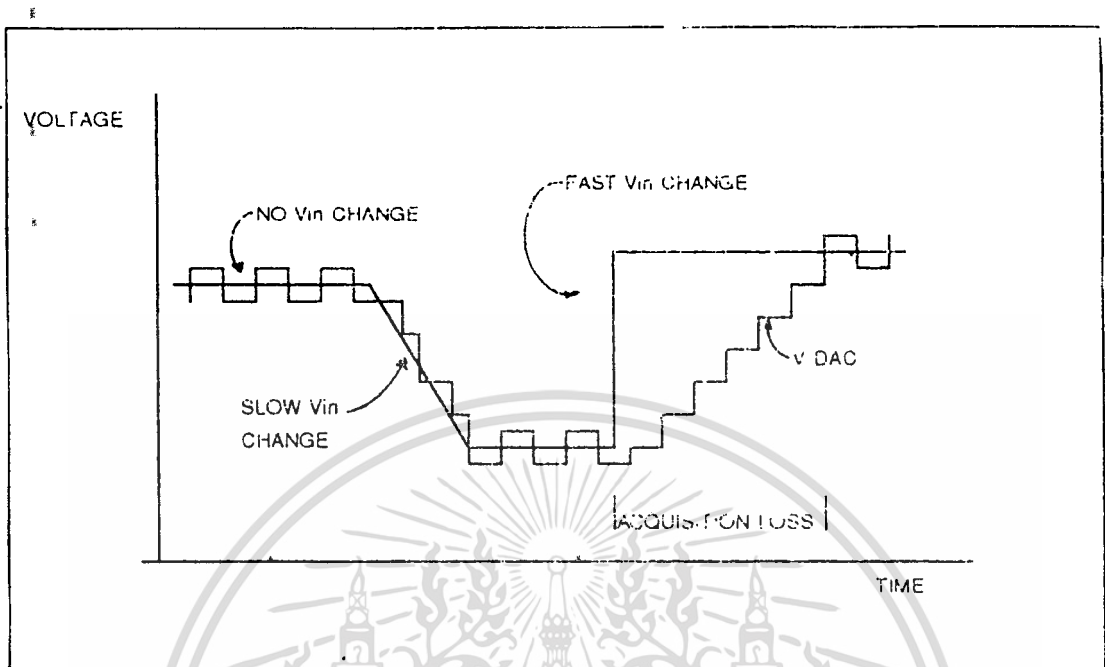
$$\frac{V_{FS} f_0}{2} < \frac{V_{FS} f_c}{2^n}$$

และ $f_0 < \frac{f_c}{2^n}$

f_c คือความถี่ของ clock



เอกสารนี้เป็นเอกสารที่สงวนลิขสิทธิ์ โดยสำนักงานคณะกรรมการกฤษฎีกา กระทรวงดิจิทัลเพื่อเศรษฐกิจและสังคม
 รูปที่ 4.12 บล็อกไดอะแกรมของวงจร tracking converter
 ไม่ว่ากรณีใดๆทั้งสิ้น อีกทั้งห้ามมิให้คัดแปลงเนื้อหา-82-ต้องอ้างอิงถึงเจ้าของเอกสารทุกครั้งที่มีการนำไปใช้

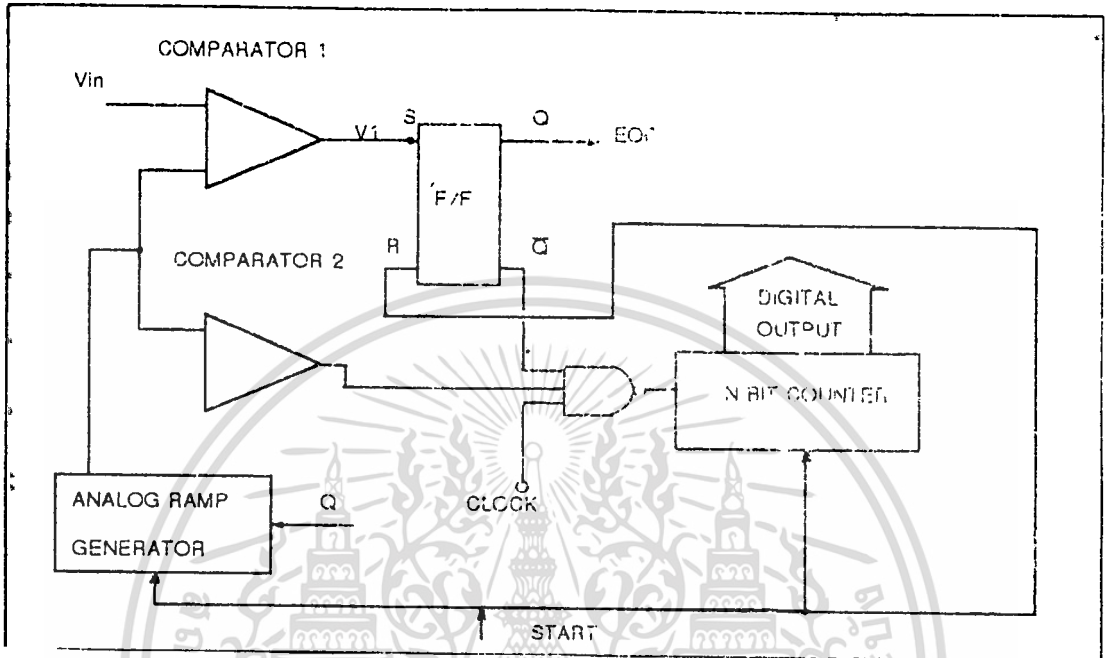


รูปที่ 4.13 Timing Diagram

Integrating ADC

หัวใจสำคัญของวงจร ADC ชนิดนี้คือวงจร integrator เทคนิคของ ADC แบบ Integration คือจะใช้สัญญาณ ramp ต่อเนื่องแทนสัญญาณขั้นบันไดจาก DAC ซึ่งแบ่งตามลักษณะการทำงานได้สองแบบ คือ Single Slope Converter และ Dual Slope Converter

1). Single Slope Converter



รูปที่ 4.14 Single slope converter

สัญญาณอนาลอกแบบ ramp จะใช้เป็นแรงดันอ้างอิงที่เพิ่มขึ้นอย่างคงที่จากค่าต่ำกว่า ศูนย์เล็กน้อยจนถึงค่าที่สูงสุดค่าเต็มสเกลเล็กน้อย ซึ่งเวลาที่จะใช้จากการสแกนของสัญญาณ ramp จากศูนย์ถึงค่าแรงดันอินพุทจะเป็นสัดส่วนกับแรงดันอินพุท

การ conversion จะเริ่มด้วยสัญญาณ start conversion ทำการรีเซ็ตโบนารีเคาน์เตอร์ และเริ่มสร้างสัญญาณ ramp จากแรงดันที่ต่ำกว่าศูนย์เวลาที่ เมื่อสัญญาณ ramp ผ่านศูนย์เวลาที่ เข้าที่พุทจากคอมพารเรเตอร์ 2 จะ high และเปิดเกตบสอยพัลส์เข้าสู่เคาน์เตอร์

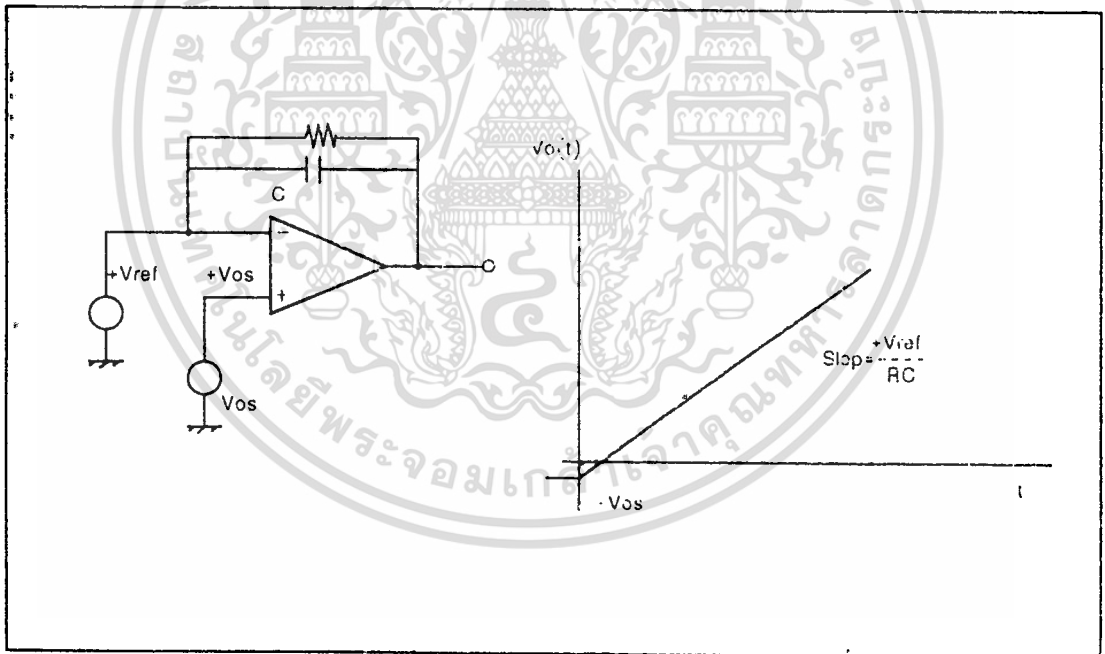
เคาน์เตอร์จะเริ่มนับจนกระทั่งสัญญาณ ramp มีขนาดเท่าแรงดันอนาลอก อินพุท V_{in} ในเวลานี้เข้าที่พุทจากคอมพารเรเตอร์ 1 จะ high และปิดเกตไม่ให้ clock เข้าสู่เคาน์เตอร์ จะเป็นสัดส่วนแรงดันกับอินพุท เนื่องจาก $V_R = KT$ โดย R เป็นสโลปของ ramp (ซึ่งคงที่)

ในหน่วยโวลท์/วินาที และ T เป็นจำนวนในการเคาน์เตอร์หารด้วย f_c ซึ่งเป็นความถี่สัญญาณ

clock ถ้าเลือกให้สโลปของ ramp เป็น $V_{FSR} f_c/2^n$ จำนวนที่เคาท์เตอร์นับได้จะเท่ากับ อัตราส่วนทางไบนารีหรือ V_{in}/V_{FSR}

เวลาในการเปลี่ยน T_c ของ ADC แบบนี้จะแปรเป็นสัดส่วนกับแรงดันที่อินพุต V_{in} เวลาที่ใช้ในการเปลี่ยนมากที่สุดเมื่อ $V_{in} = V_{FSR}$ คือ $T_{MAX} = 2^n/f_c$ และเช่นเดียวกับใน ADC แบบเคาท์เตอร์ ramp ค่าของรหัสเข้าที่พหุสุดท้ายจะต่างจากค่าของ V_{in} ไม่เกิน 0.5 LSB

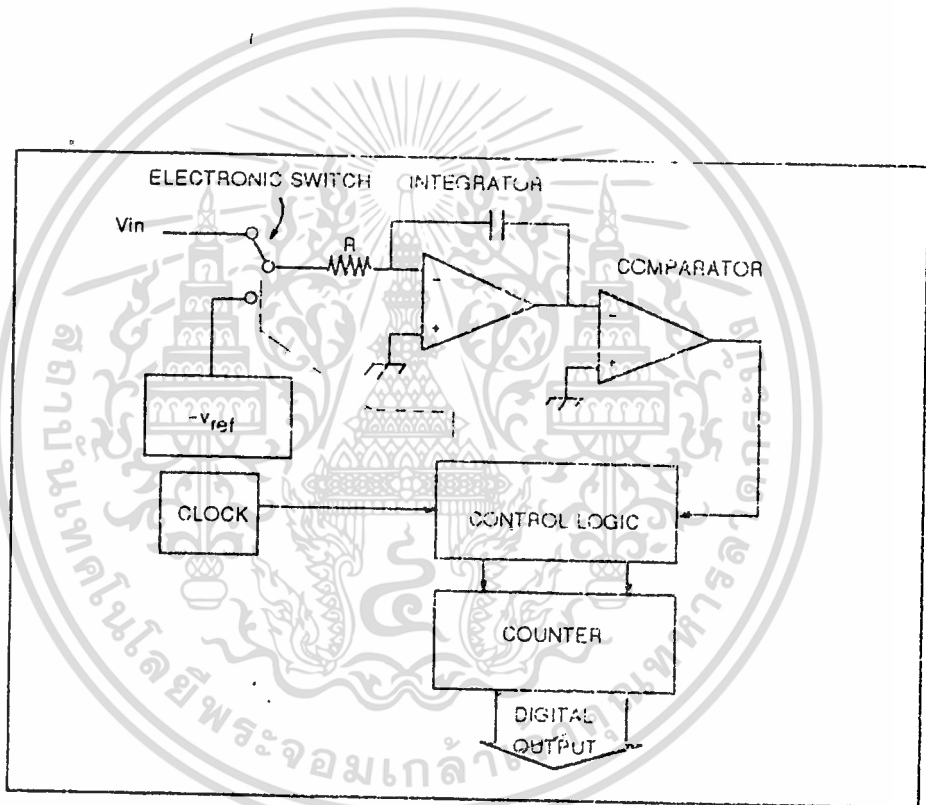
ในรูปที่ 4.15 แสดงวงจรกำเนิดแรงดัน ramp อย่างง่าย โดยการต่อแรงดันอ้างอิงกับ อินทิเกรเตอร์เมื่อสวิตช์เปิด C จะทำการประจุและเพิ่มขนาดแรงดันเข้าที่พหุ ข้อเสียประการหนึ่งคือหาใช้งานไปนานๆ การเปลี่ยนแปลงค่า RC ตามอุณหภูมิจะทำให้สโลปคลาดเคลื่อนด้วย .ADC ชนิดนี้ จึงไม่เป็นที่นิยมมาใช้นปัจจุบัน



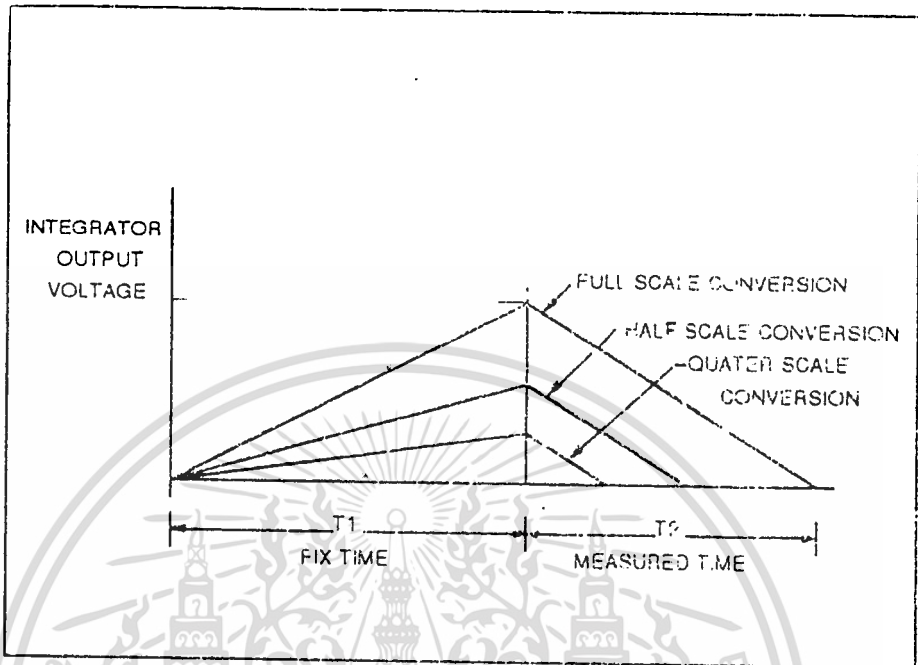
รูปที่ 4.15 วงจร Ramp voltage generator อย่างง่าย และลักษณะของเข้าที่พหุ

2). Dual Slope Converter

ADC แบบ dual slope ได้รับการพัฒนาขึ้นมาเพื่อแก้ไขจุดบกพร่องของ single slope ADC การจัดวงจรแสดงในรูปที่ 4.16 ในแต่ละวัฏจักรของการทำงานของวงจร จะมีสองช่วง คือ T_1 และ T_2 ในเวลา T_1 จะเป็นช่วงเวลาที่ได้รับการออกแบบให้มีค่าแน่นอนคงที่ ในช่วงเวลานี้สัญญาณอินพุตจะต่อเข้ากับอินทิเกรเตอร์ผ่านสวิตช์ S ซึ่งทำให้เอาต์พุตที่ถูกอินทิเกรต V_{int} เป็นรูปสัญญาณ ramp ที่ขนาดเพิ่มขึ้นทางบวกและสลับขึ้นอยู่กับขนาดของ V_{in} จนกระทั่ง V_{int} ถึงค่าค่าหนึ่งเมื่อสิ้นสุด T_1



รูปที่ 4.16 บล็อกไดอะแกรมของ Dual Slope ADC



รูปที่ 4.17 การทำงานของ Dual slope ADC

ในช่วงเวลา T_2 อินพุตจะถูกตัดออกจากอินทิเกรเตอร์และต่อกับแรงดันอ้างอิงซึ่งมีค่าเป็นลบเข้ากับอินพุตของอินทิเกรเตอร์ โดยการควบคุมทางลอจิกในลักษณะเช่นนี้จะทำให้ V_{int} ลดลงด้วยสโลปคงที่จากการคายประจุผ่านลง V_{ref} เมื่อเริ่มต้นเวลา T_2 เคาท์เตอร์จะรีเซ็ตและเริ่มนับ จนเมื่อ V_{int} มีค่าลดลงถึงศูนย์ คอมพารเตอรฺ์จะเปลี่ยนสถานะไปบอกส่วนควบคุมลอจิกให้หยุดนับ และเอาท์พุทของ เคาท์เตอร์จะถูกแปลงเป็นรหัสดิจิตอลความสัมพันธ์ระหว่างช่วงเวลากับแรงดันอินพุตจะเป็นไปตามสมการ

$$T_2 = T_1 \frac{V_{in}}{V_{ref}}$$

ดังนั้นรหัสดิจิตอลที่แสดงค่า T_2 จะแสดงค่าอัตราส่วนของแรงดันอินพุตต่อแรงดันอ้างอิงด้วย

คุณลักษณะสำคัญของ dual slope มีหลายประการคือประการแรกความแม่นยำของมัน

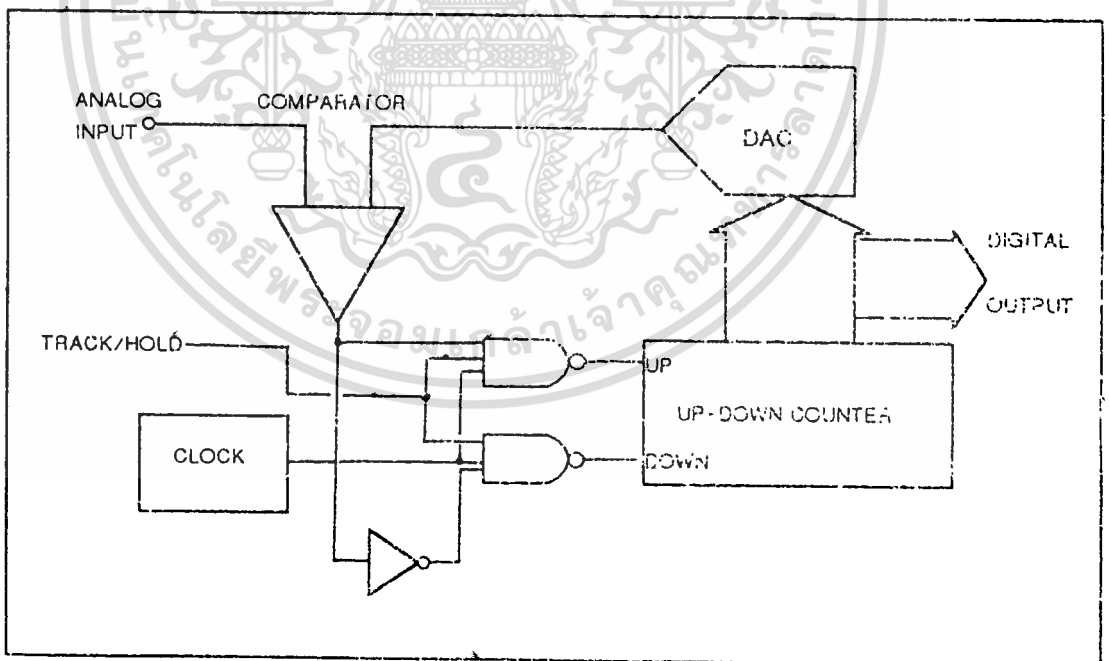
ไม่ขึ้นอยู่กับเสถียรภาพของสัญญาณ clock และตัวเก็บประจุ แต่จะขึ้นอยู่กับค่าความเที่ยงตรง

ของแรงดันอ้างอิงและความเป็นเชิงเส้นของอินทิเกรเตอร์ ประการที่สองการจํากัดสัญญาณรบกวนด้วยตัวเองของวงจรสามารถกระทำได้ ถ้าใช้ทำให้ T_1 มีขนาดเท่ากับคาบเวลาของสัญญาณรบกวน เช่น ในการจํากัดสัญญาณ 50 เฮิร์ต T_1 จะให้มีค่า 20ms

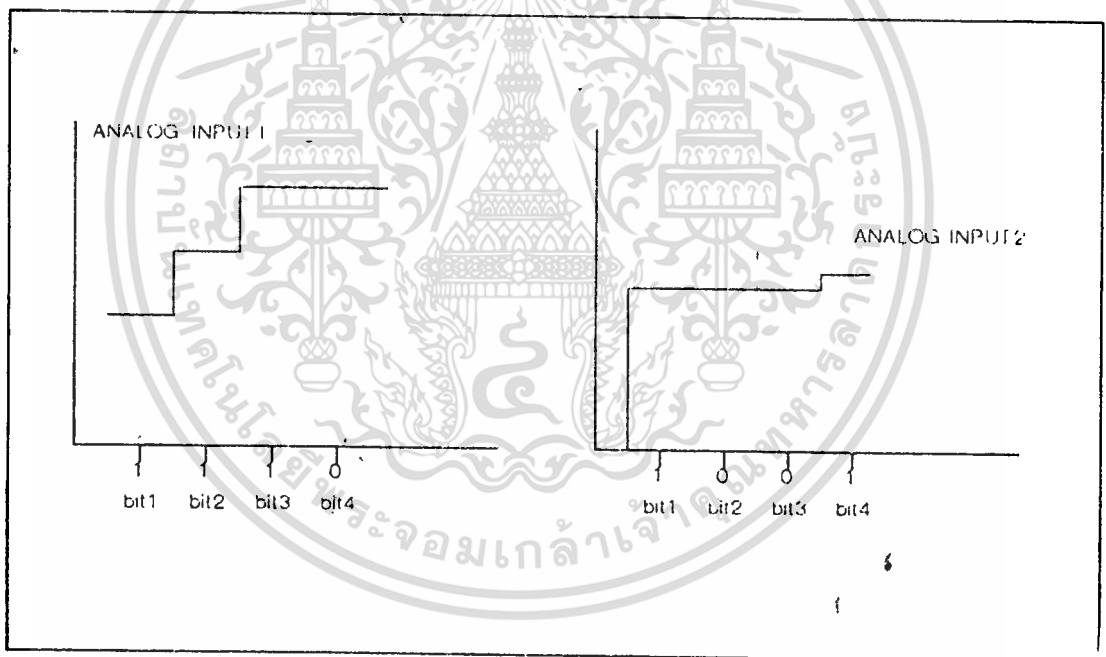
ส่วนข้อเสียที่สำคัญของ ADC นี้คือความเร็วในการ conversion ค่อนข้างต่ำจึงมักนิยมใช้กับเครื่องมือวัดที่ไม่ต้องการความเร็ว เช่น ดิจิตอลมิเตอร์ เป็นต้น

Successive Approximation ADC

วงจร ADC ชนิดนี้ได้รับความนิยมในงานประยุกต์ที่ต้องการความเร็วปานกลางและค่อนข้างสูง การจัดวงจรจะคล้ายกันกับแบบเคาน์เตอร์ ที่ทำงานในลักษณะการบ้อนกลับ ซึ่งบล็อกไดอะแกรมในรูปที่ 4.18 แสดงฟังก์ชันต่างๆ ใน ADC ชนิดนี้ คอมพารเตอร์จะคอยเปรียบเทียบเอาที่พุดจาก DAC กับอนาลอกอินพุต V_{in} เอาที่พุดจะไปควบคุม Successive Approximation register (SAR) ซึ่งเป็น ไอซี MSI (Medium Scale Integrated - circuit) ที่ได้รับการออกแบบเป็นพิเศษเพื่อทำหน้าที่นี้เฉพาะ



ในรูปที่ 4.19 แสดง Timing Diagram ของ ADC ที่มีระดับอนาล็อก 1 และ 2 ที่ระดับ 1 เมื่อ clock เข้าไป 1 ลูก จะทำให้ MSB (most significant bit) (บิต 4) เป็น 1 ทุกบิตอื่นยังคงเป็นศูนย์ DAC จะเปลี่ยนเอาที่พหุของ SAR เป็นอนาล็อกเปรียบเทียบกับสัญญาณอนาล็อกอินพุต ถ้าผลการเปรียบเทียบที่คอมพารเตอรืบอกว่าน้อยกว่าอินพุตก็ให้คงบิตนั้นเป็น 1 ไว้ แต่ถ้ามากกว่าจะให้บิตนั้นเป็น 0 จากนั้นทำการทดสอบบิตถัดไปโดยทำให้เป็น 1 หากผลรวมของสองบิตหรือบิตหลังมากกว่าก็ทำให้บิตนั้นเป็น 0 แต่ถ้าน้อยกว่าให้คง 1 ไว้ แล้วทดสอบบิตถัดไปตามกรรมวิธีดังกล่าวจนครบทุกบิตหรือจนกว่าเอาที่พหุจะต่างจาก V_{in} ไม่เกิน 1 LSB ในตัวอย่างแสดงการทำงานเมื่อ V_{in} ลดต่ำลงมาอีกระดับหนึ่งด้วยเช่นกัน



รูปที่ 4.19 timing Diagram ของ SAR

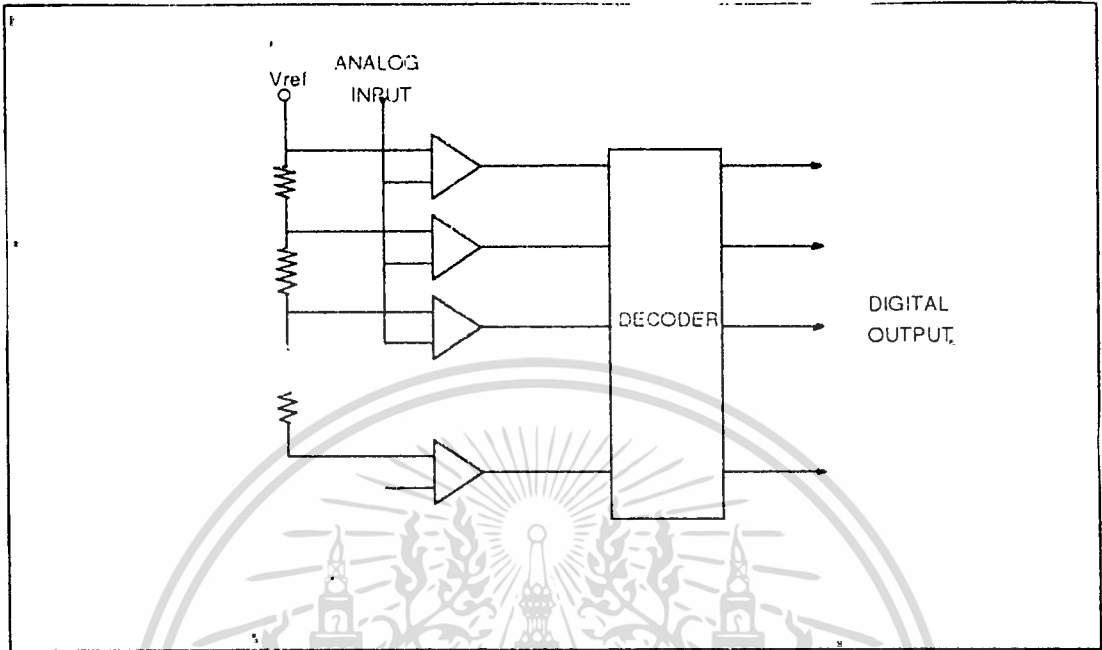
มีข้อจำกัดประการหนึ่งสำหรับการ conversion คือสัญญาณอนาล็อกอินพุต จะต้องคงที่ในช่วงเวลาที่ทำการเปลี่ยนแปลงสัญญาณโดยเปลี่ยนได้ไม่เกิน $1/2$ LBS ในช่วงสุดท้ายของการเปลี่ยนสัญญาณดิจิทัล เฝ้าที่พหุจะออกมาขนาดกันทุกบิต แต่บางแบบจะให้เฝ้าที่พหุออกมาในลักษณะอนุกรม

วงจร ADC แบบนี้สามารถทำงานได้สองโหมด คือโหมดที่ทำงานโดยอิสระ (Free run) และโหมดที่รอคำสั่ง start conversion จากภายนอกเวลาที่ใช้ในการเปลี่ยนสัญญาณ (n+1) ลูกของพัลส์ clock ลูกแรกจะใช้ในการรีเซ็ตรีจิสเตอร์ภายใน

สุดท้าย คุณภาพของระบบจะขึ้นอยู่กับคุณภาพของ DAC ในระบบเป็นอย่างยิ่ง

Parallel (Flash) ADC

สำหรับการแปลงสัญญาณที่ต้องการความเร็วสูงมากๆ เช่นการแปลงสัญญาณภาพโทรทัศน์ เรดาร์ จำเป็นต้องใช้ ADC แบบพิเศษ ที่เรียกว่า Parallel ADC ซึ่งแสดงบล็อกไดอะแกรม ดังรูปที่ 4.20 หลักการทำงานคือ จะใช้คอมพาราเรเตอร์ ทำการเปรียบเทียบสัญญาณอนาล็อกอินพุตกับแรงดันอ้างอิงที่แบ่งแรงดันให้สอดคล้องกับรหัสดิจิทัล โดยใช้ตัวต้านทานแล้วแปลงเฝ้าพหุจากคอมพาราเรเตอร์ให้ตรงกับรหัสดิจิทัล ซึ่งจะเห็นว่าอุปสรรคทางด้านความเร็วจะถูกจำกัดเพียง Propagation time ของ คอมพาราเรเตอร์เท่านั้น แต่อุปสรรคที่สำคัญต่อการพัฒนาวงจรชนิดนี้บนชิปไอซี คือ วงจรนี้ต้องการคอมพาราเรเตอร์ถึง $2^n - 1$ ตัว สำหรับ ADC 1 ตัว แต่ก็ได้ ADC ชนิดที่ทำงานได้รวดเร็วที่สุดเช่นเดียวกัน



รูปที่ 4.20 บล็อกไดอะแกรมของ Flash ADC

ADC Chip

จากความก้าวหน้าทางเทคโนโลยีสารกึ่งตัวนำและความต้องการระบบ Data acquisition ที่มีขนาดเล็กและกินกำลังงานต่ำจึงมีการนำเอาองค์ประกอบของระบบหลายๆ ส่วนมาลงไว้บนชิปเดียว การเลือกใช้ชิป ADC สำหรับงานประยุกต์ต่างๆ ไปจึงมักแค่เพียงพิจารณาถึง resolution ว่าต้องการกี่บิต ความเร็วของการแปลง conversion time ขนาดแรงงานอินพุตและไฟเลี้ยง การออกแบบระบบที่ใช้ ชิป ADC จะขึ้นอยู่กับเลือกโหมดและใช้ Timing diagram ที่ผู้ผลิตเสนอให้มาในคู่มือการใช้งาน

ตัวอย่างชิป ADC ที่นิยมนำมาใช้งาน ได้แก่ ADC0804 [2] ซึ่งเป็น CMOS 8 บิต Successive approximation ADC ราคาประหยัดที่มีวงจรถ่ายเก็บสัญญาณอนาล็อกในตัว (internal clock) ควบคุมการทำงานได้ด้วยการเปลี่ยนค่า RC ภายนอกมีวงจรถ่ายเก็บสัญญาณอนาล็อกในตัว (interface) กับระบบไมโครโปรเซสเซอร์ 8 บิต ได้โดยง่าย

รูปที่ 4.20 แสดงรายละเอียดของ ADC 0804 timing diagrams และบล็อกไดอะแกรม ส่วนรายละเอียดอื่นๆ และการประยุกต์อยู่ในภาคผนวกของโครงการนี้

เอกสารนี้เป็นเอกสารลิขสิทธิ์ของโรงเรียนเพื่อใช้เพื่อการศึกษาเท่านั้น ไม่อนุญาตให้นำไปใช้ประโยชน์ด้านการค้า

บทที่ 5

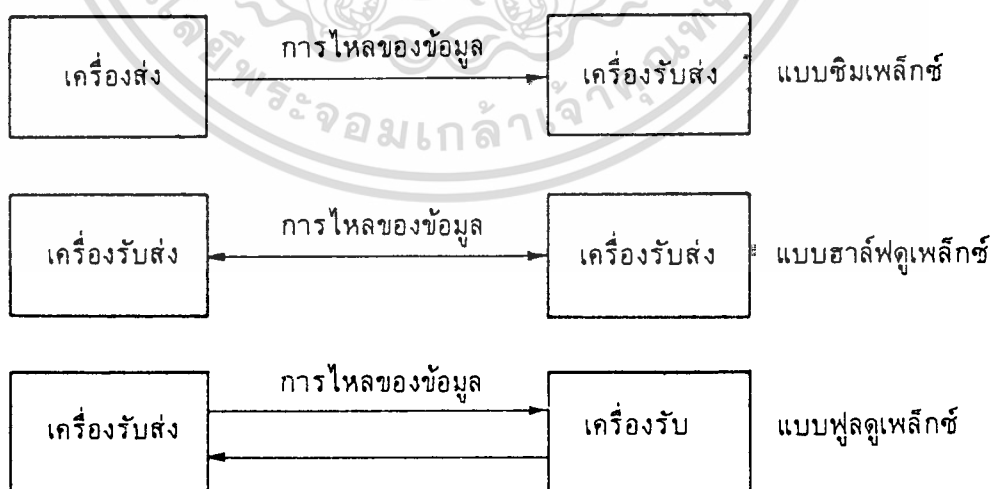
การรับ-ส่ง ข้อมูลแบบอนุกรม แบบ RS 232C

ในการศึกษาโครงงานระบบแสดงคลื่นไฟฟ้าหัวใจบนไมโครคอมพิวเตอร์ (Micro Computer Based EKG Monitor) ให้ใช้การสื่อสารรับ-ส่ง ข้อมูลแบบอนุกรมซึ่งมีรูปแบบดังต่อไปนี้

รูปแบบของการติดต่อสื่อสารระบบอนุกรม

การติดต่อแบบอนุกรมอาจจะแบ่งตามรูปลักษณะได้ 3 แบบ ตามรูปที่ 5.1

1. แบบซิมเพล็กซ์ (simplex) ข้อมูลส่งได้ในทางเดียวเท่านั้น บางครั้งก็เรียกว่า การส่งทิศทางเดียว (Unidirectional data bus)
2. แบบฮาล์ฟดูเพล็กซ์ (half duplex) ข้อมูลสามารถส่งได้ทั้งสองสถานี แต่จะต้องผลัดกันส่งและผลัดกันรับ จะส่งและรับพร้อมกันไม่ได้
3. แบบฟูลดูเพล็กซ์ (full duplex) ทั้งสองสถานีสามารถรับและส่งได้ในเวลาเดียวกัน



การส่งแบบพหุคู่เหล็กและฮาส์พหุคู่เหล็ก ไม่ขึ้นอยู่กับจำนวนของสายในการติดต่อ บางครั้งคำว่า ทูไวร์ (two wire) หรือสองเส้น และโฟร์ไวร์ (four wire) หรือ 4 เส้น ใช้ในการบรรยายถึงลักษณะการสื่อสารข้อมูลซึ่งอาจจะทำให้เข้าใจและฮาส์พหุคู่เหล็ก สายโทรศัพท์ทั่วไปเป็นแบบ 2 เส้น ส่วนสายที่เป็นแบบเช่า (lease line) นั้นส่วนมากจะเป็น 4 เส้น

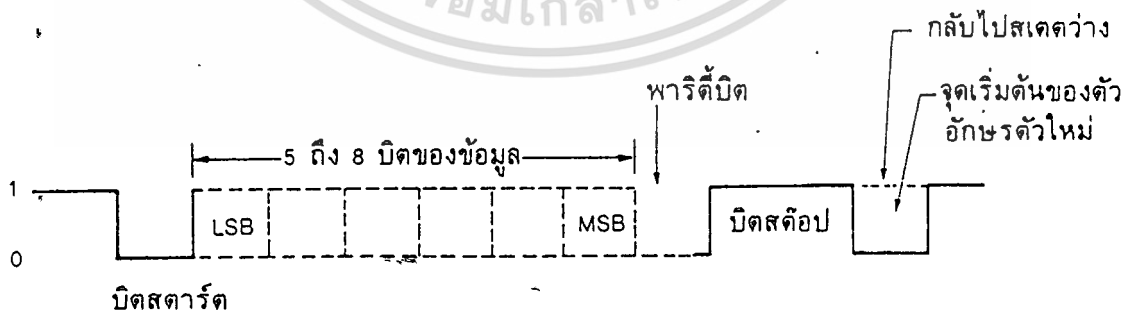
ความเร็วในการถ่ายโอนข้อมูลแบบอนุกรม

ความเร็วของการถ่ายโอนข้อมูลแบบอนุกรม หน่วยวัดเป็นบิตต่อวินาที (bps) หน่วยที่บรรยายถึงการเปลี่ยนแปลงของสัญญาณ 1 วินาที เรียกว่าบอดเรต (baud rate) หรือ อัตราบอด หลายคนยังเข้าใจสับสนระหว่างอัตราบอดและอัตราบิต (bit rate) การเปลี่ยนแปลงของสัญญาณ 1 ครั้ง อาจจะแสดงถึงการส่งข้อมูลแบบอนุกรมมากกว่า 1 บิต ถ้าเขียนในรูปของสมการทางคณิตศาสตร์เราก็จะได้

$$\text{อัตราบิต (bit rate)} = \text{อัตราบอด (baud rate)} \times (\text{บิตใน 1 บอด})$$

การสื่อสารแบบอะซิงโครนัส

การส่งแบบอะซิงโครนัสนี้ พัฒนามาจากการส่ง โทรพิมพ์ในสมัยก่อน ลักษณะของสัญญาณแสดงไว้ในรูปที่ 5.2 เพื่อเพิ่มกลไกในการรับส่งอย่างถูกต้อง สัญญาณอะซิงโครนัส จะประกอบด้วยบิตเริ่มต้นหรือบิตสตาร์ท (start) และบิตสิ้นสุดหรือบิตสต็อป (stop bit)



รูปที่ 5.2 พอร์มตการสื่อสารแบบอะซิงโครนัส

ขณะที่สถานะของการส่งเป็นแบบว่าง (Idle) คือ ยังไม่มีสัญญาณส่งออก มา จะมีสัญญาณหรือมีแรงดัน (หรือกระแส) ตลอดเวลา เพื่อความแน่ใจว่าฝ่ายรับยังติดต่อกับฝ่ายส่ง เมื่อเริ่มจะส่งข้อมูล สัญญาณของอะซิงโครนัสจะเป็น 0 หนึ่งช่วงสัญญาณนาฬิกา บิตนี้เรียกว่า สาร์ทบิต ตามหลังของสตาร์ทบิตก็จะเป็นข้อมูลสำหรับ 1 ตัวอักษร ซึ่งอาจจะมีความถี่ตั้งแต่ 5 บิต จนถึง 8 บิต โดยบิตที่มีค่าน้อยที่สุด (LSB) จะถูกส่งออกมาก่อนไล่ไปจนถึงบิตที่มีค่ามากที่สุด (MSB) การเข้ารหัสอักขระนี้ส่วนมากจะนิยมใช้รหัส ASCII แรกเริ่มทีเดียวในงานของโทรพิมพ์เขาใช้รหัส Baudot ซึ่งใช้ 5 บิต ในการแทนอักขระ 1 ตัว ตามหลังข้อมูลก็จะเป็นพาริตีบิต ซึ่งอาจจะใช้หรือไม่ใช้ก็ได้ พาริตีบิตทำหน้าที่เป็น ตัวตรวจสอบความถูกต้องของสัญญาณที่ได้รับ พาริตีบิตอาจจะแบบคู่ (Even) หรือแบบคี่ (Odd) หมายความว่า ถ้าหากเป็นพาริตีคี่ จำนวนบิตที่เป็น 1 ในช่วงบิตข้อมูลกับบิตพาริตีรวมแล้วจะต้องเป็นจำนวนคู่ ผู้ส่งจะต้องทำหน้าที่ตรวจสอบข้อมูลแล้วใส่พาริตีบิตเอง ฝ่ายรับเมื่อรับแล้วก็ต้องตรวจสอบดูว่าเป็นจริงดังสถานการณ์ที่ตั้งเอาไว้หรือไม่ หากผิดพลาดก็หมายความว่าสัญญาณที่รับผิดพลาดไปจากสถานะที่ส่งส่งออก มา ทั้งนี้ทั้งนั้นจะต้องคิดเป็นจำนวนคี่เท่านั้นคือคิดไป 1 บิต 3 บิต หรือ 5 บิต พร้อมกันจึงจะตรวจสอบได้ว่าผิด มองเห็นง่ายๆ ว่าถ้าคิดเป็นจำนวนคู่ ผลรวมของจำนวนหนึ่งก็ยิ่ง เป็นคู่อยู่ดีทั้งนี้ทั้งนั้นไม่ได้หมายความว่าพาริตีคี่ (Odd Parity) จะตรวจสอบการผิดพลาดเป็นจำนวนคี่ความจริงแล้วตรวจสอบความผิดพลาดได้เหมือนกับพาริตีคู่ (Even Parity) แต่แทนที่จะตรวจสอบดูว่าสัญญาณที่รับเข้ามามีจำนวนคู่ ก็ตรวจสอบดูว่ามีจำนวนคี่หรือเปล่าอย่างไรก็ตามโอกาสที่จะผิดพลาด 2 บิตพร้อมกันมีน้อยมาก

ย้อนกลับมาดูสัญญาณอะซิงโครนัสใหม่ หลังจากบิตพาริตีแล้วก็ต้องมีสตอปบิต ซึ่งเป็น 1 ความกว้างของสตอปบิตอาจจะ เป็น 1, 1.5 หรือ 2 พัลส์ของสัญญาณนาฬิกา แล้วแต่ผู้รับและผู้ส่งจะตกลงใช้กันเอง การเริ่มใช้พอร์ตอนุกรม (ทางออกอนุกรม) จึงจำเป็นต้องตั้งค่าต่างต่าง สำหรับเป็นการส่งแบบอนุกรมอันได้แก่

1. ความเร็วในการส่ง
2. ความยาวรหัส 1 อักขระ
3. บิตตรวจสอบ
4. จำนวนสตอปบิต

ในการส่งโทรพิมพ์ หรือโทรเลขเมื่อก่อนนี้ใช้ความเร็ว แค่ 70 บอด และ 110 บอด สำหรับคอมพิวเตอร์ความเร็วในการส่งมีให้เลือกตั้งแต่ 110, 200, 300, 1200, 2400, 4800, 9600 บอด และสูงไปกว่านั้น เนื่องจากมี IC หลายเบอร์ทำหน้าที่รับส่งแบบอะซิงโครนัสให้ ใช้ การส่งแบบอนุกรมจึงสะดวกสบายสำหรับคนออกแบบพอร์ตอนุกรม สำหรับมาตรฐาน พอร์ตอนุกรมจะกล่าวถึงในบทที่ 3

จะเห็นว่ากลไกในการซิงโครนัสของการสื่อสารอะซิงโครนัส มีลักษณะเป็นไปทีละตัวอักษร จำนวนพัลส์ของสัญญาณที่ส่งออกยังมีบางส่วนใช้ในการควบคุมการส่งอยู่อันได้แก่ บิท สตาร์ท บิทสตอป และบิทพาริตี ทำให้ความเร็วการส่งอักขระต่อวินาทีน้อยลงไป การส่ง สัญญาณด้วยความเร็ว 300 บอด สำหรับการเข้ารหัส 7 บิท ไม่ได้หมายความว่าส่งได้ 300 ทหารด้วย 7 อักขระต่อวินาที

ฮาร์ดแวร์ที่เกี่ยวข้องกับการสื่อสารข้อมูล

พอร์ต RS 232C

โดยปกติไมโครคอมพิวเตอร์จะมีพอร์ตที่เป็นแบบอนุกรม เรียกชื่อกันว่า RS 232C อยู่ในตัวเองอยู่แล้ว หลายเครื่องไม่มีมากับเครื่อง อย่างเช่น IBM PC จำเป็นจะต้องมีการ์ดที่ เรียกว่าอะซิงโครนัสอะแดปเตอร์ (Asynchronous Communication Adapter) มา เสียบใส่

พอร์ต RS 232C นี้ทำหน้าที่รับและส่งข้อมูลในแบบอนุกรมเรียกว่า Universal Asynchronous Adapter เหตุที่มีชื่อเรียกว่า RS 232C ก็เนื่องจากสมาคมผู้ผลิตอุปกรณ์อิเล็กทรอนิกส์ของอเมริกาหรือ EIA ได้กำหนดมาตรฐานของอุปกรณ์การสื่อสารแบบอนุกรมเอาไว้ ภายใต้อีกชื่อว่า RS 232C ความจริงมาตรฐานของการส่งข้อมูลแบบอนุกรมมีหลายมาตรฐาน แต่ ที่นิยมกันมากที่สุดสำหรับไมโครคอมพิวเตอร์ก็คือ RS 232C

หน้าที่สำคัญของการสื่อสารแบบอะซิงโครนัสก็คือ

รับสัญญาณ

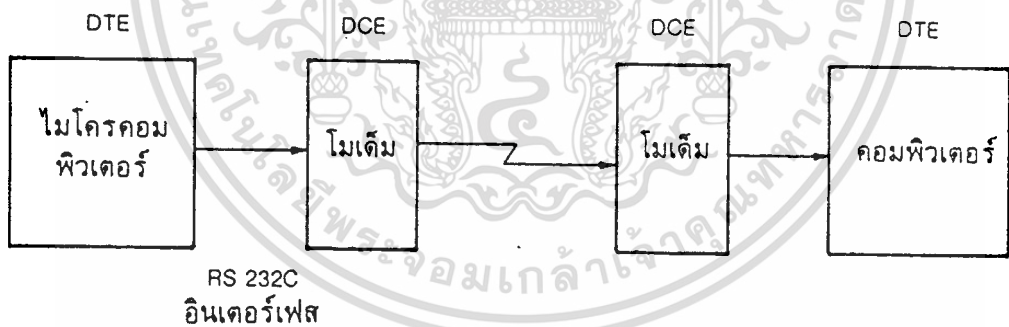
1. เปลี่ยนสัญญาณเข้ามาแบบอนุกรมมาเป็นแบบขนาน
2. ตรวจสอบความผิดพลาดของสัญญาณที่รับ
3. คัดลสตอปบิทและพาริตีบิทออก
4. ส่งสัญญาณให้ซีพียูว่ารับสัญญาณไว้แล้ว

ส่งสัญญาณ

1. เปลี่ยนสัญญาณแบบขนานจากซีพียูค่อยทยอยส่งออกเป็นแบบอนุกรม
2. เพิ่มสวิตช์ออปติคและพาริตี
3. เพิ่มสัญญาณควบคุมโมเด็มที่ต่อเชื่อม (ถ้ามี)

มาตรฐาน RS 232C

มาตรฐาน RS 232C ได้จัดพิมพ์ขึ้นเมื่อปี ค.ศ. 1969 โดยสมาคมผู้ผลิตอุปกรณ์อิเล็กทรอนิกส์แห่งสหรัฐอเมริกา RS ย่อมาจาก Recommended Standard ส่วน 232 เป็นหมายเลขบ่งบอกของมาตรฐานตัวนี้ C เป็นหมายเลขของฉบับท้ายสุดของมาตรฐานตัวนี้ จุดประสงค์ของมาตรฐานตัวนี้เพื่อบรรยายคุณลักษณะของการเชื่อมต่ออุปกรณ์รับส่งข้อมูลปลายทาง (Data Terminal Equipment DTE) กับอุปกรณ์สื่อสารข้อมูล (Data Communication Equipment DCE) สำหรับผู้ใช้ไมโครคอมพิวเตอร์ DTE ก็หมายถึงตัวไมโครคอมพิวเตอร์ และ DCE ก็หมายถึงโมเด็ม อุปกรณ์อื่นๆ เช่น เครื่องพิมพ์ที่รับสัญญาณแบบอนุกรม อาจจะเป็นได้ทั้ง DTE



รูปที่ 5.3 การใช้ RS 232C เชื่อมต่ออุปกรณ์

และ DCE ขึ้นอยู่กับผู้ผลิต ข้อแตกต่างของ DTE และ DCE จะเห็นได้จาก รูปที่ 5.3 จากรูปนี้เราจะเห็นได้ว่า RS 232C มีส่วนสำคัญอย่างใหญ่หลวงสำหรับการสื่อสารข้อมูลระหว่างไมโครคอมพิวเตอร์

ความจริงอีกประการหนึ่งของ RS 232C ก็คือ ความเร็วและระยะทางการเชื่อมต่อ RS 232C สามารถเชื่อมต่อการถ่ายโอนข้อมูลได้จาก 0-20,000 บิต ต่อวินาที ซึ่ง

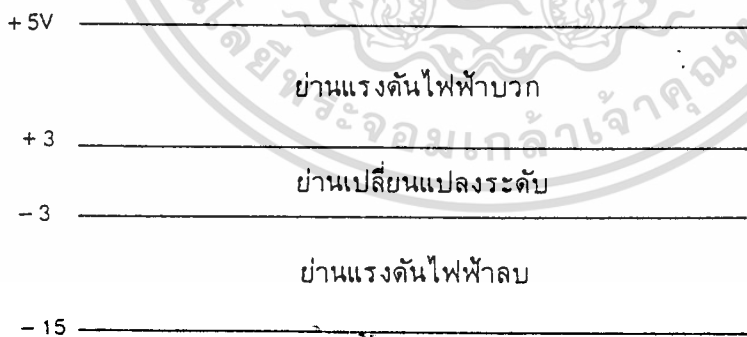
เพียงพอสำหรับไมโครคอมพิวเตอร์ที่มีขนาดอัตราบอด 110 ถึง 9600 บอด ความยาวของสายเชื่อมต่อสัญญาณตามมาตรฐานของ RS 232C จำกัดอยู่แค่ 50 ฟุต ซึ่งเพียงพอสำหรับการสื่อสารไมโครคอมพิวเตอร์กับอุปกรณ์รอบนอก

ลักษณะของสัญญาณ RS 232C

เพื่อเป็นหลักประกันว่าข้อมูลถูกส่งออกไปอย่างถูกต้อง และอุปกรณ์ถูกควบคุมอย่างถูกต้อง จำเป็นจะต้องมีข้อตกลงกันในเรื่องของสัญญาณที่ใช้ มาตรฐาน RS 232C กำหนดย่านของแรงดันไฟฟ้าในสัญญาณเพื่อสนองจุดประสงค์ข้างบน ดังแสดงในตารางที่ 5.1 และรูป 5.4

ตารางที่ 5.1

มาตรฐานของการใช้แรงดันไฟฟ้า			
แรงดันไฟฟ้า	สถานภาพลอจิก	สถานภาพของสัญญาณ	ฟังก์ชันในการควบคุม
บวก	0	สเปซ	ออน
ลบ	2	มาร์ค	ออฟ

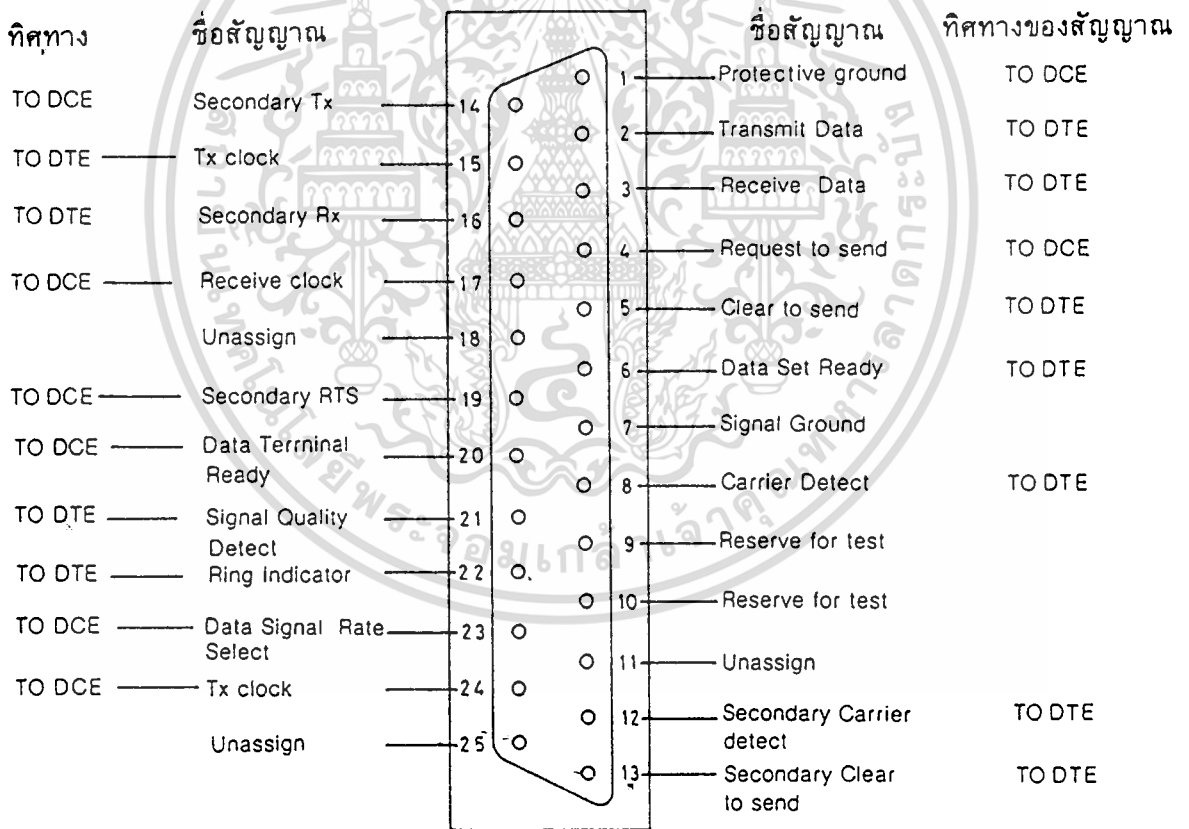


รูปที่ 5.4 ย่านของแรงดันไฟฟ้าที่ใช้ในสัญญาณ RS 232C

สำหรับไมโครคอมพิวเตอร์บางเครื่อง ใช้แต่สัญญาณลอจิกออกมาเป็นสัญญาณของ RS - 232C เลย อย่างเช่น อะซิงโครนัสอะแคบเตอร์ของ IBM PC ในกรณีเช่นนี้ระยะทางของสายที่เชื่อมต่ออาจจะไปได้สั้นกว่า 50 ฟุต ดังที่กล่าวเอาไว้เนื่องจากระดับของกราวด์เปลี่ยนแปลงไป อันเนื่องจากการสูญเสียไปในความต้านทานของสาย ผู้ที่เคยใช้ IBM PC อาจจะเคยประสบกับปัญหาขึ้นมาแล้วว่า เอ๊ะทำไมต่อสัญญาณ RS 232C เกินกว่า 10 ฟุต แล้วยังใช้งานไม่ได้ แต่อย่างไรก็ตาม RS 232C ของ IBM PC ยังมีโอกาสให้เลือกใช้ 20 มิลลิแอม-แปร์ กระแสวนกลับแทนแรงดันไฟฟ้า (20 mA loop จะกล่าวในหัวข้อถัดไป)

การกำหนดขั้วต่อของ RS 232C

ในทางฟิลิกส์แล้ว มาตรฐานของ RS 232C กำหนดขั้วต่อแบบ DB-25 แต่ละขาของขั้วต่อกำหนดไว้ดังรูปที่ 5.5 อย่างไรก็ตามผู้ผลิตไมโครคอมพิวเตอร์



DTE = Data terminal Equipment

DCE = Data Communication Equipment (Modem)

รูปที่ 5.5 การกำหนดของขั้วต่อ RS 232

เอกสารนี้เป็นเอกสารที่สงวนไว้สำหรับใช้ภายในเท่านั้น ไม่อนุญาตให้ให้นำไปใช้ประโยชน์ด้านการค้า
ไม่ว่ากรณีใดๆทั้งสิ้น อีกทั้งห้ามมิให้ดัดแปลงเนื้อหา -98- ต้องอ้างอิงถึงเจ้าของเอกสารทุกครั้งที่มีการนำไปใช้

อาจจะใช้ข้อต่อชนิดอื่น ที่นอกเหนือไปจาก DB-25 ยกตัวอย่าง เช่น Fujitsu F-8 IBM AT, IBM Jr เป็นต้น ตัวเมียของข้อต่อควรอยู่ที่ตัวโมเด็ม ขณะที่ตัวผู้ควรอยู่ที่ asynchronous communication adapter หรือที่ตัวไมโครคอมพิวเตอร์เอง อย่างไรก็ตามก็ ตามผู้ผลิตหลายรายไม่ได้ทำตามกฎเกณฑ์ที่ว่านี้

สัญญาณต่างๆ ถูกมอบหมายให้ทำหน้าที่ดังนี้

Transmit Data (TD ขาที่ 2)

เป็นสัญญาณที่ส่งออกจาก DTE (หรือตัวไมโครคอมพิวเตอร์) ไปยังโมเด็ม หรือต่อเข้าโดยตรงกับไมโครคอมพิวเตอร์ตัวอื่น หรือเครื่องพิมพ์ เมื่อไม่มีสัญญาณส่งออกสถานะภาพของ ลอจิกที่ขาี้จะมีค่าเท่ากับ "1" หรือเทียบเท่ากับสตีอปปิท

Receive Data (RD ขาที่ 3)

เป็นทางของสัญญาณเข้าไปยัง DTE หรือไมโครคอมพิวเตอร์ เมื่อไม่มีสัญญาณรับเข้ามา ขาี้จะมีสถานะภาพทางลอจิก เป็น "1"

Request To Send (RTS ขาที่ 4)

ใช้สำหรับส่งสัญญาณไปยังโมเด็ม หรือเครื่องพิมพ์เป็นการเรียกร้องที่จะส่งสัญญาณมา ทางขา 2 สัญญาณนี้ใช้คู่กับ CTS หรือ Clear to send อุปกรณ์รับหากได้รับสัญญาณ RTS จะตรวจสอบตัวเองว่าพร้อมจะรับสัญญาณได้หรือยัง หากพร้อมที่จะรับก็ส่งสัญญาณออกไปที่สาย 'CTS

Clear To Send (CTS ขาที่ 5)

ตั้งอธิบายไว้ใน RTS เมื่อสัญญาณนี้อยู่ในสถานะออฟ(negative voltage หรือลอจิก "1") หมายความว่า อุปกรณ์รับกำลังบอกว่าพร้อมที่จะรับข้อมูลแล้ว

Data Set Ready (DSR ขาที่ 6)

เมื่อมีสัญญาณสายนี้อยู่ในสถานะออน (หรือลอจิก 0) เป็นการบอกไมโครคอมพิวเตอร์ หรือฝ่ายส่งว่า โมเด็มต่อกับสายโทรศัพท์เรียบร้อยแล้วและพร้อมที่จะส่งได้แล้ว โมเด็ม ที่มีการหมุนหมายเลขอัตโนมัติจะส่งสัญญาณสายนี้ไปบอกให้ คอมพิวเตอร์รู้ว่าต่อโทรศัพท์ได้ สำเร็จแล้ว

Signal Ground (SG ขาที่ 7)

SG ทำหน้าที่เป็นระดับแรงดันอ้างอิงสำหรับทุกขา สายของสัญญาณ จะมีแรงดันเป็น "0"

เอกสารนี้เป็นเอกสารของสำนักงานปลัดเลขาธิการสำนักงานคณะกรรมการการอุดมศึกษาเพื่อการศึกษาเท่านั้น ไม่อนุญาตให้นำไปใช้ประโยชน์ด้านการค้า
ไม่ว่ากรณีใดๆทั้งสิ้น อีกทั้งห้ามมิให้ตัดแปลงเนื้อหา และต้องอ้างอิงถึงเจ้าของเอกสารทุกครั้งที่มีการนำไปใช้

Carrier Detect (CD ขาที่ 8)

โมเด็มจะส่งสัญญาณที่อยู่ในสถานะออน (ลอจิก "0") ไปบอกไมโครคอมพิวเตอร์ เมื่อได้รับสัญญาณจากโมเด็มของอีกฝ่ายหนึ่ง สัญญาณนี้จะนำไปจุด LED บอกว่าได้รับสัญญาณจากโมเด็มอีกฝ่ายหนึ่งแล้ว ไป LED จะอยู่บนหน้าปัดของโมเด็มเอง

Data Terminal Ready (DTR ขาที่ 20)

คอมพิวเตอร์เปิดสัญญาณสายนี้ให้ออน (ลอจิก "0") เมื่อพร้อมที่จะติดต่อกับโมเด็ม โมเด็มส่วนมากจะไม่รายงานสถานะภาพของตัวเอง (CD,USR และ CTS) ให้คอมพิวเตอร์รู้ หากคอมพิวเตอร์ไม่เปิดสัญญาณ DTR

Ring Indicator (RI ขาที่ 22)

สัญญาณนี้ใช้ในโมเด็มที่เป็นระบบตอบโต้อัตโนมัติ (Auto-answer) สัญญาณนี้จะออนเมื่อมีสัญญาณกระดิ่งมา และออประหว่างเสียงดังของกระดิ่ง

ท่านผู้อ่าน อาจสับสนระหว่างสถานะภาพของลอจิกกับสถานะภาพของสัญญาณโดยปกติเราจะคุ้นเคยอยู่กับความรู้สึกที่ว่า เมื่อแรงดันเป็นบวก หรือสัญญาณออนลอจิกน่าจะเป็น "1" สำหรับสัญญาณต่างๆ ที่กล่าวมาจะมีลักษณะตรงกันข้าม ทำไมเขากำหนดกฎเกณฑ์ออกมาอย่างนี้ ก็เพราะว่าแต่เดิมนั้น การติดต่อกันทางโทรเลขการทำงานของสัญญาณจะต้องครบวงจรทั้งฝ่ายส่งและฝ่ายรับ เมื่อลอจิกเป็น "0" หรือขณะที่ไม่มีอะไรส่งควรจะมีสัญญาณทางไฟฟ้าครบวงจรอยู่ตลอดเวลา ก็โดยการให้ค่าแรงดันที่ฝ่ายส่ง ดังนั้นจึงถือกันว่าสัญญาณเพชวากใช้เป็นลอจิก "0"

ตารางที่ 5.2 คุณลักษณะโดยย่อของสัญญาณ RS 232C

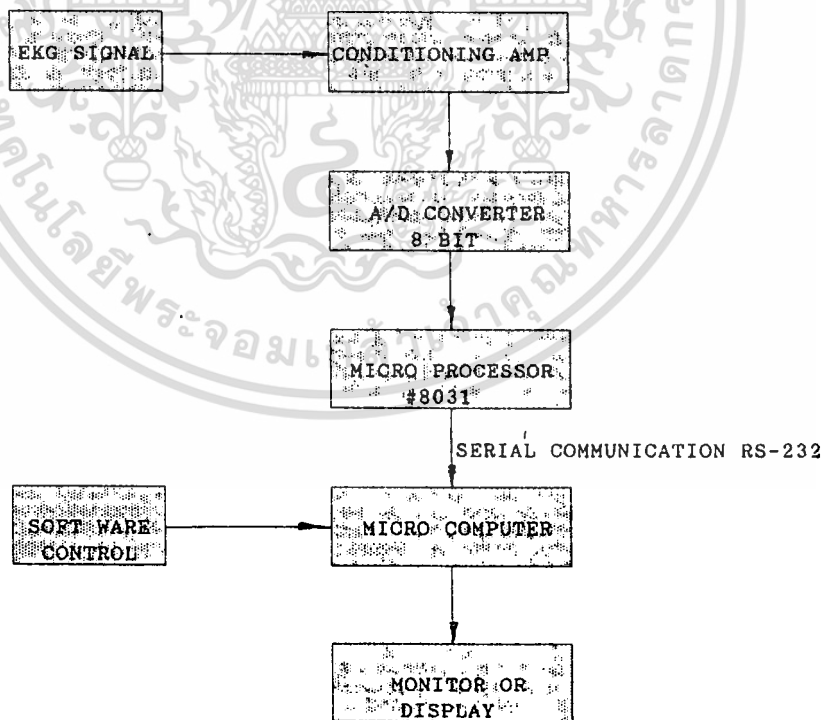
Driver output logic levels with 3k to 7k load	$15V > 0 > 5V$ $-5 > 0 > -15$ โวลต์
Driver output voltage when open circuit	$V_o < 25$ โวลต์
Driver output impedance with Power off	$R_o > 300$ Ohms
Output short circuit current	$I_o < 0.5$ A
Driver slew rate	$dv/dt < 30$ V/s
Receiver input impedance	$7k > R_{in} > 3k$
Receiver input voltage	+15 compatible with driver
Receiver output with open circuit input	MARK
Receiver output with +3V input	SPACE
Receiver output with -3V input	MARK
+15	LOGIC 0 = SPACE =
+5	CONTROL ON
+5	Noise Margin
+3	
+3	Transition Region
-3	
-3	Noise Margin
-5	
-5	LOGIC 1 = MARK =
-15	CONTROL OFF

บทที่ 6

โครงการระบบแสดงคลื่นไฟฟ้าหัวใจบนไมโครคอมพิวเตอร์

(MICRO COMPUTER BASED EKG MONITOR)

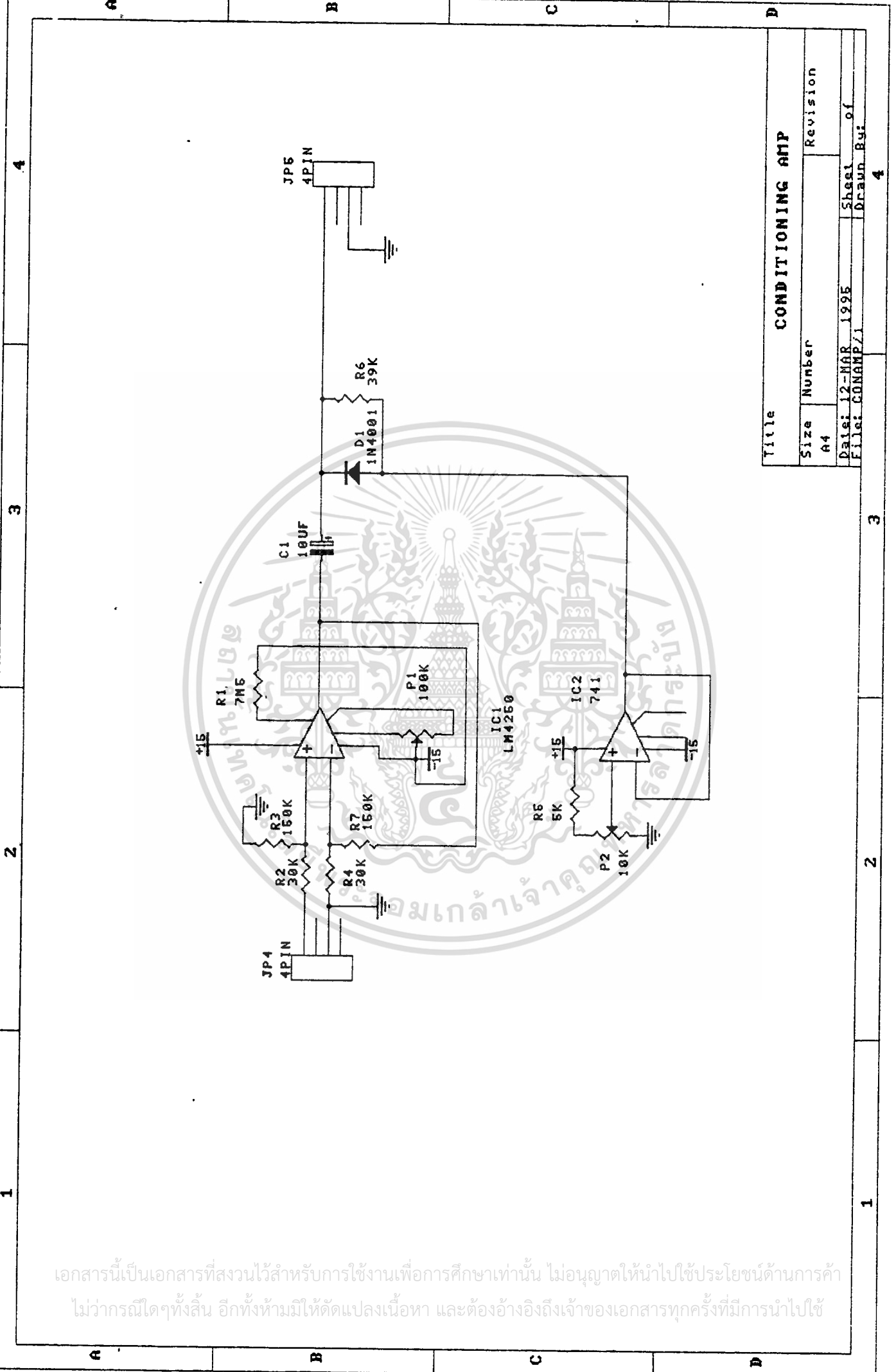
ในการศึกษาโครงการระบบแสดงคลื่นไฟฟ้าหัวใจบนไมโครคอมพิวเตอร์นี้ มีหลักการ
ทำงานของระบบตามบล็อกไดอะแกรม ดังรูปที่ 6.1 โดยสัญญาณคลื่นไฟฟ้าหัวใจต้องการ
แสดงผลถูกป้อนเข้าที่ ภาคอินพุทของวงจร Conditioning Amplifier ซึ่งจะทำหน้าที่
ขยายระดับสัญญาณคลื่นไฟฟ้าหัวใจ ให้มีขนาดใหญ่มากพอที่จะป้อนให้กับภาคอินพุทของ
วงจรแปลงสัญญาณอะนาลอกเป็นดิจิตอล วงจรแปลงสัญญาณอนาลอกเป็นดิจิตอลจะให้เข้าที่พ
ซึ่งเป็นสัญญาณดิจิตอล 8 บิต ป้อนให้กับไมโครโปรเซสเซอร์ ซึ่งไมโครโปรเซสเซอร์ทำหน้าที่
ที่ส่งค่าสัญญาณดิจิตอลออกไปในรูปการสื่อสารแบบอนุกรม RS-232 ซึ่งไมโครโปรเซสเซอร์
ใช้เบอร์ 8031 อยู่ในตระกูล MCS51 ข้อดีของไมโครโปรเซสเซอร์เบอร์นี้คือ มีพอร์ตอนุกรม
ภายในสามารถใช้งานได้ทันที ซึ่งต่างจาก Z-80 ซึ่งจะต้องใช้ IC CHIP เพิ่มเติมในส่วน
ของการสื่อสารข้อมูล เมื่อสัญญาณคลื่นไฟฟ้าถูกส่งไปยัง Micro Computer ซึ่งมีการเขียน
โปรแกรมการรับค่าสัญญาณดิจิตอล นำไปแสดงผลบนจอของ Micro Computer ต่อไป



รูปที่ 6.1 แสดงระบบคลื่นไฟฟ้าหัวใจบนไมโครคอมพิวเตอร์

CONDITITIONING AMP

วงจร Conditioning AMP ทำหน้าที่ ขยายสัญญาณคลื่นหัวใจไฟฟ้าที่เข้ามาทาง Probe in put โดยให้มีอัตราการขยายที่ป้อนให้กับภาคอินพุทของวงจรแปลงสัญญาณอนาลอก เป็นดิจิทัล ADC ซึ่งต้องมีอัตราการขยายที่เหมาะสมกับข้อจำกัดของแรงดันอินพุทของ ADC ด้วย ในวงจรที่ใช้ IC1 LM4250 ซึ่งทำหน้าที่เป็น Conditioning AMP โดยต่อในลักษณะ เป็นคิฟเฟอร์เรนเชียลแอมป์โดยขา inverting ถูกต่อลงกราวด์ และขา non inverting เป็นอินพุทของวงจร ซึ่ง Gain ที่ใช้วงจรนี้คือ 5 เท่า โดย Gain ถูกกำหนดโดย R_2, R_3, R_4, R_7 ส่วน $R_1 7.5 \text{ m.}$ เป็นตัวเซ็ทค่ากระแสภายในของออปแอมป์ ส่วน $P_1 100K$ มีไว้สำหรับปรับออฟเซ็ท ส่วน IC₂ 741 หรือ OP-07 ทำหน้าที่เป็นวงจรปรับระดับแรงดันอ้างอิง โดยตั้งไว้ที่ 1-1.5 โวลท์ ส่วน C_1, D_1, R_6 เป็นวงจรยกระดับของสัญญาณ (Clamper) ดังนั้นสัญญาณคลื่นไฟฟ้าหัวใจจากเครื่องกำเนิดจะต่อเข้ามายัง JP4 และ ถูกขยายโดย IC₂ LM4250 จะได้เข้าที่พอร์ท JP5 เพื่อไปเข้าวงจร A/D Converter 8 bit ต่อไป



Title		CONDITIONING AMP	
Size	Number	Revision	
A4			
Date:	12-MAR-1995	Sheet	of
File:	CONAMP/1	Drawn By:	

เอกสารนี้เป็นเอกสารที่สงวนไว้สำหรับการใช้งานเพื่อการศึกษาเท่านั้น ไม่อนุญาตให้นำไปใช้ประโยชน์ด้านการค้า
 ไม่ว่ากรณีใดๆทั้งสิ้น อีกทั้งห้ามมิให้ดัดแปลงเนื้อหา และต้องอ้างอิงถึงเจ้าของเอกสารทุกครั้งที่มีการนำไปใช้

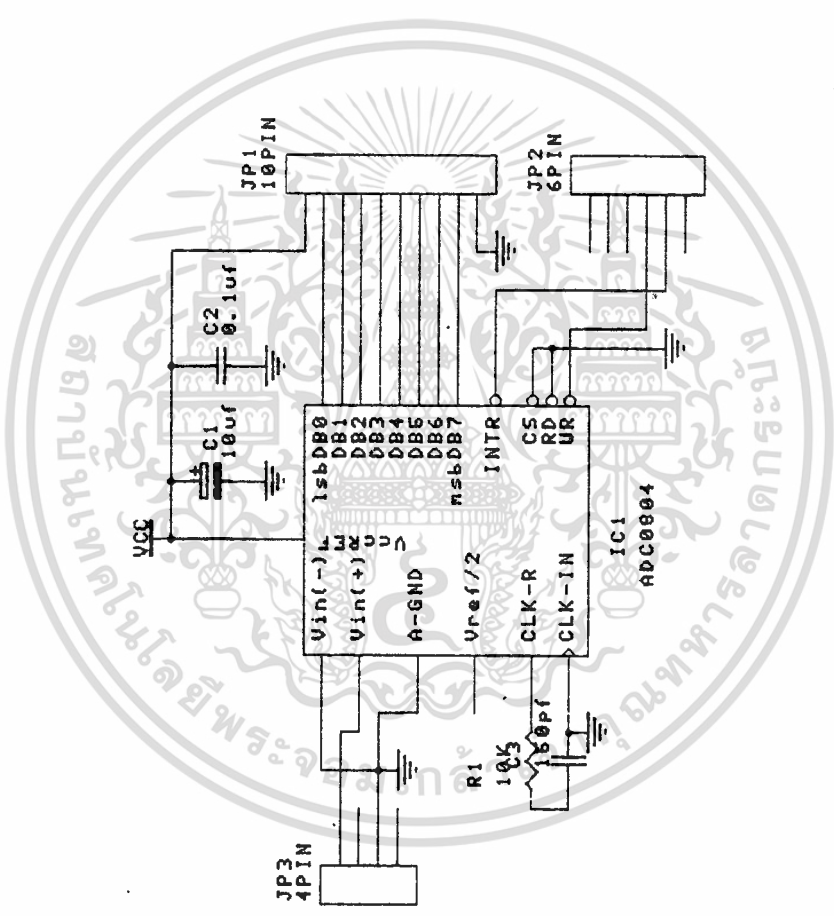
ANALOG TO DIGITAL CONVERTOR (ADC)

สัญญาณคลื่นไฟฟ้าหัวใจได้ถูกขยายโดยวงจร Conditioning AMP จากนั้นจะเข้าวงจรแปลงสัญญาณอนาล็อกเป็นสัญญาณดิจิทัล (ADC) เพื่อที่จะส่งค่าข้อมูลที่แปลงเป็นค่าเลขดิจิทัลให้กับ ECG CONTROLLER BROAD เพื่อที่จะส่งค่าข้อมูลให้กับไมโครคอมพิวเตอร์

ในวงจรงานนี้ใช้ ADC0804 ซึ่งเป็น Successive Approximation A/D ซึ่งภายในมีเอาต์พุตเป็นลักษณะ three state output สามารถที่ต่อกับ CPU ได้โดยตรง ค่าเวลาในการแปลงสัญญาณ (Conversion time) มีค่า 100 μ s มีวงจรกำเนิดสัญญาณ clock ภายในโดยการต่อ โดยมีความถี่เท่ากับ

$$f = \frac{1}{(1.1 RC)}$$

ซึ่งในวงจรที่ใช้งานใช้ค่า $R=10K$, $C=150Pf$ เพราะฉะนั้น $f=606$ KHz แรงดันอินพุตที่ป้อนให้ ADC มีค่า 0-5 โวลต์ โดยเข้าที่ JP3 การทำงานของ ADC ถูกควบคุมโดย CPU 8031 จาก ECG CONTROLLER โดยจะส่งสัญญาณ Start (WR) มาให้ ADC 0804 และ CPU 8031 รอสัญญาณ INT จาก ADC เมื่อมีการแปลงสัญญาณเสร็จแล้ว ส่วนขา CS , RD จะต่อลงกราวด์โดยตรง เพื่อลดความยุ่งยากในการใช้ CPU 8031 สัญญาณดิจิทัลที่ถูกแปลงแล้วจะถูกส่งโดย DB0 - DB7 ที่ JP1 ซึ่งจะส่งให้กับ CPU 8031 ต่อไป



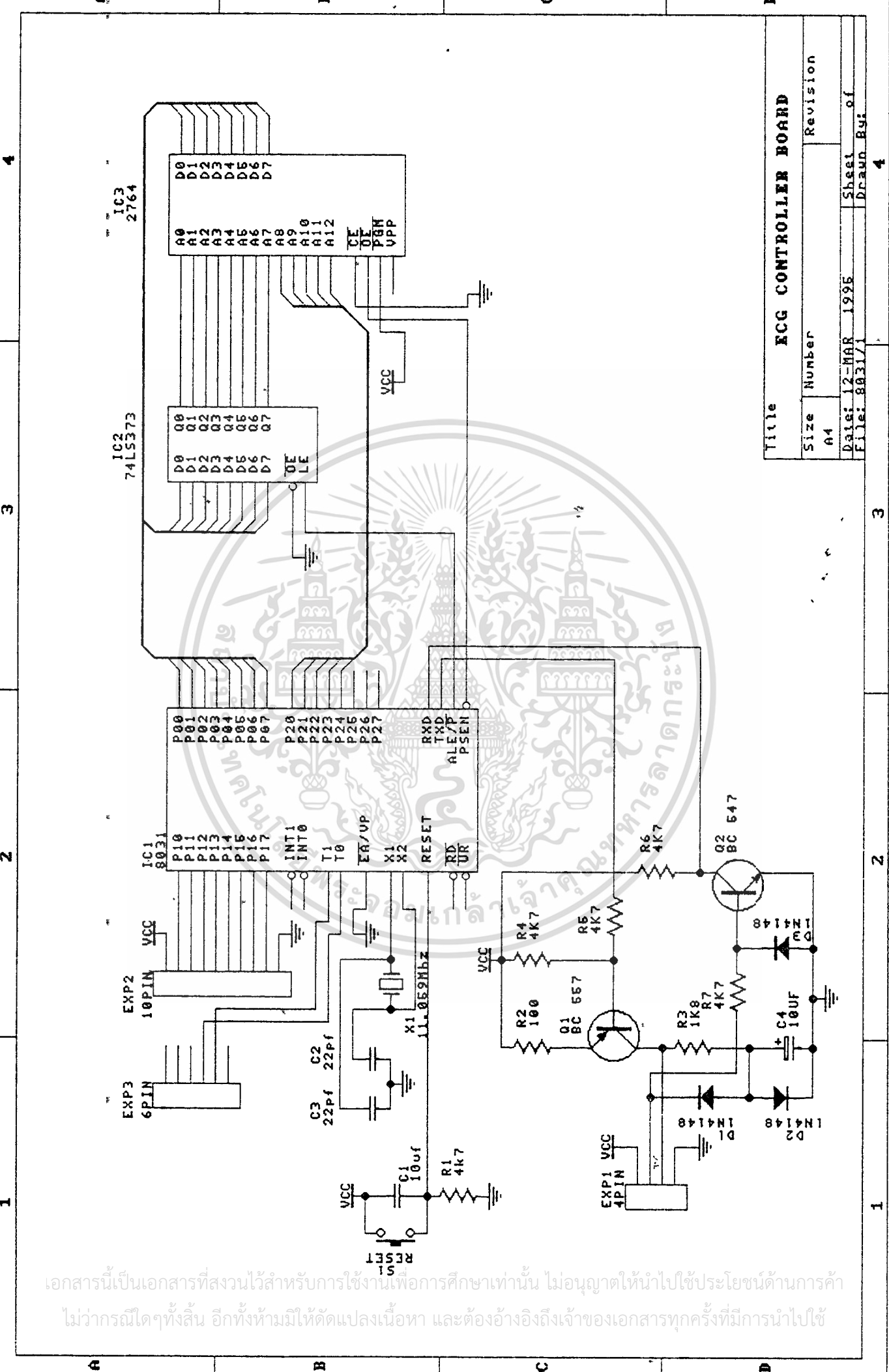
Title		A/D CONVERTOR	
Size	Number	Revision	
A4			
Date:	12-MAR 1995	Sheet	of
File:	A/1	Drawn	By:
			4

เอกสารนี้เป็นเอกสารที่สงวนไว้สำหรับการใช้งานเพื่อการศึกษาเท่านั้น ไม่อนุญาตให้นำไปใช้ประโยชน์ด้านการค้า
ไม่ว่ากรณีใดๆทั้งสิ้น อีกทั้งห้ามมิให้ตัดแปลงเนื้อหา และต้องอ้างอิงถึงเจ้าของเอกสารทุกครั้งที่มีการนำไปใช้

ECG CONTROLLER BROAD

CPU 8031 ทำหน้าที่เป็นตัวประมวลผลข้อมูลที่ได้จากวงจร ADC โดยเข้ามาที่ P1.0-P1.7 หรือ EXP2 และเป็นตัวส่งข้อมูล 8 บิต สัญญาณคลื่นไฟฟ้าหัวใจ ซึ่งเป็นค่าดิจิทัลโดยส่งข้อมูลแบบอนุกรม แบบ RS232 ผ่านทางขา TXD ของ 8031 โดยเริ่มแรก CPU 8031 จะส่งสัญญาณ Start (WR) ซึ่งเป็น active low ไปให้กับ ADC 0804 ผ่านทาง EXP3 เมื่อ ADC0804 ได้รับสัญญาณ start ก็ทำงานโดยแปลงสัญญาณ ECG เป็นดิจิทัล 8 บิต เมื่อแปลงเสร็จจะส่งสัญญาณ INT ผ่านทาง EXP.3 ซึ่ง CPU 8031 รอสัญญาณ INT เมื่อได้รับสัญญาณก็จะรับสัญญาณดิจิทัล 8 บิตเข้ามาที่พอร์ต 1 (P1.0 - P1.7) จากนั้นก็นำข้อมูลที่รับเข้ามาได้แล้วส่งไปยัง SBUF ภายใน 8031 และส่งค่าข้อมูล 8 บิตโดยผ่านทาง TXD โดยต่อวงจรแปลงระดับสัญญาณให้ติดต่อกับ PC โดยใช้วงจร Q1 BC557 ส่งข้อมูลแบบอนุกรม ผ่านทาง EXP1 ไปยัง Micro Computer เพื่อที่จะแสดงผลต่อไป ขา TXD สามารถต่อโดยใช้ MAX232 ก็ได้ ส่วน CPU 8031 ใช้ OSC 11.059 MHz สร้างฐานเวลาให้กับ CPU S₁, C₁, R₄ เป็นวงจร Reset โดย Reset Active High ส่วน PORT0, PORT2 เป็น Addressing โดยติดต่อกับ EPROM เบอร์ 2764 ซึ่งเก็บข้อมูลแบบ code โดยการโปรแกรมให้ CPU ทำงานตามที่กล่าวมาข้างต้นขา EA ถูกต่อลงกราวด์เพื่อติดต่อกับหน่วยความจำภายนอกสัญญาณ PSEN ไว้ติดต่อกับ หน่วยความจำแบบ ROM หรือ #2764 นั้นเอง

เอกสารนี้เป็นเอกสารที่สงวนไว้สำหรับการใช้งานเพื่อการศึกษาเท่านั้น ไม่อนุญาตให้นำไปใช้ประโยชน์ด้านการค้า
ไม่ว่ากรณีใดๆทั้งสิ้น อีกทั้งห้ามมิให้ตัดแปลงเนื้อหา และต้องอ้างอิงถึงเจ้าของเอกสารทุกครั้งที่มีการนำไปใช้



Title		ECG CONTROLLER BOARD	
Size	Number	Revision	
A4			
Date:	12-MAR 1995	Sheet	of
File:	803171	Drawn By:	

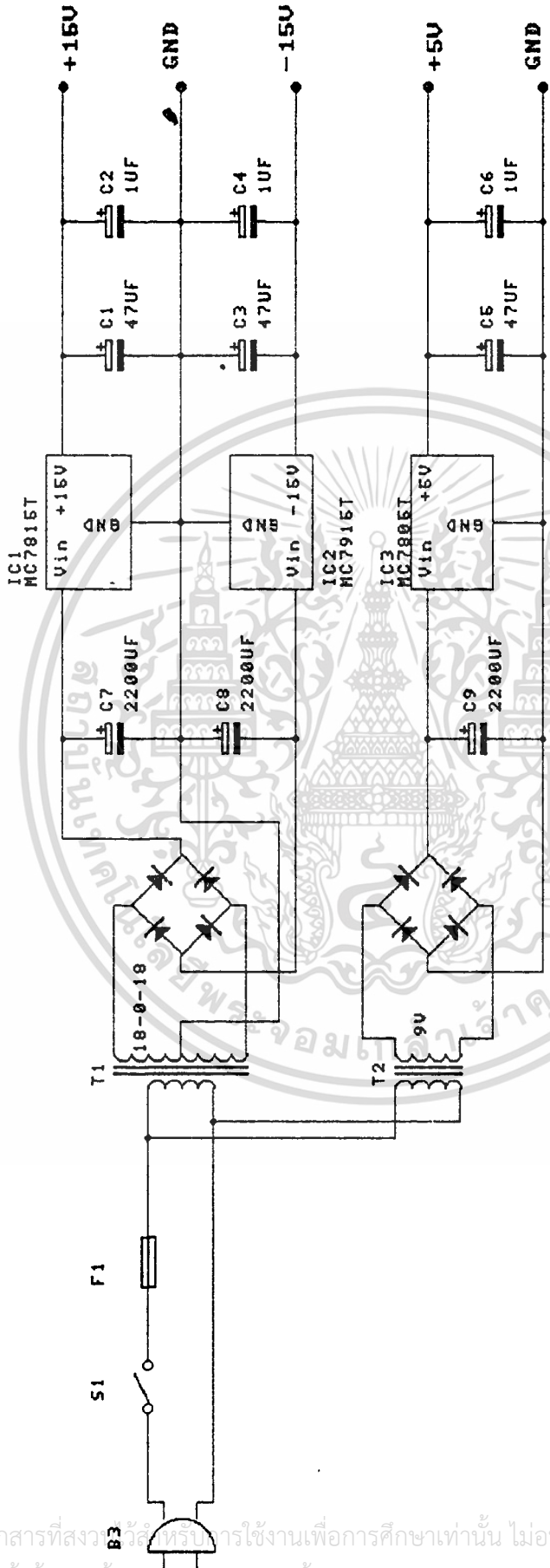
เอกสารนี้เป็นเอกสารที่สงวนไว้สำหรับการใช้งานเพื่อการศึกษาเท่านั้น ไม่อนุญาตให้นำไปใช้ประโยชน์ด้านการค้า
ไม่ว่ากรณีใดๆทั้งสิ้น อีกทั้งห้ามมิให้ดัดแปลงเนื้อหา และต้องอ้างอิงถึงเจ้าของเอกสารทุกครั้งที่มีการนำไปใช้

DC SUPPLY

เป็นภาคจ่ายไฟให้กับระบบของโครงงาน ซึ่งใช้ DC VOLTAGE 5V, \pm 15 V. โดย Transformer T1 บ้อนค่า AC Voltage 18-0-18 V. ให้กับวงจร Regtifier โดยมี C₇, C₈ เป็นต้น Filter Capsacitor ลดค่าแรงดันริบเบิล 7815, 7915 เป็น IC แปลงแรงดันเป็น DC Voltage คือ +15 V, -15 V. โดยมี C₁, C₂, C₃, C₄ เป็น Filter ทางด้านเฮ้าท์พุท

Transformer T2 บ้อนค่า AC voltage 0-9 V. ให้กับวงจร Regtifier โดยมี C₉ เป็น Filter Capacitor ลดค่าแรงดันริบเบิล 7805 เป็น IC แปลงแรงดัน PC Voltage คือ 5V. โดยมี C₅, C₆ เป็น Filter ทางด้านเฮ้าท์พุท





Title DC SUPPLY

Size	Number	Revision
A4		
Date:	12-MAR-1995	Sheet of
File:	SUPPLY/1	Drawn By:

เอกสารนี้เป็นเอกสารที่สงวนลิขสิทธิ์สำหรับการใช้งานเพื่อการศึกษาเท่านั้น ไม่อนุญาตให้นำไปใช้ประโยชน์ด้านการค้า
 ไม่ว่ากรณีใดๆทั้งสิ้น อีกทั้งห้ามมิให้ดัดแปลงเนื้อหา และต้องอ้างอิงถึงเจ้าของเอกสารทุกครั้งที่มีการนำไปใช้

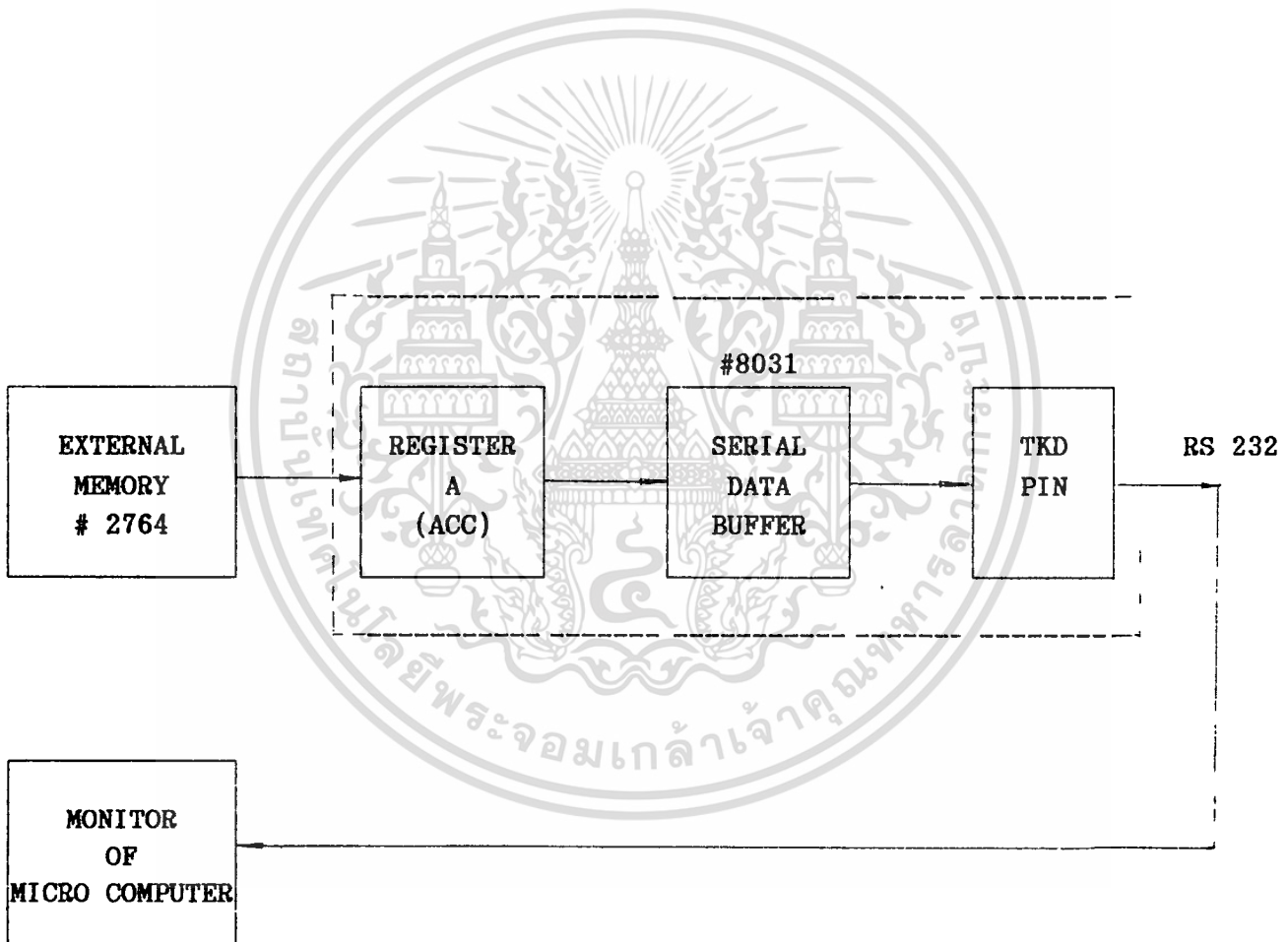
โปรแกรมที่ใช้งานจริงของ CPU 8031
และ ผลการทดสอบ วงจรที่ใช้งานจริงใน
โครงงาน

ข้อสังเกตความถี่ของสัญญาณ Sine wave และ Square wave

เอกสารนี้เป็นเอกสารที่สงวนไว้สำหรับการใช้งานเพื่อการศึกษาเท่านั้น ไม่อนุญาตให้นำไปใช้ประโยชน์ด้านการค้า
ไม่ว่ากรณีใดๆทั้งสิ้น อีกทั้งห้ามมิให้ดัดแปลงเนื้อหา และต้องอ้างอิงถึงเจ้าของเอกสารทุกครั้งที่มีการนำไปใช้

การทดสอบการทำงานของโครงงาน

1. ในการทดสอบการทำงานของโครงงานในด้าน Hard Ware ในส่วนของคอนโทรลเลอร์ CPU 8031 ได้ทำการทดสอบโดยการเขียนโปรแกรมใน Emulator EE232 โดยทำการเขียนโปรแกรมให้ CPU 8031 ส่งค่าข้อมูล 8 บิต ที่อยู่ภายใน Memory จำนวน 400 ค่า ส่งออกไปยังขา TXD ซึ่งไปต่อกับพอร์ต 1 หรือ พอร์ต 2 ของ Micro Computer ให้แสดงผลตามค่าข้อมูลซึ่งไม่เขียนเป็นรูปของคลื่นไฟฟ้าหัวใจ ซึ่งได้ผลเป็นที่น่าพอใจ โดยโปรแกรมจะแสดงไว้ในหน้าถัดไป



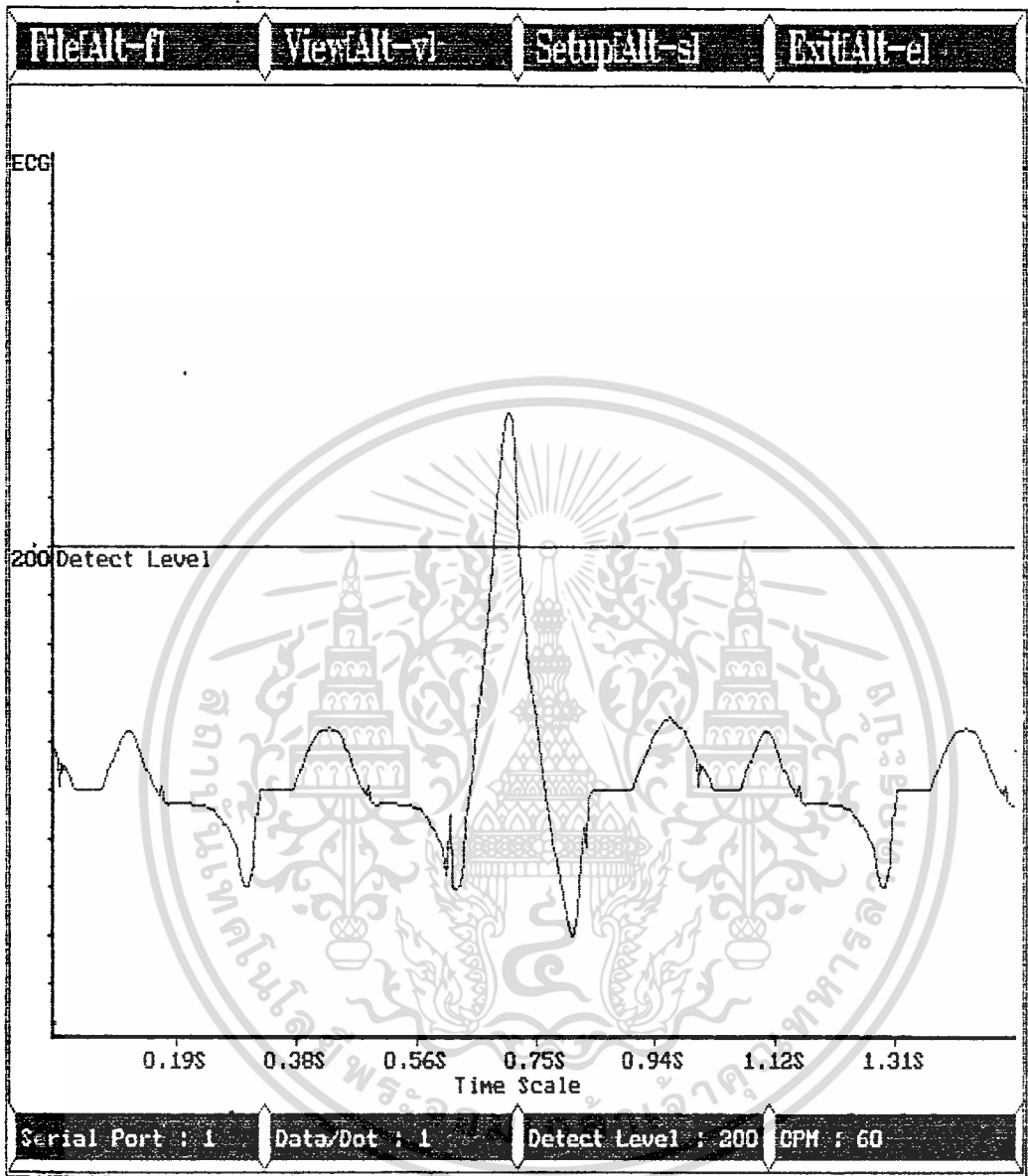
รูปแสดงขั้นตอนการทดสอบการทำงานของ Hard Ware CPU 8031

เอกสารนี้เป็นเอกสารที่สงวนไว้สำหรับการใช้งานเพื่อการศึกษาเท่านั้น ไม่อนุญาตให้นำไปใช้ประโยชน์ด้านการค้า ไม่ว่าจะกรณีใดๆทั้งสิ้น อีกทั้งห้ามมิให้ตัดแปลงเนื้อหา และต้องอ้างอิงถึงเจ้าของเอกสารทุกครั้งที่มีการนำไปใช้

การแสดงผลหน้าจอ Monitor สามารถปรับ Range ได้ 4 ช่วง

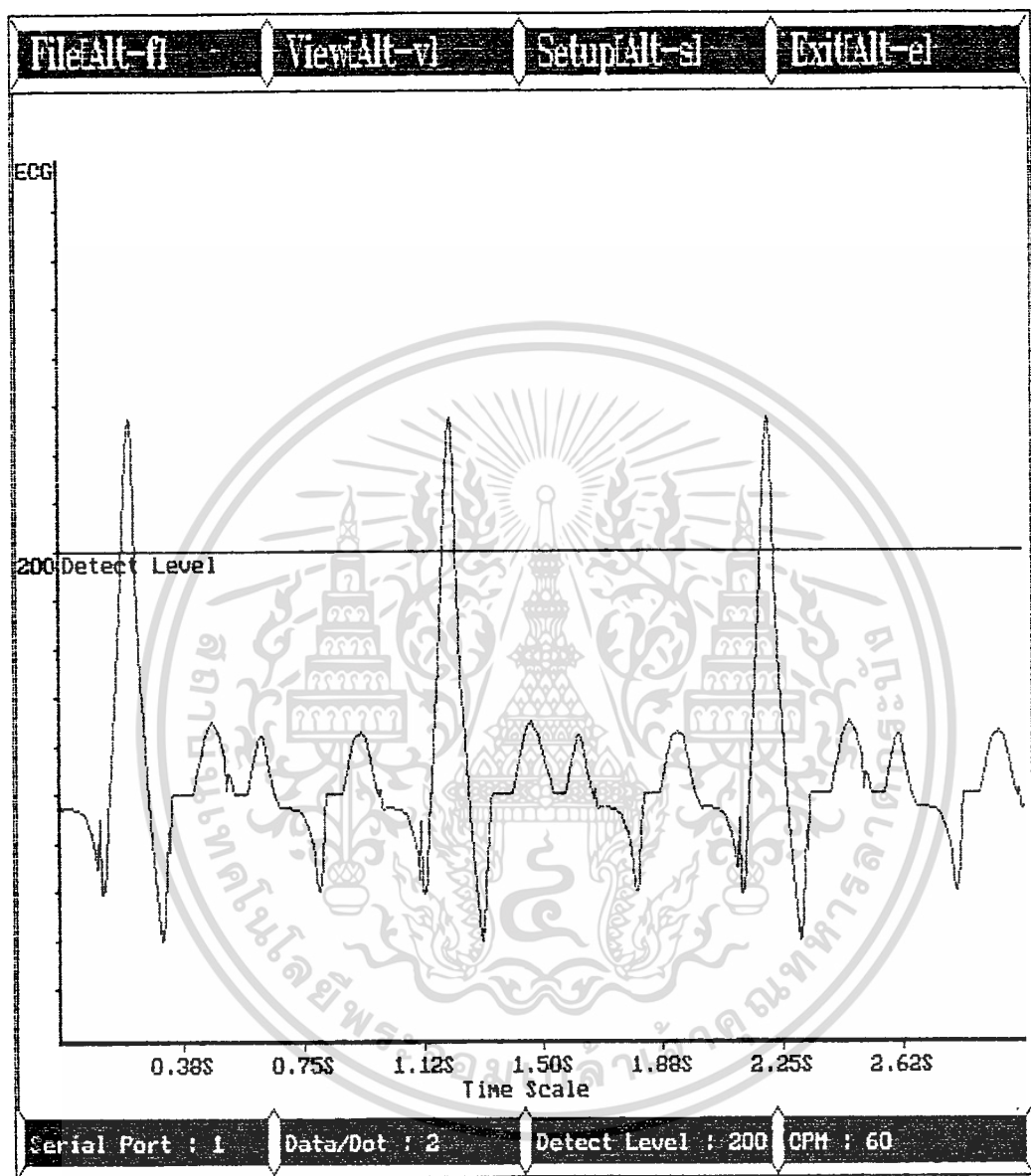
คือ

- 1). Range 1 (0-1.31S) ตั้งแสดงในรูปแบบที่ 6.2
- 2). Range 2 (0-2.62S) ตั้งแสดงในรูปแบบที่ 6.3
- 3). Range 3 (0-3.94S) ตั้งแสดงในรูปแบบที่ 6.4
- 4). Range 4 (0-5.25S) ตั้งแสดงในรูปแบบที่ 6.5



รูปที่ 6.2 แสดงผลหน้าจอ Monitor ปรับ Range ที่ 1 (0-1.35S)
ของสัญญาณ ECG จาลอง วัด CPM ได้ 60 CPM

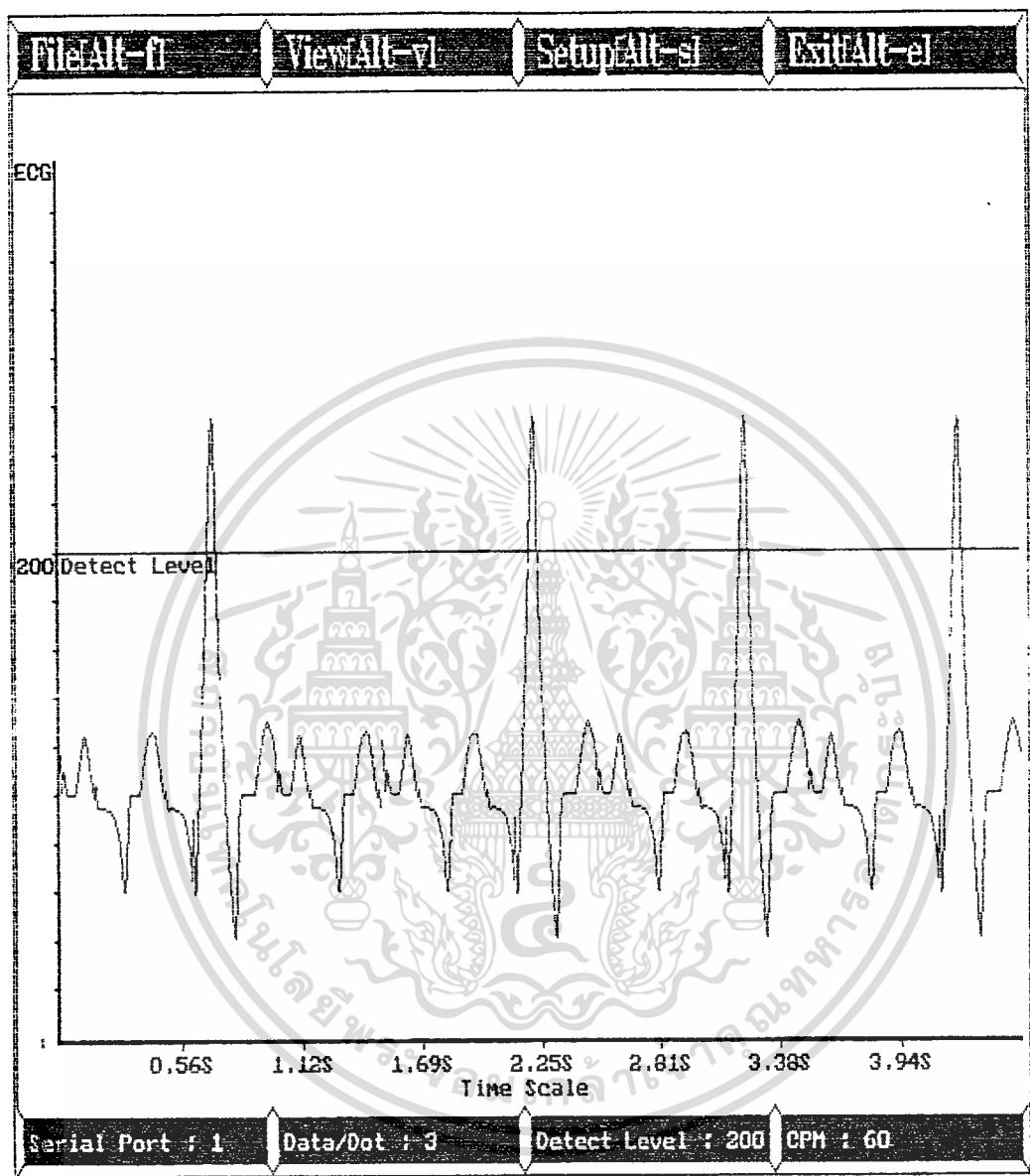
เอกสารนี้เป็นเอกสารที่สงวนไว้สำหรับการใช้งานเพื่อการศึกษาเท่านั้น ไม่อนุญาตให้นำไปใช้ประโยชน์ด้านการค้า
ไม่ว่ากรณีใดๆทั้งสิ้น อีกทั้งห้ามมิให้ตัดแปลงเนื้อหา และต้องอ้างอิงถึงเจ้าของเอกสารทุกครั้งที่มีการนำไปใช้



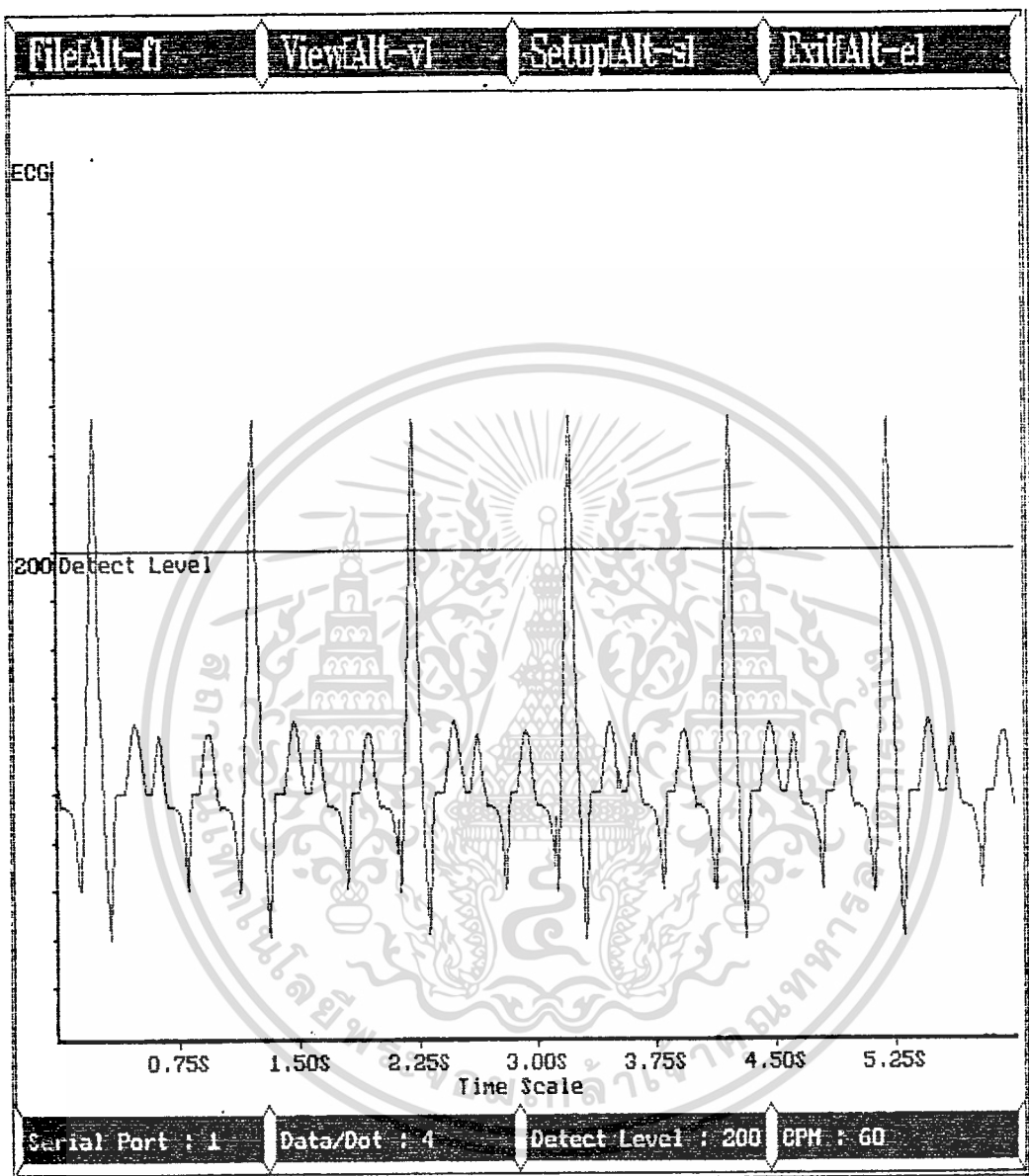
รูปที่ 6.3 แสดงผลหน้าจอ Monitor ปรับ Range ที่ 2 (0-2.62S)

ของสัญญาณ ECG จาลองวัด CPM ได้ 60 CPM

เอกสารนี้เป็นเอกสารที่สงวนไว้สำหรับการใช้งานเพื่อการศึกษาเท่านั้น ไม่อนุญาตให้นำไปใช้ประโยชน์ด้านการค้า
ไม่ว่ากรณีใดๆทั้งสิ้น อีกทั้งห้ามมิให้ดัดแปลงเนื้อหา และต้องอ้างอิงถึงเจ้าของเอกสารทุกครั้งที่มีการนำไปใช้



รูปที่ 6.4 แสดงผลหน้าจอ Monitor ปรับ Range ที่ 3 (0-3.94s)
ของสัญญาณ ECG จาลองวัด CPM ได้ 60 CPM



รูปที่ 6.5 แสดงผลหน้าจอ Monitor ปรับ Range ที่ 4 (0-5.25S)
ของสัญญาณ ECG จาลองวัด CPM ได้ 60 CPM

โปรแกรมที่ใช้ทดสอบในการส่งคำสัญญา ECG

เตรียมไว้ให้กับ SOFTWARE บนไมโครคอมพิวเตอร์

เอกสารนี้เป็นเอกสารที่สงวนไว้สำหรับการใช้งานเพื่อการศึกษาเท่านั้น ไม่อนุญาตให้นำไปใช้ประโยชน์ด้านการค้า
ไม่ว่ากรณีใดๆทั้งสิ้น อีกทั้งห้ามมิให้ดัดแปลงเนื้อหา และต้องอ้างอิงถึงเจ้าของเอกสารทุกครั้งที่มีการนำไปใช้

```

0000          CPU    "8051.TBL"
0000          HOF    "INT8"
0000          ORG    0000H

```

```

;
;
0039 =          ECG:    EQU    0039H
0099 =          TI:     EQU    099H
008E =          TR1:   EQU    08EH
0098 =          RI:     EQU    098H
0080 =          PO:     EQU    80H
0081 =          SP:     EQU    81H
0082 =          DPL:   EQU    82H
0083 =          DPH:   EQU    83H
008A =          TLO:   EQU    8AH
008B =          TL1:   EQU    8BH
008C =          TH0:   EQU    8CH
008D =          TH1:   EQU    8DH
0090 =          P1:     EQU    90H
00A0 =          P2:     EQU    0A0H
00B0 =          P3:     EQU    0B0H
0089 =          TMOD:  EQU    89H
00C0 =          TCON:  EQU    0C0H
0098 =          SCON:  EQU    98H
0099 =          SBUF:  EQU    99H
00A8 =          IE:    EQU    0A8H
00B8 =          IP:    EQU    0B8H
00D0 =          PSW:   EQU    0D0H
00E0 =          ACC:   EQU    0E0H
00F0 =          B:     EQU    0F0H
0087 =          PCON:  EQU    87H

```

```

;
;
0000 7F00      DELAY:   MOV    R7,#00H
0002 7E00      RES2:   MOV    R6,#00H
0004 00        RES1:   NOP
0005 00        NOP
0006 DEFC      DJNZ   R6,RES1
0008 DFF8      DJNZ   R7,RES2

```

```

;
;
000A 759852    MOV    SCON,#52H    ;SET MODE 8 BIT UART
;
000D 758920    MOV    TMOD,#20H    ;SET MODE TIMER 8 BIT AUTORE
LOAD
0010 758DFD    MOV    TH1,#0FDH   ;9600 BAUD
0013 D28E      SETB   TR1         ;START TIMER 1
;
;
;

```

```

0015 900039    START:  MOV    DPTR,#ECG
0018 E500      ADJ:   MOV    A,00H
001A 93        MOVC   A,@A+DPTR
001B F599      MOV    SBUF,A
001D 3099FD    JNB   TI,$
0020 C299      CLR   TI

```

เอกสารนี้เป็นเอกสารที่สงวนไว้สำหรับการใช้งานเพื่อการศึกษาเท่านั้น ไม่อนุญาตให้นำไปใช้ประโยชน์ด้านการค้า
ไม่ว่ากรณีใดๆทั้งสิ้น อีกทั้งห้ามมิให้ดัดแปลงเนื้อหา และต้องอ้างอิงถึงเจ้าของเอกสารทุกครั้งที่มีการนำไปใช้

```

0022 7F00          DELAY1:  MOV    R7,#00H
0024 00 ↓         RES3:   NOP
0025 00          NOP
0026 00 *        NOP
0027 00 ↓         NOP
0028 00          NOP
0029 00          NOP
002A DFF8        DJNZ   R7,RES3

```

```

002C A3          INC    DPTR
002D E583        MOV    A,DPH
002F B401E6      CJNE  A,#01H,ADJ
0032 E582        MOV    A,DPL
0034 B4C8E1      CJNE  A,#0C8H,ADJ
0037 80DC        SJMP  START

```

```

0039 6464646464  ECB:   DFB   64H,64H,64H,64H,64H,64H,64H,64H,64H,64H
0043 6464646464  DFB   64H,64H,64H,64H,64H,64H,64H,64H,64H,64H
004D 646566686A  DFB   64H,65H,66H,68H,6AH,6BH,6DH,6EH,70H,73H
0057 7475777879  DFB   74H,75H,77H,78H,79H,7AH,7BH,7CH,7CH,7DH
0061 7D7D7D7E7E  DFB   7DH,7DH,7DH,7EH,7EH,7DH,7DH,7DH,7CH,7CH
006B 7B7A787675  DFB   7BH,7AH,78H,76H,75H,74H,72H,70H,6EH,6CH
0075 6B69676665  DFB   6BH,69H,67H,66H,65H,63H,63H,62H,66H,60H
007F 5F5F5E5E5E  DFB   5FH,5FH,5EH,5EH,5EH,5FH,5FH,5FH,5FH,5FH
0089 5F5F5F5F5F  DFB   5FH,5FH,5FH,5FH,5FH,5FH,5EH,5EH,5EH,5EH
0093 5E5E5E5E5E  DFB   5EH,5EH,5EH,5EH,5EH,5DH,5DH,5DH,5CH,5CH
009D 5C5E5A5959  DFB   5CH,5BH,5AH,59H,59H,58H,56H,55H,54H,53H
00A7 51504F4D4B  DFB   51H,50H,4FH,4DH,4BH,46H,41H,46H,59H,5AH
00B1 3C3B3B3B3C  DFB   3CH,3BH,3BH,3BH,3CH,3DH,41H,46H,59H,5AH
00BB 5F64696E77  DFB   5FH,64H,69H,6EH,77H,7CH,87H,88H,8CH,94H
00C5 9BA2AABOBA  DFB   9BH,0A2H,0AAH,0BOH,0BAH,0BEH,0C8H,0D2H,C
DCH,0E1H
00CF E7F0F5FAFE  DFB   0E7H,0F0H,0F5H,0FAH,0FEH,0FFH,0FFH,0FEH,
OFBH,0F0H
00D9 E6D7C8BEB9  DFB   0E6H,0D7H,0C8H,0BEH,0B9H,0AFH,0A8H,0A0H,
92H,93H
00E3 8C8A85827A  DFB   8CH,8AH,85H,82H,7AH,76H,71H,6BH,66H,62H
00ED 5C5A55504B  DFB   5CH,5AH,55H,50H,4BH,4AH,46H,43H,3FH,3CH
00F7 3835302C2A  DFB   38H,35H,30H,2CH,2AH,28H,28H,29H,2DH,32H
0101 3C464D5550  DFB   3CH,46H,4DH,55H,50H,4DH,61H,62H,63H,64H
010B 6464646464  DFB   64H,64H,64H,64H,64H,64H,64H,64H,64H,64H
0115 6464646464  DFB   64H,64H,64H,64H,64H,64H,64H,64H,64H,64H
011F 6464646465  DFB   64H,64H,64H,64H,65H,66H,68H,6AH,6BH,6EH
0129 6F70727375  DFB   6FH,70H,72H,73H,75H,76H,78H,7AH,7BH,7CH
0133 7D7E7F8081  DFB   7DH,7EH,7FH,80H,81H,81H,81H,82H,82H,81H
013D 80807F7E7E  DFB   80H,80H,7FH,7EH,7EH,7EH,7DH,7BH,7AH,78H
0147 7776757271  DFB   77H,76H,75H,72H,71H,66H,6FH,6DH,6EH,6CH
0151 6B6A696665  DFB   6BH,6AH,69H,66H,65H,64H,64H,64H,64H,64H
015B 6464646464  DFB   64H,64H,64H,64H,64H,64H,64H,64H,64H,64H
0165 646566686B  DFB   64H,65H,66H,68H,6BH,6DH,6EH,70H,70H,73H
016F 747577797A  DFB   74H,75H,77H,79H,7AH,7BH,7CH,7CH,7CH,7CH
0179 7B7A787675  DFB   7BH,7AH,78H,76H,75H,72H,70H,6EH,6CH,6CH

```

เอกสารนี้เป็นเอกสารที่สงวนไว้สำหรับการใช้งานเพื่อการศึกษาเท่านั้น ไม่นอนุญาตให้นำไปใช้ประโยชน์ด้านการค้า

ไม่ว่ากรณีใดๆทั้งสิ้น อีกทั้งห้ามมิให้ดัดแปลงเนื้อหา และต้องอ้างอิงถึงเจ้าของเอกสารทุกครั้งที่มีการนำไปใช้

0183	6B69676665	DFB	6BH,69H,67H,66H,65H,63H,62H,62H,66H,60H
018D	5F5F5E5F5F	DFB	5FH,5FH,5EH,5FH,5FH,5FH,5FH,5FH,5FH,5FH
0197	5F5F5F5F5F	DFB	5FH,5FH,5FH,5FH,5FH,5FH,5FH,5EH,5EH,5EH
01A1	5E5E5E5E5E	DFB	5EH,5EH,5EH,5EH,5EH,5EH,5DH,5DH,5CH,5CH
01AB	5C5B5A5959	DFB	5CH,5BH,5AH,59H,59H,58H,56H,56H,56H,54H
01B5	5351504F4D	DFB	53H,51H,50H,4FH,4DH,4BH,46H,41H,3FH,3DH
01BF	3C3C3C4141	DFB	3CH,3CH,3CH,41H,41H,46H,59H,5AH,5AH,5AH
0000		END	

00E0 ACC
0000 DELAY
0082 DPL
00B8 IP
00A0 P2
00D0 PSW
0024 RES3
0098 SCON
00C0 TCON
0099 TI
0089 TMOD

0018 ADJ
0022 DELAY1
0039 ECG
0080 P0
00B0 P3
0004 RES1
0098 RI
0081 SP
008C TH0
008A TL0
008E TR1

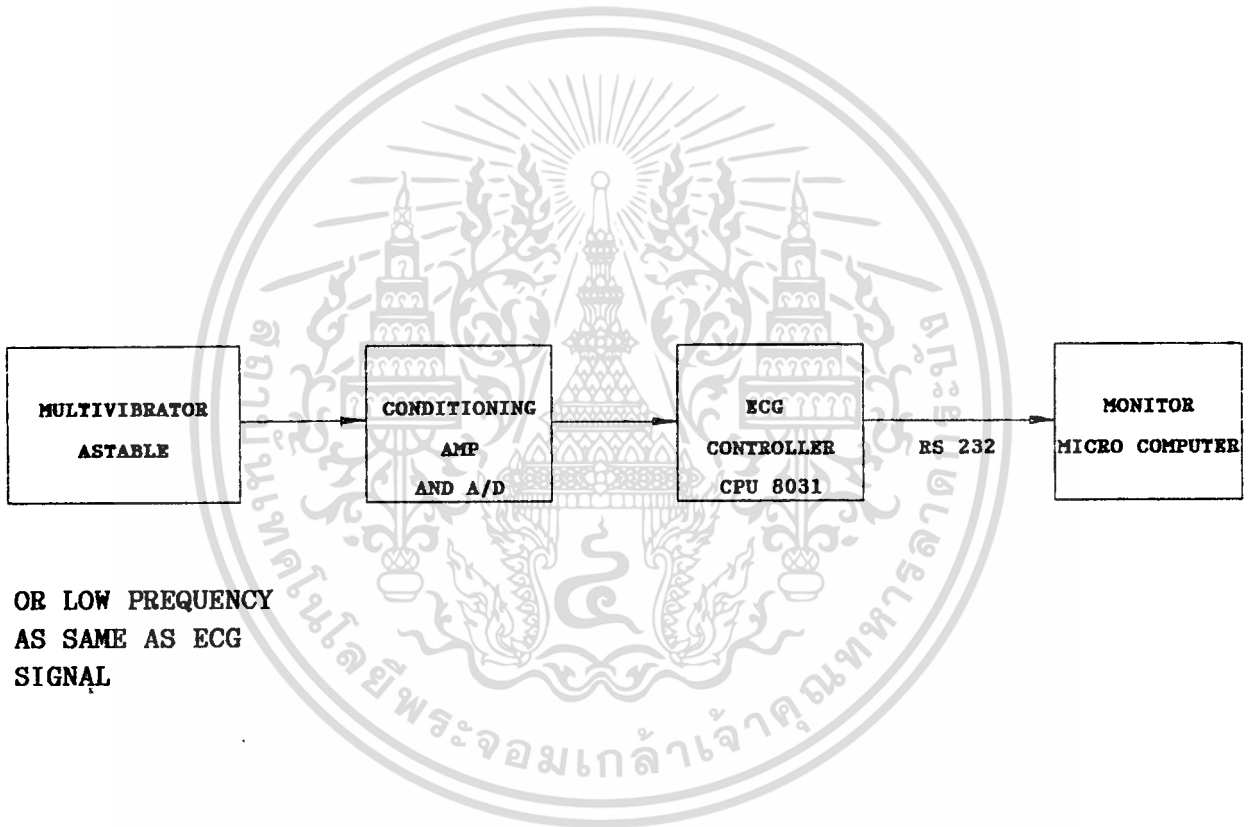
00F0 B
0083 DPH
00A8 IE
0090 P1
0087 PCON
0002 RES2
0099 SBUF
0015 START
008D TH1
008B TL1



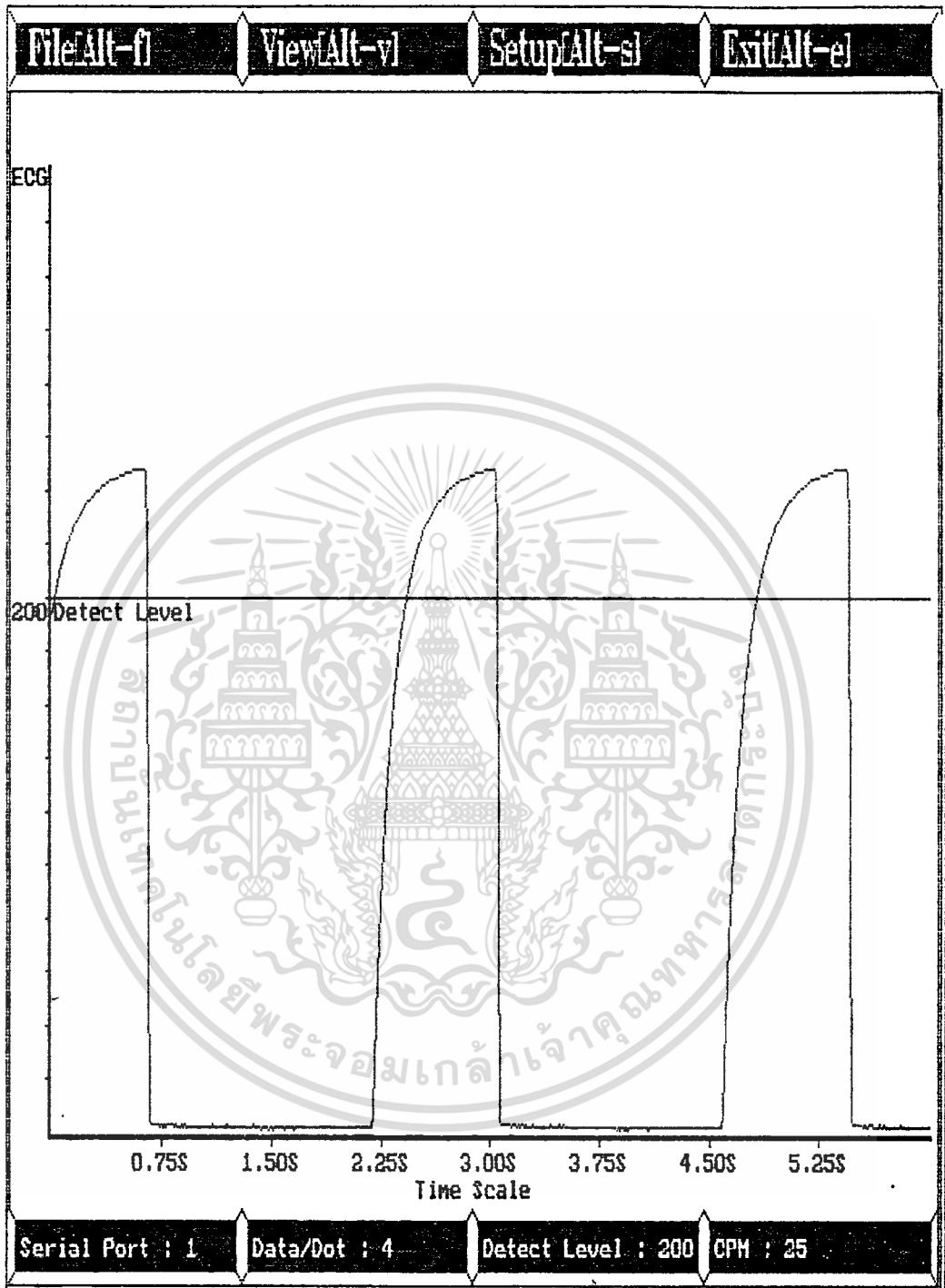
เอกสารนี้เป็นเอกสารที่สงวนไว้สำหรับการใช้งานเพื่อการศึกษาเท่านั้น ไม่อนุญาตให้นำไปใช้ประโยชน์ด้านการค้า
ไม่ว่ากรณีใดๆทั้งสิ้น อีกทั้งห้ามมิให้ดัดแปลงเนื้อหา และต้องอ้างอิงถึงเจ้าของเอกสารทุกครั้งที่มีการนำไปใช้

2. การทดสอบวงจรใช้งานจริง

โดยการป้อนสัญญาณที่มีความถี่ต่ำ เช่นวงจร Astable Multivibrator บ้อนาให้กับภาคอินพุทของ Hard Ware และเขียนโปรแกรมที่ใช้งานจริง ำให้กับ 8031 โดยผ่านทาง Emulator EE232 และดูภาพที่แสดงผลทางหน้าจอของ Micro Computer

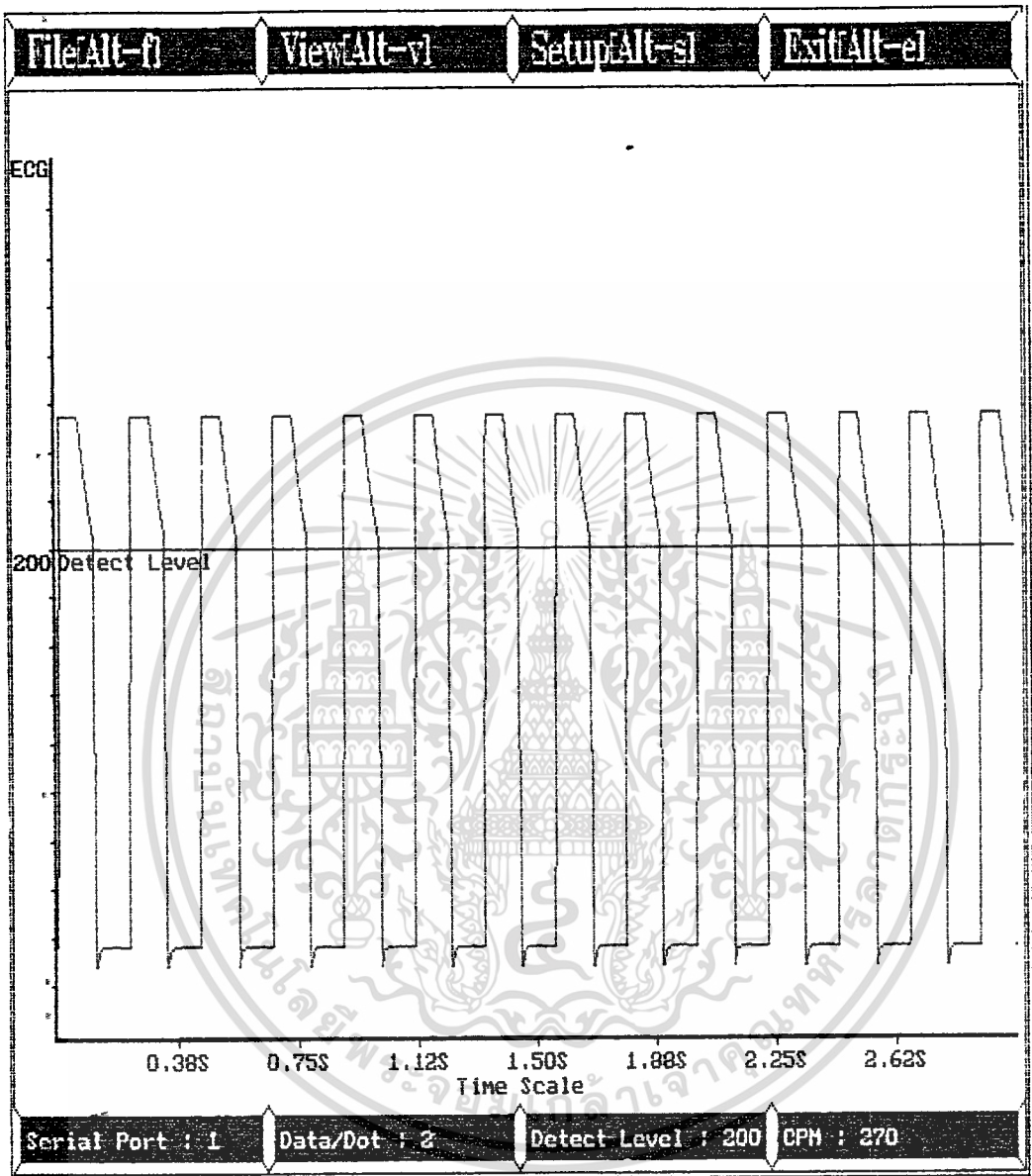


รูปแสดงขั้นตอนการทดสอบวงจรที่ใช้งานจริง

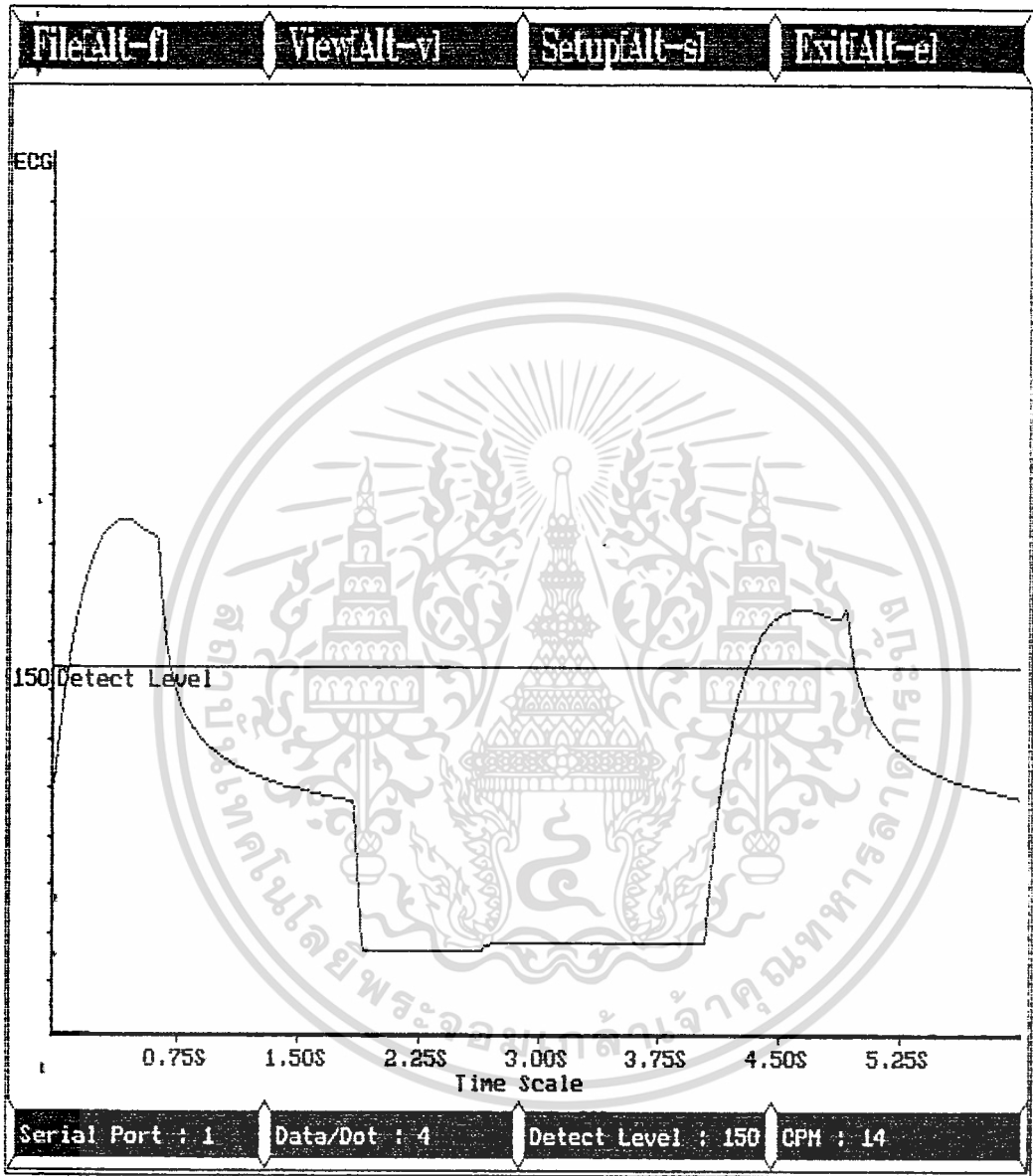


รูปที่ 6.6 แสดงผลหน้าจอของ Monitor โดยการป้อนสัญญาณจากวงจร Astable Multiribrator ความถี่ 0.5 Hz วัด CPM ได้ 25 CPM

เอกสารนี้เป็นเอกสารที่สงวนไว้สำหรับการใช้งานเพื่อการศึกษาเท่านั้น ไม่อนุญาตให้นำไปใช้ประโยชน์ด้านการค้า ไม่ว่ากรณีใดๆทั้งสิ้น อีกทั้งห้ามมิให้ตัดแปลงเนื้อหา และต้องอ้างอิงถึงเจ้าของเอกสารทุกครั้งที่มีการนำไปใช้

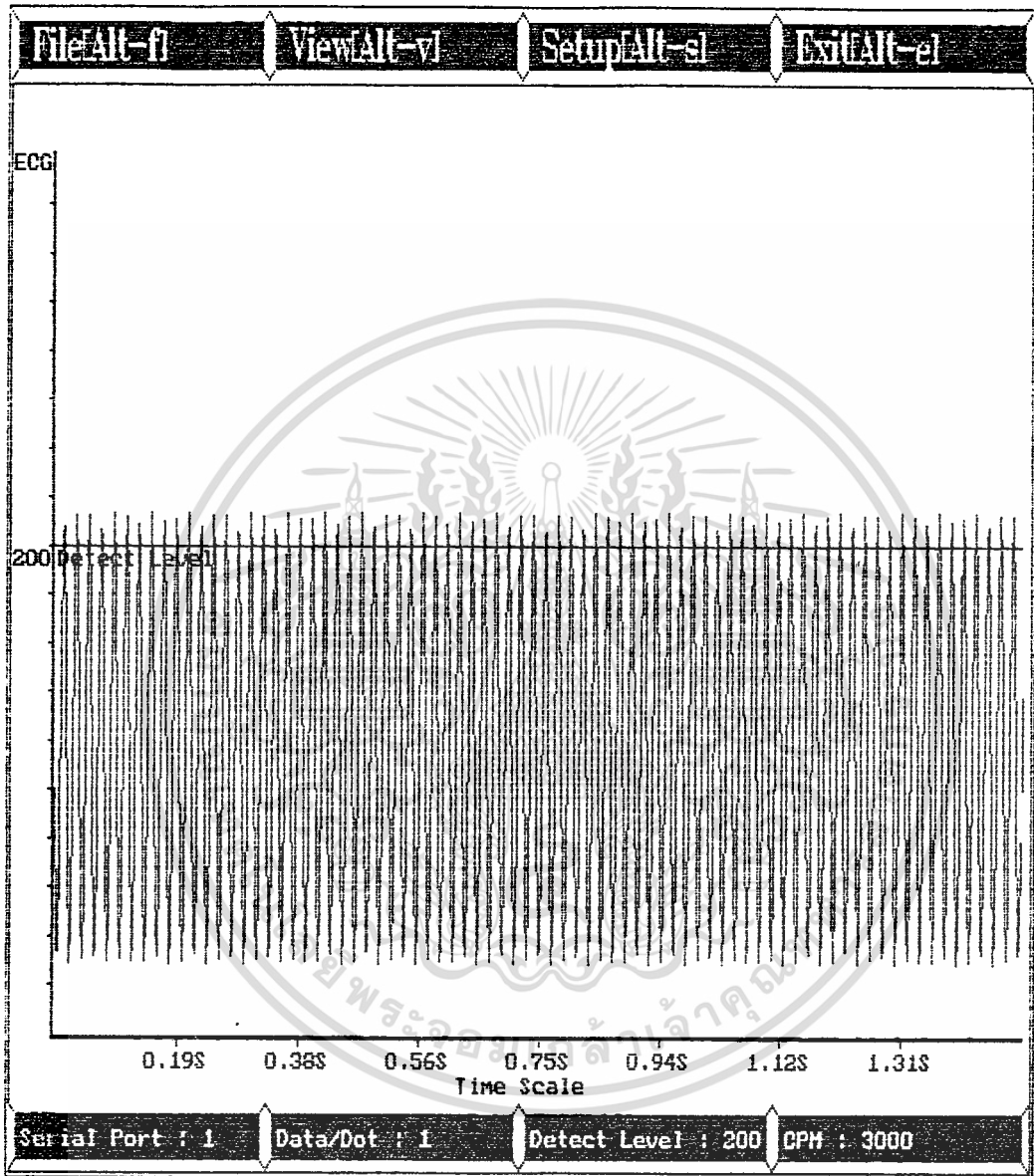


รูปที่ 6.7 แสดงผลหน้าจอของ Monitor โดยการป้อนสัญญาณจากวงจร Astable Multivibrator ความถี่ 4.5 Hz วัด CPM ได้ 270 CPM



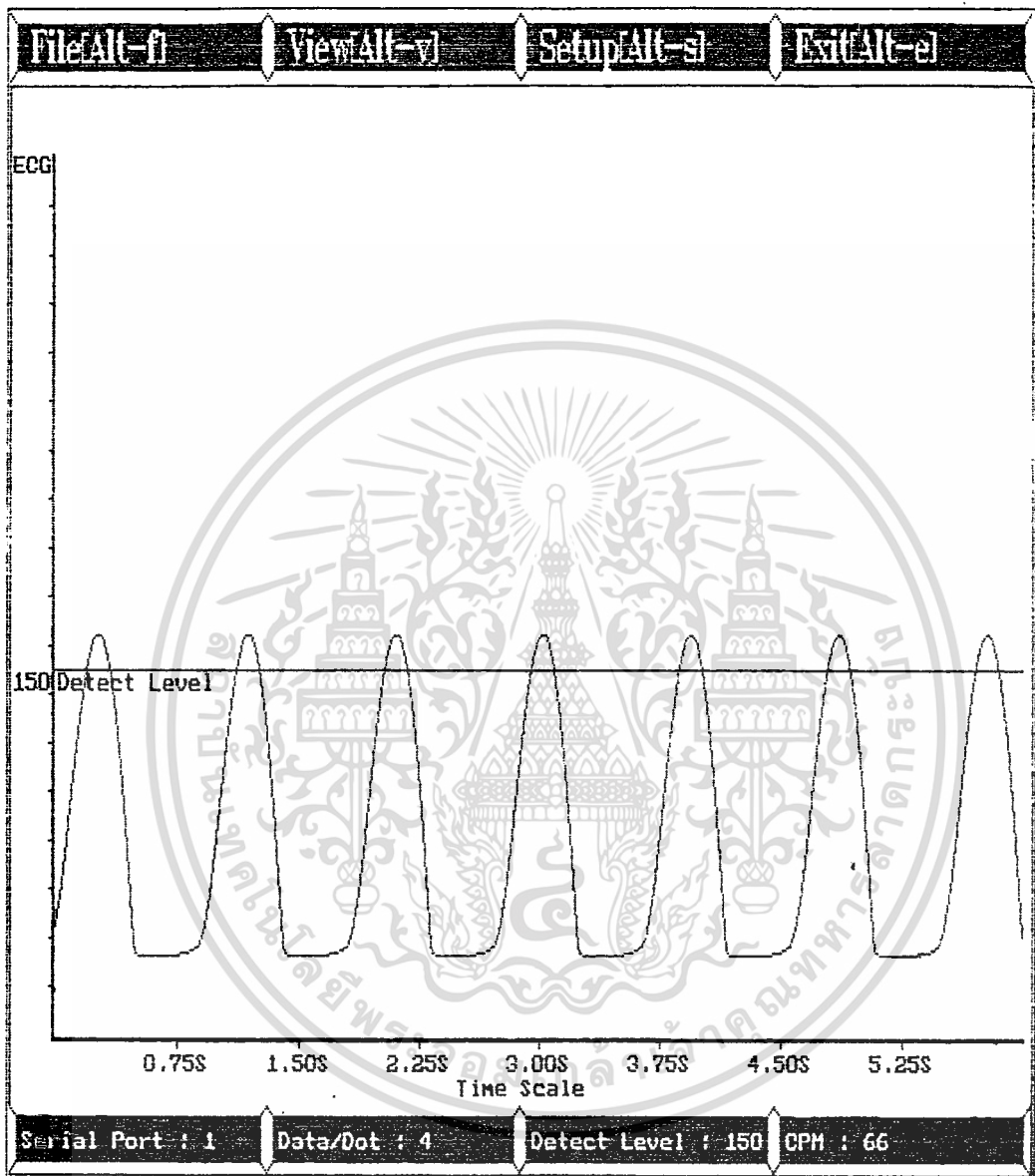
รูปที่ 6.8 แสดงผลการทดสอบหาค่าความถี่ต่ำสุดที่สามารถแสดงผลบน Monitor ได้ โดยการปรับค่าความถี่จาก Function Generator วัดได้ 0.25 Hz วัด CPM ได้ 14 CPM

เอกสารนี้เป็นเอกสารที่สงวนไว้สำหรับการใช้งานเพื่อการศึกษาเท่านั้น ไม่อนุญาตให้นำไปใช้ประโยชน์ด้านการค้า ไม่ว่าจะกรณีใดๆทั้งสิ้น อีกทั้งห้ามมิให้ตัดแปลงเนื้อหา และต้องอ้างอิงถึงเจ้าของเอกสารทุกครั้งที่มีการนำไปใช้



รูปที่ 6.9 แสดงผลการทดสอบหาค่าความถี่สูงสุดที่สามารถแสดงผลบน Monitor ได้ ซึ่งวัดได้โดยการปรับค่าความถี่จาก Function Generator วัดได้ 50Hz วัด CPM ได้ 3000 CPM

เอกสารนี้เป็นเอกสารที่สงวนไว้สำหรับการใช้งานเพื่อการศึกษาเท่านั้น ไม่อนุญาตให้นำไปใช้ประโยชน์ด้านการค้า ไม่ว่าจะกรณีใดๆทั้งสิ้น อีกทั้งห้ามมิให้ตัดแปลงเนื้อหา และต้องอ้างอิงถึงเจ้าของเอกสารทุกครั้งที่มีการนำไปใช้



รูปที่ 6.10 แสดงผลหน้าจอของ Monitor โดยการป้อนสัญญาณ Sine wave
ความถี่ 1.1 Hz วัด CPM ได้ 66 CPM



โปรแกรมที่ใช้งานจริงของ CPU 8031

ในการส่งข้อมูล 8 บิต แบบอนุกรม

เอกสารนี้เป็นเอกสารที่สงวนไว้สำหรับการใช้งานเพื่อการศึกษาเท่านั้น ไม่อนุญาตให้นำไปใช้ประโยชน์ด้านการค้า
ไม่ว่ากรณีใดๆทั้งสิ้น อีกทั้งห้ามมิให้ตัดแปลงเนื้อหา และต้องอ้างอิงถึงเจ้าของเอกสารทุกครั้งที่มีการนำไปใช้

```

0000 CPU "8051.TBL"
0000 HOF "INT8"
0000 ORG 0000H

```

```

0080 = PO: EQU 80H
0099 = TI: EQU 99H
008E = TR1: EQU 8EH
0098 = RI: EQU 98H
0081 = SP: EQU 81H
0082 = DPL: EQU 82H
0083 = DPH: EQU 83H
008A = TLO: EQU 8AH
0088 = TL1: EQU 8BH
008C = TH0: EQU 8CH
008D = TH1: EQU 8DH
0090 = P1: EQU 90H
00A0 = P2: EQU 0A0H
00B0 = P3: EQU 0B0H
0089 = TMOD: EQU 89H
00C0 = TCON: EQU 0C0H
0098 = SCON: EQU 98H
0099 = SBUF: EQU 99H
00A8 = IE: EQU 0A8H
00B8 = IP: EQU 0B8H
00D0 = PSW: EQU 0D0H
00E0 = ACC: EQU 0E0H
00F0 = B: EQU 0F0H
0087 = PCON: EQU 87H

```

```

0000 7F00 START: MOV R7,#00H
0002 7E00 RES2: MOV R6,#00H
0004 00 RES1: NOP
0005 00 NOP
0006 DEFC DJNZ R6,RES1
0008 DFF8 DJNZ R7,RES2

```

```

000A 759852 MOV SCON,#52H
000D 758920 MOV TMOD,#20H
0010 758DFD MOV TH1,#0FDH
0013 D28E SETB TR1

```

```

0015 85FF90 MOV P1,0FFH
0018 85FFB0 MOV P3,0FFH
001B C2B4 RUN: CLR 0B4H ;WRITE SIGNAL
001D D2B4 SETB 0B4H
001F 20B5FD WAIT: JB 0B5H,WAIT
0022 E590 MOV A,P1
0024 F599 เป็นเอกสารที่สงวนไว้สำหรับการใช้งานเพื่อศึกษาเท่านั้น กรุณาอย่าให้นำไปใช้ประโยชน์ด้านการค้า
0026 3099FD JNB TI,$
0029 C299 ห้ามใดๆทั้งสิ้น อีกทั้งห้ามมิให้ตัดแปลงเนื้อหาใดๆที่ต้องอ้างอิงถึงเจ้าของเอกสารทุกครั้งที่มีการนำไปใช้
CLR TI

```

```

;
;
002B AF00          DELAY:    MOV     R7,00H
002D 00           RES3:     NOP
002E 00           NOP
002F 00           NOP
0030 00           NOP
0031 00           NOP
0032 00           NOP
0033 DFF8         DJNZ   R7,RES3
0035 80E4         SJMP  RUN

;
0000              END

```



00E0	ACC	00F0	B	002B	DELAY
0083	DPH	0082	DPL	00A8	IE
00B8	IP	0080	P0	0090	P1
00A0	P2	00B0	P3	0087	PCON
00D0	PSW	0004	RES1	0002	RES2
002D	RES3	0098	RI	001B	RUN
0099	SBUF	0098	SCON	0081	SP
0000	START	00C0	TCON	008C	TH0
00BD	TH1	0099	TI	008A	TLO
008B	TL1	0089	TMOD	008E	TR1
001F	WAIT				

บทที่ 7

บทสรุปและวิจารณ์ผลการทํางาน

โครงการระบบแสดงคลื่นไฟฟ้าหัวใจบนไมโครคอมพิวเตอร์ ซึ่งเป็นการศึกษาความเป็นไปได้ของการรับ-ส่ง ข้อมูลแบบอนุกรม และการแสดงผลที่มีความผิดพลาดน้อยหรือความเชื่อถือได้ของการแสดงผล ซึ่งจากการได้ทําโครงการนี้ ได้ทําการศึกษาการเขียนโปรแกรม การแสดงผลบนหน้าจอ MICRO COMPUTER การศึกษาเกี่ยวกับวงจรที่ใช้งานในโครงการไม่ว่าเป็นวงจร Conditioning AMP, Analog to Digital Converter, การใช้ Controller CPU 8031 ซึ่งต้องศึกษาทั้งด้าน Hard Ware, Soft Ware, การรับ-ส่ง ข้อมูลแบบอนุกรม

การทํางานด้าน Hard Ware สามารถวัดความถี่ที่ใช้งานได้ ซึ่งได้ผลเป็นที่น่าพอใจ ในทางแนวคิดความถี่ของเครื่องวัดควรจะวัดได้ คือ 150Hz ในการวัดสัญญาณที่ความถี่เกิน 50Hz การแสดงผลที่หน้าจอ Monitor จะเป็นลักษณะซีกๆ เป็นเส้นๆ ดังในการทดลอง แต่ค่าที่วัดได้จากหน้าจอคือ CPM ให้ผลใกล้เคียงกับความถี่ที่ป้อนเข้า Input ของ Hard Ware

การทํางานด้าน Soft Ware แสดงผลหน้าจอบนไมโครคอมพิวเตอร์ ซึ่งค่าเวลาที่ใช้แสดงประมาณ 5 วินาที และสามารถพิมพ์ผลการแสดงออกที่ Printer โดยการเลือกที่หน้าจอเมนู (Menu) โดยตรง

บรรณานุกรม

สุนทร วิฑูรย์พงษ์ ; "การโปรแกรมภาษาแอสเซมบลีของไมโครคอนโทรลเลอร์ตระกูล 8051"
บริษัท ซีเอ็ดดูเคชั่น จำกัด , 2537

สุนทร วิฑูรย์พงษ์ ; "การใช้งานไมโครคอนโทรลเลอร์ตระกูล 8051", บริษัท ซีเอ็ดดูเคชั่น
จำกัด , 2537

National Semiconductor Corporation ; "General Purpose Linear Devices
Data book", California, 1989, Edition

Intel Corporation ; "MCS-51 Microcontrollers", บริษัท อีทีที จำกัด, 2535

นต.ดร.ไพศาล สงวนใหญ่, รศ.ยีน ภู่วรรณ ; "การสื่อสารข้อมูล และ ไมโครคอมพิวเตอร์-
เน็ตเวิร์ค", บริษัท ซีเอ็ดดูเคชั่น จำกัด,
2528.

สนั่น สุขวัฒน์ ; "การวิทยาศาสตร์และสรีรวิทยา" คณะแพทยศาสตร์มหาวิทยาลัย มหิดล



เอกสารนี้เป็นเอกสารที่สงวนไว้สำหรับการใช้งานเพื่อการศึกษาเท่านั้น ไม่อนุญาตให้นำไปใช้ประโยชน์ด้านการค้า
ไม่ว่ากรณีใดๆทั้งสิ้น อีกทั้งห้ามมิให้ตัดแปลงเนื้อหา และต้องอ้างอิงถึงเจ้าของเอกสารทุกครั้งที่มีกรนำไปใช้

```

/*=====*/
/*          Main Programs For Project          */
/*          PRO22.C is 400 Samping Rate & Print Screen          */
/*          Programs Design : MR. Perapong Wattanagasamtum          */
/*=====*/

```

```

/* Quality Print Screen */

```

```

#define SINGLE 0
#define DOUBLE 1
#define QUAD 2

```

```

#include<dos.h>
#include<bios.h>
#include<stdio.h>
#include<stdlib.h>
#include<graphics.h>
#include<time.h>
#include"pro22men.c"
#include"sound.c"

```

```

/* Default Setup */

```

```

int fs_data=4;          /* Samping data plot          */
int PORT =0;           /* No. Serial Port (0=com1)  */
int Peak =200;        /* Peak Detect Value        */
#define xplot          1  /* Set Distant between data in X axis */

```

```

/* Define Display Area Plot Signal */

```

```

#define Size          2400 /* No. Array of data          */
#define D_Left        30  /* Set point Display Signal Left */
#define D_Right       629 /* Set point Display Signal Right */
#define Top           60  /* Set point Display Signal Top  */
#define Bottom        420 /* Set point Display Signal Bottom */

```

```

/*=====
COLOR IN TURBO C
=====

```

```

DARK COLORS

```

```

BLACK          BLUE          GREEN
CYAN           RED           MAGENTA
BROWN         LIGHTGRAY     DARKGRAY

```

```

LIGHT COLORS

```

```

LIGHTBLUE     LIGHTGREEN     LIGHTCYAN
LIGHTRED      LIGHTMAGENTA    YELLOW
WHITE

```

```

===== */

```

```

unsigned short int Data[Size],Buffer[Size];
char name[15],Oldv[25];
FILE *fp;
int v,Rate=1;
time_t Start,End;
float Diff;
int C_Scale = Yellow ; /* Scale axis Color          */
int C_Scales= Lightcyan; /* Scale Color              */
int C_Plot = White ; /* Signal plot Color        */
int C_Detect= Lightcyan; /* Line Detect Level Color  */
int C_Text = Yellow ; /* Text in Display Color    */
int C_Block = Green ; /* Data Entry Block Color   */
int C_Etext = Yellow ; /* Error Text Color        */

```

```

/*=====
MAIN PROGRAM

```

```

===== */
main()
{ Chkspeed();
  Open_graph();
  Set_text();
  Menu(); /* main_menu have 1 set menu */
  Scale();
  Display();
  Read_key();
  Logo();
  closegraph();
  printf("\n Good BYE.");
  exit(0);
}

VIEW()
{ port_init(PORT,0xe3);
  Views:if(!kbhit())
  {
    setcolor(C_Text);
    outtextxy(42,60,"Now Rx Data from serial ");
    outtextxy(42,80,"Press any key Cancel View ");
    setcolor(C_Etext);
    Score(230,60,PORT+1);
    Rport();
    setcolor(C_Text);
    outtextxy(42,42,"Press any key Stop View mode");
    view_int();
    setcolor(C_Back);
    outtextxy(42,42,"Press any key Stop View mode");
    goto Views;
  }
  return;
}

SAVE()
{ Sname:
  Get_name();
  if( (fp=fopen(name,"wb") )==NULL)
  { setcolor(C_Etext);
    outtextxy(250,160,"Cannot Write file");
    Sound();
    goto Sname;
  }
  fwrite(&Data,sizeof(int),Size,fp);
  fclose(fp);
  return;
}

OPEN()
{ Rname:
  Get_name();
  if( (fp=fopen(name,"rb") )==NULL)
  { setcolor(C_Etext);
    outtextxy(250,160,"Cannot Open file");
    Sound();
    goto Rname;
  }
  fread(Data,sizeof(int),Size,fp);
  fclose(fp);
  view_int();
}

/* Get file name process */
Get_name()
{ Blocks(100,100,500,140);

```

เอกสารนี้เป็นเอกสารที่สงวนไว้สำหรับการใช้งานเพื่อการศึกษาเท่านั้น ไม่อนุญาตให้นำไปใช้ประโยชน์ด้านการค้า

ไม่ว่ากรณีใดๆทั้งสิ้น อีกทั้งห้ามมิให้ตัดแปลงเนื้อหา และต้องอ้างอิงถึงเจ้าของเอกสารทุกครั้งที่มีการนำไปใช้

```

outtextxy(110,117,"Enter file name :");
gotoxy(32,8);scanf("%s",name);
Blockss(100,100,500,140);
}

```

```

/* Draw Data Entry Window Frame */
Blocks(int x1,int y1,int x2,int y2)
{ setcolor(C_Line);
  rectangle(x1,y1,x2,y2);
  rectangle(x1-3,y1-3,x2+3,y2+3);
  setfillstyle(1,C_Block);
  floodfill(x1+1,y1+1,C_Line);
}

```

```

/* DEL. Data Entry Window Frame */
Blockss(int x1,int y1,int x2,int y2)
{ setcolor(C_Back);
  rectangle(x1,y1,x2,y2);
  rectangle(x1-3,y1-3,x2+3,y2+3);
  setfillstyle(1,C_Back);
  floodfill(x1+1,y1+1,C_Back);
}

```

```

/* Read data from RS-232C */
Rport()
{ int n;
  Start=time('\0');
  for(n=0;n<Size;n++) Buffer[n] = rport(PORT);
  End=time('\0');
  Diff = difftime(End,Start);
  outtextxy(50,42," Rx Time: ");
  Score(Diff);
  for(n=0;n<Size;n++) Data[n]=Buffer[n];
  return;
}

```

```

/* Read Char from RS-232 */
rport(int Port)
{ union REGS r;
  while(!(Status(PORT) & 256 )) /* Check New Data Recieve */
  if (kbhit())
  { Rate=0;
    main();
  }
  r.x.dx = Port;
  r.h.ah = 2; /* No. interupt */
  int86(0x14,&r,&r);
  if(r.h.ah & 128)
  {setcolor(C_Etext);
    outtextxy(60,120,"read error detected in serial port");
    getch();
    setcolor(C_Back);
    outtextxy(60,120,"read error detected in serial port");
  }
  return r.h.al;
}

```

เอกสารนี้เป็นเอกสารที่สงวนไว้สำหรับการใช้งานเพื่อการศึกษาเท่านั้น ไม่อนุญาตให้นำไปใช้ประโยชน์ด้านการค้า

```

/* Send Char */
sport(int Port,int Sdata)
{ union REGS r;
  r.x.dx = Port;
  r.h.al = Sdata; /* Data */
}

```

```
r.h.ah = 1; /* No. INT. */
```

```
int86(0x14,&r,&r);  
if(r.h.ah & 128)  
{ setcolor(C_Etext);  
  Sound();  
  outtextxy(60,120,"Send error detected in serial port");  
  getch();  
  setcolor(C_Back);  
  outtextxy(60,120,"Send error detected in serial port");  
  exit(1);  
}
```

```
/* Check Status port when read data */  
/* value in r.x.ax
```

```
=====
```

Meaning ("1")	bits
Data Ready	0
Overrun Error	1
Parity Error	2
Framing Error	3
Break-Detect Error	4
Transfer hold-register empty	5
Transfer shift-register empty	6
Time-out Error	7 */

```
Status(int Port)  
{ union REGS r;  
  r.x.dx = Port;  
  r.h.ah = 3;  
  int86(0x14,&r,&r);  
  return r.x.ax;  
}
```

```
/*=====
```

Vaule in r.h.al(Initial Port) --> Line Status

```
=====
```

bit	meaning
7,6,5	000 = 110 baud
	001 = 150 baud
	010 = 300 baud
	011 = 600 baud
	100 = 1200 baud
	101 = 2400 baud
	110 = 4800 baud
	111 = 9600 baud
4,3	00,10 = No parity
	01 = Odd parity
	11 = Even parity
2	0 = 1 Stop bits
	1 = 2 Stop bits
1,0	10 = 7 Bits data
	11 = 8 Bits data

```
=====
```

bit	7	6	5	4	3	2	1	0	
code	1	1	1	0	0	0	1	1	= 0xe3 = 227

```
=====*/
```

```
port_init(int Port,int code)  
{ union REGS r;  
  r.x.dx = Port; /* No. Port */  
  r.h.ah = 0;  
  r.h.al = code;
```

```

int86(0x14,&r,&r);
return;
}

/* Draw Graph & Calculate rate beat */
view_int()
{
  int x,y1,n,m,max,Slope,k[2];
  time_t Start,End;
  float Diff1,Diff2,Time,Rates;

  n = 0;
  Slope = 0;
  k[0] = 0 ;
  k[1] = 0 ;

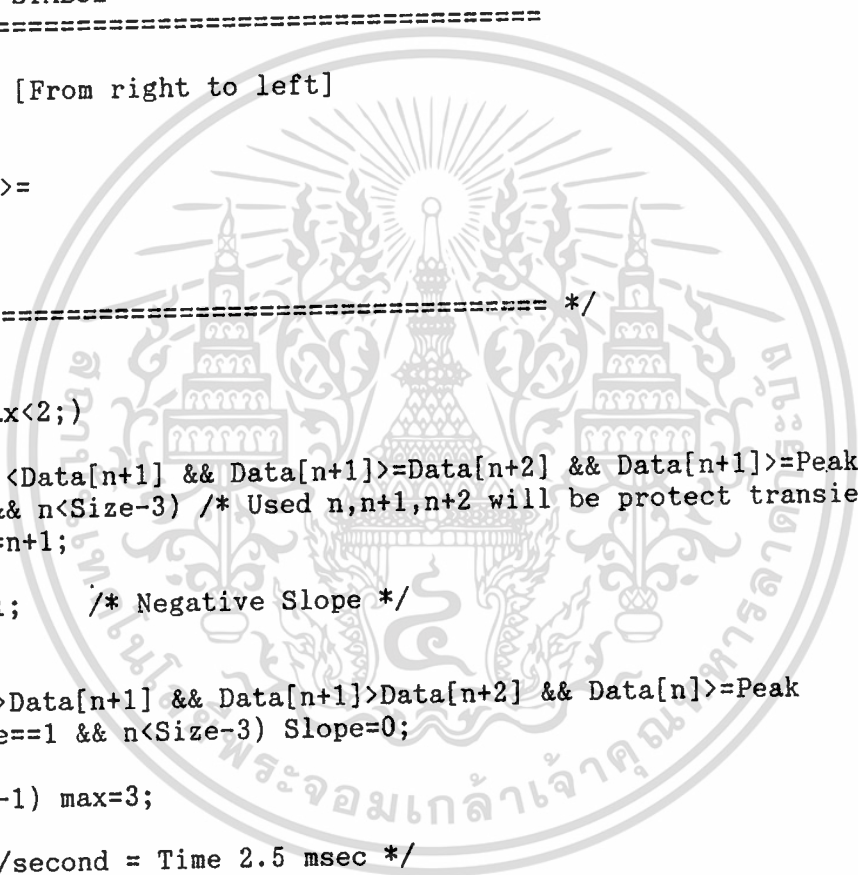
  /* =====
  PRIORITY SYMBOL
  =====
  1. ( )
  2. !,++,-- [From right to left]
  3. *,/,%
  4. +,-
  5. <,<=,>,>=
  6. ==,!=
  7. &&
  8. !!
  ===== */

  for (max=0;max<2;)
  {
    if( Data[n]<Data[n+1] && Data[n+1]>=Data[n+2] && Data[n+1]>=Peak
    && Slope==0 && n<Size-3) /* Used n,n+1,n+2 will be protect transient */
    {
      k[max]=n+1;
      max++;
      Slope=1; /* Negative Slope */
    }

    if(Data[n]>Data[n+1] && Data[n+1]>Data[n+2] && Data[n]>=Peak
    && Slope==1 && n<Size-3) Slope=0;
    n++;
    if (n>Size-1) max=3;
  }
  /* 400 cycle/second = Time 2.5 msec */
  Time = 0.0025*(k[1]-k[0]);
  if(k[1]==0) Time = 0;
  /* Rate = Cycle per minute */
  if(Time!=0) /* If Time != 0 Calculate Approximation int value */
  {
    Rates = 60/Time;
    Rate = Rates;
    if((Rates-Rate)>0.5) Rate=Rate+1;
  }
  else Rate = 0;
  k[1] = k[0] = 0;

  x=D_Left;
  for (n=0;n<Size-fs_data;n=n+fs_data)
  {
    if(Data[n]>Bottom-Top) Data[n]=Bottom-Top;
    if(Data[n+fs_data]>Bottom-Top) Data[n+fs_data]=Bottom-Top;
    if(x>D_Right) x=D_Left;
    if(x==D_Left)
    {
      setcolor(C_Back);
      line (x,40,x,Bottom);
    }
  }
}

```



เอกสารนี้เป็นทรัพย์สินทางปัญญาของสถาบันเทคโนโลยีพระจอมเกล้าเจ้าคุณทหารลาดกระบัง
 การนำเอกสารนี้ไปใช้โดยไม่ได้รับอนุญาตให้ถือว่าผิดกฎหมายและต้องอ้างอิงถึงเจ้าของเอกสารทุกครั้งที่มีการนำไปใช้

```

setcolor(C_Back);
for(m=0;m<xplot;m++)
line(x+1+m,40,x+1+m,Bottom);
setcolor(C_Plot);
line(x,Bottom-Data[n],x+xplot,Bottom-Data[n+fs_data]);
/* line(x,Bottom-Data[n]-1,x+xplot,Bottom-Data[n+1]-1); Double Line*/
x=x+xplot;
}
setcolor(C_Detect);
line(D_Left,Bottom-Peak,D_Right,Bottom-Peak);
Score(4,Bottom-Peak+2,Peak);
outtextxy(D_Left+2,Bottom-Peak+2,"Detect Level");
Disp_CPM();
/* for (n=75;n<=(D_Right-D_Left);n=n+75)
line(D_Left+n,Bottom+1,D_Left+n,Top+1); /* Time Scale Divider */
return;
}

```

```

Scale()
{ int n;
char S1[7][7];
setcolor(C_Scale);
line(D_Left-1,Bottom+1,D_Right+1,Bottom+1); /* Time Scale Line1 */
line(D_Left-1,Bottom+2,D_Right+1,Bottom+2); /* Time Scale Line2 */
line(D_Left-1,Bottom+1,D_Left-1,Top-1); /* Vertical Scale Line1 */
line(D_Left-2,Bottom+2,D_Left-2,Top-1); /* Vertical Scale Line2 */
setcolor(C_Scales);
for (n=20;n<(Bottom-Top);n=n+20)
line(D_Left-4,Bottom-n,D_Left-1,Bottom-n); /* Vertical Scale Divider */
outtextxy(D_Left-26,Top,"ECG");
/* 1 Display = 1.5 Sec = 600 data = 600 dot */
/* 75 = 600dot/8cell(10 scale point) */
for (n=75;n<=(D_Right-D_Left);n=n+75)
line(D_Left+n,Bottom+5,D_Left+n,Bottom+1); /* Time Scale Divider */
for (n=0;n<7;n++) /* Write Time Scale value */
{ sprintf(S1[n],"%.2fS",(n+1)*0.1875*fs_data); /* Save float in text */
outtextxy(D_Left+75*(n+1)-20,Bottom+8,S1[n]);/* Show float in text */
}
outtextxy(D_Right-350,Bottom+18,"Time Scale");
return;
}

```

```

/*=====
EXAMPLE CHECK TIME LOOP
Time()
{ time_t Start,End;
float Diff;

Start=time('\0');
End=time('\0');
Diff = difftime(End,Start);
printf("\nTime: %.2f",Diff);
}
===== */

```

```

/* Show int in graphic mode */
int Score(int sx,int sy,int number)
{
char str[10];
sprintf(str,"%d",number);
outtextxy(sx,sy,str);
return;
}

```

```

DATA_DOT()
{ int n,in;
  char name[12];
  n = fs_data;

  sprintf(name,"DATA/DOT : %d",fs_data);
  do { Bar3d(2,32);
    Text_bar(2,32,COLORS[C_Mtext],name);
    in=bioskey(0); /* Read Key */
    switch(in) /* Detect Key */
      { case Down: if(n==1) n=4;
        else n--;
        fs_data=n;
        sprintf(name,"DATA/DOT : %d",fs_data);
        break;
        case Up: if(n==4) n=1;
        else n++;
        fs_data=n;
        sprintf(name,"DATA/DOT : %d",fs_data);
        break;
        case Enter: Bbar3d(2,32);
        break;
      }
    } while(in!=Enter); /* Return command code when key = 'ENTER' */
  main();
}

```

```

DETC_LEV()
{ int n,in;
  char name[19];
  n = Peak;

  sprintf(name,"Detect Level : %d",Peak);
  do { Bar3d(2,32);
    Text_bar(2,32,COLORS[C_Mtext],name);
    in=bioskey(0); /* Read Key */
    switch(in) /* Detect Key */
      { case Down: if(n==1) n=255;
        else n--;
        Peak=n;
        sprintf(name,"Detect Level : %d",Peak);
        break;
        case Up: if(n==255) n=1;
        else n++;
        Peak=n;
        sprintf(name,"Detect Level : %d",Peak);
        break;
        case Enter: Bbar3d(2,32);
        break;
      }
    } while(in!=Enter); /* Return command code when key = 'ENTER' */
  main();
}

```

```

SERIAL_X()
{ int n,in;
  char name[12];
  n = PORT+1;

  sprintf(name,"Serial Port: %d",PORT+1);
  do { Bar3d(2,32);
    Text_bar(2,32,COLORS[C_Mtext],name);
    in=bioskey(0); /* Read Key */
    switch(in) /* Detect Key */
      { case Down: if(n==1) n=2;

```

```

        else n--;
        PORT=n-1;
        sprintf(name,"Serial Port: %d",PORT+1);
        break;
    case Up:    if(n==2) n=1;
               else n++;
               PORT=n-1;
               sprintf(name,"Serial Port: %d",PORT+1);
               break;
    case Enter: Bbar3d(2,32);
               break;
        }
    } while(in!=Enter); /* Return command code when key = 'ENTER' */
main();
}

```

```

Display()
{ Disp_Serial();
  Disp_Dot();
  Disp_Detc();
  Disp_CPM();
}

```

```

Disp_Serial()
{ Bar3d(0,449);
  setcolor(C_Menu+8);
  sprintf(Oldv,"Serial Port : ");
  outtextxy(10,460,Oldv);
  sprintf(Oldv,"Serial Port : %d",PORT+1);
  setcolor(C_Back);
  outtextxy(10,460,Oldv);
}

```

```

Disp_Dot()
{ Bar3d(1,449);
  sprintf(Oldv,"Data/Dot : %d",fs_data);
  setcolor(C_Back);
  outtextxy(168,460,Oldv);
}

```

```

Disp_Detc()
{ Bar3d(2,449);
  sprintf(Oldv,"Detect Level : ");
  setcolor(C_Menu+8);
  outtextxy(326,460,Oldv);
  sprintf(Oldv,"Detect Level : %d",Peak);
  setcolor(C_Back);
  outtextxy(326,460,Oldv);
}

```

```

Disp_CPM()
{ Bar3d(3,449);
  sprintf(Oldv,"CPM : ");
  setcolor(C_Menu+8);
  outtextxy(484,460,Oldv);
  if(Rate==0)
  { sprintf(Oldv,"CPM : Below 20");
    setcolor(LIGHTRED);
    Sound();
  }
}

```

```

else if(Rate==1) sprintf(Oldv,"");
else { sprintf(Oldv,"CPM : %d",Rate);
      setcolor(C_Back);
    }
outtextxy(484,460,Oldv);

```

```

}

REPLOTT()
{ view_int();
  return;
}

```

```

SET_COLOR1()
{ int n,color,in;
  char name[12];
  n =0;

```

```

sprintf(name,"C_Scale");
color=C_Scale;
do { Bar3d(2,32);
  Text_bar(2,32,COLORS[C_Mtext],name);
  Bar3d(3,32);
  Text_bar(3,32,COLORS[color],TCOLORS[color]);
  in=bioskey(0); /* Read Key */
  switch(in) /* Detect Key */
  { case Left: if(color==0) color=15;
    else color--;
    Case_color(n,color);
    break;
  case Right: if(color==15) color=0;
    else color++;
    Case_color(n,color);
    break;
  case Up: if(n==0) n=8;
    else n--;
    switch(n)
    { case 0: color=C_Scale;
      sprintf(name,"C_Scale");
      break;
      case 1: color=C_Scales;
      sprintf(name,"C_Scales");
      break;
      case 2: color=C_Plot;
      sprintf(name,"C_Plot");
      break;
      case 3: color=C_Detect;
      sprintf(name,"C_Detect");
      break;
      case 4: color=C_Text;
      sprintf(name,"C_Text");
      break;
      case 5: color=C_Line;
      sprintf(name,"C_Line");
      break;
      case 6: color=C_Block;
      sprintf(name,"C_Block");
      break;
      case 7: color=C_Etext;
      sprintf(name,"C_Etext");
      break;
      case 8: SET_COLOR();
      break;
    }
  }
  break;
  case Down: if (n==8) n=0;
  else n++;
  switch(n)
  { case 0: color=C_Scale;
    sprintf(name,"C_Scale");

```

เอกสารนี้เป็นเอกสารที่สงวนลิขสิทธิ์ การนำเอกสารไปใช้โดยไม่ขออนุญาตให้นำไปใช้ประโยชน์ด้านการค้า
ไม่ว่ากรณีใดๆทั้งสิ้น อีกทั้งห้ามมิให้คัดลอกหรือทำซ้ำโดยไม่ได้รับอนุญาตจากเจ้าของเอกสารทุกครั้งที่มีการนำไปใช้

```

        break;
    case 1: color=C_Scales;
        sprintf(name,"C_Scales");
        break;
    case 2: color=C_Plot;
        sprintf(name,"C_Plot");
        break;
    case 3: color=C_Detect;
        sprintf(name,"C_Detect");
        break;
    case 4: color=C_Text;
        sprintf(name,"C_Text");
        break;
    case 5: color=C_Line;
        sprintf(name,"C_Line");
        break;
    case 6: color=C_Block;
        sprintf(name,"C_Block");
        break;
    case 7: color=C_Etext;
        sprintf(name,"C_Etext");
        break;
    case 8: SET_COLOR();
        break;
    }
    break;
case Enter: Bbar3d(2,32);
            Bbar3d(3,32);
            break;
}
} while(in!=Enter); /* Return command code when key = 'ENTER' */
main() ;
}

Case_color(int n,int color)
{ switch(n)
{ case 0: C_Scale=color;
  break;
  case 1: C_Scales=color;
  break;
  case 2: C_Plot=color;
  break;
  case 3: C_Detect=color;
  break;
  case 4: C_Text=color;
  break;
  case 5: C_Line=color;
  break;
  case 6: C_Block=color;
  break;
  case 7: C_Etext=color;
  break;
}
return;
}

print_scr(int startx,int starty,int endx,int endy,int pagex,int pagey,int density)
{ register int i,x,y,px;
  int cols,color,sum;

  endx++;endy++;
  cols = endx - startx;
  for(;pagey>=0;pagey--) print('\n');
  for(y = starty; y<endy; y+=8 )
    { for( px=0; px<pagex; px++) print(' ');

```

```

set_graphics(cols,density);
for(x=startx; x<endx; x++)
{ sum=0;
  for(i=0; i<8; i++)
    { if(y+i<endy) { color = getpoint(x,y+i);
                    if(color) sum += 1<<(7-i);
                  }
    }
  print(sum);
}
print('\n');
}

```

```

set_graphics(int cols,int density)
{ union { unsigned char c[2];
        unsigned int i;
        } u;
  char den_code;

  u.i=cols;
  switch(density)
  { case SINGLE: den_code = 75;
    break;
    case DOUBLE: den_code = 76;
    break;
    case QUAD:   den_code = 90;
    break;
  }
  print(27);print(51);print(22); /* 22/256 line spacing */
  print(27);print(den_code);print(u.c[0]);print(u.c[1]);
}

print(char ch)
{
  biosprint(0,ch,0);
}

getpoint(int x,int y)
{ union REGS r;

  r.h.ah = 13;
  r.x.dx = y;
  r.x.cx = x;
  r.h.bh = 0;
  int86(16,&r,&r);
  return r.h.al;
}

```

เอกสารนี้เป็นเอกสารที่สงวนไว้สำหรับการใช้งานเพื่อการศึกษาเท่านั้น ไม่อนุญาตให้นำไปใช้ประโยชน์ด้านการค้า
ไม่ว่ากรณีใดๆทั้งสิ้น อีกทั้งห้ามมิให้ดัดแปลงเนื้อหา และต้องอ้างอิงถึงเจ้าของเอกสารทุกครั้งที่มีการนำไปใช้

```
/* ===== Main_menu + 4 Sub menu ===== */
/*          Select by High Light & Set Display Color          */
```

```
#define main_menu      0
#define sub_menu       1
```

```
/* Main_mane */
#define File           0
#define View           1
#define Setup          2
#define Exit           3
```

```
/* Sub_menu File */
#define Open           0
#define Save           1
#define Print          2
#define Replot         3
```

```
/* Sub_menu Setup */
#define Data_dot       0
#define Detc_lev       1
#define Serial_x       2
#define Set_color      3
```

```
/* Define Key for bioskey() */
#define Left           0x4b00
#define Right          0x4d00
#define Down           0x5000
#define Up             0x4800
#define Enter          0x1c0d
#define ESC            0x011b
#define Alt_f          0x2100
#define Alt_s          0x1f00
#define Alt_v          0x2f00
#define Alt_e          0x1200
#define F1             0x3b00
#define F2             0x3c00
#define F3             0x3d00
#define F4             0x3e00
#define F5             0x3f00
#define F6             0x4000
#define F7             0x4100
#define F8             0x4200
#define F9             0x4300
```

```
#define Black          0
#define Blue           1
#define Green          2
#define Cyan           3
#define Red            4
#define Magenta        5
#define Brown          6
#define Linhtgray      7
#define Darkgray       8
#define Lightblue      9
#define Lightgreen     10
#define Lightcyan      11
#define Lightred       12
#define Lightmagenta   13
#define Yellow         14
#define White          15
```

```
/*=====
COLOR IN TURBO C
```



เอกสารนี้เป็นเอกสารที่สงวนไว้สำหรับการใช้งานเพื่อการศึกษาเท่านั้น ไม่อนุญาตให้นำไปใช้ประโยชน์ด้านการค้า
ไม่ว่ากรณีใดๆทั้งสิ้น อีกทั้งห้ามมิให้ตัดแปลงเนื้อหา และต้องอ้างอิงถึงเจ้าของเอกสารทุกครั้งที่มีการนำไปใช้

```

=====
<<DARK COLORS>>
    BLACK(0)    BLUE(1)        GREEN(2)
    CYAN(3)     RED(4)         MAGENTA(5)
    BROWN(6),   LIGHTGRAY(7)    DARKGRAY(8)

<<LIGHT COLORS>>
    LIGHTBLUE(9)LIGHTGREEN(10) LIGHTCYAN(11)
    LIGHTRED(12)LIGHTMAGENTA(13)YELLOW(14)
    WHITE(15)   BLINK(128)
===== */

#include<dos.h>
#include<stdio.h>
#include<graphics.h>

int key = 0 ; /* Set Hot Key */
int key_arrow[2]={0,0}; /* Set new menu */
int key_old[2] = {0,0}; /* Set old menu */
char main_text[4][20];
char sub_text[2][4][20];
char *TCOLORS[]={"BLACK(0)", "BLUE(1)", "GREEN(2)",
                "CYAN(3)", "RED(4)", "MAGENTA(5)",
                "BROWN(6)", "LIGHTGRAY(7)", "DARKGRAY(8)",
                "LIGHTBLUE(9)", "LIGHTGREEN(10)", "LIGHTCYAN(11)",
                "LIGHTRED(12)", "LIGHTMAGENTA(13)", "YELLOW(14)",
                "WHITE(15)", "BLINK(128)"};

int COLORS[]= {0,1,2,3,4,5,6,7,8,9,10,11,12,13,14,15,128};

/* Define Color */
int C_Back = Blue ;/* Back Ground Color */
int C_Menu = Green ;/* Title Bar Menu [have Light Color]
int C_Bar = Yellow; /* High Light Bar Color
int C_Mtext = Black ;/* Text in Menu Color
int C_Line = Yellow; /* Frame Window Color
#define C_Logo LIGHTGRAY/* Back ground Logo Color

/*=====
MAIN PROGRAM
=====*/

Main()
{
    Open_graph();
    Set_text();
    Menu(); /* main_menu have 1 set menu */
    Bar3d(0,449);
    Bar3d(1,449);
    Bar3d(2,449);
    Bar3d(3,449);
    settextstyle(0,1,0);
    setcolor(WHITE);
    outtextxy(100,200,"Test TEXT");
    settextstyle(0,0,0);
    Read_key();
    Logo();
    closegraph();
    printf("\n Good BYE.");
    exit(0);
}

Read_key()
{

```

นี่เป็นเอกสารที่สงวนไว้สำหรับการใช้งานเพื่อการศึกษาเท่านั้น ไม่อนุญาตให้นำไปใช้ประโยชน์ด้านการค้า
 ไม่ว่ากรณีใดๆทั้งสิ้น อีกทั้งห้ามมิให้ตัดแปลงเนื้อหา และต้องอ้างอิงถึงเจ้าของเอกสารทุกครั้งที่มีการนำไปใช้

```

Key: /* Start Menu */
key = bioskey(0);          /* Receive Hot key */
switch(key)
{
  case Alt_f: key_arrow[main_menu] = File;
               /* Show_menu(main or sub,sub_name,Lim_menu); */
               key_arrow[sub_menu] = Show_menu(sub_menu,File,3);
               break;
  case Alt_v: key_arrow[main_menu] = View;
               key_arrow[sub_menu] = 0;      /* Don't have sub */
               break;
  case Alt_s: key_arrow[main_menu] = Setup;
               key_arrow[sub_menu] = Show_menu(sub_menu,Setup-1,3);
               break;
  case Alt_e: key_arrow[main_menu] = Exit;
               key_arrow[sub_menu] = 0;      /* Don't have sub */
               break;
  case F3:    key_arrow[main_menu] = File;
               key_arrow[sub_menu] = Open;
               break;
  case F2:    key_arrow[main_menu] = File;    /* Key = F2 Save */
               key_arrow[sub_menu] = Save;
               break;
  case F4:    key_arrow[main_menu] = File;    /* Key = F4 Print*/
               key_arrow[sub_menu] = Print;
               break;
  case F9:    key_arrow[main_menu] = File;    /* Key = F4 Print*/
               key_arrow[sub_menu] = Replot;
               break;
  case F5:    key_arrow[main_menu] = Setup;    /* Key = F5 Data/dot*/
               key_arrow[sub_menu] = Data_dot;
               break;
  case F6:    key_arrow[main_menu] = Setup;    /* Key = F6 Detect level*/
               key_arrow[sub_menu] = Detc_lev;
               break;
  case F7:    key_arrow[main_menu] = Setup;    /* Key = F7 Serial */
               key_arrow[sub_menu] = Serial_x;
               break;
  case F8:    key_arrow[main_menu] = Setup;    /* Key = F5 Data/dot*/
               key_arrow[sub_menu] = Set_color;
               break;
  case ESC:   Esc:
               key_arrow[main_menu]=Show_menu(main_menu,main_menu,3);
               switch(key_arrow[main_menu])
               { case 0:key_arrow[sub_menu]=Show_menu(sub_menu,File,3);
                 break;
                 case 2:key_arrow[sub_menu]=Show_menu(sub_menu,Setup-1,3);
                 break;
               }
               break;
  default:   goto Key;
}
if(key_arrow[main_menu]==9)
  { Menu();
    goto Key;
  }
if(key_arrow[sub_menu] ==9)
  { key_arrow[sub_menu] =0;
    goto Esc;
  }
switch(key_arrow[main_menu])
{ case File: key_old[main_menu] = File;
  switch(key_arrow[sub_menu])
  { case Open: key_old[sub_menu] = Open;

```

เอกสารนี้เป็นเอกสารที่สงวนไว้สำหรับการใช้งานเพื่อการศึกษาเท่านั้น ไม่อนุญาตให้นำไปใช้ประโยชน์ด้านการค้า

และต้องอ้างอิงถึงเจ้าของเอกสารทุกครั้งที่มีการนำไปใช้

```

        OPEN();
        break;
    case Save: key_old[sub_menu] = Save;
        SAVE();
        break;
    case Print: key_old[sub_menu]= Print;
        print_scr( 0,0,640,480,1,1,1);
        break;
    case Replot: key_old[sub_menu] = Replot;
        REPLOT();
        break;
    default: break;
}
goto Key;
case View: key_old[main_menu] = View;
key_old[sub_menu] = 0;
VIEW();
goto Key;
case Setup: key_old[main_menu] = Setup;
switch(key_arrow[sub_menu])
{ case Data_dot: key_old[sub_menu] = Data_dot;
DATA_DOT();
break;
case Detc_lev: key_old[sub_menu] = Detc_lev;
Detc_LEV();
break;
case Serial_x: key_old[sub_menu]= Serial_x;
SERIAL_X();
break;
case Set_color:SET_COLOR();
break;
default: break;
}
goto Key;
/* Exit Programs */
case Exit: key_old[main_menu] = Exit;
key_old[sub_menu] = 0;
break;
/* Exit Menu by 'ESC' */
case 9: goto Key;
default: goto Key;
}
return ;
}

```

```

/* =====
END MAIN PROGRAM
===== */

```

```

/* =====
FUNCTION PROGRAM
===== */

```

```

/* Creat window menu */

```

```

Menu()
{ Frame(2,31,635,477,C_Back); /* Create window */
Mbar3d(*);
setcolor(C_Menu);
Text_menu(main_menu,main_menu); /* Creat Text Munu */
return;
}

```

```

Del_menu()
{ int y;

```

เอกสารนี้เป็นเอกสารที่สงวนไว้สำหรับการใช้งานเพื่อการศึกษาเท่านั้น เมื่อผู้ใดนำไปใช้ประโยชน์ด้านการค้า
ไม่ว่ากรณีใดๆทั้งสิ้น อีกทั้งห้ามมิให้ตัดแปลงเนื้อหา และต้องอ้างอิงถึงเจ้าของเอกสารทุกครั้งที่มีการนำไปใช้

```

setcolor(C_Menu);
for(y=3;y<30;y++)line(3,y,637,y);
Mbar3d();
}

Logo()
{ Open_graph();
  Frame(2,2,635,477,C_Logo);
  setcolor(Magenta);
  setttextstyle(1,0,2);
  outtextxy(250,50,"Base Analysis");
  setcolor(Lightgreen);
  setttextstyle(1,0,1);
  outtextxy(95,180,"Advisor : Dr. Kittiphon");
  setcolor(C_Mtext);
  outtextxy(10,250,"Programs Design : Mr. Perapong Wattanagasantum No. 35.103194");
  outtextxy(10,300,"Circuits Design : Mr. Somkid Lidkong No. 35.103206");
  outtextxy(10,350," : Mr. Sidsadee Wongwangwit No. 35.103211");
  setcolor(Magenta);
  outtextxy(50,400,"Electronics Engineering Department ");
  outtextxy(10,430,"Fucuty Of Engineering");
  outtextxy(30,450,"King Mongkut's Institute of Technology Ladkrabang.");
/* ปริญญาโท สาขาวิศวกรรม 35103206
ปริญญาโท สาขาวิศวกรรม 35103211
ภาควิชาวิศวกรรมไฟฟ้า */
  getch();
  return ;
}

Open_graph()
{ int driver,mode;
  driver = DETECT;
  mode = 0; /* 640X480 = 0 -> 639,0 -> 479 */
  initgraph(&driver,&mode,"");
  return ;
}

/* Draw Frame Window */
Frame(int x1,int y1,int x2,int y2,char c_back)
{ /* Out size frame */
  setcolor(C_Line);
  rectangle(0,0,637,479);
  /* In size frame */
  rectangle(x1,y1,x2,y2);
  setfillstyle(1,c_back);
  floodfill(3,33,C_Line);
  return;
}

/* Write Menu Text */
#define CELL 158
#define ORGT 15
#define ONE ORGT+(0*CELL)
#define TWO ORGT+(1*CELL)
#define TREE ORGT+(2*CELL)
#define FOUR ORGT+(3*CELL)
Text_menu(menu,sub_name)
{ int x;
  /*=====
  TEXT MENU
  1 Character Length 7 Pixcell
  =====*/

```

```

setcolor(C_Mtext);
settextstyle(1,0,1);
if(menu==main_menu)
{ outtextxy(ONE ,5,main_text[0]);
  outtextxy(TWO ,5,main_text[1]);,
  outtextxy(TREE,5,main_text[2]);
  outtextxy(FOUR,5,main_text[3]);
}
else
{ duttextxy(ONE ,5,sub_text[sub_name][0]);
  outtextxy(TWO ,5,sub_text[sub_name][1]);
  outtextxy(TREE,5,sub_text[sub_name][2]);
  outtextxy(FOUR,5,sub_text[sub_name][3]);
}
settextstyle(0,0,1);
return;
}

```

Set_text()

```

{
  sprintf(main_text[0],"File[Alt-f]");
  sprintf(main_text[1],"View[Alt-v]");
  sprintf(main_text[2],"Setup[Alt-s]");
  sprintf(main_text[3],"Exit[Alt-e]");

  sprintf(sub_text[0][0],"Open[F3]");
  sprintf(sub_text[0][1],"Save[F2]");
  sprintf(sub_text[0][2],"Print[F4]");
  sprintf(sub_text[0][3],"Replot[F9]");

  sprintf(sub_text[1][0],"Data/Dot[F5]");
  sprintf(sub_text[1][1],"Detc lev[F6]");
  sprintf(sub_text[1][2],"Serial_x[F7]");
  sprintf(sub_text[1][3],"Set Color[F8]");
}

```

/* Draw Menu Hiht Light */

```

Bar(int x)
{
  Mbar(x,C_Bar);
  return;
}

```

/* DEL. Menu High Light */

```

Bbar(int x)
{
  Mbar(x,C_Menu+8);
  return;
}

```

Mbar(int x,char b_color)

```

{ int X;
  X = 1+(x*CELL);
  setcolor(b_color);
  rectangle(X+6,7,X+CELL-4,24);
  setfillstyle(1,b_color);
  floodfill(X+10,8,b_color);
  return;
}

```

Mbar3d()

เอกสารนี้เป็นเอกสารของมหาวิทยาลัยเทคโนโลยีพระจอมเกล้าเจ้าคุณทหารลาดกระบัง ไม่ควรนำออกนอกระบบ และต้องอ้างอิงถึงเจ้าของเอกสารทุกครั้งที่มีการนำไปใช้

```

{ Bar3d(0,2);
  Bar3d(1,2);
  Bar3d(2,2);
  Bar3d(3,2);
}

```

```

Text_bar(int x,int y,int color,char str[18])
{ int X,C_Lmenu;
  X= 2+(x*CELL);
  C_Lmenu = 8+C_Menu;
  setcolor(C_Lmenu);
  outtextxy(X+6,y+11,"oooooooooooooooooooo");
  setcolor(color);
  outtextxy(X+6,y+11,str);
}

```

```

Bar3d(int x,int y)
{ int X,C_Lmenu;
  X= 2+(x*CELL);
  setcolor(C_Menu);
  rectangle(X,y,X+CELL,y+27);
  setfillstyle(1,C_Menu);
  floodfill(X+1,y+1,C_Menu);
  C_Lmenu = 8+C_Menu;
  setcolor(C_Lmenu);
  rectangle(X+4,y+4,X+CELL-4,y+23);
  setfillstyle(1,C_Lmenu);
  floodfill(X+5,y+5,C_Lmenu);
  line(X,y,X+4,y+4);
  line(X+CELL,y,X+CELL-4,y+4);
  line(X,y+27,X+4,y+23);
  line(X+CELL,y+27,X+CELL-4,y+23);
}

```

```

Bbar3d(int x,int y)
{ int X,n;
  X= 3+(x*CELL);
  setcolor(C_Back);
  for(n=0;n<CELL;n++,X++)line(X,y,X,y+27);
}

```

/* Keep Arrow Key Code */

Show_menu(menu,sub_name,lim_menu)

```

{ int n,in;
  if(menu==main_menu) n=key_old[menu];
  else n=key_old[menu];
  Del_menu();
  Bar(n);
  Text_menu(menu,sub_name);
}

```

```

do { in=bioskey(0); /* Read Key */
     switch(in) /* Detect Key */
     { case Left:  if(n==0) n=lim_menu; else n--;
                   if(n==lim_menu) Bbar(0); else Bbar(n+1);
                   Bar(n);
                   Text_menu(menu,sub_name);
                   break;
         case Right: if(n==lim_menu) n=0; else n++;
                     if(n==0) Bbar(lim_menu); else Bbar(n-1);
                     Bar(n);
                     Text_menu(menu,sub_name);
                     break;
         case Enter: Bbar(n);

```

เอกสารนี้เป็นเอกสารที่สงวนไว้สำหรับการใช้ภายในหน่วยงานราชการ
 ไม่ควรเผยแพร่โดยไม่ได้รับอนุญาตจากหน่วยงานราชการทุกครั้งที่มีการนำไปใช้

```

        if(menu!=main_menu)
        { Del_menu();
          Text_menu(main_menu,main_menu);
        }
        else Text_menu(main_menu,main_menu);
        break;
    case ESC: Bbar(n);
              n=9; /* Don't active command when return */
              in = Enter; /* Set key = 'ENTER' */
              break;
    }
} while(in!=Enter); /* Return command code when key = 'ENTER' */
return n;
}

```

SET_COLOR()

```

{ int n,color,in;
  char name[12];
  color = C_Back;
  n=4;

  sprintf(name,"C_Back");
  do { Bar3d(2,32);
        Text_bar(2,32,COLORS[C_Mtext],name);
        Bar3d(3,32);
        Text_bar(3,32,COLORS[color],TCOLORS[color]);
        in=bioskey(0); /* Read Key */
        switch(in) /* Detect Key */
        { case Left: if(color==0) color=15;
                    else color--;
                    switch(n)
                    { case 4: C_Back=color;
                          break;
                      case 1: C_Menu=color;
                          break;
                      case 2: C_Bar=color;
                          break;
                      case 3: C_Mtext=color;
                          break;
                    }
                    break;
          case Right: if(co

```

```

int timer;

Chkspeed()
{ timer=Time();
}

Sound()
{ tone(349,timer);
  tone(745,timer);
}

#define TIMERMODE 182 /* Code to put time in right mode */
#define FREQSCALE 1190000L /* basic time freq. in hertz */
#define TIMESCALE 1230L /* number of counts in 0.1 second */
#define T_MODEPORT 67 /* port control timer mode */
#define FREQPORT 66 /* port control tone freq. */
#define BEEPPORT 97 /* port control speaker */
#define ON 79 /* turn on speaker */

tone(int freq,int time)
{ int hibyt,lobyt,port;
  long i,count,divisor;

  if (freq==1)
  { port = inportb(BEEPPORT);
    count = TIMESCALE*time;
    outportb(BEEPPORT,port); /* Turn OFF Speaker & Restore Status */
    for (i=0;i<count;i++); /* Delay time */
    goto OFF;
  }
  divisor = FREQSCALE/freq;
  lobyt = divisor % 256; /* = divisor & 255 */
  hibyt = divisor / 256; /* = divisor >> 8 */
  count = TIMESCALE*time;
  outportb(T_MODEPORT,TIMERMODE);
  outportb(FREQPORT,lobyt);
  outportb(FREQPORT,hibyt);
  port = inportb(BEEPPORT); /* Save Status port Before Used */
  outportb(BEEPPORT,ON); /* Turn ON Speaker */
  for (i=0;i<count;i++); /* Delay time */
  OFF:
  outportb(BEEPPORT,port); /* Turn OFF Speaker & Restore Status */
}

/* Check Speed CPU */
Time()
{ time_t Start,End;
  float Diff;
  int diff,num = 0;
  Start=time('\0');
  do { num++;
      End = time('\0');
      Diff = difftime(End,Start);
      diff = Diff;
    } while(diff<1);
  num = num/4;
  printf("\n Time %d : %d ",diff,num);
  return num;
}

```

